

MINISTERUL EDUCAȚIEI ȘI ÎNVĂȚĂMÂNTULUI
INSTITUTUL POLITEHNIC "TRAIAN VUJA" TIMIȘOARA
FACULTATEA DE TEHNOLOGIE CHIMICĂ

ING. ADRIANA MARTIN

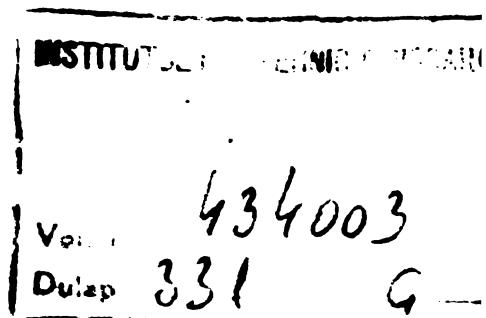
ASUPRA UNOR ASPECTE ALE PROCESULUI DE COAGULARE
SI ALE APLICARII ACESTUIA LA TRATAREA SI EPURAREA
APELOR

TEZA DE DOCTORAT

CONDUCATOR ȘTIINȚIFIC
Prof. dr. ing. VASILE COCNUCI

BIBLIOTECA CENTRALĂ
UNIVERSITATEA "POLITEHNICA"
TIMIȘOARA

- 1981 -



Dedic această teză memoriei
fiului meu, Octavian

Autorarea își exprimă și pe acasă călă gratitudinea și profunda recuncștință față de Prof.Dr.Ing.V.Cochesci, înălțitorul întregii sale activități științifice și conducătorul științific al prezentei teze de doctorat.

De asemenea autorarea mulțumește sincer, colegilor din colectivul de Bazele Tehnologiei Chimice, cercetătorilor din Institutul de Cercetări și Proiectări pentru Epurarea Apelor Residuale, filiala Timișoara, precum și personalului tehnic, cuntru sprijinul și colaborarea acordate în elaborarea tiziei.

C U P R I N S

	<u>pag.</u>
1. INTRODUCERE	1
Bibliografie	15
2. SUSPENII SI COLOIZI IN APELE NATURALE SI RAZIDUALE	16
2.1. Consideratii generale	16
2.2. Tipurile celoidale	19
2.2.1. Consideratii privind caracteristicile generale ale coloizilor	19
2.2.2. Consideratii privind structura particulelor celoidale	22
2.2.3. Consideratii asupra dublului strat electric si distributiei potențialului ..	25
2.2.4. Consideratii privind stabilitatea sistemelor celoidale	31
Bibliografie	37
3. COAGULARE, ETAPA ESENTIALA A PROCESULUI DE LIMPIDARE A APEI	40
3.1. Conceptul de coagulare in tehnologia apei	40
3.2. Maria procesului de coagulare	43
3.2.1. Fenomenul de destabilizare	43
3.2.2. Fenomenul de transport	51
3.3. Reactivi de coagulare	53
3.3.1. Reactivi clasici	53
3.3.2. Coagulanți anorganic complecsi	53
Bibliografie	72

4. CONSIDERATII ASUPRA UNOR FACTORI AI PROCESULUI DE COAGULARE	74
4.1, Influența caracteristicilor apei	74
4.2, Influența condițiilor tehnice	76
4.3. Contribuții la stabilirea interdependenței unor factori de bază ai procesului de coagulare	77
Bibliografie	85
5. HIDROLIZA AGENȚILOR DE COAGULARE	86
5.1. Hidroliza sârurilor de fier, aluminiu și titan	86
5.2. Cercetări asupra hidrolizei unor coagulanți anorganici complecsi	90
Bibliografie	104
6. COAGULAREA PE FILTRE	105
6.1. Privire comparativă între cinetica depunerii particulelor prin coagulare și prin filtrare	105
6.2. Cercetări privind influența mărimii particulelor în suspensie asupra procesului de împerezire prin filtrare, rapide cu nisip	109
Bibliografie	119
7. APLICATII ALE PROCESULUI DE COAGULARE IN TRATAREA SI EPURAREA APELOR	121
7.1. Aplicarea coagulării la epurarea apelor reziduale din industria galvanotehnică	121
7.2. Aplicarea coagulării la epurarea apelor reziduale din industria textilă	131
7.3. Aplicarea coagulării la epurarea apelor reziduale provenite dintr-o uzină chimică anorganică	144
7.4. Aplicarea coagulării la epurarea apelor reziduale crășenești	154
7.5. Folosirea polielectrolițiilor indispensabili la tratarea apelor de suprafață	163
7.5.1. Polielectroliți anionici și polimeri neionici	163
7.5.2. Polielectroliți cationici	175

7.6. Contribuții la epurarea prin metode fizico-chimice a apelor reziduale cu conținut de detergenti	183
8. CONCLUZII	193

1. INTRODUCERE

"Apa este cel mai bun dintre lucruri" – Pindar

Apa este cea mai mare bogătie a planetei noastre, este cea mai semnificativă componentă a mediului ambiant, fără de care existența naturii, a vieții și activității umane este imposibilă.

Acum 2500 de ani, Thales din Milet sublinia că apa este singura substanță care se găsește concomitent în natură în trei stări de agregare – gazoasă, lichidă și solidă. A fost, de asemenea, printre primii care au recunoscut prioritatea apei în cadrul tuturor elementelor care formează lumea.

Poate că tccmai datorită acestei însușiri unice, apa ca element 1-a atras pe el de-alungul întregii sale existențe. A cercetat-o și a studiat-o cu constiinciozitate, dar ea a rămas totuși pentru el aproape c necunoscută pînă în zilele noastre.

Orice descoperire de noi însușiri fizice sau chimice ale apei constituie și un progres în cunoașterea unor noi legi fizico-chimice. Nivelul mării a devenit punctul de referință pentru geodezie, geofizică și alte științe care au nevoie de o bază fixă. Punctul de înghețare și de fierbere a apei constituie fundamentul sistemului Celsius. Densitatea apei a devenit bază pentru determinarea densităților relative ale altor lichide. Proprietățile specifice ale unuia din izotopii H_2 , deuteriul, au făcut posibilă utilizarea pe scară industrială a energiei nucleare, etc.

Dezvoltarea omenirii a fost și este strîns legată de existența apelor dulci și a celor sărate, a apelor mari și mici, stătătoare sau curgătoare. De la cetele de pitecantropi, la locuințele lacustre, la așezările de pe malurile apelor, la civilizația Nilului, a Tigrului și a Nefratului, a fluviului Galben, de la omul-pescar la multilateralul om contemporan, apele au constituit o resursă naturală esențială, cel mai adesea dătătoare de belșug, spunem cel mai adesea – pentru că apa este și un element primejdios, departe de a fi supus total, care a dus și duce și astăzi la o serie de dezastre și suferințe, în diverse părți ale Pămîntului.

In prefacele neîntrerupte ale vremii, populația a crescut continuu, iar cerințele de apă și față de apă s-au mărit considerabil. Această stare de lucruri a situat problema apei, sub toate aspectele ei economice și sociale, în categoria preocupărilor actuale.

le de prim ordin pentru umanitate. Soluționarea problemelor, care se pun în prezent, va avea consecințe importante în diferite domenii și va antrena schimbări radicale în concepția omului cu privire la apă, la valoarea și corelarea între diferențele ei utilizări, cu toate implicațiile legislative și politice.

Pentru a ajuta dezvoltarea socială și economică a unei țări, apa trebuie să îndeplinească două condiții esențiale: cantitate suficientă și calitate corespunzătoare.

Rезervele de apă ale Pământului se pot clasifica astfel /1/:

a. rezerve seculare sau statice – în toate varigile hidrosferei (mări, râuri, lacuri, etc.) și sub diferite stări de agregare – lichidă, solidă, gazoasă;

b. rezerve dinamice sau care se refac anual, de apă dulce, denumite uzuale, resurse de apă.

Această clasificare este convențională, deoarece toate apele naturale se refac (reîngiesc) în timp, diferența constând numai în intensitatea procesului.

Pe baza datelor actuale /1/, rezervele seculare totale au fost estimate la 1386 mil. km³ din care doar 2,53% sunt ape dulci. Cea mai mare parte a apelor se găsește în Oceanul Planetar, adică 1338 mil. km³ sau 96,5%.

Majoritatea apelor continentale este sub formă solidă și se găsește în ghețari și sapadă în Antarctica, Groenlanda și Arctică, cantitatea totală fiind de mai mult de 24 mil. km³ sau 68,7% din rezervele de apă dulce. Această apă este greu accesibilă pentru folosințe practice.

Volumul de apă din litosferă (umiditatea din sol și apele subterane) este estimat, pe baza unui calcul aproximativ, la cca. 25,7 mil. km³; ceea ce, 1 mil. km³ fiind apă dulce, restul fiind sărată.

Rezervele de apă din lacuri sunt de 176,4 mil. km³, majoritatea fiind concentrată în lacuri mari, cu suprafețe depășind 100 km².

Catările (râuri, fluviile, râurile), în timpul perioadei sezonase, conțin cca. 100 mil. km³ de apă.

Apele Oceanului Planetar, măriile, râurile, lacurile, ghețarii, apele de fundal, din litosferă, apele atmosferice și apele din constitutia lanțurilor montane formează un înveliș unic al Pământului – hidrosferă – care unit varigile strâns corelate.

Apă este deosebit de importantă în alte tipuri de resurse naturale. apa în

evoluția ciclului său, se transformă dintr-o stare în alta, circulând de pe suprafața pământului în atmosferă, de pe suprafața pământului în ocean și din ocean pe pămînt, se reface (regenerarează) într-un continuu și se autopurifică. Apa se reînnoiește repede în râuri, schimbîndu-se la fiecare 16 zile, în medie, comparativ cu perioada de refacere a apei din mătări, a apelor de adîncime și a celor de mare, care este de mii de ani /1/(tab.I).

Tabelul I

Perioada de refacere a rezervelor de apă

Tipul de apă	Perioada de refacere	Tipul de apă	Perioada de refacere
Oceanul Planetary	2500 ani	Rezerve de apă din lacuri	17 ani
Apă de adâncime	14000 ani	Apă de mlaștină	5 ani
Umiditate din sol	an	Apă din râuri, fluvii	15 zile
Ghețuri polare și zăpadă vesnică	17000 ani	Apă din organismele vii	cîteva cre
Ghețari din zonele de munte	16000 ani	Umiditate din atm.	8 zile
Gheată subterană din zonele de înghet	lavoroșe ani		

Expansiunea demografică, concentrarea urbană, dezvoltarea industriei și extinderea zonelor irrigate au ca rezultat creșterea substantiale și continuă a consumului de apă.

În prezent nici una din ramură a economiei nu se poate dezvolta fără apă. Producția unei tone de petrol necesită 10 m^3 de apă, a unei tone de cirec 20 m^3 apă, 1 tonă țesături de lînă 600 m^3 , 1 tonă de fibre sintetice 1000 m^3 , etc.

Industria energetică este un mare consumator de apă. Astfel, o uzină termoelectrică modernă necesită cca. $1,2-1,6 \text{ km}^3/\text{an}$ apă pentru a produce 1 milion kW energie. Uzinele energetice atomice, construite întâns în multe țări, necesită de cca. $1,5-2$ ori mai multă apă.

Volumul total de apă utilizat în prezent, la scară mondială este de cca. $3000 \text{ km}^3/\text{an}$, din care pentru satisfacerea cerințelor populației, lăo km^3/an , ale industriei $630 \text{ km}^3/\text{an}$, iar ale agriculturii $2100 \text{ km}^3/\text{an}$.

Consumul industrial și municipal de apă diferă considerabil de consumul de apă pentru agricultură și prin pierderile de

apă nerecuperabilă. Apa folosită pentru alimentările industriale și municipale (casnico), cu excepția unor rare care pierderi, se reintroduce în emisarii naturali aproape în același volum, pe cind cea mai mare parte (pînă la 75%) a apei folosită la irigații se evapora și intră în atmosferă.

Pentru a evalua balanța apei pe continent, pentru anul 2000, este esențial să se compara necesarul de apă cu cantitatea resurselor de apă regenerabile (scurgerile medii anuale). Datele prezentate în tab. II arată că dorește anul 2000, consumul mondial de apă va atinge cca. 13% din resursele de apă regenerabile, 6,7% fiind pierderi de apă recuperabile.

Tabelul II

Compararea necesarului de apă cu cantitatea de resurse regenerabile

Continuentul	Scurgeri totale anuale km ³	Consum de apă în km ³		Consum de apă, % din vol.scurg.totale	
		1970		2000	
		% total	Nerecup.	% total	Nerecup.
Europa	3210	320	100	730	240
Asia	14410	1500	1130	3200	2000
Africa	4570	130	100	380	250
America de Nord	8200	540	160	1300	280
America de Sud	11760	70	50	300	130
Australia + Oceania	2590	23	12	60	30
TOTAL (rotunjit)	44540	3600	1600	6000	3000
				5,8	3,4
				13,0	6,7

Dacă resursele de apă regenerabile nu pot fi niciodată utilizate complet, este mai corect de a se compara consumul de apă cu cantitatea resurselor de apă care poate fi actualmente utilizată, ținând cont de distribuția extrem de inegală a scurgerilor fluviale în timp și patiu. Este foarte dificil de a determina această mărime, deoarece se preocupă că, în părțile locuite ale planetei noastre, consumul real de apă depășește cu greu 25% din resursele regenerabile de apă dulce (scurgeri anuale totale).

Există de pînă acum regiuni în care rezervele de apă nu mai sunt suficiente. Astfel, în zona franceză Lille-Roubaix-Turcoing, po-

sibilitățile de furnizare a apăi sănt de $50.000 \text{ m}^3/\text{zi}$, iar cerințele au ajuns la $60.000 \text{ m}^3/\text{zi}$ (R.Colas). La Milang nivelul apelor freatică a scăzut, în ultimele două decenii, cu cca. 20 m; la Bologna, în 1945, apa subterană se găsea la 12 m adâncime, astăzi ea se întâlnesc doar de la 35 m adâncime.

Pentru satisfacerea cerințelor crescînd de apă, în unele țări se întreprind diverse acțiuni, unele de mare amplecare, cum ar fi proiectul francez pentru Arabia Saudită care propune aducerea unor aisberguri din Antarctica pînă în Marea Roșie pentru asigurarea apăi dulci. Specialiștii ONU au elaborat un proiect pentru creația unei mări în desertul Sahara, prin săparea unui canal lung de zeci de kilometri, care să aducă apele Mării Mediterane în largi bazină, situate în nisipurile depresiunii Qattara. Un plan încă și mai grandios este cel care prevede topirea calotelor glaciare și modificarea substanțială a topografiei planetei întregi. Dar consecințele unora din aceste mari proiecte nu sănt încă evaluate precis, ele putînd genera mari pericole pentru omenire.

Dezvoltarea și diversificarea resurselor existente se realizează prin acțiuni multiple aşa cum rezultă din tabelul III /1/.

Tabelul III

Program de îmbunătățire a alimentărilor cu apă

Nr. crt.	Măsura propusă	T a r a
1.	Baraje și rezervaare de stocare (fără stații hidro)	Belgia, Bulgaria, Canada, Cipru, Cehoslovacia, Finlanda, Franța, RDG, RFG, Ungaria, Italia, Malta, Olanda, Polonia, Portugalia, România, Spania, Elveția, Turcia, RSS Ucrainiană, URSS, Anglia, SUA, Iugoslavia.
2.	Sisteme de canale și apeducte	Austria, Belgia, Bulgaria, RSS Bielorusă, Canada, Cipru, Cehoslovacia, Finlanda, RFG, Grecia, Italia, Olanda, Portugalia, România, Spania, Suedia, Elveția, Turcia, RSS Ucrainiană, URSS, Anglia, SUA, Iugoslavia.
	Apa subterană - cercetare pentru găsirea de noi aveniri; realim. lor epuizați	Austria, Belgia, Bulgaria, RSS Bielorusă, Canada, Cipru, Cehoslovacia, Danemarca, Finlanda, Franța, RDG, Grecia, Italia, Malta, Olanda, Portugalia, România, Spania, Suedia, Elveția, Turcia, RSS Ucrainiană, Anglia, SUA.
4.	Desalinizare	Belgia, Grecia, Italia, Malta, Olanda, Spania, SUA.
5.	Reutilizare și reciclare	Austria, Belgia, Bulgaria, RSS Bielorusia, Canada, Cehoslovacia, Finlanda, Franța, RDG, RFG, Olanda, Portugalia, România, Spania, Suedia, Elveția, RSS Ucrainiană, URSS, Anglia, SUA

In multe țări, construcția de baraje și rezervoare de stocare, este acceptată ca o soluție de a intensifica alimentările cu apă și de control a deversărilor în râuri. În anul 1975, numărul total al acestora depășea, pe plan mondial, cifra de 10.000, având o capacitate totală de peste 5.000 km^3 .

Cîteva proiecte de conducte și apeducte sunt neașteptat de mari, cum este, de exemplu, California Aqueduct System în SUA, care transportă apă pe o distanță de 900 km, pentru a asigura necesitățile de aprovizionare cu apă potabilă și pentru irigații; sistemul de deviere a unor cursuri de apă din nordul URSS; apeducte depășind 200 km, au fost construite, de asemenea, în RFG; canalul Dunăre-Marea Neagră, în curs de construcție în România, etc.

Ca urmare a folosirii extinse, o serie de acviferi de adâncime au sărăcit și multe țări protejează sursele de adâncime contra poluării și a intruziunilor de ape sărate, prin stabilirea unei zone de protecție cu cerințe severe impuse ferajelor. O metodă nouă propune folosirea acviferilor ca rezervoare de stocare, care

fie utilizate cînd apele de suprafață nu sunt adecvate pentru alimentări cu apă. Se elimină, astfel, pierderile prin evaporare, înțilnirea în cazul rezervoarelor de suprafață.

Pentru regiuni insulare cu ploi foarte puține, în zone aride și semiaride (Grecia, Malta, Spania, SUA, Australia, URSS, Kuweit, Israel, etc.) instalațiile de desalinizare sunt mai economice, uneori, decât alternativa de transportului apei dulci cu cisternele. Astfel, cca. 10% din apa din mări sărate în Malta se obține prin desalinizare. În Kuweit, desalinizarea s-a dezvoltat pe scară industrială, această țară producindu-și aproape toată apa pe această cale. La fel, desalinizarea apelor de mare este foarte extinsă în Israel (3 mil. m^3/an), Arabia Saudită (2,3 mil. m^3/an), etc.

Refolosirea și reciclarea apelor reziduale municipale, industriale și agricole este considerată, în unele țări, ca fiind una din cele mai practice metode de reducere a necesarului de apă. De exemplu, în Japonia este în curs de stabilire un sistem în care apa să se folosească întîi pentru uz casnic, apoi în industrie. În Finlanda, în industrie se utilizează și hîrtie, se preconizează un sistem de tratare și evitare a apelor reziduale, în vederea reciclării lor, evitîndu-se, astfel, consumul de apă proaspătă. În alte țări, fabricile și centralele termoelectrice sunt obligate să folosească sisteme de ricire în circuit închis, pentru a nu consuma apă din rîuri și lacuri.

Reutilizarea apei pune, însă, probleme importante în legătură cu semnificația ei pentru sănătatea publică în raport cu contaminantul incriminat (biologic, chimic sau fizic) și cu doza lui de acțiune asupra populației. De asemenea, una din problemele evaluării impactului reutilizării apei reziduale tratate asupra sănătății publice este prevederea efectului expunerii de lungă durată la doze mici de compuși potențial cancerigeni sau mutageni, prezenti în apa potabilă /2/.

Dificultățile puse de problema apei nu constau numai în satisfacerea societății umane cu cantitatea necesară de apă. Problema calității apei naturale este de aceeași importanță în relație cu dezvoltarea industriei, agriculturii, urbanizarea și poluarea intensă a cursurilor de apă de către apele reziduale și de către diferite alte reziduuri.

Cantitatea de reziduuri industriale și municipale deversate în cursurile de apă ale lumii este foarte mare, $500 \text{ km}^3/\text{an}$. Reziduurile impurificatoare, de multe ori, față rîurilor și lacurilor necorespunzătoare pentru uz pe o zonă vastă. Unele reziduuri industriale, chiar după epurarea mecanică și biologică, necesită o diluție de 5-25 de ori cu apă curată, în vederea reutilizării. Unele ramuri ale industriei chimice necesită chiar un volum de diluție de 200-250 de ori pentru a dilua reziduurile /1/.

Intrucât nevoia de consum crește continuu, depășind uneori sursele existente, cu toate procedeele care se aplică pentru epurarea apelor reziduale, pe zone întinse sunt folosite ape contaminate, care afectează starea de sănătate a populației. De altfel, OMS estimatează că, pe plan mondial, aproximativ 80% din cazurile de îmbolnăviri și au sursa în apa poluată. Principalele boli hidrice, cu rata mortalității cea mai ridicată, sunt febra tifoidă și holera /3/.

Dar nu numai cantitatea de deșeuri a crescut foarte mult în ultimele decenii ci și caracterul acestora s-a modificat, apărând ape reziduale dificil de epurat. Chiar și apele uzate menajere se schimbă, înlocuirea săpunului cu detergentii sintetici fiind un exemplu tipic, însă cele mai mari modificări au intervenit în compoziția apelor reziduale industriale. Foarte multe din substanțele chimice utilizate în prezent, precum și numeroase procese tehnologice care generează reziduuri lichide au apărut relativ recent, fiind în continuă creștere. De exemplu, vertiginosa dezvoltare a industriei chimice de sinteză, cu numeroasele sale produse, datează de numai 20-30 ani, ceea ce a dus la apariția reziduurilor necunos-

cute înainte.

Schimbarea caracterului reziduurilor reprezintă o problemă mai dificilă decât creșterea cantității lor. Până nu de mult, majoritatea substanțelor organice, fiind de origine animală, erau ușor biodegradabile în natură, fiind transformate în substanțe simple, nociive. Este caracteristic pentru majoritatea substanțelor sintetizate artificial, că ele sunt nebiodegradabile sau foarte greu biodegradabile. Stabilitatea și persistența substanțelor organice, sintetice prezintă avantaje considerabile în utilizarea lor, însă chiar această proprietate conduce la dificultăți în privința evacuării lor după întrebuințare /4/.

Sursele de poluare a apei sunt variate: naturale și artificiale, organizate și neorganizate, accidentale sau sistematice, temporare sau permanente, continui sau intermitente, fixe sau mobile /5/. Cea mai frecventă clasificare se face după criteriul practicii, împărțind sursele de poluare după natura apelor reziduale, care sunt: ape reziduale menajere, ape reziduale orășenești și ape reziduale industriale; sau după caracteristicile fizico-chimice: ape reziduale cu conținut predominant de materii organice (apele uzate menajere, din industria alimentară, din industria de sinteză organică) și ape cu conținut predominant de materii anorganice (din industria anorganică, metalurgică, acoperiri galvanice, etc.) /6/.

Apele reziduale orășenești provin din amestecul apelor menajere cu unele ape reziduale industriale și cu apele pluviale. Compoziția acestor ape reziduale variază de la un oraș la altul, după natura industriilor, cantitatea de apă folosită de locuitori, etc. Ele conțin o mare cantitate de substanțe organice putrescibile, săruri minerale, în deosebi clorură de sodiu, hormoni, vitamine, săpunuri, detergenti, suspensii și un mare număr de microorganisme (bacterii patogene și saprofite) care provoacă o puternică contaminare bacteriologică a apei, putând determina răspândirea unor boli hidrice grave. De asemenea, apele reziduale orășenești, caracterizate printr-un miros greu, neplăcut, pot conține și săruri ale unor metale grele, toxice (Zn, Cu, Cr, Mn, Ni, Pb, Cd, etc.) /3/.

Apele reziduale industriale de natură organică provin în mare parte din: industria alimentară (fabriki de zahăr, amidon, drojdie de bere, produse lactate, abatoare, etc.), caracterizate printr-un mare conținut de materii organice putrescibile; industria ușoară (tăbăcării și fabriki textile), apele reziduale de la tăbăcării

conțin; săruri de crom, hidrogen sulfurat și sulfuri și chiar germezi patogeni (bacilul antraxului); industriile de celuloză și hîrtie, care evacuează ape încărcate cu cantități mari de leșii sulfite, bogate în zahăruri și aminoacizi, furfurol, compuși ai sulfului, fibre de celuloză, etc. Se consideră, de exemplu, că o fabrică de hîrtie de dimensiuni mijlocii echivalează, în privința poluării, cu un oraș de 500.000 locuitori.

Printre industriile chimice care evacuează ape cu un conținut ridicat de substanțe organice, neputrescibile, se numără: combinatele petrochimice, rafinăriile de țăței, fabricile de coloranți, distileriile de lemn, etc.

De asemenea, ape reziduale cu o puternică încărcare de substanțe impurificatoare provin și de la marile complexe de creșterea animalelor, caracterizate printr-un conținut mare de substanțe organice, în diferite stadii de descompunere și printr-un potențial patogenic ridicat.

Dintre apele reziduale cu conținut predominant de substanțe anorganice, fac parte: apele de mină, din industria siderurgică, industria de prelucrare a metalelor neferoase, industria metalurgică, industria de îngătișări, clorosodică, etc.

Aceste ape reziduale se caracterizează prin: cantități ridicate de săruri (natriu, săruri de calciu și magneziu, compuși ai unor metale trăle toxice - Ni, Pb, Zn, Cu, Cd, Cr, săruri de Fe, compuși ai arsenului, etc.); și, însăși în cantități mari (praf de cărbune, substanțe orgânoase toxice, etc.), care se depun în albia emisarilor, distrugând fauna acvatică; cantități mari de fenoli, gudrcane, amoniac, cianuri, hidrogen sufulat, reactivi de flotație; uneori aciditate ridicată ($pH=2-4,5$, în cazul apelor de mină), etc.

In afară de categoriile de ape reziduale discutate mai sus, unii specialiști /5/, consideră ca o sursă de impurificare și apele meteorice. Acestea devin poluate mai puțin prin spălarea aerului, care nu provoacă o încărcare cu poluanți, decât la începutul căderii precipitațiilor, ci mai mult prin spălarea solului poluat cu reziduuri de diferite proveniențe: dejectii, cadavre vegetale sau animale în descompunere, substanțe chimice, microorganisme /7/. Cele mai concentrate în poluanți par a fi apele meteorice provenite din topirea zăpezilor, pentru că ele transportă toate depunerile acumulate pe sol un timp îndelungat și netransformate din cauza temperaturilor scăzute și a absenței activității biologice. Caracteristic pentru apele meteorice, în etapa actuală și în perspectivă, este po-

luarea cu pesticidele și îngrășămintele folosite pe scară largă, în agricultură.

Mai există, de asemenea, un tip de poluare, care produce tulărari funcționale grave în biocenozele acvatice. Este vorba de poluarea termică, întîlnită, în mod natural, în zonele tropicale, dar ea se dătorescă, în principal, deversării apelor de răcire ale centralelor energetice clasice și nucleare, care au adeseori temperaturi cu 5-12°C mai ridicate, decât aceleia ale apei naturale /1/,/6/. Creșterea temperaturii apelor rîurilor, ca urmare a evacuării în ele a apelor calde duce la: reducerea cantității de oxigen dizolvat în apă, accelerarea reacțiilor chimice și biochimice, modificări ale condițiilor fizico-chimice ale mediului, din cauza cărora pot avea loc schimbări mari ale regimului fizico-chimic și biologic al rîului, deobicei negativé (perturbarea condițiilor de respirație, posibilitatea de descompunere prea rapidă a compușilor organici, reducerea anumitor specii din biocenoză și posibilitatea de apariție a altor specii, a căror calitate și cantitate nu este de dorit, dezvoltarea unor specii producătoare de boli parazitare și infecțioase)/6/.

O problemă specială o prezintă poluarea radioactivă a apelor, care poate să apară în urma unor căderi de pulberi radioactive din atmosferă, datorită apelor de răcire a reactoarelor nucleare, a apelor din minele de uraniu și thoriu, ca urmare a incorectei manipulări și depozitării reziduurilor radioactive lichide sau solide.

In afara de deversarea organizată a apelor uzate în apele naturale, mai există încă diferite alte surse de impurificare, reprezentate prin descărcări ocasionale, neorganizate. Astfel, sunt descărcări de gunoaie, surgeri de pe șosele, topirea cînepii și inului direct în albia rîurilor, aruncarea de zgură și cenușă, rumeguș de lemn, nămoluri, borhot, etc. Mai sunt apoi descărcări accidentale de la garaje, depozitele de petrol, avarii ale vaselor petroliere, etc. Cînd rîurile receptoare au debite mici, evacuările neorganizate, întîmplătoare, de materii minerale și organice pot fi foarte dăunătoare, ducînd la poluarea gravă a acestora.

Efectele substanțelor impurificate asupra vieții acvatice pot fi foarte complexe. In afara de efectul fiecăruia impurificator în parte (toxicitate acută sau cronică), sunt periculoase și efectele rezultate în combinație cu alte substanțe (efecte însușite). La fel de importante sunt și efectele asupra oamenilor a can-

tităților mici de substanțe îngărate în timp (efekte în timp îndelungat).

Foarte periculare sunt efectele imediate ale impurificării, apele devenind nepotabile și necorespunzătoare pentru țăie, înot. Dintre efectele imediate se pot lua în considerare concentrările de bacterii din apele reziduale orășenești sau agricole, insuficient epurate și epidemiiile de febră tifoidă, dizenterie, etc.

Efectele treptate ale impurificării duc la modificarea, în timp, a faunei și florei acvatice.

Viața acvatică poate fi otrăvită fie direct, prin acțiunea substanței toxice asupra organismelor însăși, fie indirect, prin distrugerea surselor de hrănă potrivite. Un exemplu tipic, în acest sens este efectul fenolului asupra populației de păstrăvi. Fenolul exercită o toxicitate de cca. 10 ori mai mare asupra crustaceelor de apă curgătoare, decât asupra păstrăvilor, care se hrănesc cu aceste crustacee. În felul acesta, însă, păstrăvii pot mori datorită pierderii sursei lor principale de hrănă.

Efectul negativ al poluării apelor duce și la imposibilitatea folosirii lor ca mijloace de agrement, având și o influență negativă, directă, asupra randamentului pescuitului.

Multe exemple vin să confirme gradul alarmant de poluare pe care îl ating numeroase ape curgătoare, sau lacuri de pe pămînt. Astfel, pentru Paris, pînă la sfîrșitul sec.al XVIII-lea sursa de apă potabilă a fost Sena. În prezent, aceasta colectează affluenti urbani și industriali, cu un debit însumat ce depășește de peste 3. ori debitul său median. Rinul a devenit "cea mai mare cloacă a Europei", ceea ce a determinat luarea de măsuri radicale, foarte costisitoare, în cadrul operațiunii denumită "Rinul curat". De asemenea, eforturi foarte mari, în vederea reducerii gradului mare de poluare, se fac și în SUA, mai ales pe coasta estică.

Schimbările aduse mediului ambiant au fost adesea lente și greu de sesizat, deși unele dintre ele, aparent neînsemnante, au provocat daune ireversibile (folosirea pe scară tot mai largă a unor pesticide, poluarea cu mercur, etc.).

Problemele privind mediul înconjurător își au rădăcinile în modul tradițional în care a acționat și acționează economia fiecărui stat, precum și în faptul că nu s-au evidențiat pagubele, aduse mediului ambiant, în urma diverselor acțiuni întreprinse asupra acestuia.

In țara noastră protecția mediului înconjurător constituie o problemă de interes național în scopul păstrării echilibrului ecologic, menținerii și îmbunătățirii calității factorilor naturali, dezvoltării bogățiilor naturale ale patriei, asigurării unor condiții de viață și de muncă tot mai bune generațiilor actuale și viitoare.

In acest context, problemele privind protecția mediului ambient și în special ale apelor, sunt tratate în cadrul măsurilor de creștere economică, prin crearea unui cadru juridic, instituțional și operațional adecvat și extinderea relațiilor de cooperare internațională, la nivel mondial și regional, în acest domeniu.

La ora actuală, problemele menținerii calității vieții, ale prevenirii și combaterii poluării mediului, sunt dezbatute la nivelul celor mai înalte foruri naționale și internaționale cu rol de decizie în evoluția lumii contemporane. Pe baza datelor științifice acumulate s-au elaborat legislații de protecție a mediului, punându-se mai ales accentul pe aspectele de prevenire a degradării mediului ambient.

In această conexiune, este esențial de a reorienta sistemul de măsuri de conservare a apei spre prevenirea poluării, care trebuie să fie baza protecției resurselor de apă contra înrăutățirii lor calitative.

O strategie eficientă pentru protecția calității apelor impune instituirea unui sistem de informare asupra stării curente a calității resurselor de apă, asupra schimbărilor și tendințelor de evoluție a acesteia. E impunător, deci, un program complex, cuprinzător, de monitoring al resurselor de apă pe scară națională, de culegere, stocare, ținere la zi, analiză și prelucrare și utilizare efectivă a informațiilor, iar în cazul unor poluări cu acțiune amplă și foarte nocivă – la scară internațională.

Lipsa acestor informații, culese din timp, face ca intervenția omului, în cazul cînd schimbările sănt dăunătoare, să fie numai de ordin curativ, nemiputînd fi posibilă elaborarea unei strategii, pe termen lung, pentru prevenirea lor, înainte de a deveni grave. Astfel, de exemplu, în SUA și Japonia au fost luate măsuri severe în legătură cu poluarea datorată pesticidelor și mercurului, însă numai după ce aceasta a devenit critică în unele zone ale acestor țări și a dus la consecințe foarte grave, chiar pierderi de vieți omenești.

In stadiul actual de poluare a surselor naturale și a fluxurilor

lui, în continuă creștere, de noi substanțe impurificatoare, sistemele tradiționale de tratare și epurare a apei nu mai sunt suficiente, impunându-se, cu necesitate, introducerea de noi tehnologii și dezvoltarea continuă a celor existente. Acest lucru nu se referă numai la tehniciile de tratare și epurare, ci și la metodele de analiză a apei, la revizuirea standardelor. Dacă va continua evoluția actuală, conținutul de substanțe organice și anorganice va crește lent, dar continuu, ducînd la înrăutățirea gustului apelor potabile și impurificarea ei acută și cronică. Analizele unei multitudini de probe de ape vor trebui să stabilească profilurile calității în timp și spațiu, după cum apele circulă în natură și sunt colectate, stocate, tratate, folosite și transformate în ape reziduale, care, la rîndul lor, sunt colectate, purificate și deversate în cursurile naturale de apă sau împrăștiate pe sol /3/.

O soluție radicală a problemei complexe de protecție a apelor, contra înrăutățirii calității este de a micșora deversările de ape reziduale pe orice cale posibilă și, în final, de a elimina complet deversările de reziduuri poluante în apele naturale /1/. Reciclarea și reutilizarea materiilor, trebuie să devină componente intrinsecă ale proceselor de producție materială, aceasta implicînd, o strînsă conlucrare, pe baze științifice, a ecologiei cu economia.

Necesitatea ecologică impune ca, înainte de începerea lucrărilor de gospodărire a apelor, să fie luate în considerare toate implicațiile ecologice. De multe ori, eficiența economică trece (sau ar trebui să treacă) pe planul doi, acordîndu-se întîietate criteriilor sociale și ecologice.

În soluționarea unor probleme complexe cum este calitatea mediului ambiental, singurul mijloc eficient este analiza sistemică, care permite să se evalueze o cantitate uriașă de relații interdependente, să se compare o multitudine de factori, să se prevedă acțiunea unor elemente instabile (vînt, temperatură, climat, etc.), să se modeleze și optimizeze parametrii considerați.

O schemă simplă de proiectare a protecției calității apelor este ilustrată în fig.I./8/.

Protecția calității apelor este un fenomen interdisciplinar în care intervin: aspecte politice, sociale, economice, juridice, tehnologice și științifice, și care numai analiza sistemică le poate soluționa în mod corect și eficace.

O direcție în care se fac eforturi deosebite a constituie

informarea și educarea, pe diferite căi, a publicului larg, în vederea formării unei atitudini noi, conștiente, față de natură. Utilizarea apelor este o chestiune ce ține de cultură și schimbările în structura

Reprezentarea analitică a proiectării protectiei apelor.

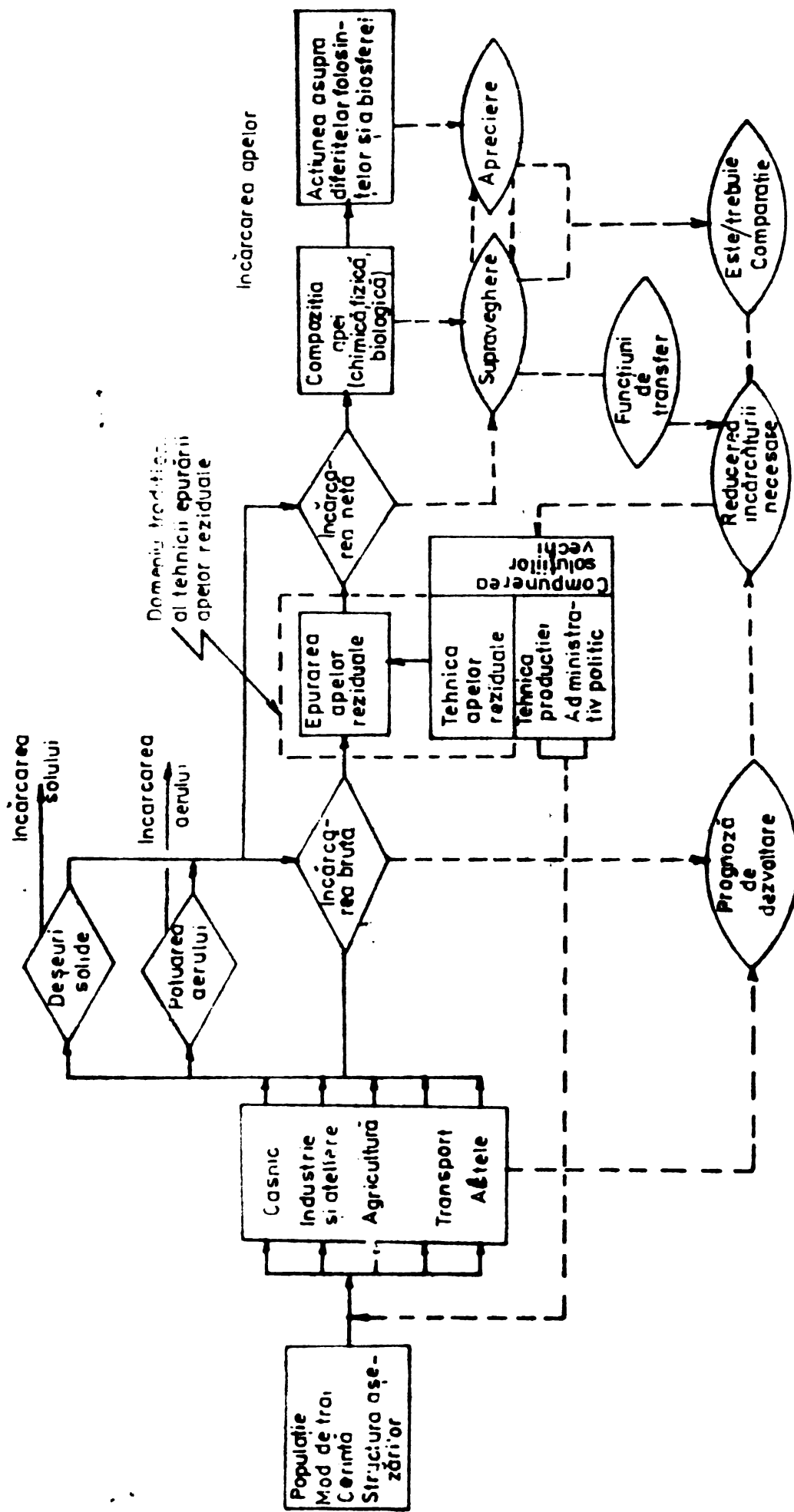


Fig. 1

sa trebuie să fie treptate și bazate pe informarea, educarea, organizarea, participarea și autoeducarea populației. Mediul social este la fel de important ca și cel fizic pentru adoptarea cu succes, a unor noi căi de utilizare a apelor în diverse scopuri și, în consecință, trebuie să li se acorde o atenție egală /1/.

Problema educației ecologice are un dublu scop: educarea întregii populații a țării în vederea crotirii naturii și formarea de specialiști în protecția mediului.

Pare incredibil că omul să se confrunte cu criza resurselor de apă pe planeta apelor – Pămîntul. Dacă se compară balanța resurselor de apă și a nevoilor lumii, din punct de vedere cantitativ și calitativ, se constată că rezervele de apă curată și corespunzătoare din punct de vedere sanitar scad în progresie geometrică, amenințind umanitatea.

Să impunem, deci, reconsiderarea poziției noastre față de natură, față de această boală naturală, care este apa. A venit vremea "...să învățăm cum să restituim naturii bogăția împrumutată de ea" /9/.

BIBLIOGRAFIE

- /1/. x x x Water Development and Management, Proceedings of the United Nations Water Conference, Mar del Plata, Argentina, martie, 1977, p.470-518, 2199-2215.
- /2/. Cooper C.R., Č. Inviron. Eng. Dyl, nr. EII, februarie, 1977, p.37-47.
- /3/. Fair L.G., Geyer C.J., Okun A.D., Water and Wastewater Engineering, v. II, Water Purification and Wastewater Treatment and Disposal, 1968, J. Wiley and Sons, Inc. New-York-London-Sydney, 19-4, 20-3, 20-15, 20-17.
- /4/. x x x British Water Supply, 2, 1973, p.6-11
- /5/. Ionescu Al., Efectele biologice ale poluării mediului, Ed. Acad. RSR, București, 1973, p.29-33.
- /6/. Mălăcean I., Biologie apelor impurificate, Ed. Acad. RSR, București, 1969, p.41-44, 46-51.
- /7/. Roberts P.V., Dauber L., Gas-Wasser-Abwasser 56, nr. 12, 1976, p.672
- /8/. x x x Einheitsverfahren der Wasserversorgung und Abwasserreinigung, Institut für Gewässerschutz und Wassertechnologie, Zürich, 1974
- /9/. Commoner B., Cercul care se închide, Ed. Politică, București, 1980

2. SUSPENSII SI COLOIZI IN APELE NATURALE SI REZIDUALE

2.1. Considerații generale

Impurificarea naturală, datorită eroziunii malurilor, proceselor naturale de sinteză și de descompunere, etc., cît mai ales impurificarea datorită activității umane face ca apele de suprafață să nu prezinte calitățile necesare unei folosiri directe și pună mereu probleme noi în tehnologia apei.

Complexitatea surselor de poluare crează o gamă largă de substanțe impurificatoare, aflate atât sub formă de suspensii, cît și ca soluții reale. La aceasta se adaugă variabilitatea mare a compoziției și a concentrației elementelor componente ale apelor de suprafață, funcție de natura albiei și a efluentilor, a condițiilor meteorologice, a anotimpurilor, etc.

Dintre elementele impurificatoare, substanțele în suspensie sunt nelipsite din aceste ape.

Având în vedere că pentru o apă potabilă, o condiție indispensabilă este limpezimea perfectă, se impune eliminarea suspensieilor atât din motive estetice, cît mai ales datorită faptului că acestea reprezintă adeseori substanțe care alterează proprietățile organoleptice, fie sunt toxice pentru organismul uman.

Prezența unor substanțe în suspensie, chiar inerte, provoacă o serie de neajunsuri și în cazul apelor industriale: vopsire neuniformă, formarea de pete pe țesături, apretare necorespunzătoare, împiedicarea proceselor de separare din soluții, impurificarea produselor chimice, altăzarea produselor alimentare, colmatarea filtrelor cu schimbători de ioni, deranjamente în funcționarea cazanelor cu aburi, etc./1/.

Aapele reziduale se caracterizează în general printr-un conținut ridicat de suspensii, care ajungând în rețeaua de canalizare pot provoca înfundarea conductelor sau prin descompunere pot da naștere la gaze toxice (hidrogen sulfurat), pot înmuia sau umfla cimentul (gudroane, coloizi organici) sau provoca că explozii (metan). Prin devenirea directă în emisari, suspensiile degradabile provoacă prin decompunerea accentuată din lunile de vară un deficit accentuat de oxigen cu urări grave pentru fenomenul de autoepurare.

Conținutul de suspensii sau turbiditatea apei apare astfel ca un factor esențial, și în cazul tratării apelor de suprafață

în scop potabil sau industrial, cît și în cazul șepurării apelor reziduale.

Separarea particulelor în suspensie din apele naturale și reziduale cu dimensiuni cuprinse între $0,005$ și $100 \text{ } \mu\text{m}$ ($5 \cdot 10^{-9} - 1 \cdot 10^{-4} \text{ m}$) are loc în următoarele procese:

- aglomerarea particulelor în suspensie în apele naturale (argila, oxizi de fier, fitoplanton, resturi biologice);
- coagularea suspensiilor din apele naturale sau reziduale;
- biofloculare (depunerea bacteriilor și a altor suspensiilor în procese de tratare biologică);
- condiționarea reziduurilor;
- filtrare, infiltrarea apelor subterane;
- precipitare (eliminarea fosfaților).

În funcție de dimensiunile lor, particulele în suspensie pot fi reținute în oricărora dintre categorii de filtre, după cum rezultă din figurile 1 și 2.

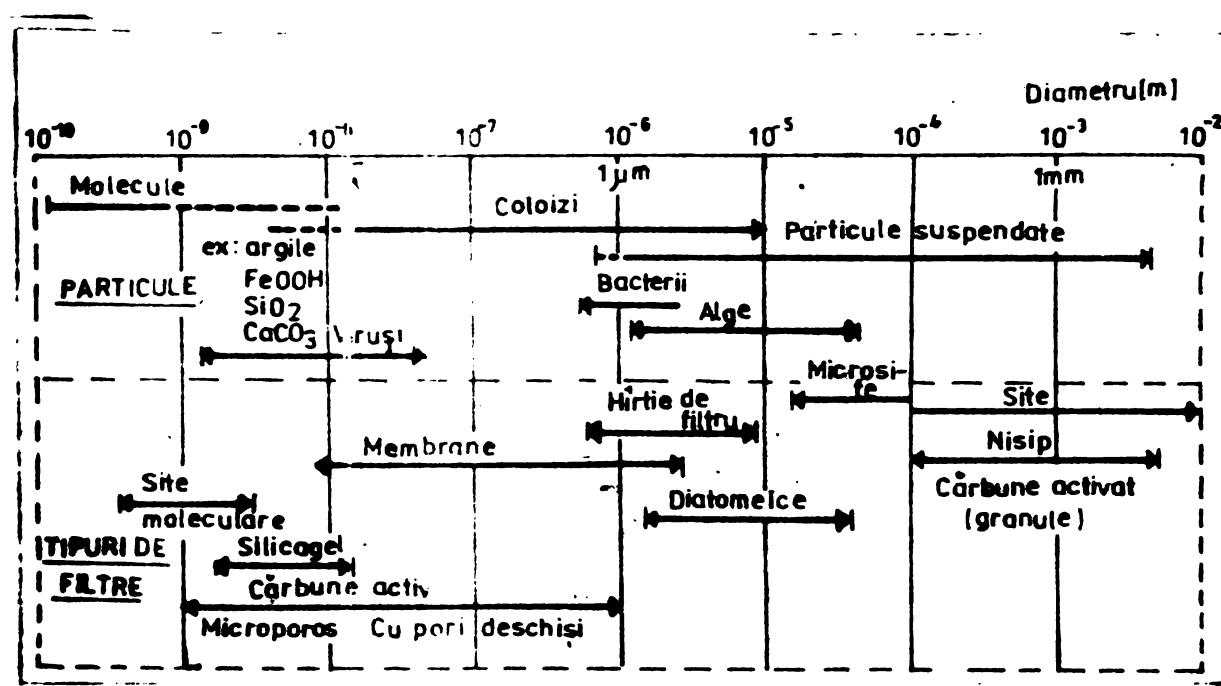


Fig.1

Rareori particulele coloidale pot fi separate prin depunere, doar cind starea lor îi aggregă o permite sau prin filtrare, dacă aderă la grăunții stratului filtrant /2/.

Este astăzi dovedit că metodele mecanice-desnisipare, sedimentare, filtrare nu pot asigura calitatea cerută apei în privința turbidității, sinură modalitate practică eficace în această direcție fiind tratarea chimică, adică coagularea sau flocularea /1/ urmată de sedimentare, flotare sau filtrare.

434003
7316

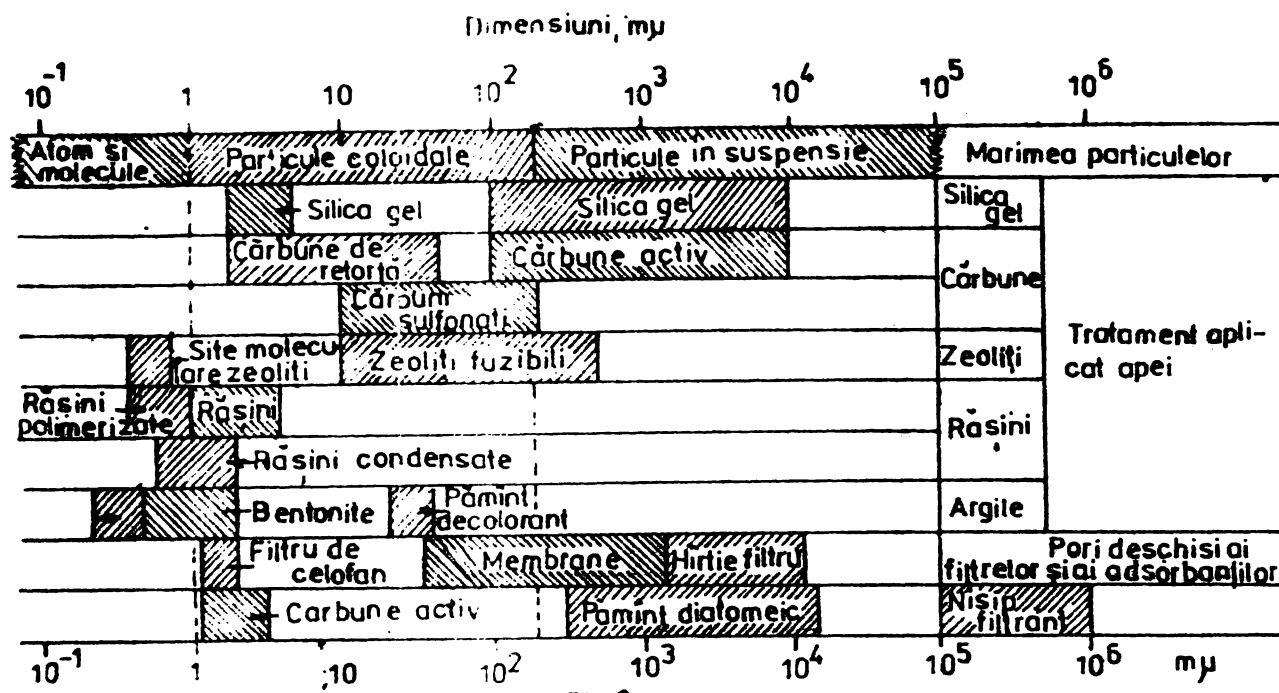


Fig 2

In decursul istoriei sale, tehnologia apei a cunoscut o serie de realizări remarcabile, dar majoritatea acestora se limitau la stabilirea unor procedee de exploatare. Începuturile unor cercetări științifice sistematice pentru elucidarea aspectelor complexe pe care le ridică chimia și tehnologia apei, sunt relativ recente, situindu-se adesea în domeniul cercetărilor interdisciplinare.

Un port important în acest domeniu l-au adus în tără cercetările întreprinse de colectivul condus de prof.dr.ing. V. Cecheci, în special în era procesului de coagulare.

Coagularea și-a extinsat de mai multe decenii un loc important și, bine determinat, în tehnologia tratării apelor de suprafață în scop potabil și industrial și mai recent și în epurarea apelor reziduale. Contine totuși și intensificarea cercetărilor în acest domeniu să datorat nu în parte cunoașterii insuficiente a legilor care guvernează procesul, iar pe de altă parte /3,4,5,6/, creșterii gradului de poluare a apelor naturale, ce crează noi probleme în tehnologia apei /7, 8, 9, 10, 11/.

Astăzi, practic se răspunde toate metodelor de epurare a apelor reziduale, în special a celor industriale, inclusiv tehnologia lor coagularea. În cadrul celor de recirculare, singura soluție de perspectivă în tehnologia apei, coagularea, reprezintă o fază obiectie /1, 2, 3, 4/.

În procesele de epurare propriu zise, coagularea prezintă

o gamă largă de aplicații /14,15,16,17,18,19,20,21,43,44/. Se remarcă efectele superioare, obținute în cazul unor ape puternic impurificate cu poluanți organici, de exemplu în cazul complexelor zootehnice /22/, a prelucrării țitșeiului /23/, industriei hîrtiei /24/, prelucrării pieilor /25/, etc.

În cazul epurării apelor reziduale cu compoziții predominant anorganici, pot fi menționate epurările prin coagulare a apelor reziduale de la prelucrarea minereurilor polimetalifere, de la fabricarea pigmentelor, de la acoperiri galvanice, ape radioactive, ape reziduale cu conținut de fosfați /26,27,28/.

2.2. Suspensii coloidale

2.2.1. Considerații privind caracteristicile generale ale coloizilor

În categoria sistemelor disperse, coloizii, adică sistemele disperse corpusculare, heterogene sau omogene, macromolecular sau micromolecular, cu o suprafață de separație apreciabilă /29/, prezintă particularități specifice.

Tinând seama de faptul că "această stare a materiei" constituie obiectul pe care îl dăm de studiu în procesul de coagulare, se impune trecerea în revizuire a principalelor proprietăți precum și a comportării coloizilor.

Coloizii nu sunt o clasă de substanțe diferită de cristaloizi, aşa cum erau în concepția lui Grahame la sfîrșitul secolului al XIX-lea, ci o stare dispersă în care se poate afla orice substanță.

Sistem coloidal propriu zis, poate fi considerat orice sistem care îndeplinește două deziderate:

- să fie format din cel puțin două componente dintre care măcar una în stare condensată (lichid sau solid);

- cele două componente să fie separate printr-o suprafață mare, astfel organizată încît să fie independente geometric. Aceste particule ale fazelor disperse, poartă denumirea de particule coloidale.

În tehnologie, atunci, mediul de disperzie este soluția apăsă, iar faza dispersată este constituită din materii organice sau anorganice, biotice sau abiotice, de o varietate inimagineabilă dacă ne gîndim la variabilitatea și complexitatea apelor naturale, dar mai ales a celor rurale.

Gradul înalt de dispersie a sistemelor coloidale face ca fazele solide să aibă o energie superficială specifică mare, de ordinul a cîtorva milioane erg.m⁻², ceea ce la suprafețe superficiale disponibile foarte mari, de ordinul a sute de m².g⁻¹, corespunde la energii superficiale de ordinul a 10⁹ erg.g⁻¹ și ca urmare comportarea acestor sisteme este strîns legată de analiza interfeței solid-soluție, fenomenele superficiale determinînd proprietăți proprii.

Dintre caracteristicile generale ale sistemelor coloidale și care pot fi determinate, se pot aminti: numărul, dimensiunile, masa și forma particulelor.

Analiza röentgenografică, precum și cercetările efectuate cu microscopul electronic, au demonstrat că particulele coloidale pot fi "liniare" sau "globulare", fără a avea în acest din urmă caz, decît foarte rar formă sferică, ele apropiindu-se mai mult de forma cubică sau octaedrică, care sunt formele cele mai simple și mai frecvente de microcristalite elementare.

Forma particulelor coloidale influențează foarte mult comportarea lor, comportarea lor fiind diferită, mai ales între coloizii liniali și sferocoloizi, dacă rindându-se în primul rînd deosebirilor de suprafață, specifică și implicit numărului și tipului de interacțiuni cu mediul. Coloizii linieri au în general o suprafață de contact mai mare și interacțiunea lor cu mediul înconjurător, ceea ce le conferă uneori și proprietăți cu totul diferite.

Diferența dintre cele două categorii morfologice principale de coloizi, se face prin diferite metode de analiză dispersă și de analiză structurală /1/.

Metodele experimentale de determinare a gradului de dispersie precum și a altor caracteristici ale particulelor coloidale, fac parte din domeniul analizei disperse, care se bazează în general pe fenomene fizico-mecanice, optice și cinetică-moleculară.

Metodele bazate pe fenomenele mecanice sunt cernerea, filtrarea, ultrafiltrarea, dializa, sedimentarea.

In figura 3 sunt redate domeniile de utilizare ale metodelor microscopice, de cernere și ale metodelor bazate pe impulsuri electrice /1/, pentru determinarea concentrației și a dimensiunilor particulelor.

Deci entonometria gravitațională aplicată încă de pe timpul lui Hipocrate (400 î. e. e.) și reluată pe baze stiințifice de către

H.Davy (1815) se folosește astăzi curent, prin intermediul balanțelor de sedimentare automate, care înregistrează automat și timpul de depunere corespunzător fiecărei fracțiuni cîntărite.

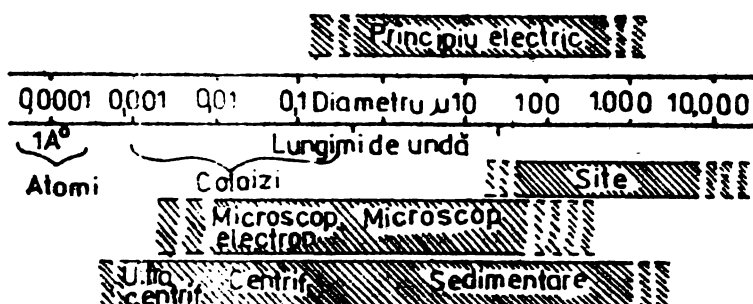


Fig.3

Fenomenele optice, generale tuturor sistemelor fizico-chimice, cum sunt reflexia, absorbția și interferența se aplică și sistemele coloidale, dar alături de acestea au loc și fenomene optice specifice coloizilor ca: efectul Tyndall, efectul Mie, refracția și lumenen, etc./29/.

Efectul Tyndall, sau difuziunea luminii de către particulele coloidale, este fenomenul optic cel mai caracteristic. Particulele coloidale, avînd dimensiuni de același ordin de mărime cu lungimile de undă ale oscilațiilor luminoase, dau naștere fenomenelor de difracție și interferență, care se produc totdeauna la trecerea luminii prin fante sau nerregularități foarte mici.

Pe fenomenul de difuzie a luminii, din conul Faraday-Tyndall, se bazează construcția ultramicroscopului, care permite determinarea numărului de particule coloidale.

Selectivitatea absorbției luminii de către faza dispersă, împreună cu fenomenul de difracție a luminii, determină culoarea diferită a solilor.

Trecerea luminii prin sistemele coloidale se supune legilor clasice ale reflexiei, refracției și absorbției.

Intensitatea lu înii reflectate urmînd legile lui Lambert și Beer, a putut fi stabilită o relație a absorbției coloizilor care ține seama și de turbiditate.

Dintre fenomenele cinetico-moleculare, pentru sistemele coloidale este specifică mișcarea browniană caracterizată, atît printr-o mișcare de oscilație în jurul centrului de greutate, cît și printr-o mișcare de translație determinată de fluctuațiile de impuls.

2.2.2. Considerații privind structura particulelor coloidale

Structura particulelor coloidale este complexă și numai cunoșcind concepțiile actuale asupra formării particulelor coloidale, interacțiunile care se manifestă în procesul de separare a acestora la interfața solid-lichid, poate fi îmbunătățită eficiența coliziunilor dintre particule și pot fi optimizate procesele de coagulare sau filtrare /2/.

Proprietatea substanțelor de a se dizolva într-un solvent carecare este determinată de fenomenul de solvatare (pentru soluții apoase hidratare). Fenomenul de solvatare este o consecință a atracției între moleculele de dizolvant și cele de pe suprafața de dizolvat. În cazul formării soluțiilor reale, mărimea acestor forțe de atracție este mai mare decât mărimea forțelor de atracție a moleculelor în rețeaua cristalină a substanței dizolvate. În cazul formării unui sistem coloidal, moleculele substanței "dizolvate" se atrag cu o forță mai mare decât moleculele dizolvantului. În anumite condiții acest fenomen se oprește la dispersia coloidală, ca urmare a apariției între dizolvant și particulă a unor suprafete de separare.

Intr-un sistem coloidal mărimea acestor suprafete de separare este considerabilă, datorită gradului de dispersie și ea este egală cu suprafața medie a particulelor înmulțită cu numărul lor /31/. Această suprafață de separare prezintă proprietăți fizico-chimice diferite de volumele ambelor faze învecinate. Această deschidere este condiționată de o rezervă suplimentară de energie superficială, iar mărirea sau micșorarea concentrației speciilor în stratul superficial are la bază fenomenul de adsorbție care se susține ecuației empirice a lui Freundlich:

$$\frac{x}{m} = ac^{1/n}$$

în care: x = cantitatea de substanță adsorbită, în mg

m = cantitatea de substanță adsorbantă, în mg

c = concentrația la echilibru a substanței adsorbite

a și n = constante care de determină experimental

În funcție de caracterul fazei solide și a solventului poate avea loc o acție pozitivă sau una negativă, după cum stratul superficial se învecinează, respectiv sărăcește în substanță solvată. Procesul este reversibil, echilibrul de adsorbție stabilindu-se atunci când vitezele ambelor procese devin egale. Alături de

adsorbția pur fizică, pot decurge și fenomene de adsorbție și chemosorbție, care înglobenă procesul pur adsorbtiv.

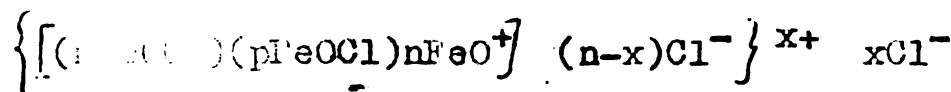
Adsorbția ionilor puternic hidratați este posibilă, numai în acele cazuri, cînd forțele de atracție care acționează din direcția fazei solide sunt mai mari, decît forțele dintre ioni și moleculele de apă. Dacă faza solidă cedează soluției diferiți ioni încărcindu-se cu o sarcină electrică de semn opus ionilor cedați soluției, în jurul fazei solide formîndu-se un cîmp de forțe electrice, ionii de semn opus, care se află în soluție, atît cei cedați de faza solidă, cît și cei inițiali ai soluției, ajungînd în acest cîmp de forțe, vor fi șrași de faza solidă și concentrația lor în soluție se va micșora.

Pentru ca solii să fie stabili, este necesară existența unui mic exces de reactiv, exces care asigură formarea stratului adsorbit pe suprafața particulelor coloidale /33/.

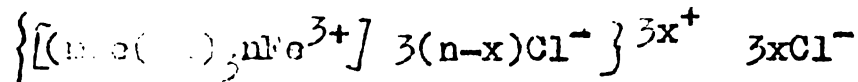
Astfel în cazul formării solilor de AgI din AgNO_3 și KI , particulele coloidale vor avea sarcini fie pozitive fie negative, în funcție de reactiv. În exces, încărcarea datorîndu-se ionilor adsorbiți (Ag^+ sau I^-).

În cazul solului de hidroxid feric nucleul va fi format din particule de $\text{Fe}_2\text{O}_3 \cdot n\text{H}_2\text{O}$ sau FeOOH (datorită deshidratării parțiale), precum și din particule neutre de FeOCl datorită hidroclizei FeCl_3 .

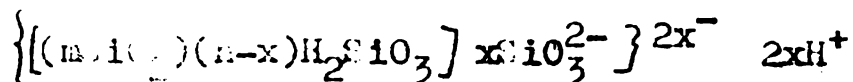
Structura micelă va fi:



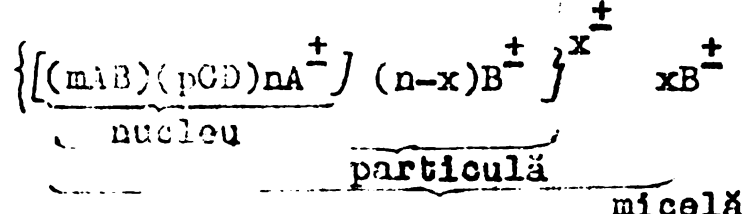
sau:



În cazul solului de silice, nucleul micelării va fi format din anhidrida acidului silicic, precum și din molecule neutre de acid silicic. Structura micelării în acest caz va fi:



Se poate admite în concluzie următoarea schemă generală a micelelor:



în care: AB – nucleu solid; CD – molecule neutră;

A - ioni adsorbiți (anioni sau cationi)

B - interfața solid-lichid

La interfața solid-soluție a coloizilor, ca urmare a încărcăturii reciproce a fazelor și formarea unui dublu strat electric, se stabilește o diferență de potențial electric care, în regim statutar, ia valoarea sa corespunzătoare echilibrului termodinamic, exprimată prin relația lui Nernst,

Condiția de echilibru termodinamic la interfață poate fi exprimată prin egalitatea potențialelor electrochimice:

$$\bar{\mu}_s = \bar{\mu}_{sol} \quad (1)$$

unde $\bar{\mu}_s$ și $\bar{\mu}_{sol}$ sunt potențialele electrochimice ale părții "solide" respectiv ale părții "soluție" a interfeței, sau:

$$zF\phi_s + \mu_s = zF\phi_{sol} + \mu_{sol} \quad (2)$$

unde ϕ și μ sunt potențialele electrice, respectiv chimice; z - valența ionică; F - numărul lui Faraday.

Diferența de potențial solid-soluție, respectiv potențialul electric al interfeței față de soluție, pentru o singură specieionică, corespunzător echilibrului termodinamic, în concordanță cu relația lui Nernst va fi:

$$\psi^0 = \text{const.} + \frac{RT}{z_i F} \ln C_i \quad (3)$$

unde ψ^0 este potențialul electric al interfeței la echilibru, z_i și C_i - valența și concentrația speciei ionice dizolvate, R - constanta generală a gazelor, F - numărul lui Faraday, T - temperatura absolută.

Acastă relație particularizată descrie interfața solid-soluție dar în general nu fi vorba de un potențial mixt, potențialul ψ la interfață, să fiind dependent doar de o singură specie ionică /35/.

Mecanismul ce determină stabilitatea coloizilor, respectiv încărcarea suprafeței, proprietățile caracteristice interfeței solid-soluție a căror obiectul teoriei chimice și teoriei fizice.

Teoria chimică, mai veche, consideră coloiziile ca fiind aggregate cu structuri nicidecumă definite, la care sarcina primară a suprafeței provine din enzarea grupelor ionogene complexe prezente la suprafața coloizilor.

Teoria fizică și modernă introduce conceptul de dublu strat electric și ameliorarea factorilor fizici predominantă.

Deși teoria fizică a fost acceptată în diferite forme, mai mult sau mai puțin simplificate, la aceasta trebuie adăugați factorii chimici a căror interacțiune modifică proprietățile interfetei atât în cazul apelor naturale și reziduale, cît și în procesele de tratare /1/.

Teoria actuală privind conceptul dublului strat implică atât factori fizici cît și chimici.

Principalele tipuri de forțe, care pot apărea la interfața solid-soluție sunt forțele electrice, forțele de dispersie sau Van der Waals-London, legături de hidrogen, interacțiuni hidrofobe, admittindu-se în general o interacțiune chimică specifică atunci cînd în procesul de adsorbție intervin alte mecanisme de legare decît interacțiunea electrostatică, de exemplu, după o schemă de tipul celei din figura 4.

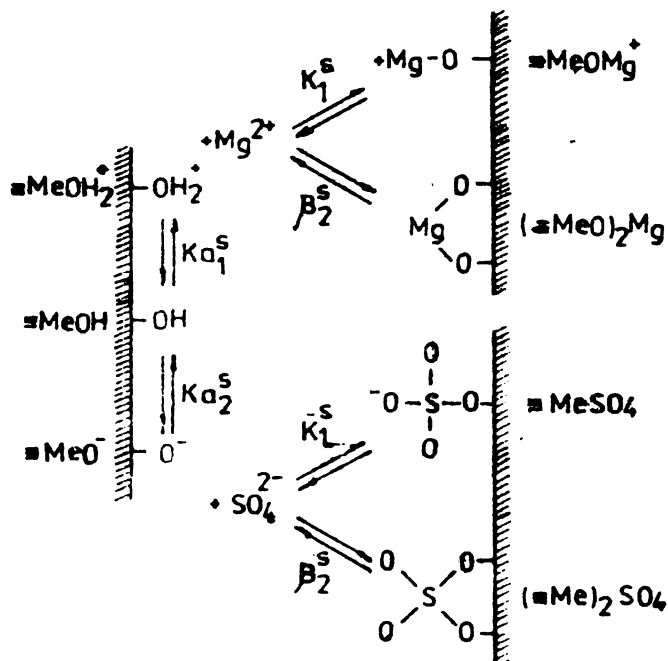


Fig.4

2.2.5. Considerații asupra dublului strat electric și distribuției potențialului

Satisfacerea condiției de electroneutralitate a sistemului solid-soluție, cere existența unor sarcini de semn contrar /1/.

Indiferent de cîmpineea sarcinilor electrice în dublul strat dissocierea grupelor ionogene din materialul dispersat, adsorbția ionicilor din soluție, adsorbția unor molecule polare și dissocierea lor pe suprafața solidului, condiția egalității potențialelor electro-

chimice ale celor două laze și a stabilirii potențialului electric, de echilibru termodinamic, este satisfăcută de o redistribuire a sarcinilor electrice și a materiei ca urmare a modificărilor complexe, care au loc la interfeță prin acțiunea unor forțe fizice și chimice.

Ionii de semn contrar sarcinii părții solide a interfeței – indiferent dacă au fost nașterea prin disocierea coloidului sau au preexistat în același mod cunoscuți sub denumirea de contraioni, se vor distribui în soluție în zona dublului strat. Corespunzător va exista și o distribuție a ionilor de același semn cu semnul părții solide a interfeței, co-ionii sau simili-ionii, la concentrații corespunzătoare în așa fel încât pe întreaga zonă a dublului strat să fie satisfăcută condiția de neutralitate.

Concepțiile asupra structurii dublului strat electric, au evoluat de la modele simple la modele mai complexe și ele vor fi prezentate cu referire la dublul strat în general, iar apoi particularizate la interfețele coloizilor.

Pentru simplificarea reprezentării, nu se vor indica și ionii din soluție de același semn cu sarcina solidului, exceptând situațiile cînd modelul necesită obligatoriu acest lucru.

In anul 1879 Helmholtz, a elaborat prima teorie a dublului strat, cunoscută sub denumirea de teoria Helmholtz-Perrin sau modelul condensatorului plan.

Teoria Helmholtz-Perrin presupune că sarcinile electrice ale părții solide ale interfeței distribuite într-un plan, sunt compensate de sarcina egală și de semn contrar (contraionii) din soluție, situată într-un plan la o distanță (σ_H) de suprafața de separație solid-soluție. Distanța σ_H s-a considerat de ordin molecular, iar cele două părți cu sarcini s-au assimilat cu armăturile unui condensator plan.

Un asemenea model este prezentat în figura 5 unde:
a = distribuția sarcinilor și b = distribuția potențialului.

ψ_0 este potențialul de echilibru termodinamic iar σ_H – grosimea dublului strat electric.

Practică a demonstrat că un asemenea model nu corespunde realității, datorită mai ales faptului că el nu permite descrierea dependenței capacității dublului strat de potențial și nu permite punerea în evidență a sarcinii nete din cazul fenomenelor electrocinetice.

Gouy (1910) și independent de el Chapman (1913) au elabo-

rat un model mai perfecționat al dublului strat, cunoscut sub denumirea de modelul Gouy-Chapman sau modelul dublului strat difuz.

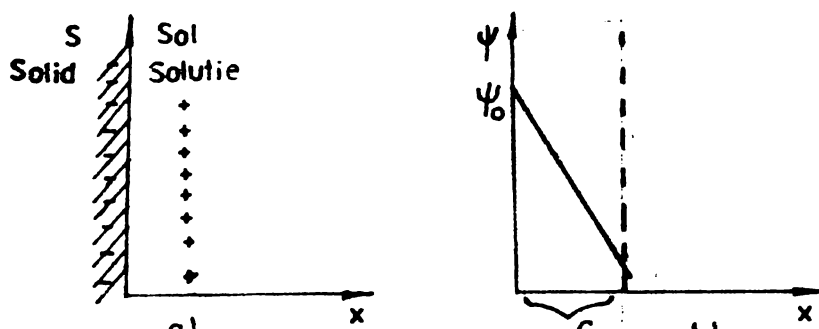


Fig.5

Potrivit acestui model, stratul de contraioni din soluție nu este compact, ci datorită agitației termice el este extins pe distanțe de 10-100 ori mai mari, decât cel de ordin monomolecular, fiind un strat difuz.

Potrivit concepției Gouy-Chapman, contraionii vor fi suspuși pe de o parte atracției electrostatice datorate sarcinii parții solide a interfeței, iar pe de altă parte difuziunii sub acțiunea agitației termice înspre interiorul soluției.

In figura 6 este redat modelul dublului strat difuz (a-distribuția sarcinilor, b-distribuția potențialului), iar în figura 7 este redată distribuția concentrației ionilor la interfață (excesul sau deficitul față de concentrația acelorași specii ionice din volumul soluției).

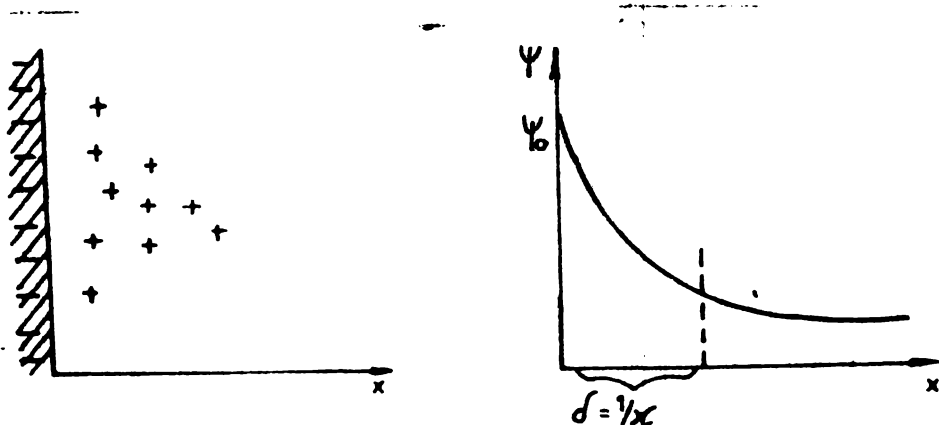


Fig.6

Grosimea echivalentă a dublului strat sau parametrul Debye-Hückel are expresia:

$$\frac{1}{\delta} = \gamma x = \sqrt{\frac{4\pi F^2}{DRT} \sum z_i^2 c_i} = \text{const. } \sqrt{I} \quad (4)$$

unde $I =$ tăria ionică.

In acest model ionii au fost considerați punctiformi, ceea ce ar însemna că nu se poate apropiă de interfață pînă la o distanță $x = 0$.

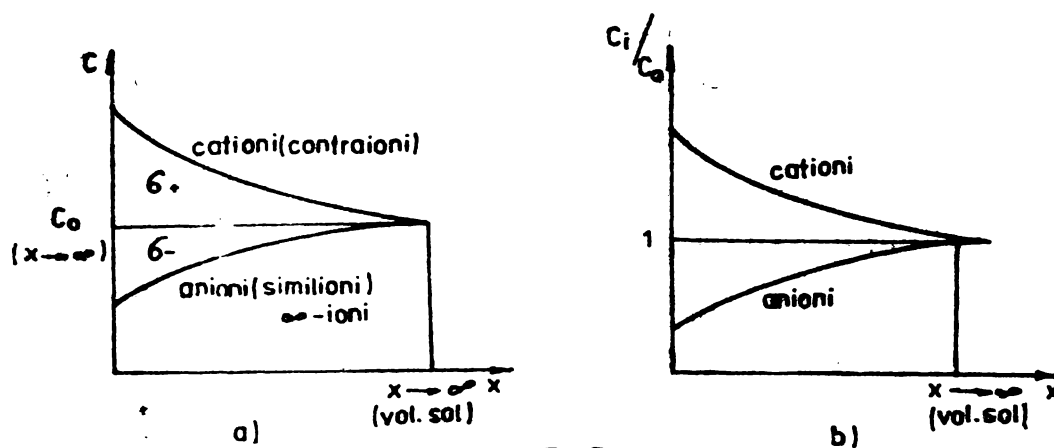


Fig.7

In anul 1924, în completează această teorie, introducind un model mai complex, care ține seama în acelaș timp, atît de existența stratului și v., cît și de aceea a stratului fin. În aceste condiții Stern introduce o nouă distanță δ_H corespunzînd unui $\Psi = \Psi_d$ și următoarea expresie:

$$\delta_H = \frac{\epsilon}{4\pi\epsilon_s} (\Psi_0 - \Psi) \quad (5)$$

în care: ϵ este ionică electrică

ϵ_s = permisiunea

In concordanță cu această imagine și cu toate rezultatele experimentale, înălțimea particulei, în raport cu soluția, ia înăstere o diferență de potențial la limita de separare strat fix strat difuz, denumită zonă electrocinetică și se notează cu ξ sau PZ (potențialul zero).

O treptă apoi perfecționarea imaginii asupra dublului strat a substituit-o Julian Stern-Grahame (1947) /3a, 34, 38/, care vine sănătățile specifică a ionilor și a dipolilor la interfață.

Păstrat în partea rigidă a dublului strat se disting două straturi fixe: stratul Helmholtz External (HHE-SHE) și stratul Grahame (PHI-SHE). Distribuția sarcinilor la interfață intru în model este redată în figura 8 unde este

localizată și suprafața sau planul de alunecare PA, ținând seama de asemenea și de aderanția specifică și de hidratarea solidului.

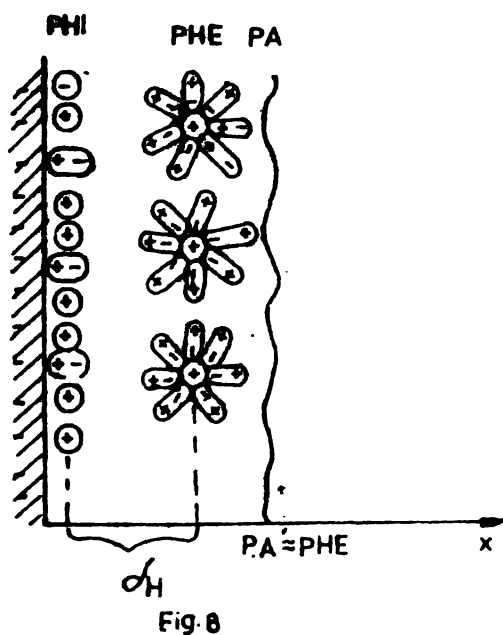


Fig. 8

Adsorbția specifică în stratul Helmholtz poate duce la modificarea sarcinii părții solide a interfeței și chiar la modificarea semnului său, la anularea și respectiv la schimbarea semnului potențialului ζ , aspect care se poate manifesta atât la formarea sistemului interfeței cât și la intervențiile ulterioare în sistem.

Modificarea sarcinii suprafetei și respectiv a potențialului său, nu are loc decât prin interacțiuni de adsorbție specifică, care implică forțe de dispersie, interacțiuni dipol-dipol, legături de hidrogen, etc., dependente de natura solidului și a speciilor reactante.

Tratarea matematică a dublului strat electric este o problemă dificilă /41/. Utilizând ecuația lui Poisson, referitoare la interdependența densității de încărcare potențial - se obține pentru suprafete de separare plane, în primă aproximatie funcția:

$$\psi' = \psi'_0 \cdot e^{-x/\lambda} \quad (6)$$

care conține și pe λ existent în teoria Debye-Hückel.

Cu toate că dubul strat difuz nu are o limită, se poate defini grosimea λ ca fiind distanța de la suprafața de separare /40/ la care potențialul a scăzut la valoarea $-\frac{1}{e} = 0,37$.

Că urmare a unui intervenții asupra sistemului coloidal, potențialul sau sarcina părții solide a interfeței se poate modifica, ceea ce apură ca o consecință a modificării structurii dublului strat și a compozitiei soluției interfeței.

Un tabel reprezentativ al diferențelor situații ce se pot întâlni la intervenții asupra unui sistem solid-soluție coloidal este redat în figura 9. Este prezentată o interfață cu partea solidă încărcată negativ, σ^+ și σ^- fiind concentrațiile de sarcină variabilă ale catiilor (surplus) și ale anionilor (deficit) la zona interfeței, c_0 - concentrația reper, σ și σ' sarcini netă la interfață σ_0 , variată concentratiei de sarcină a unui cation R^+

iar α și α' reprezintă figurarea pozitionării curbei de distribuție a potențialului din dublul strat electric.

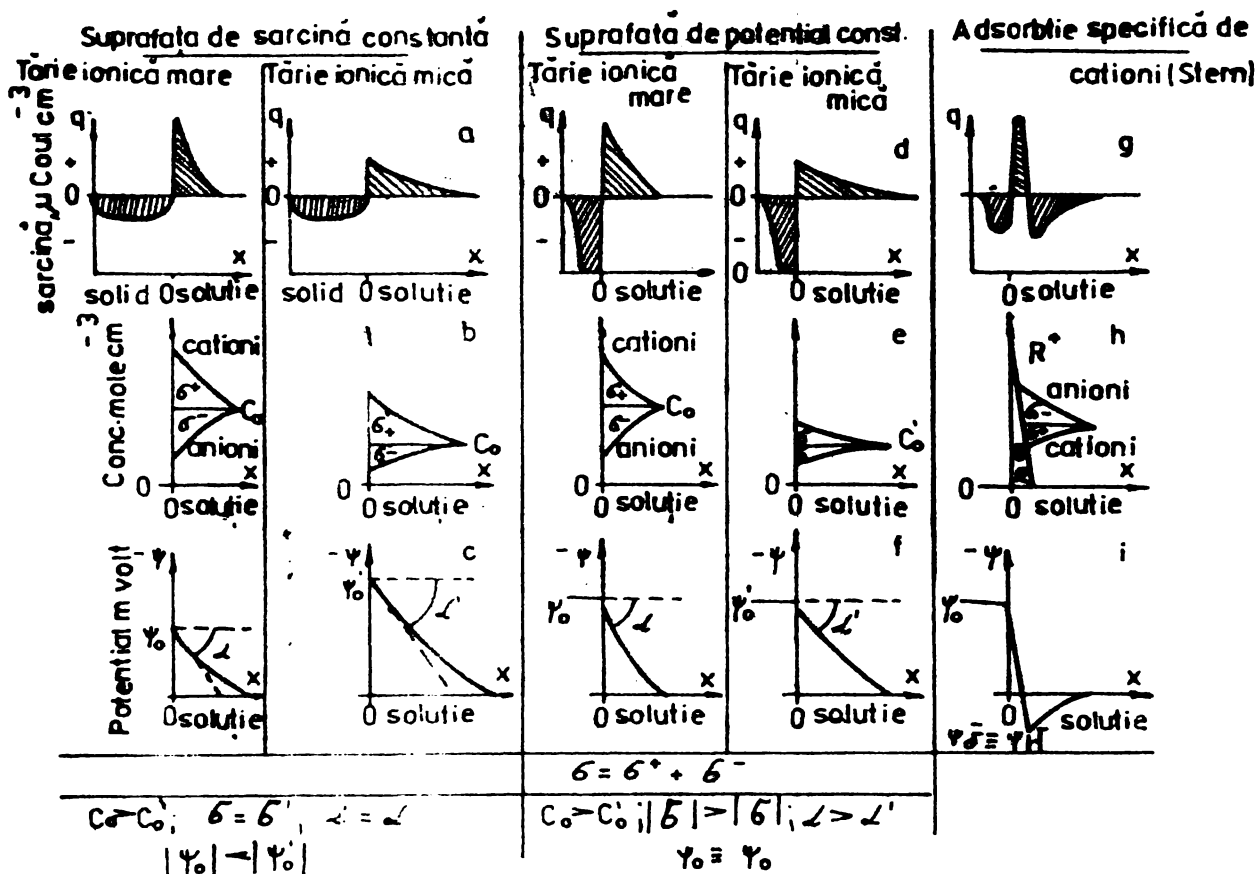


Fig.9

Mărimele σ^+ și σ^- au expresiile:

$$\sigma^+ = \frac{zF}{\pi} \int_{x=0}^{x=\infty} (n_+ - n_{x=0}) dx \quad (7)$$

$$\sigma^- = \frac{zF}{\pi} \int_{x=0}^{x=\infty} (n_- - n_{x=0}) dx \quad (8)$$

unde n_+ și n_- reprezintă concentrațiile variabile ale anionilor și cationilor în interiorul strat, iar $n_{x=0}$, concentrațiile din volumul soluției.

Suprafețe cu potențial constant sunt frecvente în cazul sistemelor coloidale, de exemplu solurile oxizilor de fier, iar o sarcină constantă se desvиеază pe un mineral ce conține în rețea sa une substanțe izomorfice, de ex. argila.

O reprezentare vizuală a structurii dublului strat este dată de Riedick și în figura 10.

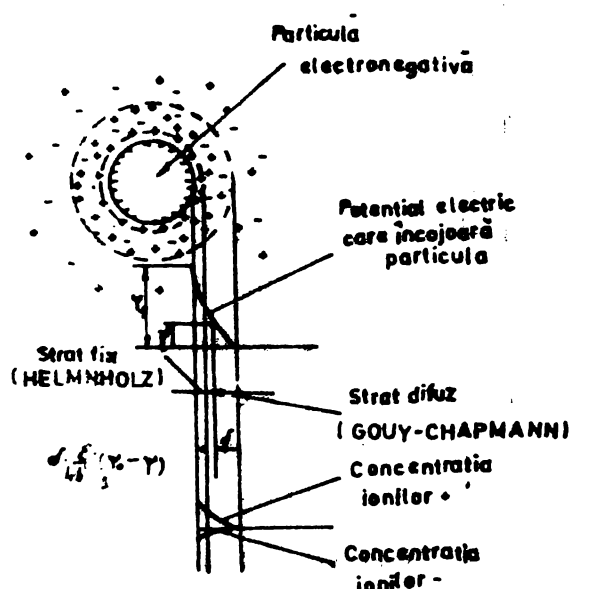


Fig.10

2.2.4. Considerări privind stabilitatea sistemelor coloidale

Forțele de la interfață și energiile potențiale ale speciilor moleculare sunt unice, joacă un rol important, atât în stabilitatea sistemelor coloidale cît și în destabilizarea lor.

Procesele careduc la distrugerea sistemelor coloidale se pot clasifica în două categorii/33/:

- procese de sedimentare, determinate de faptul că particulele fazei disperse nu pot separa, prin depunere sau flotare, în funcție de raportul dintre masa specifică a acestor particule și mediul de dispersie;

- procese de coagulare, constând în mărirea particulelor fazei disperse, respectiv micșorarea gradului de dispersie ca urmare a alipirii sau catopirifilor.

Coresponditor acestor categorii de stabilități se pot defini noțiunile de stabilitate cinetică și stabilitate la agregare.

Stabilitatea cinetică este legată în principal de faptul că în sistemele coloidale, fenomenul de sedimentare î se opune mișcarea browniană, condiționată de gradul de dispersie al particulelor și de masa lor specifică, precum și difuziunea care duce la uniformizarea concentrației fazei disperse.

In cazul particulelor mici, viteza de difuziune poate evita sedimentarea și de aceea la particule foarte mici, influența forței gravitaționale se manifestă numai în stabilirea unei stări de echilibru, denumit echilibru de sedimentare.

La acesta se ajunge deci ca rezultat al interacțiunii întăriției proprii a particulelor de a difuza și forței gravitației.

Pot apărea două cazuri limită:

- particulele fazei disperse sunt răspândite practic uniform în tot mediul;

- particulele fazei disperse sunt concentrate practic total în stratul inferior al sistemului, depunindu-se ca precipitat.

Între aceste două cazuri limită, este posibilă existența unui sistem, în care concentrația particulelor fazei disperse variază uniform pe totă înălțimea sistemului.

În condițiile invariabilității gradului de dispersie și a factorilor exteriori constanti, sistemul poate păstra un timp ne-limitat un echilibru de sedimentare staționar /39/.

Prin aglomerarea particulelor mici, viteză lor de sedimentare crește conform legii lui Stokes, cu pătratul razei particulei.

Datorită faptului că sistemele coloidale sunt de obicei polidisperse, se depun în primul rînd particule cu dimensiuni mai mari, observîndu-se la atingerea echilibrului o variație puternică a concentrației cu înălțimea, particulele mici depunindu-se mai încet.

În consecință la solii cu grad mare de dispersie, echilibrul de sedimentare se atinge greu, decarece în condiții obisnuite de păstrare, factorii legați de acest fenomen ca: agitațiile mecanice, curentii de convecție, etc., îl împiedică /33/.

Stabilitatea la agregare are un sens complet diferit decît în termodinamică, cu exprimă capacitatea unui sistem coloidal de a-și menține gradul de dispersie și de a se opune procesului de alipire a particulelor. Distrugerea stabilității la agregare este însoțită de mărirea turbidității, iar atunci cînd se termină prin depunerea fazei disperse respectiv prin pierderea totală a stabilității cinetice, procesul poartă denumirea de coagulare.

Sistemele coloidale pot fi caracterizate ca fiind stabile din punct de vedere cinematic, însă puțin stabilă în privința agregării spre deosebire de sistemele cu dispersie băută perfect stabilă în privința agregării, dar nestabile cinematic.

Sistemul coloidal stabil se caracterizează printr-o interfață mare solid-solutie și printr-o energie liberă mare, care dacă vor scădea vor duce la tendința de aglomerare, situație nouă care corespunde unei suprafețe și unei energii libere mai mici.

Pentru a lucea în discuție stabilitatea la agregare a unui sistem coloidal și a poterii factorului electrostatic, coulombian, cît și a interacțiunilor mai complexe din dublul strat care dic-

căză stabilitatea sistemului, se impune o trecere în revistă a distribuției energiilor potențiale la interfața solid-soluție a unui coloid.

Stabilitatea în agregare a sistemelor disperse hidrofobe - coloizi - este determinată în principal de factorul electrostatic, care acționează independent sau împreună cu factorul steric de stabilitate /34, 41, 47/.

Factorul electrostatic este legat de încărcarea reciprocă a fazelor, de existența dublului strat electric și de existența potențialului particulei lor, iar factorul steric se manifestă atunci cînd între particulele coloidale se întrepun bariere materiale protecțoare ca rezultat al adsorbției.

Interacțiunile particulelor de repulsie și a celor de atracție asupra stabilității sistemelor coloidale au fost studiate de Dereaghin și Landau (1941), Vevey și Overbeck (1948) fiind cunoscute în literatură sub denumirea de teoria DLVO.

Interacțiunile particulelor poate fi privită în primul rînd ca o interacțiune în două dulbe straturi, cînd forțele care se manifestă sunt același natură cu cele de la formarea dublului strat, respectiv forțe de încărcare electrostatică și forțe de atracție van der Waals. Acestea se manifestă pe anumite distanțe și acționează asupra speciilor moleculare și ionice din cele două dulbe straturi. În mod analog se pot pune în evidență interacțiunile asupra sistemului coloidal, de exemplu prin adaus de electrolit care va interacționa cu molele straturi ale particulelor sub acțiunea acelorași forțe.

Asimilind particula cu o sferă, încărcată cu un strat Gouy-Chapman, ca și cînd sarcinii coloidului ar fi concentrat la suprafață de separare /42/, pot fi puse în evidență componentele tipice de interacțiune. Astfel, dacă cele două sfere încărcate cu același semn al sarcinii ajung în apropiere, în soluții diluate și fără ioni adsorbibili specific, între ele manifestă respingere coulombiană.

Varietăția energetică de respingere cu distanță r aproximată pentru un strat Gouy-Chapman are expresia:

$$\psi_0 \cdot e^{-\lambda r}$$

Po lîngă această interacțiune de suprafață apar încă și interacțiunile de vînturi care se manifestă, fie prin atracție van

Energia totală de interacțiune rezultă din însumarea celor două tipuri de componente:

$$U_{\text{total}} = \psi_0 e^{-\lambda r} + (\lambda r^6 + \lambda r^{-12})$$

Dependența energiilor potențiale de distanțe de la suprafața uneia din sfere, echivalentă cu cea dintre suprafetele celor două sfere este redată în figura 11.

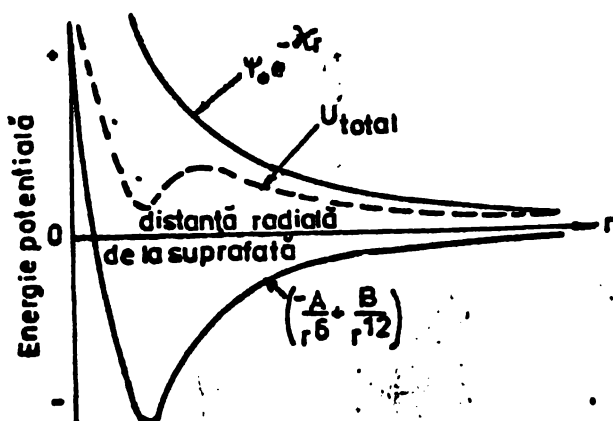


Fig. 11

Energiea potențială rezul-
tantă (U_{total}) situându-se deo-
supra absenței oricărui cîmp în
acest caz predomină respingerea,
deci particulele nu se pot li-
pi dacă nu se depășește barie-
ra de energie potențială și
prin urmare sistemul coloidal
este stabil.

Prin adăus de electroliți se poate manifesta fie o acțiune nespecifică fie una spe-

cifică asupra dublului strat difuz. Distribuția energiilor cu distanță radială de la suprafață este redată pentru această situație în figura 12.

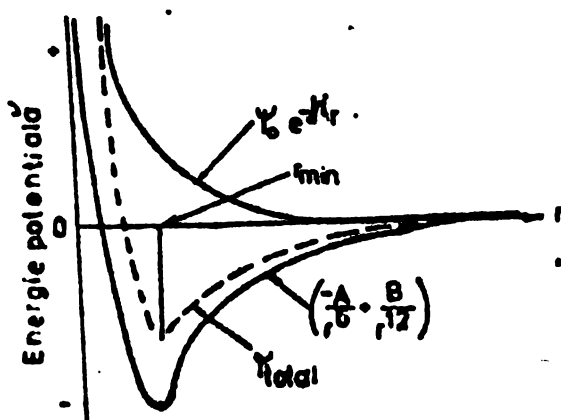


Fig. 12

S-a considerat în acest caz că interacțiunile de volum sunt nealterate, fiind o caracteristică a materialului particulelor, în schimb prin adăugarea unui electrolit se micșorează diferențiala în cadrul Gouy-Chapman, inclusiv la distanța r_{min} , corespunzătoare impreună apropierii a particulelor.

Strutul Gouy-Chapman este comprimat și curbe rezultantele interacțiunilor trăie pe unde de către vîrful energiilor potențiale.

înd un minim (maxim în valoare absolută la distanță r_{min}). Cele două particule se apropi și la această distanță să lipesc, situație întâlnită în procesele de coagulare-floculare.

In situațiile reale complexe, la care intervin și modificările din dublul strat difuz, legate de adsorbția specifică a ionilor precum și modificările din dublul strat fix, imaginea este mai complexă, dar principal distribuția energiilor potențiale este asemănătoare. Forma curbei rezultante a variației energiei potențiale cu distanța poate avea aluri diferite așa cum rezultă din figura 13.

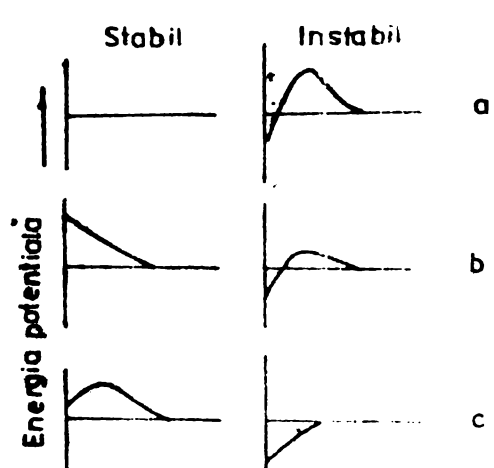


Fig.13

Pentru coloizii stabili, partea stângă a figurii arată fie o predominare a forțelor de respingere, fie o compensare a celor două efecte. Nestabilitatea care apare la schimbarea semnului energiei potențiale se manifestă în domeniul în care predomină forțele de atracție.

Dispunerea curbelor rezultante poate fi alterată nu numai prin adăus de electroliti, ci și prin intervenții de altă natură: mecanice, radiatii, modificarea temperaturii, etc., în principiu factori care schimbă starea energetică a sistemului și a particulei.

In modelele fizice simple s-a făcut abstracție de complexitatea proceselor reale de formare a sistemelor coloidale, de stabilizare și destabilizare a lor.

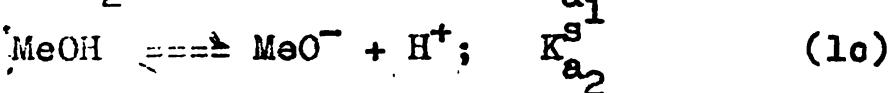
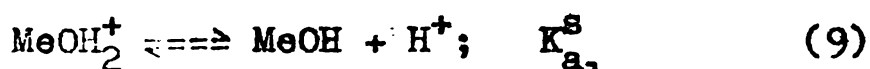
Particularizat la cazuri concrete, modelul dublului strat trebuie imaginat în complexitatea sa, implicând atât schimburi ionice cât și reacții chiar în partea fixă a dublului strat.

Așa de exemplu, în procesele de coagulare propriu zisă și de filtrare de contact (care vor face obiectul altui capitol), distrugerea stabilității coloizilor se realizează prin adăugarea unor reactivi, care măresc capacitatea de aglomerare a acestor coloizi, generând tendința de acumulare la interfețe. Acești reactivi acționează prin intermediul unor produși de hidroliză de tipul Me(OH)_n^Z , care pot adsorbi fără greutate alte particule la suprafața lor.

Oxizii în special cei de Si, Al, Fe, se găsesc în cantități relativ mari în apele naturale și apar deseori ca și coloizi în sistemele de tratare ale apelor naturale și de epurare a apelor reziduale.

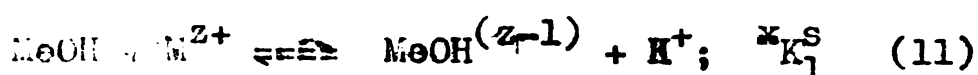
Stabilitatea coloidală a oxizilor hidratați poate fi influențată de electroliti în diferite moduri. Adsorbția specifică a cationilor și anionilor pe suprafața oxizilor hidratați poate fi interpretată prin reacții de coordinare a suprafetei.

In figura 4 sunt prezentate oxizii metalici hidratați cu comportare amfoteră, care pot fi comparați cu polielectroliții amfoteri /36/.

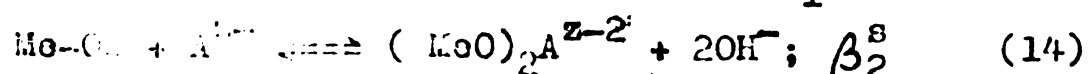
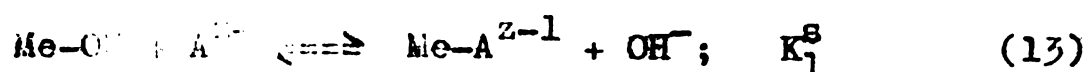


Interacțiunile oxizilor hidratați cu cationi și anioni pot fi interpretate prin formări de complecși de suprafață, sau prin echilibrul de schimb. Deoarece ionii H^+ și OH^- sunt ioni determinanți de potential pentru oxizii hidratați, curbele de titrare alcalimetrică sau acidimetrică, pot da o explicație cantitativă asupra modului în care sarcina depinde de pH-ul mediului /37/.

Grupele OH și suprafața oxizilor hidratați au o grupă donoare O^- , capabilă să formeze complecși, cum sunt grupările OH sau OH atașate la alte elemente (fosfați, silicati, polisilicati), protonul și ionii metalici concurează pentru coordinarea locurilor disponibile de pe suprafață:



Extinderea coordanării este legată de schimbul ionului H^+ cu M^{z+} și poate fi demonstrată prin trasarea curbei de titrare alcalimetrică. În mod similar schimbul liganzilor cu anioni coordanți se face la eliberarea ionului OH^- de pe suprafață și se poate urmări prin curbe de titrare.



Pentru anioni metonați, schimbul de liganzi poate fi întărit de deprotonarea liganzilor la suprafață, de exemplu HPO_4^{2-} .



In condiții de pH ridicat adsorbția ionilor metalici poate fi însorită de hidroliză.

Pentru exprimarea extinderii adsorbției și a sarcinii nete rezultante a suprafeței particulei unor oxizi, reprezentată în funcție de pH și de activitatea solvatuului se pot folosi constanțele de echilibru ale reactiilor din ecuațiile (9)-(15) /36,37/.

BIBLIOGRAFIE

- /1/. Cocheci V., Contribuții la studiul procesului de coagulare cu aplicații la epurarea apelor reziduale industriale, Teză de doctorat, I.P."Traian Vuia", Timișoara, 1971.
- /2/. Stumm W., Environmental Science & Technology, vol.11, nr.12, 1977, p.1066-1077
- /3/. Packham R.F., J. appl. chem., 12, 1969, p.556
- /4/. Riddick Th.M., Chem. Eng., 1961, p.141
- /5/. Stumm W., O'Melia C., JAWWA, 60, 1968, p.514
- /6/. Hahn H., Vom Wasser, 44, 1966, p.172
- /7/. Oehler K.E., Vom Wasser, 30, 1963, p.127
- /8/. Black A.P., Hannah F.A., JAWWA, 53, 1961, p.438
- /9/. Weitzer I.I., Vodessubjeție și sanit. tehn. 6, 1963, p.17
- /10/. Matsumura T., Ishiyama T., Mamura T., Ann. Rep. Rad. Centre Osaka 3, 1962, p.32, recenzat în Wat. Poll. Abstracts, 845, 1964
- /11/. Liebmann H., Proc. 2 int. Conf. Wat. Pollut. Res. 2, 1964, p.269, recenzat în Wat. Poll. Abstr. 285, 1967
- /12/. Rao M.N., Sastry C.A., Envir. Hlth, India, 10, 1968, p.265, recenzat în Wat. Poll. Abstr. 1431, 1969
- /13/. Rebhun M., Narkis N., Israel., J. Chem., 4, 1966, p.99, recenzat în Wat. Poll. Abstr., 668, 1967
- /14/. Ionescu T. și alții, Apă industriale și reziduale, Ed. Tehnică, București, 1964
- /15/. Meinck F., Stoaf H., Kohlschütter H., Industrieabwasser, Gustav Fischer Verlag, Stuttgart, 1960
- /16/. Sierp Fr., Die gewerblichen und industriellen Alwässer, Springer Verlag, Berlin, Heidelberg, New York, 1967
- /17/. Negulescu M. și alții, Epurarea apelor uzate industriale, Ed. Tehnică, București, 1968

- /18/. Edzwald K.James, Alice M., Haff D.James, Asce A.M., Boak W.James,
Journal of Environmental Engineering Division,
dec.1977, p.989-999.
- /19/. Beardsley A., Journal AWWA, ian.1973, p.85-90
- /20/. Alan S.Rubin, Hugh Stock Sidge, JAWWA, febr.1979, p.102-109
- /21/. Goldshmid Tanhum, Rubin J.Alan, Chemistry of Wastewater Technology, p.59-80
- /22/. Ionescu D.T., Constantinescu S., Zbîrcea I., Al 39-lea Congres Internațional de Chimie Industrială, vol.I, 1970, p.4/63
- /23/. Ionescu T., Apă industrială și reziduale, Ed.Tehn.București, 1964
- /24/. Woodward F.E., Etzel J.E., J.Wat, Poll. Contr. Fed. 37, 1965, p.99a, recenzat în WPA, 11, 1966
- /25/. Sprout J., J.Wat.Poll.Control Fed., 38, 1966, p.508, recenzat în WPA 158a, 1966
- /26/. Vosnesenski F.A., Chem.Zh., 132, 17342, 1961
- /27/. Pöpel I., Dissertation, T.H.Darmstadt, 1966, recenzat în Wat.Poll. Abstr.659, 1967
- /28/. Sastry C.A., Envir. Int., India, 7, 1965, p.213, recenzat în Wat. Poll. Abstr.98, 1967
- /29/. Tilengașchi S., Chimie coloidală, Ed.Tehnică, București, 1964
- /30/. Berg H.Robert, American Society for Testing Materials, 1958, USA
- /31/. Holutta I., Veröffentlichungen der Abteilung des Lehrstuhls für Wasserchemie, T.H.Karlsruhe, Heft 4, 1969
- /32/. Endo H., Krkki ider Isu Eiçi, Kenkinkokoro 12, 196, p.178-183
- /33/. Kireev V.A., Chimia fizică, Ed.Tehnică, București, 1962
- /34/. Mîndru I., Leon L., Chimia macromoleculelor și coloidilor, Ed. didactică și pedagogică, București, 1972
- /35/. Stumm W., Morgan T., Aquatic Chemistry, Ed.Wiley-Interscience, 1....(1970)
- /36/. Rubin Alan, Chemistry of Wastewater technology-Ann Arbor Science, Ohio, USA, 1978
- /37/. Stumm W., Hohl R., M. Lang, Croat.Chem.Acta 48, 491, 1976
- /38/. Cocheici V., Revista de chimie 23(I), 32, 1972
- /39/. Martincova O., Apă și apele prin coagulare, Ed.Energ.de Stat, București, 1951
- /40/. Riddick Th.L., J. W. 1961, p.1018
- /41/. Schüfer W., Veröffentlichungen der Abteilung des Lehrstuhls für Wasserchemie, T.H.Karlsruhe, Heft 3, 8-34

- /42/.Bockris J.M., Radda G.K.N., Mac Donald-London, vol.2, 623-845,
345, 811-916, 1970
- /43/.Cocheci V., Pop V.,ocaloglu R., Martin A., Lörinczi E., Bul.
ştiint.şti tehnice IPT-Chimie, fasc.1, p.7-14,
1973
- /44/.Cocheci V., Pop V., Martin A., Lörinczi E., Bul.ştiint.şti tehnice
IPT-Chimie, tom.23(37), fasc.1, 1973, p.15-21

3. COAGULAREA SI PAZANTIALA A PROCESULUI DE LUMINIRE A APET

3.1. Conceptul congelare în tehnologia apoi

In ultimul deceniu al secolului trecut, necesarul tot mai mare de apă potabilă a dus la înlocuirea filtrelor lente cu filtre rapide /1/, care sunt împăratate pentru debite de apă mai mari. Aceste filtre, au putut mai întâi fi marile orașe din America și apoi în Europa. Efectul de purificare al acestor filtre este însă mai redus decât al filtrelor lente, ceea ce a impus necesitatea găsirii unui procedeu pretratare a apei cu reactivi chimici, înaintea filtrării, procedeu cunoscut în tehnologia apei sub denumirea de coagulare.

La început coagularea constă dintr-o simplă adăugare de reacțivi chimici în apă brută, înainte sau în instalația de lăzire. Noul procedeu a fost aplicat inițial asupra apelor cu conținut ridicat de substanțe humice, argile și alte suspensii. Ca și coagulanți s-au folosit clorura de fier și sulfatul de aluminiu cu adăus de lapte de var.

Din această liniă înțire chimică s-au dezvoltat metode moderne de coagulare și flocculare, folosite astăzi la tratarea apelor naturale impurifică și la spălarea apelor reziduale /2/.

Ce rulară este astăzi tratamentul cel mai frecvent practicat după lezii? , prezintând cel puțin jumătate din costurile de tratare //.

In acest sens, stabilizarea și de tratare a apei în scop industrial, nu este o posibilitate disponibilă, ci și îndemnul să reziduale să se uite că sunt într-o operație de tratare. În ceea ce

înălțări și tehnici de lucru congelării aplicate în tehnologia domeniu acțiunii acestui tratament a turbidității (lipescire), acțiune la care adesea nu este suficientă.

ER si spiega che gli italiani sono più propensi a credere alle informazioni di cattivo carattere che a quelle positive.

riu, cianuri;

- poluanți chimici: culoare, miros, oxidabilitate (CCO, COT, CBO), compuși cu azot, sulfi, hidrocarburi aromatică polaciclice, pesticido, agenti cu rol în activi;

- microorganisme: virusi, bacterii, alge.

Fizicale galbenă citată poate fi eliminat într-o proporție optimă, dar condițiile de eliminare sunt adeseori diferite.

Rezultă că procesul de coagulare nu acționează doar asupra coloidelor clasici (minerali, hidrofobi, conform teoriei DLVO), ci și într-unii evantai de compuși inerti sau biotici din care mulți se găsesc dizolvăți în apă, determinând mecanisme de acțiune diferite.

Coagularea și flocularea sunt tratamente fizico-chimice ale apei care preced faza de separare lichid-solid /3/, având drept efect crearea unor agregate ușor separabile.

Sensul acordat acestei afirmații și națura mecanismelor care le sunt asociate sunt încă larg discutate.

Deși descriu fenomene diferite, cei doi termeni sunt folosiți de unii autori, în sensul mai larg pentru cuprinderea în întregime a procesului, alții autori fi folosesc doar pentru descrierea unor faze ale sale.

Purchas /13/ face distincție între cei doi termeni, incluzând în discuție și precipitarea, astfel încât cei trei termeni, puși în ordinea precipitare-coagulare-floculare indică procese care formează un spectru continuu. Desigur, reprezentarea este simplificată, înținând seama de faptul că pot exista suprapunerile în privința mecanismului fiecărui proces în parte, mecanisme care au fost prezentate în capitolul anterior.

Preocupările continui ale specialiștilor în căutarea unui termen unic, mai cuprinzător, pentru fenomenele care se produc în procesul complex de lixiviere a apei cu reactivi chimici, sunt prezentate în tabelul 1./4/.

Cele trei etape indicate precum și fenomenele corespunzătoare nu intervin necesar întotdeauna.

In particular se pune problema în destabilizare, unde în funcție de natura reactivului utilizat și de compozitia apelor tratate, fenomenele aparțin uneia sau alteia din categorii. Ordinea etapelor indicate este însă respectată. O carecare confuzie este legată de etapele de destabilizare și de transport, decarece fenomenele le urtează de la prima la doua (de exemplu mișcarea browniană)

Associate Terminal Commissioner which is responsible

Gesamtbilanz statistischer Sonderrechnungen / 31

ETAPĂ	TERMINOLOGIE (curentă)	FENOMENE	AEREGARE	
			FLOCULARE	MICRO-FLOCULARE
1. ORGANICA RĂZVITĂ FULIT + sau - { miculație adjuvant de floc- are, zara- tă, stăpân- itor	1.1.Împănare: dizolvare, ionizare, polimerizare..... + interacțiunea cu particele, ionizarea, dezvoltarea reacțiilor particule scindătoare	Diluție Invesție rapor-		
2. ORGANICA RĂZVITĂ FULIT + sau - { miculație adjuvant de floc- are, zara- tă, stăpân- itor	2.1. Cetățile și dubioni de la- toni mobilizabili (interacțiunea electrostatică) 2.2. Micșorarea potențialului de suprafață prin adsorb- ția ionilor la suprafața particulelor (hidroxocom- plecși sau alți, reacții chimice)	Cetățile Coagulare		
3. TRANSPORTUL PARTICU- LELOR (Contact între partic.)	3.1. Mișcarea browniană (pentru particule cu $d < 1 \mu\text{m}$) 3.2. Mișcarea apel (gradient de viteză G) 3.3. Mișcarea particulelor (sedimentare, flotare....)	Floculare pericinetica	Flocu- lare	
4. FILTRARE	Sedimentare, decantare, flotare, filtrare.....			

pot accelera prima etapă.Terminologia cea mai curentă associază destabilizarea coagulării și, transportul floculării, cele două fenomene constituind agregarea.

Un mare număr de autori utilizează terminologia lui La Mer și Healy /4,5/, unde coagularea este redusă la fenomenele electrostatice ale destabilizării (etapa 2.1 din tabelul 1), flocularea constituind etapa următoare.

Cea mai mare parte a autorilor americanii dă prioritate termenului de coagulare /5/ care reprezintă totalitatea fenomenelor, flocularea nefiind decât transportul particulelor.Alți autori în sfîrșit nu folosesc decât termenul de floculare /6,7/.

Trebuie să altfel recunoscut că practica tratării apelor și "tehnica" concretă,corespunzătoare este mai mult legată de floculare, decât fenomenele fizico-chimice temporare și adesea misterioase ale coagulării /3/.

De curând a apărut termenul de microfloculare, care reprezintă un compromis interesant pentru a caracteriza faza litigioasă, căre se găsește între "adevărată" coagulare și "adevărată" floculare.Etapa legată de adausul speciilor coagulante (sau floculan- te dacă este vorba de formarea de punți),trebuie să asemenea luată în considerare în ansamblul proceselor.

3.2. Teoria procesului de coagulare

Odată cu încercările de elucidare a fenomenelor, care au loc în timpul coagulării,s-a stabilit că procesul de coagulare este rezultatul unor fenomene distințe, care se pot petrece succesiv sau simultan:

- formarea agentului de coagulare prin dizolvarea,difuzia, hidroliza și polimerizarea produșilor de hidroliză;
- destabilizarea disperziei coloidale stabile,sub influența reactivului de coagulare;
- transportul particulelor destabilizate,așigurând ciocnirile dintre acestea și provocând aglomerarea lor.

3.2.1. Fenomenul de destabilizare

Mecanismul prin care acționează produșii de hidroliză ai coagulantului,asupra disperziei coloidale a constituit obiectul mai multor studii și teorii.Din punct de vedere istoric,s-au formulat două teorii limită /2,15/:

- prima teorie,teoria chimică;admite ipoteza că sarcina

primară a particulelor coloidale crește prin ionizarea grupelor ionogene complexe de la suprafața particulelor, iar destabilizarea se datoră interacțiunilor chimice cu formarea complecșilor și transferul protonilor;

- teoria fizică, se bazează pe teoria dublului strat și pe semnificația factorilor fizici predominanți: adsorbția contraionilor, reducerea potențialului zeta, formarea perechilor de ioni și destabilizarea /15/.

Să admit astăzi, în legătură cu mecanismul coagulării, trei teorii:

- teoria fizică sau teoria comprimării dublului strat;
- teoria adsorbției contraionilor și a neutralizării sarcinii;
- teoria chimică (La Mer) a adsorbției și formării de punți.
Teoria fizică a coagulării. Destabilizarea sistemelor coloidale are loc atunci cînd bariera de energie este suficient de redusă, iar nivelul energetic al aglomeratelor rezultate este mai scăzut decît al celor initiale. Această scădere se poate realiza, fie prin reducerea potențialului particulelor coloidale (modificarea concentrației ionilor, care determină acest potențial sau adausul de contraioni), fie prin comprimarea părții difuze a dublului strat electric prin mărirea concentrației ionilor din soluție.

Practic aceste condiții se realizează prin introducerea unor soluții de electroliti cu contraioni nehidrolizabili, așa numiți electroliti indiferenți. În aceste condiții coagularea are loc datorită interacțiunii dintre coagulant și particula coloidală, ea fiind cunoscută și sub denumirea de coagulare nespecifică sau prin contraioni și este caracterizată printr-o micșorare a vitezei de migrare electroforetică.

Destabilizarea datorată electrolitilor are drept consecință deci scăderea potențialului electric superficial ca urmare a comprimării dublului strat difuz și a scăderii factorului de respingere. Destabilizarea are loc în condiții optime, cînd $PZ = 0$. Mărimea acestei acțiuni este determinată de valența și raza contraionului. Cu cît valorile acestora sunt mai mari, cu atît este mai mare capacitatea de adsorbție și de penetrare prin planul de elunecare în stratul de adsorbție și în consecință grosimea stratului difuz se va micșora.

Aplicarea teoriei DLVO la coagularea cu electroliti conduce la concluzia că puterea de coagulare, respectiv concentrația critică de coagulare se distribuie conform regulii Schulze-Hardy, numită și legea inversului puterii a șasea. Expresia matematică a dependenței concentrației critice de coagulare de valență ionilor /16/ este redată de relația:

$$C_1:C_2:C_3 = \frac{1}{1(6)} : \frac{1}{2(6)} : \frac{1}{3(6)} \quad (1)$$

Ea se poate explica calitativ pe baza izotermei de adsorbție a lui Freundlich.

Deoarece diferenții ionici cu aceeași valență, sunt hidratați diferit și acțiunea lor de coagulare este diferențială.

O importanță mare o au ionii încărcăți cu sarcină de semn opus, care prin volum și polarizabilitate influențează adsorbția în stratul Stern. Astfel, concentrația critică de coagulare scade cu creșterea polarizabilității, adică cu creșterea capacitatei de adsorbție a contraionului.

In anumite cazuri se constată că, prin adăugarea unor cantități mai mari de electrolit are loc redizolvarea precipitatului, respectiv restabilizarea sistemului coloidal, concomitent cu schimbarea contraionilor în stratul difuz și schimbarea semnului potențialului Zeta după ce a trecut prin punctul zero.

Această comportare determinată de adsorbția în stratul Stern, sau de schimbul ionic, nu poate fi explicată numai prin teoria DLVO, care explică efectul de destabilizare al contraionilor ca o consecință a comprimării dublului strat electric prin efectul tăreriei ionice. Concentrația agentului de coagulare în exces nu poate produce deci restabilizarea dispersiei coloidale, deoarece atracția electrostatică nu poate atinge decât cel mult neutralizarea sarcinilor electrice și nicidcum inversarea lor.

Totodată, teoria fizică nu permite evaluarea corectă a concentrației critice de coagulare. Concentrația critică de coagulare (sau pragul de coagulare), adică concentrația minimă a agențului de coagulare care produce destabilizarea dispersiei, ar trebui să fie dependentă de concentrația încărcării suprafeței a coloizilor, lucru care în practică se confirmă foarte rar.

Numerose date experimentale au scos în evidență faptul că domeniul pH-ului optim de hidroliză este mult mai larg, decât al celui de coagulare, fenomen care de asemenea nu poate fi expli-

cat prin teoria DLVO a comprimării dublului strat electric.

Pentru exemplificarea tuturor acestor fenomene, în neconcordanță cu teoria fizică, a fost necesară dezvoltarea altrei ipoteze a mecanismului de coagulare.

Teoria coagulării prin adsorbție. La coagularea cu electroliți conținând cationi polivalenți hidrolizabili, sau cu amestecuri de electroliti, destabilizarea dispersiilor hidrofobe diferă foarte mult de cea realizată cu ioni simpli.

Așa cum s-a mai amintit, numeroase date experimentale au scos în evidență faptul că în aceste condiții produșii de hidroliză și reactivilor de coagulare ^{loc} sint răspunzători de mecanismul intim al procesului, el având într-un domeniu de pH mai restrins decât cel al hidrolizei.

Pe baza acestor constatări Holl și Packham /17/ au elaborat un model propriu pentru mecanismul coagulării. Acest model presupune că, la coagularea că săruri de aluminiu, microcristalele de Al(OH)_3 se formează în același timp atât în soluție sub formă de precipitat, cât și pe suprafața particulelor coloidale, care astfel îvelite precipită împreună cu Al(OH)_3 .

Teoria modernă bazată pe acest model nu exclude efectul forțelor electrostatice și mai ales acelăval forțelor chimice care se manifestă între particule.

Sistemele coloidale pot fi destabilizate într-un mod eficient cu ioni superficial activi de sarcină contrară, care se adsorb pe suprafața particulei /2,4,17/, datorită fie punților de hidrogen, fie formării de legături coordinative (formarea de complexe în stratul dublu) și schimbului de ioni.

Energia liberă de adsorbție, patrivit concepției lui Stern, se compune din doi termeni; unul chimic și altul electrostatic /2,18/.

$$\Delta G^{\circ} = \Delta G_c^{\circ} + ZF \Delta \psi \quad (2)$$

unde: ΔG_c° - componenta chimică

$ZF\Delta\psi$ - componenta electrostatică

Z - încărcarea ionului sorbat care produce destabilizarea,

F - constanta lui Faraday

$\Delta\psi$ - diferența de potențial dintre suprafața coloidului și volumul soluției.

Separarea energiei de adsorbție în cele două componente, chimică și electrostatică, este foarte dificil de realizat experimental.

Atunci cînd un ion organic monovalent se adsorbe pe o suprafață încărcată contrar, importiva unei căderi de potențial de 100 mV, termenul coulombian din ecuația (2) este 2,3 kcal/mol, iar energiile standard de adsorbție chimică pentru ionii organici monovalenți tipici, sorbabiili, sint de ordinul -2...-8 kcal/mol. Se observă deci că, în acest caz contribuția chimică o depășește pe cea electrostatică.

În consecință, prin adăugarea unui ion sorbabil la o soluție coloidală, se poate produce o scădere a stabilității sistemului coloidal, urmată la concentrații mai mari de inversarea sarcinii și de destabilizarea dispersiei coloidale.

Ionii polivalenți, independent de compozitia adsorbantului, se adsorbă cu mult mai bine decît ionii monovalenți, datorită sarcinii lor mai mari /2/.

Pe lîngă valență și concentrație o influență importantă asupra cărimii adsorbției ionilor o are gradul de hidratare, și anume când acesta crește, gradul de adsorbție se micșorează.

S-a observat că speciile de ioni sorbabiili destabilizează disperziile coloidale la concentrații mai mici decît ionii nesorbabiili.

Tendința de adsorbție specifică a ionilor variază în felul următor:

- ionii anorganici simpli au tendință mică de adsorbție la suprafața solidului, datorită faptului că sunt hidrateți și prin urmare, mai puternic atrași de fază apoașă;

- ionii anorganici nehidrateți sau slab hidrateți au o tendință mai mare de a se adsorbi decît cei hidrateți;

- ionii superficial activi polimerizați au tendință mai mare de adsorbție la suprafața solidului decît monomerii respectivi. Aceasta explică de ce polimerii destabilizează coloiziile la concentrații foarte mici;

- ionii metalici hidrolizabili se situează într-o trigoarie intermedieră între polimeri și ionii simpli.

Speciile ionice formate în urma hidrolizei aciilor săi asupra disperziilor coloidale prin mai multe mecanisme: modificarea tărâiei ionice a soluției, respectiv micșorarea stratului ionic electric; adsorbția în stratul fix; schimb ionic în stratul fix.

În aceste condiții concentrația critică de coagulație este mult mai mică decît cea corespunzătoare iugulii coloidale.

La concentrații mici de electrolit poate avea loc inversarea sarcinii particulelor, datorită adsorbției speciilor ionice hidrolizate sau a schimbului ionic din stratul fix, care duce la restabilizarea dispersiei. Concentrația de coagulant la care apare fenomenul de restabilizare, poartă denumirea de concentrație critică de restabilizare /16/.

Datele experimentale, care scot în evidență faptul că pH-ul optim de coagulare variază în funcție de diversele substanțe organice prezентate în apă și de anionii anorganici prezenti, pot fi puse de către seama produșilor de hidroliză care se formează. S-a observat că o parte din ionii OH, necesari formării hidroxidului, sunt înlocuiți cu alți anioni prezenti. Aceștia concură cu iopolul OH la neutralizarea ionului metalic având afinități diferite.

In același mod se explică eliminarea unor substanțe organice dizolvate în apă, care, prin grupările -COOH și -OH prezente, formează combinații chelatrice foarte stabile, eliminându-se prin înglobarea în flocalele de coagulant.

Teoria chimică a coagulației (La Mer). Un al treilea mecanism de destabilizare este cel caracterizat prin predominarea forțelor chimice. El implică adăugarea în sistem a unui compus macromolecular capabil să formeze punți de legătură între particule, datorită proprietății lui specifice de a se adsorbi pe mai multe particule. Substanțele folosite în acest scop pot fi: polimeri ne-ionici solubili în apă, care duc la floaculație indiferent de încărcarea electrică a coloidelor și polimeri ionici, care acționează asupra coloidelor încărcate cu o sarcină de semn opus sarcinii polimerului. Acest model a fost elaborat de La Mer prin teoria ce-i poartă numele și care presupune că forțele de adsorbție chimică sunt cauza formării punților de legătură care duc în final la floaculație.

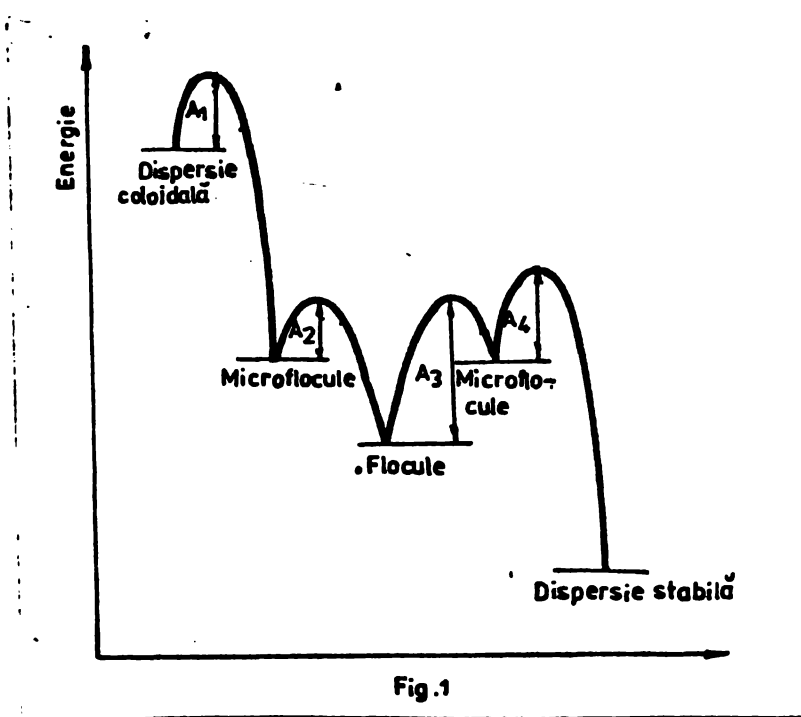
Conform teoriei lui La Mer o moleculă polimeră se poate atașa la suprafața particulei coloidale, cu unul sau mai multe puncte de adsorbție, restul moleculelor rămânind orientate în soluție. Segmentele libere care plutesc în mediul de dispersie pot duce la destabilizare printr-unul din următoarele mecanisme /2/ sau prin amândouă:

- segmentele libere ale moleculei de polimer sunt adsorbe te pe una sau mai multe particule învecinate, formând punți de polimer;

- segmentele libere acționează între ele printr-un mecanism de interacțiune polimer-polimer, formând o rețea polimeră care împinzește întreaga soluție.

Pentru o floculare eficace, conform teoriei lui La Mer, în cazul ideal, vor trebui ocupate doar jumătate din punctele de adsorbție libere ale particulei de polimer, cealaltă jumătate rămînând liberă pentru adsorbția particulei vecine. În cazul adăugării unui exces de polimer, acesta ocupă toate punctele de adsorbție libere ale particulei și nu se mai formează punți de legătură.

Flocularea cu polimeri, după La Mer, poate fi redată schematic pe baza variației energiei sistemului în timpul procesului (figura 1).



Examinând figura 1 se observă că starea cea mai bogată în energie este starea coloidală, totuși pentru formarea "microfloculelor" (mai corect particule coloidale cu molecule poligene adsorbite) este necesară la început o energie de activare A_1 . În procesul de adsorbție se eliberează energie, astfel încât starea energetică a "microfloculelor" este o stare cu energie mai scăzută. Prin unirea microfloculelor are loc flocularea propriu-zisă, în care se atinge o stare energetică și mai coborită. Microfloculele formate sunt relativ stabile, să observă însă că prin apărut de energie A_3 adus prin agitare, floculele se distrug prin ruperea punților de legătură și se obțin din nou microflocule. Prin reașenajare acestora trăc într-o stare de energie minimă, care nu mai poate fi floculată din nou.

Pentru explicarea matematică a acestui model de destabilizare, trebuie luată în considerare concentrația fazei disperse, factor determinant în formarea punctilor de legătură și admitând ipoteza existenței unui grad optim de acoperire a suprafeței pentru destabilizarea optimă /2/.

In acest caz se poate aplica ecuația lui Langmuir,

$$\frac{Ca}{S} = \Gamma = \frac{\Gamma_m^* \cdot K \cdot Ce}{1 + K \cdot Ce} \quad (3)$$

unde: Ca, Ce – concentrația agentului de destabilizare adsorbit, respectiv rezidual, moli/dm³;

Γ_m^* – capacitatea de adsorbție, moli agent/m²;

S – concentrația superficială a fazei disperse, m²/dm³;

K – constantă de echilibru pentru reacția adsorbție-de-sorbție.

Concentrația agentului de destabilizare Ct_θ , necesară pentru a acoperi o anumită suprafață θ , se poate deduce din relația (3) dacă se consideră că:

$$Ct_\theta = Ce + Ca \quad \text{și} \quad \frac{Ca}{S} = \theta \Gamma_m^* \\ \Rightarrow Ct_\theta = \frac{\theta}{K(1-\theta)} [1 + K \cdot S \cdot \Gamma_m^* (1-\theta)] \quad (4)$$

Calculind valorile lui Γ_m^*, K și θ din curbele experimentale, putem calcula concentrația necesară agentului de destabilizare.

Să pot considera pentru relația (4) două cazuri limită:

a. majoritatea adausului de agent de destabilizare este adsorbit, deci:

$$Ca \gg Ce \quad \text{și} \quad Ct_\theta \approx Ce \\ \text{considerind } \theta = \Gamma / \Gamma_m^* = Ca / S \Gamma_m^*, \text{ rezultă} \\ Ct_\theta = \Gamma_m^* \cdot \theta \cdot S \quad (5)$$

In aceste condiții cantitatea de agent de destabilizare, necesară pentru acoperirea suprafeței θ , este proporțională cu concentrația superficială a fazei disperse. Intre acești parametri există o relație așa numită stoichiometrică, adică de dependență liniară.

b. majoritatea adausului de agent de destabilizare rămîne nadsorbit, deci: $Ca \ll Ce$ și considerind că

$$Ct_\theta \approx Ce \quad \text{și} \quad \theta = \Gamma / \Gamma_m^*$$

se obține:

$$Ct_\theta = \frac{\theta}{1-\theta} \cdot \frac{1}{K} \quad (6)$$

În aceste condiții, cantitatea de coagulant este independentă de concentrația superficială a fazei disperse, deși cei doi parametri nu se găsesc într-o relație stoichiometrică.

Această analiză indică faptul că C_{t_0} poate varia cu θ^n cînd $0 \leq n \leq 1$.

Ecuația (5) se poate deduce din ecuația (4) cînd:

$$K \cdot \Gamma_m \cdot S(1-\theta) \gg 1$$

În mod analog, ecuația (6) se poate deduce din ecuația (4) cînd:

$$K \cdot \Gamma_m \cdot S(1-\theta) \ll 1$$

Din teoria chimică a coagulării se pot desprinde cîteva concluzii;

a.coagularea prin punți de legătură este stoichiometrică atunci cînd Γ_m, K și S sunt mari, sau $\theta \rightarrow 0$;

b.coagularea cu polimeri este nestoichiometrică cînd Γ_m, K și S sunt mici sau cînd $\theta \rightarrow 1$;

c.destabilizarea optimă se produce atunci cînd $\theta = 0,5$;

d.doza de polimer care saturează suprafața colcizilor ($\theta = 1$) produce restabilizarea sistemului;

e.în unele cazuri o suspensie destabilizată poate fi restabilită, printr-o agitare energetică și prelungită care rupă punțile de polimer;

f.existe o relație directă între doza de agent de destabilizare și concentrația superficială a fazei disperse.Cînd între acești doi parametri există o proporționalitate inversă se verbește de coagularea stoichiometrică.In caz contrar coagularea este nestoichiometrică.

Coprecipitarea sau coagularea de atracție (sweep flocculation) reprezintă un caz particular de coagulare, bazată pe încloșirea particulelor coloidale în precipitanți voluminoși, care nu depun ca sediment.

3.2.2. Fenomenul de transport

Fenomenul de transport are rolul de a aduce particulele neutre destabilizate în contact, favorizînd ciocnirile și avînd loc astfel aglomerarea lor.In funcție de mărimea particulelor care suferă transportul, contactul între particule se realizează fie, pe baza difuziei browniene, fie pe baza gradionărilor de viteza /2/. In consecință, gradul de turbulentă al mediului, precum și faze

care se găsește procesul, determină fenomenul de transport. Astfel, în faza incipientă, cînd particulele destabilizate au dimensiuni mici comparabile cu cele ale moleculelor, transportul este asigurat de mișcarea browniană. Procesul se situează în faza pericinetică.

Odată cu avansarea procesului, particulele cresc în dimensiuni și mișcarea browniană nu mai poate asigura transportul, datorită coeziunii relativ slabe între diferitele porțiuni de flocole formate, astfel încît pentru realizarea transportului este necesară o anumită turbulentă realizată de gradienții de viteză. Procesul se situează în faza ortocinetică.

Frecvența coliziunilor pe unitatea de volum de suspensie a fost legată de diversi factori determinanți, aşa cum rezultă din ecuația lui Smoluchowski /19/:

$$N_{i2} = \frac{1}{6} \cdot n_1 \cdot n_2 (d_1 + d_2)^3 \cdot G$$

unde: N_{i2} - frecvența coliziunilor,

n_1 și n_2 - numărul de particule (1) și (2) pe unitate de volum,

d_1 și d_2 - diametrul acestor particule,

G - gradient mediu de viteză în volumul considerat;

$$G = \left(\frac{P}{\mu v} \right)^{\frac{1}{2}} \quad (7)$$

unde: P - puterea disipată pentru agitarea unității de volum,

μ - vîscozitatea absolută a apei.

Dăsi frecvența coliziunilor crește cîndă cu creșterea gradiențului de viteză, din considerentele amintite, valoarea lui G trebuie să descrească de la începutul pînă la sfîrșitul operației.

Pe de altă parte dacă creșterea diametrului d_1 și d_2 favorizează frecvența coliziunilor, numărul de flocole (n_1 și n_2) se diminuează treptat pe măsura avansării procesului, limitînd putearea de agitare și timpul de acțiune.

Pornind de la ipoteza că faza de destabilizare este foarte rapidă și doci că faza de transport este determinantă pentru viteza procesului, viteza întregului proces este dictată de parametri fizici, pe cînd parametri chimici determină eficacitatea lui

Fenomenul curent asociat coagulării este comprimarea dublului strat electric, caracterizat de ecuațiile formulate de Stern care explică destabilizarea, din păcate pe baza unor ipoteze dificil aplicabile particulelor coloidale ale apelor naturale.

In cele ce urmează vom rezuma aceste ipoteze /3/.

Ipoteza I-a: suprafața este omogenă, adsorbția este localizată și moleculele adsorbite nu sunt dissociate.

Relația generală pentru izoterma de adsorbție se poate scrie astfel /11/:

$$k \cdot T \cdot \ln x = -k \cdot T \cdot \ln W_a - \phi_a \sim k \cdot T \cdot \ln \frac{\theta}{1-\theta} - A \quad (8)$$

unde: k – constanta lui Boltzmann,

T – temperatura absolută,

x – fractia molară a soluției la echilibru cu un strat adsorbit de acoperire θ ,

$k \ln W_a$ – suma tuturor termenilor entropicici pentru o moleculă în faza adsorbită, excepție pentru o entropie de configurație egală cu:

$$k \cdot \ln \theta / 1 - \theta$$

ϕ_a – energia diferențială de desorbție pe moleculă,

θ – gradul de acoperire pe molecule adsorbite,

A – constantă.

Dacă se face ipoteza că ϕ_a și θ sunt legate, această ecuație conduce la izoterma Frumkin – Fowler.

Dacă din contraria se face ipoteza că ϕ_a este independentă de θ , ecuația (8) conduce la izoterma lui Langmuir, apoi la ecuația lui Stern-Grahame.

Ecuația (8) se poate scrie:

$$k \cdot T \cdot \ln \frac{\theta}{1-\theta} = k \cdot T \cdot \ln x + k \cdot T \cdot \ln W_a + \phi_a - A \quad (8a)$$

sau

$$\frac{\theta}{1-\theta} = A_2 \exp. \frac{-g_a}{K \cdot T} \quad (9)$$

unde

$$g_a = -(\phi_x - k \cdot T \cdot \ln W_a) \quad (10)$$

Ipoteza II-a: g_a este independent de gradul de acoperire θ . Aceasta înseamnă că nu există legături laterale între moleculele adsorbite, deci:

$$\theta = \frac{x}{x + 1/A_2 \exp. g_a / K \cdot T} \quad (11)$$

adică izoterma lui Langmuir.

Ipoteza III-a: fractia molară a soluției la echilibru rămâne foarte mică. Aceasta înseamnă:

$$n \leq \frac{1}{A_2} \exp. \frac{-g_a}{k.T}$$

sau că Θ este foarte mic ($\Theta \ll 1$).

Se poate scrie:

$$\Theta = A_2 \cdot x \exp. \frac{-g_a}{k.T} \quad (12)$$

unde Θ este o funcție liniară de x (legea lui Henry)

Ipoteza IV-a: este vorba de ipoteza Stern-Grahame:

$$\Theta = \frac{\Gamma}{N_s} \quad (13)$$

unde: Γ = numărul de molecule adsorbite pe unitate de suprafață,

N_s = numărul maxim de molecule adsorbite pe unitate de suprafață,

$\Gamma = \frac{N}{N_{l,c}}$, N și $N_{l,c}$, respectiv numărul de ioni solubili și

numărul de molecule de solvent pe unitatea de volum.

In sfîrșit, se admite că raza (r) ionicilor solubili și acela a moleculelor de solvent este aceeași.

Deci:

$$\frac{N_s}{N_{l,c}} = 2r$$

Ecuatia (12) devine:

$$\Gamma = 2 \cdot r \cdot A_2 N \exp. \frac{-g_a}{k.T} \quad (14)$$

sau:

$$\Gamma = 2r A_2 c \exp. \frac{-g_a}{k.T} \quad (15)$$

unde: Γ = numărul de molecule adsorbite pe unitate de suprafață,
 c = concentrația molară a moleculelor adsorbabile

Ecuatia (15) este ecuația lui Grahame-Stern. Pornind de la ea se poate scrie::

$$\emptyset_a = -z_e \psi - \emptyset \quad \text{sau} \quad \bar{\mu} = u + z\psi$$

care este energia normală de legătură pe moleculă adsorbită.

$z_e \psi$ reprezintă fractiunea de energie electrostatică.

\emptyset reprezintă fractiunea de energie chimică.

Fără îndoială că nu există probabil particule cu suprafață omogenă (ipoteza I) în care toate punctele să aibă aceeași încarcare energetică.

Este de asemenea greu de presupus absența legăturilor laterale (ipoteza II) între ionii absorbiți, mai ales în cazul ionilor hidrolizabili.

Este în sfîrșit puțin probabil să existe un x sau un θ foarte mici, atunci cînd practica tratării apelor ne demonstrează că se lucrează în general cu concentrații mari de ioni coagulanți.

Ecuatiile lui Stern și Langmuir nu exclud însă existența fenomenelor electrostatice.

Teoriile asociate, ca teoria DLVO, care ține cont de interacțiunile dintre particule, rămîn de un interes practic discutabil.

Numerosi observatori au arătat că fenomenele electrostatice intervin rareori singure, și deci "coagularea" în sensul atribuit de La Mer și Healy, în general nu există.

Abaterea frecventă de la regula lui Schulze-Hardy, fenomenele de restabilizare, dependența stoichiometrică a dozei de coagulant de concentrația particulelor au contribuit la dezvoltarea teoriei "chimice" a coagulării care în numeroase cazuri joacă un rol preponderent în coagulare.

Este astăzi recunoscut că precipitarea hidroxizilor metali, atunci cînd se utilizează săruri de fier sau de aluminiu drept coagulanți, are în coagularea apelor naturale cu încărcare medie un efect determinant /8/.

Fenomenele de formarea punților între particule, descrise de La Mer /5/ și Kitchener /4/ pentru explicarea efectelor polimerilor organici, intervin mai ales cînd se utilizează destabilizații cu masă moleculară mare.

Transportul particulelor și în particular cel legat de mișcarea browniană intervine mult mai tîrziu /9/. decît fenomenele de destabilizare, în concordanță cu succesiunea indicată în tabelul 1.

Conform teoriei originale a floculării pericinetice dată de Smoluchowsky /6,10/, dacă fiecare coliziune duce la o destabilizare, timpul de înjumătățire al existenței unei suspensii stabile, $t_{1/2}$, este dat de relația:

$$t_{1/2} = 1/8 \cdot \overline{N} \cdot D \cdot r \cdot N_0$$

unde: D – coeficient de difuzie,

r – raza particulei,

N_0 – numărul de particule prezente (particule/cm^3) și unde

$$\overline{N} = k \cdot T / 6 \pi \cdot r \cdot \mu \quad (\text{ecuația lui Stokes-Giulstein})$$

k – constantă lui Boltzmann,

T – temperatura absolută,

μ – vîscozitatea apei,

deci

$$t_{1/2} = 3 \mu / 4 \cdot k \cdot T \cdot N_a$$

la temperatura ordinara a apei:

$$t_{1/2} \approx 2 \cdot 10^{11} / N_a \text{ (secunde)}$$

In concluzie cinetica fenomenului ar trebui sa fie in general lentă.

Tinind seama ca nu toate ciocnirile sunt eficiente Smoluchowski introduce factorul de eficienta al ciocnirilor α , si relatia devine:

$$t_{1/2} = 3 \mu / 4 \cdot k \cdot T \cdot N_a \cdot \alpha$$

Acestei teorii i s-au adus numere case completari. S-a cautat de exemplu sa se tina seama de frinarea apropierea particulelor, datorita moleculelor de apa interstitiale /loc/.

Se poate afirma, fara a tine seama de ecuatie de mai sus si de concluziile pe care le implica, ca floccularea pericinetica are influenta mică in practica tratării apelor și ea este independentă de mărimea particulelor. Ives /6/ a calculat importanța relativă a flocculării orto și pericinetice, arătând că atunci cind mărimea particulelor depășește 1 μ , floccularea ortocinetică devine rapid preponderentă.

Prima teorie cinetica a flocculării a fost dezvoltată de Smoluchowski în condițiile curgerii laminare și a mișcării browniene. Camp introduce o valcare G și alta G_m ca și criterii de studiu a unei instalații de flocculare bazată pe un regim laminar obținând ecuațiile:

$$N_{grad} = \frac{4}{3} G_m \cdot d^3 \cdot n^2 \quad (16)$$

unde N_{grad} – numărul de ciocniri în unitate de timp și unitate de volum ($1/cm^3 \cdot sec$),

G_m – gradient mediu de viteza în fluid ($1/sec$),

d – diametrul particulelor (cm),

n – numărul de particule po unitate de volum ($1/cm^3$),

$$G_m = \sqrt{\xi_n / \mu} \quad (17)$$

unde ξ_n – vîtoza de disipare a energiei din bazin ($erg/cm^3 \cdot sec$),

μ – vîscozitatea absolută a lichidului ($g/cm \cdot sec$).

Totuși, practic, nici o instalație nu este exploatată în curant laminar. În regim turbulent, Levich /12/ a doriat ecuația

/18/ pentru a evalua numărul de ciocniri în unitate de timp, pe unitate de volum, într-o suspensie etalon, sub conceptul de turbulentă local izotropică și cu condiția de control a vitezei de difuziune viscoasă la distanță mică.

$$N_{turb.} = 12 \pi \cdot \beta \cdot \sqrt{\varepsilon_0 / \mu \cdot d^3} \cdot n^2 \quad (18)$$

unde: β - constantă = $1 \sqrt{15}$

ε_0 - viteza efectivă de disipare a energiei din bazin

(erg/cm³.sec), putind fi estimat în mare, $\varepsilon_0 = (0,1 \sim 0,15) \varepsilon_m$

In deplină concordanță cu ecuațiile (12) și (13), valoarea G a lui Camp poate fi utilizată cantitativ pentru studiul unei instalații turbulente.

Pornind de la ecuația de bază a ciocnirilor primare dintre flocule, numeroși autori /12/ și-au adus contribuția la stabilirea ecuațiilor de coliziune pe parcursul creșterii floculelor.

Relațiile stabilite au putut explica constatarea empirică conform căreia diametrul floculelor este invers proporțional cu viteza de rotație a agitatorului.

Din cauza complexității excesive a procesului este lese de înțeles de ce este foarte greu de stabilit o denumire unanim acceptată /2/.

Socala timișoreană sub conducerea prof.dr.V.Cocheci, a adoptat termenul de coagulare, din mai multe motive:

- majoritatea autorilor denumesc coagulare, faza de destabilizare a dispersiei coloidale stabile, fază care este foarte importantă în ansamblul procesului;

- termenul de coagulare este puternic ancorat în terminologia tehnologiei apei, atribuindu-i-se practic un sens mult mai larg decât în chimia coloidală.

Prin coagulare noi înțelegem procesul fizico-chimic complex de tratare a apelor utilizând reactivi chimici, proces care urmărește îndepărțarea din apă a coloizilor, a suspensiilor fine, a oror poluanții dizolvăți în apă de tratat, precum și a microorganismelor. Efectul coagulării este deci limpezirea, apele, epurarea și dezinfecția ei mai mult sau mai puțin avansată.

In privința mecanismelor care guvernează procesul de coagulare, noi considerăm posibilă acțiunea forțelor fizice și chimice, în funcție de fiecare caz în parte. După concepția noastră nu se poate vorbi însă despre acțiunea numai a forțelor fizice sau a ce-

lor chimice, ci doar despre preponderență unora sau a altora în proces, concepție care corespunde în mare, cu aceea a lui Sontheimer, Stumm, Hahn, Fießinger, etc.

Forțele care pot acționa în procesul complex al coagulației sunt: forțele de atracție sau răspingere coulombiană; forțele de formare a unor legături chimice, cum ar fi forțele Van der Waals - London, legături de hidrogen, forțe de împînzire a particulelor prin punți de molecule polimere; forțe de adsorbție, sau pur și simplu înglobarea particulelor în suspensie în precipitate gelatinace și voluminoase. Credem că este greu de găsit un proces de coagulare în care măcar unul din aceste fenomene să nu fie prezent.

3.3. Reactivi de coagulare

3.3.1. Reactivi clasici

Gama agentilor de coagulare și a reactivilor ajutători (adjuvanți ai procesului), folosiți azi în tratarea apelor este foarte largă.

Primii agenti de coagulare, folosiți în tratarea apelor, au fost cei anorganici și anume clorura ferică și sulfatul de aluminiu, cu adaus de reactivi de alcalinizare (lapte de var, etc.). Cu timpul numărul acestor coagulanți a crescut semnificativ, adăugindu-se la cei de mai sus, sulfatul feros, clorosulfatul, clorura de aluminiu, alaunii de fier și aluminiu, alaunii de aluminiu și potasiu, aluminosilică și chiar aluminatul de sodiu, pentru a cîta doar coagulanți clasici de fier și de aluminiu /2/.

Cu timpul au fost încercate și alte substanțe anorganice ca: hidroxidul și oxidul de calciu, bentonita, permanganatul de potasiu, sărurile de titan, sulfatul sau clorura de cupru, clorura de magneziu, clorura de calciu, precum și policlorurile de aluminiu apărute recent, care permit obținerea unei flocuș mari, ușor decantabile, fără adaus de adjuvanți /2,20,21/.

Un rol deosebit îl au și îl vor avea coagulanții anorganici complecsi - care sunt amestecuri de săruri de fier, aluminiu, titan, magneziu, calciu, etc. și acizi polisilicici - obținuți prin solubilizare din diferite materii prime.

Ca adjuvant din această categorie, cel mai des utilizat și totodată cel mai vechi, este silicea activă, obținută din silicat alcalin, prin tratare cu un acid mineral. Se mai folosesc fibre de asbest pentru ape cu încărcare mare de substanțe organice /22/.

Dintre reactivii organici naturali sau modificăți, în general mai puțin utilizati, putem aminti: dextranul, gelatina, amido-

nul, amidon pregelatinizat, reactivi preparati din gume vegetale ca guran sau carubin /2/.

Reactivii sintetici au avut o slabă răspindire la început. Putem cita dintre acești reactivi de coagulare derivații poliamidi solubili în acizi, complecși ai cromului cu acizi grași, compuși care se găsesc în comerț sub numele de Fobosil.

La mijlocul acestui secol apare o grupă de polimeri sintetici organici folosiți ca adjuvanți ai procesului de coagulare, cunoscuți sub denumirea de polielectroliți. Din punct de vedere chimic, polielectroliții sunt molecule organice-polimere, cu viscozitate mare, cu greutate moleculară mare. Ei pot fi derivați ai poliacrilonitrilului, în parte hidrolizați la poliacrilamide sau la acid poliacrilic, fie copolimeri cu greutate moleculară mare, cum ar fi polietileniminele.

Sunt încă puțin utilizati ca și coagulanți, deși necesită cantități mici și reduc considerabil volumul de nămol produs.

In procesul de coagulare se folosesc și o serie de reactivi auxiliari, de alcalinizare sau de acidulare. La începuturile sale în procesul de coagulare se folosea ca reactiv de alcalinizare laptele de var. Si astăzi, acest compus este încă cel mai utilizat reactiv de alcalinizare. Pe lîngă o serie de alte substanțe alcaline ca soda, hidroxidul de sodiu și chiar hidroxid de potasiu, laptele de var în unele cazuri se folosește chiar ca reactiv de coagulare.

Uneori este necesară oxidarea produșilor de hidroliză ai coagulanților, cum este cazul produșilor de hidroliză ai Fe^{2+} , care trebuie oxidati la produși ferici. Această oxidare se poate face cu oxigenul din apă, atunci cînd acesta este prezent în cantitate suficientă pentru doza de coagulant folosită, cu clor, sau chiar cu ozon, acesta din urmă avînd în egală măsură efecte coagulante. Acțiunea ozonului /14/ pare a fi în unele cazuri (doză de ozon bine determinată și în general scăzută, prezența unor materii organice specifice, turbiditate etc) eficientă în special pentru microfloculare.

3.3.2. Coagulanți anorganici complecși

Una din problemele de cea mai mare importanță în prezent și mai ales în perspectivă, ținînd seama de cantitățile mereu crescînd de ape de suprafață și reziduale care trebuie tratate, constă în găsirea unor noi coagulanți, cu efecte superioare și cu un spectru larg de acțiune, accesibili în cantități mari și care să

poată fi obținuți în condiții economice avantajoase /2/. În acest sens, încercările noastre au fost îndreptate spre obținerea unor coagulanți prin valorificarea unor deșeuri industriale, cum sunt nămolul roșu de fabricarea aluminei, cenușile de pirită, pământuri decolorante, ape reziduale de mină, ape reziduale din procesul de flotație, etc. În acest mod am obținut un număr mare de coagulanți anorganici complecși, brevetati sau în curs de brevetare. Aceste coagulanți le-am dat denumirea de coagulanți anorganici complecși deoarece au în compozitia lor mai multe elemente active ale procesului de coagulare, spre deosebire de sărurile simple de fier și aluminiu, denumite de noi coagulanți clasici, deoarece aceștia pe de către au devenit tradiționali, iar pe de altă parte conțin un singur element activ al coagulării.

Unii dintre acești coagulanți, i-am denumit convențional FERALTI, FERIL, etc., denumiri provenite din simbolurile principalelor elemente componente. Coagulanții obținuți prin extractie cu acid sulfuric au fost denumiți cu numele coagulantului și litera S (ex. "FERALTI-S"), iar coagulanții obținuți prin extractie cu acid clorhidric, în mod analog folosind litera C (ex. "FERALTI-C").

Toti coagulanții anorganici complecși mai conțin și acizi polisilicici, ceea ce le conferă toate avantajele prezenței unui adjuvant al coagulării.

Materia primă folosită de noi pentru obținerea coagulanților "FERALTI-C", respectiv "FERALTI-S" a fost nămolul roșu, deșeu de la fabricarea aluminei prin procedeul Bayer, care are un conținut variabil în Al_2O_3 , Fe_2O_3 , TiO_2 , CaO , Na_2O , SiO_2 , etc./23, 24/.

Compoziția nămolului cu care s-au efectuat încercările de sclubilizare a fost următoarea:

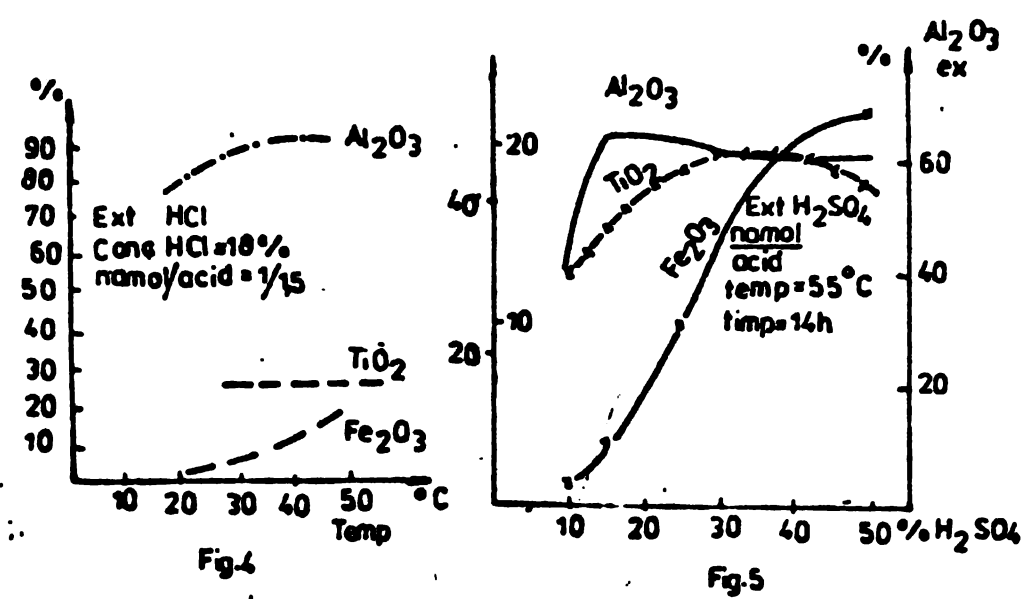
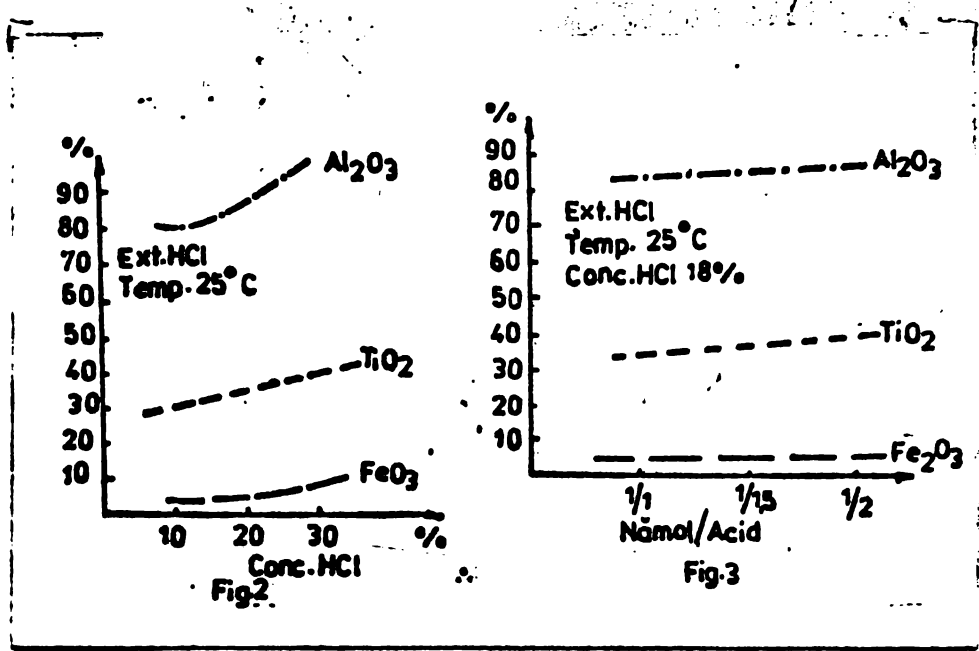
Al_2O_3	5,0%
Fe_2O_3	61,5%
TiO_2	5,0%
CaO	9,0%
Na_2O	3,0%

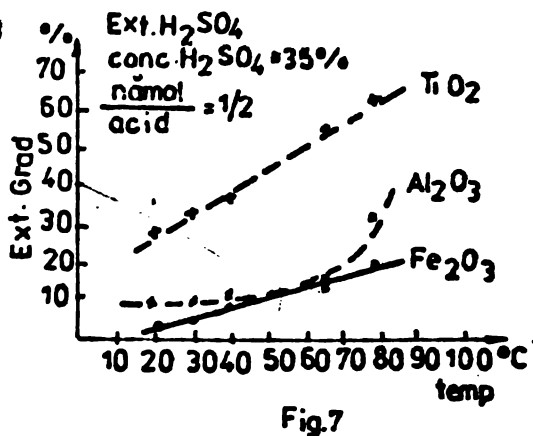
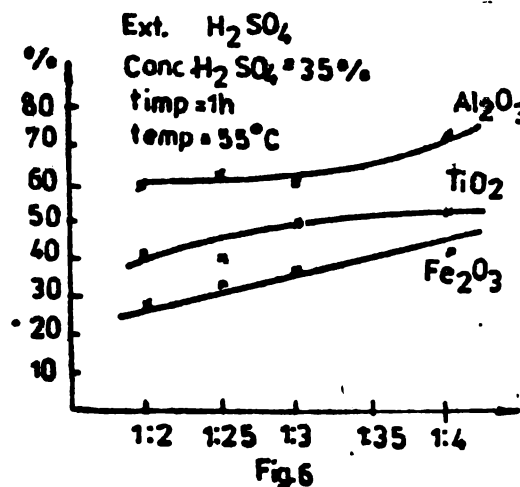
Pentru a stabili formele sub care se găsesc în nămolul roșu componente principali, s-a efectuat un studiu roentgenografic asupra acestui nămol. În acest scop s-a folosit un contor Geiger-Müller, tip TUR-M61, cu radiația $\text{CuK}\alpha$. Lungimea de undă a radiației a fost $1,5404 \text{ Å}$. Viteza unghiulară $1^\circ/\text{min.}$ și s-a urmărit domeniul

într-o 5-25°.

Din studiul spectrului rezultă că nămolul conține în proporție de 20-30% componente amorfă. Faza cristalină este constituită din particule cu diametrul sub $3\text{ }\mu$ și conține următoarele componente principale: Fe_2O_3 ; $\beta\text{-Fe}_2\text{O}_3 \cdot \text{H}_2\text{O}$; $\beta\text{-Al}_2\text{O}_3 \cdot 3\text{H}_2\text{O}$; TiO_2 (rutil); CaTiO_3 și α -cristobalit. Faza predominantă este Fe_2O_3 (hematit).

Pentru solubilizare s-au utilizat acid sulfuric și acid clorhidric. Parametrii urmăriți au fost: concentrația acidului, raportul nămol/acid și temperatura de extracție. Rezultatele experimentale sunt prezentate în figurile 2, 3, 4, 5, 6 și 7.





Condițiile în care extractia decurge cu bune rezultate, pentru cei doi agenti de solubilizare folosiți, și cum rezultă din diagramele de mai înainte, sunt redate în tabelul 2.

Tabelul 2

Agent de extractie	Cond. de extractie				Grad de solubilizare		
	conc.	nămol	temp.	temp.	Fe ₂ O ₃	Al ₂ O ₃	TiO ₂
%	acid	acid	°C	ore	%	%	%
H ₂ SO ₄	15-40	1/2-1/3	20-60	0,5-2	2,8-15	80-90	50-70
HCl	10-13	1/1-1/3	25-50	0,5-2	4,5-14,5	80-93	25-40

In aceste condiții se poate obține un coagulant care, în funcție de compozitia nămolului și de condițiile de extractie, poate avea următoarea compozitie, fără de substanță uscată:

Fe₂O₃.....,5-20%
Al₂O₃.....,5-25%
TiO₂.....,1-3%
SiO₂.....,1-5%
Insolubile în apă....1-5%

Cenușa de pirită, un deșeu care rezultă în cantități foarte mari la fabricile de acid sulfuric, poate fi, pe lîngă alte utilizări spre care se tinde astăzi, o materie primă foarte bună por-

tru prepararea unui coagulant pe bază de fier și acizi polisili-cici. Procedeul de obținere al acestui coagulant este analog cu cele descrise anterior obținindu-se însă soluții cu concentrație ridicate în Fe(III). Acest lucru permite eliminarea oxidării în procesul de coagulare.

Coagulantul obținut a fost denumit în mod convențional "FERIL" /25,26/.

Tinând seama că materia primă folosită pentru acest coagulant rezultă în uzinele de acid sulfuric, obținerea lui a fost studiată în special sub aspectul utilizării acidului sulfuric ca agent de solubilizare.

Studiul solubilizării a urmărit determinarea condițiilor optime de extractie, concentrația acidului, raportul cenușă/acid și timpul.

Cenușa utilizată a avut următoarea compoziție:

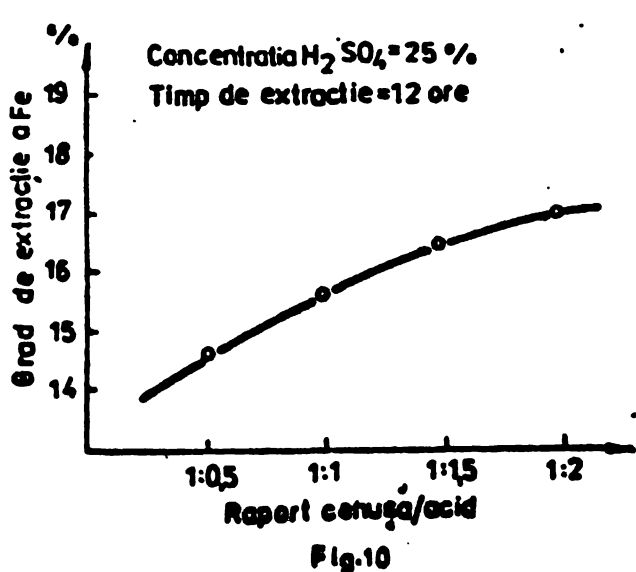
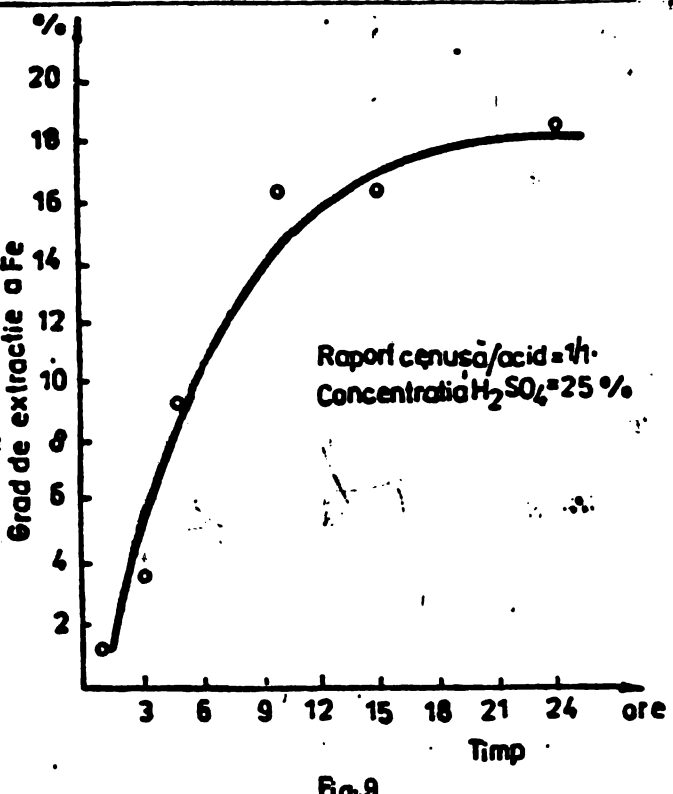
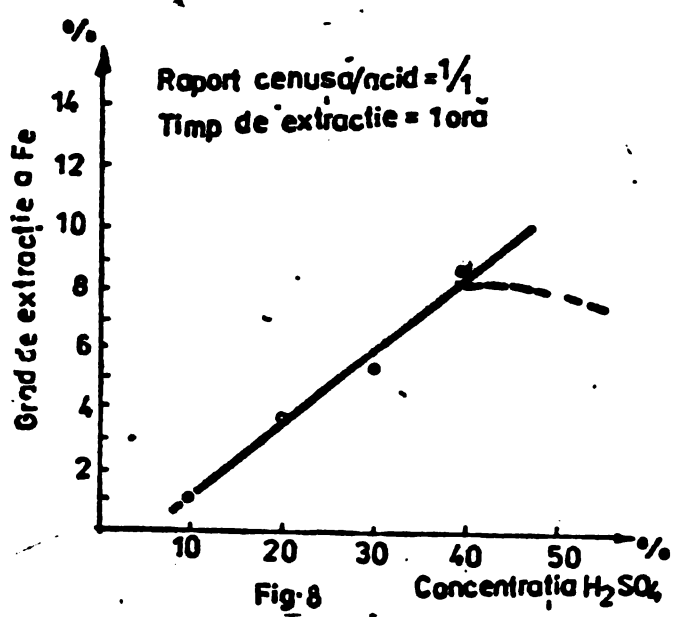
Fe	5,3%
SiO ₂	7,9%
Cu	0,37%
Zn	0,75%
Pb	0,17%
MgO.....	0,9%
S	1,85%
As	0,05%
Mn	urme

Rezultatele experimentale obținute sunt redate în figurele 8,9,10 și tabelul 3.

Tabelul 3

Extractie	HCl 15%		HCl 20%	
	%	Rap.cenușă/acid=1:1	1:1	1:1,5
Fe	31		32	35

Din cele de mai sus rezultă că, solubilizarea este puternic influențată de concentrația acidului sulfuric și de timpul de extractie, și mai puțin de raportul cenușă/acid. Din tabelul 3 rezultă o solubilizare mai avansată cu acid clorhidric.



Concentrația acidului sulfuric și gradul de extractie al fierului se găsesc într-o dependență liniară. Concentrațiile de acid de peste 45% nu sunt recomandabile, deoarece crește prea mult gradul de extractie al siliciei, ceea ce duce la precipitarea acesteia. Precipitatul gelatinos de acizi silicici înglobează cantități foarte mari de fier solubilizat, ceea ce explică scăderea gradului de extractie al fierului, la concentrații de peste 45% H_2SO_4 (figura 8 - curba punctată).

Timpul de solubilizare influențează sensibil gradul de extractie pînă la un moment dat (figura 9), după care prelungirea sa nu mai este justificată, gradul de extractie crescînd neînsemnat.

Cu creșterea raportului acid/cenusă, creșterea gradului de solubilizare este neînsemnată, acest raport avînd importanță numai în privința asigurării unei cantități suficiente de acid pentru solubilizare. Calcule simple arată că la un raport cenusă/acid de 1/0,5, acidul în exces este de aproximativ 20%, iar la raport 1/1, excesul de acid este de aproximativ 50%.

In cercetările noastre am urmărit determinarea pH-ului optim de hidroliză al coagu-

lanților, dintre care spre exemplificare ne vom ocupa de coagulantul FERIL folosind metoda Packham și constând în determinarea turbidității după 1 minut /2,27/.

Pentru determinarea pH-ului optim de hidroliză s-a utilizat o instalație formată dintr-un înregistrator Carl-Zeiss Jena, tip GLB1, o celulă de măsurare din sticlă, cu agitator magnetic, așezată într-o cutie opacă pentru orice lumină parazitară, o sursă de lumină și o celulă fotoelectrică /2/. S-au obținut curbe de hidroliză de tipul celei din figura 11 unde pentru diferite valori ale

pH-ului, turbiditatea este reprezentată în unități convenționale, în funcție de timp. Oscilațiile intense din zona ascendentă a curbelor se datorează adausului de reactiv. Din aceste curbe s-a determinat valoarea turbidității după 1 minut, care s-a folosit ca măsură a gradului de hidroliză.

Reprezentând grafic această valoare în funcție de pH, s-au obținut curbele din figura 12.

Curba "a" se referă la extractul sulfuric, "FERIL-S", pentru care pH-ul optim se cituează în domeniul 5-7

Curbele "b" și "c" redau pH-ul de hidroliză pentru "FERIL-S" cu adaus de 300 mg fosfat monopotasic/dm³ (b) respectiv 500 mg fosfat monopotasic/dm³ (c).

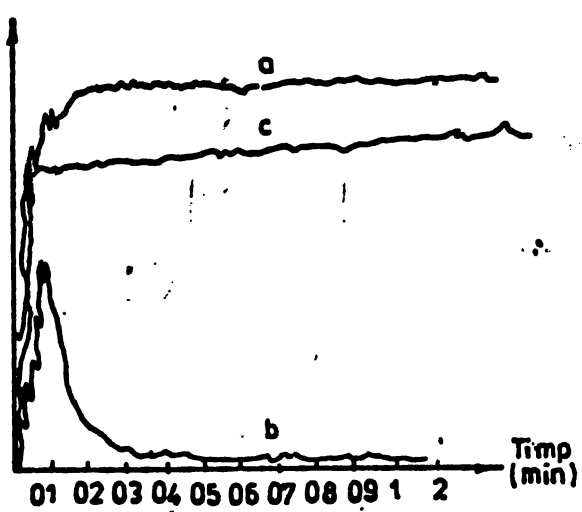


Fig.11

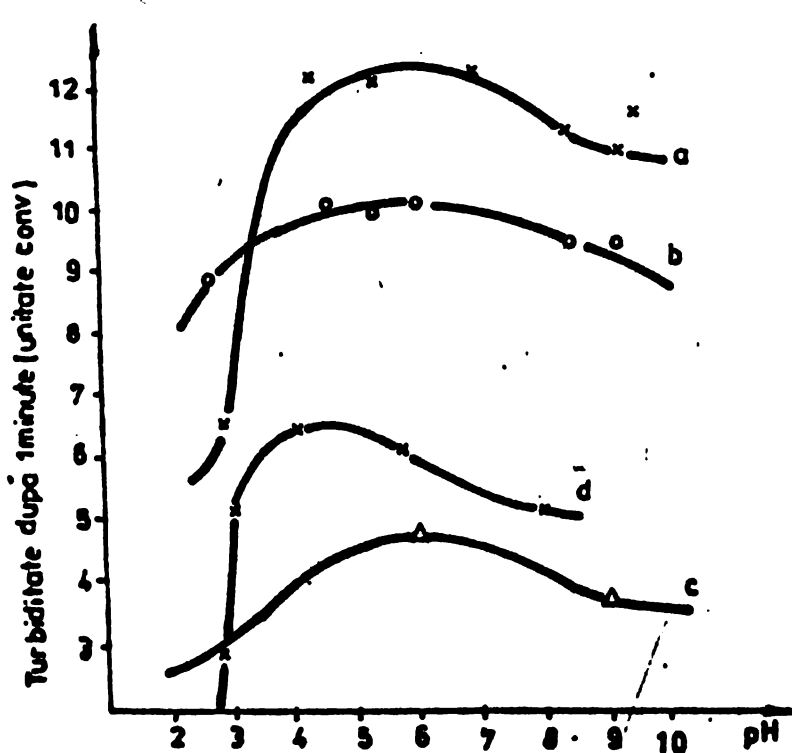


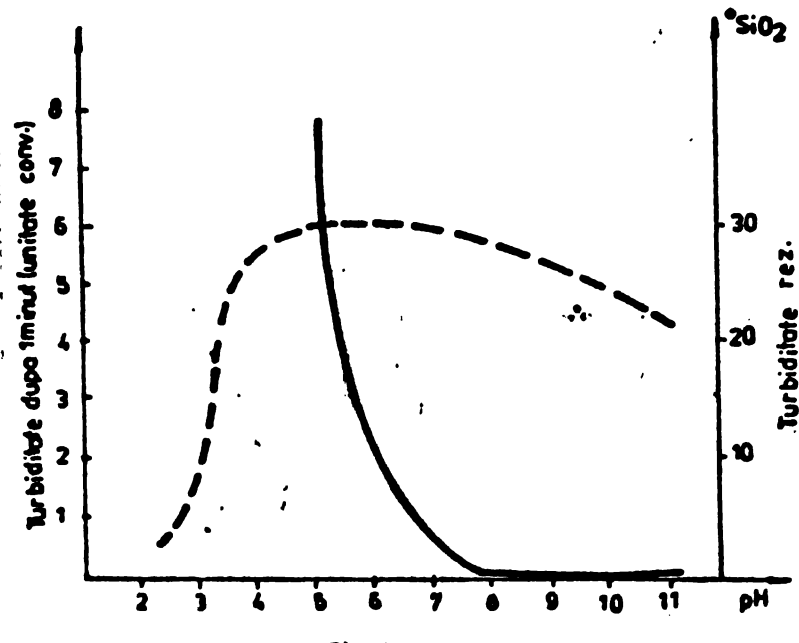
Fig.12

Se observă o slabă deplasare a pH-ului optim spre domeniul neutru ($\text{pH}=6-7$). În prezența fosfațului, hidroliza începe la un pH mult mai mic decât în absența lui. Astfel la $\text{pH}=2,5$ hidroliza se găsește într-o fază destul de avansată. Acest lucru se datoră precipitării fosfaților de fier și cupru (lucru confirmat de studiul spectrelor în infraroșu) și deci unui fenomen de hidroliză propriu-zis.

Curba "d" redă pH-ul de hidroliză pentru FERIL C; pH-ul optim se situează în domeniul 4-6.

pH-ul optim de coagulare este strâns legat de pH-ul optim de hidroliză, datorită necesității formării speciilor hidroxocomplexe ale ionilor metalici ai coagulantului.

Corespondența celor două pH-uri optime pentru coagulantul FERIL C este redată în figura 13.



Din examinarea curbelor se remarcă o bună concordanță între cele două pH-uri.

Pentru o mai bună caracterizare a coagulantului, au fost studiate spectrele în infraroșu și spectrele X ale produșilor de hidroliză, la diferite pH-uri.

Pentru a putea efectua un studiu mai complet al produșilor de hidroliză ai coagulantului din cenuși de pirită, a fost

executat un spectru IR al produșilor de hidroliză ai cuprului, corecarea pH-ului făcindu-se cu CaCO_3 (figura 14, curba a).

Acest spectru prezintă următoarele maxime:

- 475 cm^{-1} , banda datorată probabil vibrățiilor de valență Cu-O;
- 850 cm^{-1} , reprezentând o bandă a vibrățiilor de deformare în afara planului ionilor CO_3^{2-} ;
- 1120 cm^{-1} , bandă care este datorată vibrățiilor de deformare simetrică a CO_3^{2-} .

- 1400 și 1480 cm^{-1} , reprezintă benzile vibrațiilor de deformare asimetrică a CO_3^{2-} ;
- 1650 cm^{-1} , datorate HOH;
- $2500-3430$, bandă largă corespunzătoare vibrațiilor de valență a legăturii OH din apa asociată, precum și din Cu-OH, pentru aceasta din urmă corespunzând mai cu seamă domeniul de la 3100 cm^{-1} în jos;
- 3580 cm^{-1} , care reprezintă banda apei libere.

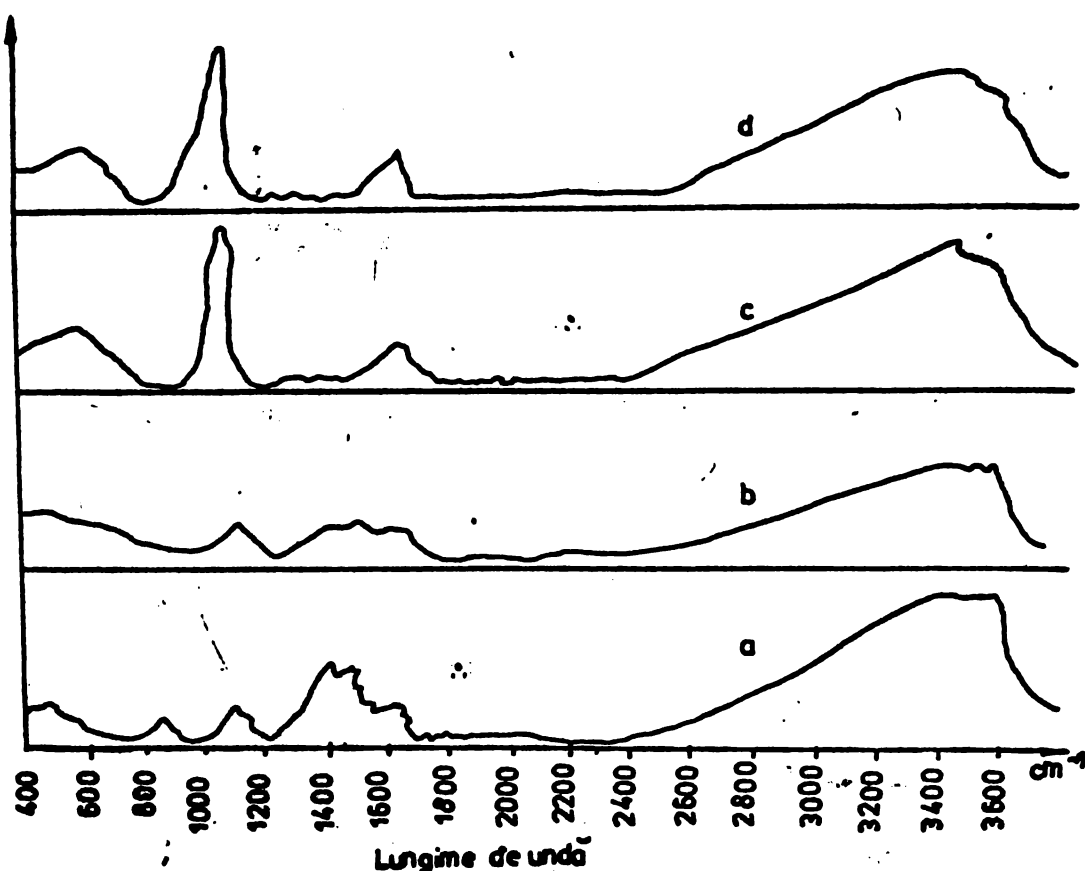


Fig. 14

Din studiul spectrului, rezultă că produșiile de hidrogliză sunt formați din hidroxizi și carbonați bazici ai cuprului.

Maximul de la $3400-3500\text{ cm}^{-1}$ fiind mai prelungit spre lungimi de undă mai mici, rezultă că există o mare cantitate de apă asociată, respectiv OH legați de metal.

Spectrul "b" din figura 14, corespunde produșilor de hidrogliză și coagulantului din cenușă de pirită, în apă distilată, în absența ionului ortofosforic. Corectarea pH-ului a fost făcută tot cu carbonat de sodiu. Spectrul este asemănător celui anterior, prezintă adeseași domenii spectrale, modificările care apar datorindu-se prezenței fierului. Se remarcă astfel o modificare a raportu-

lui de intensitate a benzilor 1400 și 1650 cm^{-1} , acestea rămânind totuși bine definite.

Acest fapt se explică prin scăderea destul de sensibilă a conținutului în CO_3^{2-} , față de apă asociată și OH legați de metal, determinată de prezența în cantități mari a fierului față de cupru. Prolungirea domeniului spectral de la 475 cm^{-1} spre lungimi de undă mai mici este datorată apariției grupărilor Fe-OH.

Din studiul spectrului rezultă deci, că produșii de hidroliză sănt formați din hidroxizi și carbonați bazici.

Spectrul "c" din figura 14 redă compoziția produșilor de hidroliză ai aceluias coagulant, în prezența ionului ortofosforic. Spectrul prezintă următoarele benzi:

- 550 cm^{-1} , datorată vibrațiilor simetrice de valență PO_4^{3-}
- 1050 cm^{-1} , datorată vibrațiilor asimetrice de valență PO_4^{3-} ;
- 1660 cm^{-1} , datorată vibrațiilor de deformare OH;
- 3450 cm^{-1} , reprezentând apă asociată;
- 3560 cm^{-1} , corespunzând apei libere.

Se remarcă dispariția benzilor din domeniul $1300-1600\text{ cm}^{-1}$ ceea ce indică lipsa ionului CO_3^{2-} .

Să observă de asemenea o extindere mai puțin importantă a benzii caracteristice vibrațiilor OH de valență, în jur de 3400 cm^{-1} , spre numere de unde mai mici, ceea ce explică printr-o proporție mai mică de grupări OH legate de metal.

Apar în schimb foarte pregnante benzile specifice grupării PO_4^{3-} . Benzile caracteristice fosfaților acizi sau polifosfaților lipsesc. Deci, produșii de hidroliză în acest caz sănt formați în principal din fosfați neutri de fier și cupru și din cantități reduse de hidroxizi și oxihidrați.

S-a observat, din studiul pH-ului optim de hidroliză al coagulătului "FERIL", că hidroliza lui începe cu mult înainte de atingerea pH = 3, în prezența ionului ortofosforic.

Pentru precizarea componentei precipitatului la aceste pH-uri acide, s-a executat un spectru asupra produșilor obținuți în aceste condiții (figura 14 d).

Acest spectru prezintă următoarele benzi caracteristice:

- 550 cm^{-1} , reprezentă vibrație de valență simetrică PO_4^{3-} ;
- 600 cm^{-1} , reprezentă vibrația simetrică de valență P-O-P;
- 920 cm^{-1} , este o bandă foarte slabă care corespunde vibra-

ție de valență asimetrică a legăturii P-O-P.

- 1060 cm^{-1} , reprezintă vibrații asimetrice de valență PO_4^{3-}
- 1050 cm^{-1} , bandă care reprezintă vibrația de deformare OH
- $3200 - 3450\text{ cm}^{-1}$, corespunde apei asociate și unei cantități mai mici de grupări OH legate de metal.
- 3560 cm^{-1} , reprezintă apa liberă.

Produsii cercetați sunt deci constituți din fosfați compuși de Fe și K cu grupări oxidrilice legate de metal, probabil de tipul $\text{KFe}_2(\text{PO}_4)_2(\text{OH})_2\text{H}_2\text{O}$ și fosfat de Cu. Potasiul apare din KH_2PO_4 adăugat în probe. Prozența grupărilor P-O-P se datoră prezenței metafosfatului din fosfatul monopotasic utilizat.

S-a efectuat de asemenea și un studiu cu raze X că un conțor Geiger-Müller TUR-M-61, cu aceleasi caracteristici descrise anterior.

Röntgenogramele au un fond intens cu mici oscilații nereproductibile și fără linii de interferență caracteristice. Intensitatea medie a fondului a fost 8×10^3 impulsuri/minut.

Spectrele indică că toate probele sunt "amorfe", adică constau din particule a căror dimensiuni nu ating $40\text{ }\mu$. Mărimea probabilă a granulelor este de $5-10\text{ }\mu$.

Un alt coagulant anorganic complex, denumit convențional FERALSIFIN a fost obținut prin valorificarea apelor reziduale de la spălarea filtrelor în procesul de preparare a pământurilor decolorante.

Valorificarea acestor ape reziduale având un conținut ridicat de elemente active în coagulare (tabelul 4) și care devin, în cazul deversării în bazinele naturale, elemente poluante, constituie și o măsură concretă de protecție a mediului.

Tabelul 4

Proba	Al mg/dm^3	Fe mg/dm^3	SiO ₂ mg/dm^3	Ca mg/dm^3	Mg mg/dm^3
Apa rezid.1	243	1276,2	238	730	1440
Apa rezid.2	1432,8	3328	376	590	104

Compoziția coagulantului obținut prin folosirea apelor reziduale menționate depinde de condițiile procesului tehnologic de preparare a pământurilor decolorante și poate varia în limitele prezentate în tabelul de mai sus.

Conform datelor prezentate în figura 15, pH-ul optim de hi-

Hidroliză se situează în domeniul 6,2-7,5 (curba 2), iar pH-ul optim de coagulare în domeniul 5,5-10,5 (curba 1).

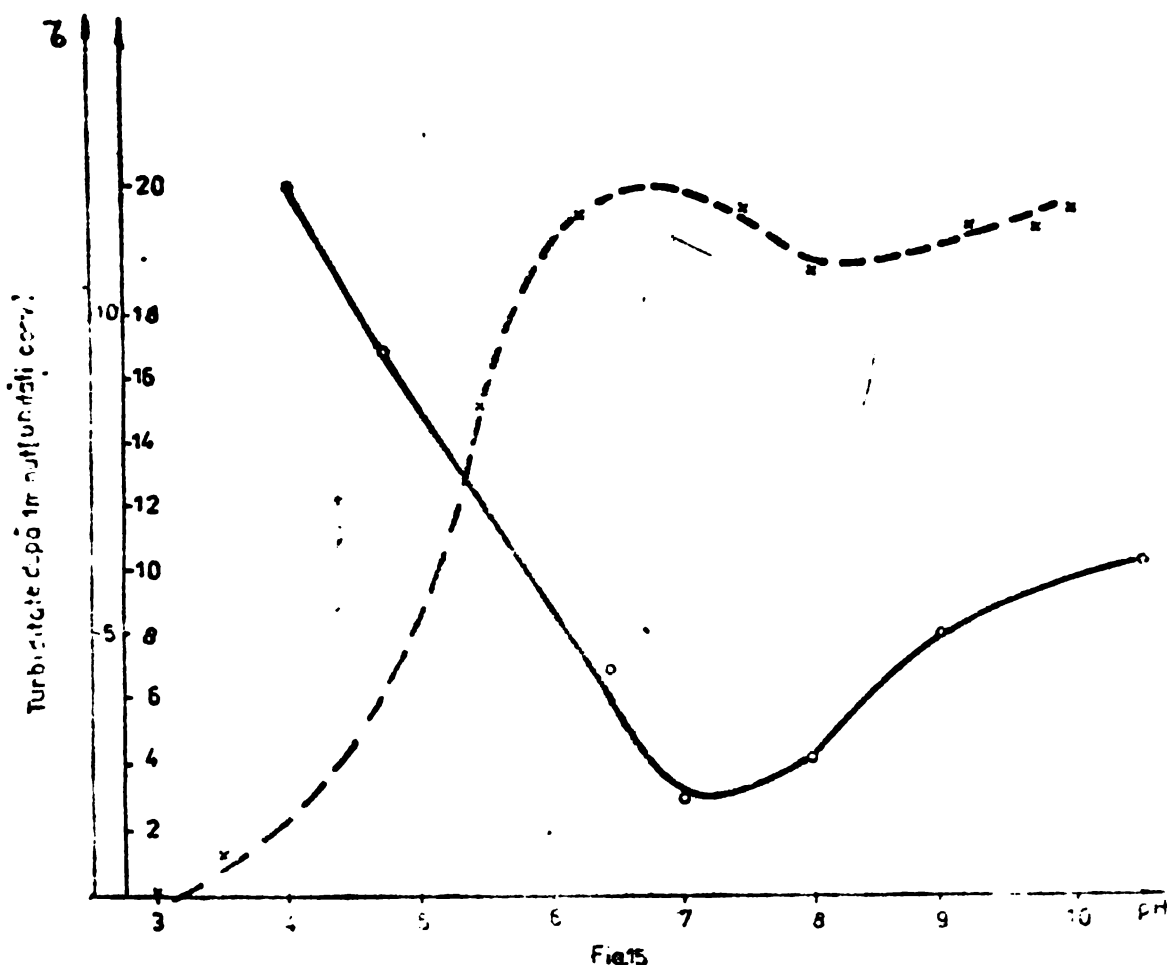


Fig. 15

După cum se remarcă din figura 15 între pH-ul hidroliză și pH-ul optim de coagulare există o legătură ca în figura.

În tratarea unei apei de suprafață cu o concentrație de 175 mg/l SiO_2 s-a obținut o acereală turbidității de 100 mg/l cu o doză de sulfat de aluminiu de 0,1 echivalenți și 10^{-3} mg/l respectiv 1,45 echivalenți gram de ALUMIFIN/dm³, ceea ce reprezintă 44% din doza său de aluminiu.

Cercetările noastre efectuate în vederea călănerii și a altor coagulanți inorganici complecsi din diferite deșeuri industriale, au prins să propună alti doi coagulanți, pe care i-am denumit convențional FERALUMIN și FERALISIFLOT și care sunt în curs de revetere.

După ceea ce rezultă din figura 15, între pH-ul hidroliză și pH-ul optim de coagulare al coagulantului FERALUMIN există o mare de bună concordanță.

În acest evidențiază eficiența acestor coagulanți obținută pe baza componențelor sale de aluminiu.

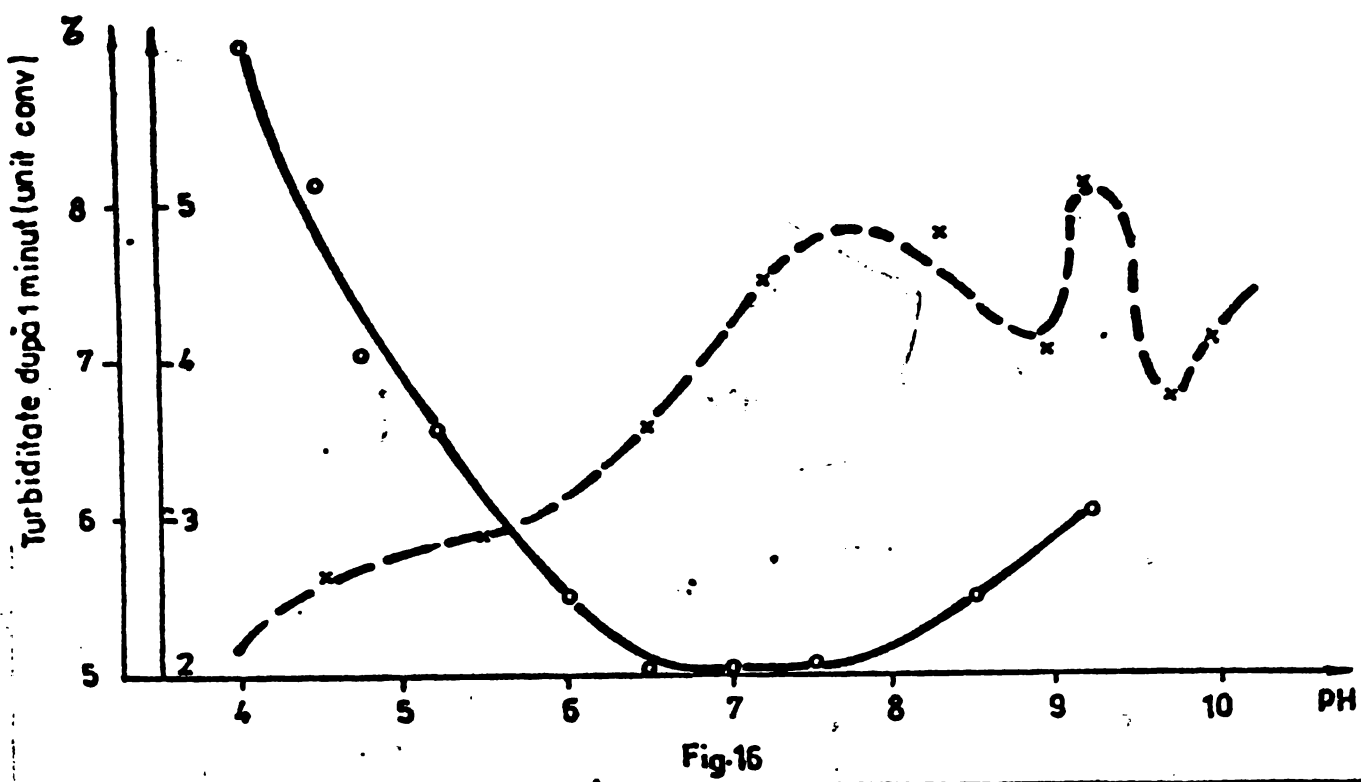


Fig. 16

suprafață cu turbiditatea inițială de 115°SiO_2 . Doza necesară de sulfat de aluminiu a fost de 0,04 echivalenți gram, cea de FERAL-SIMIN de numai 0,025 echivalenți gram, adică 62,5% din doza de sulfat de aluminiu, iar doza de FERALSIFILOT de 0,189 echivalenți gram, adică 47,36%.

In concluzie, coagulantii anorganici complecsi obținuți de noi prezintă față de coagulantii clasici mai multe avantaje, dintre care cele mai importante sunt: spectru larg de aplicabilitate, ei putindu-se utiliza la tratarea apelor potabile, industriale și la epurarea apelor reziduale; acționează într-un domeniu foarte larg de pH; ameliorarea coagulării, datorită prezenței mai multor elemente active ale coagulării; viteza mare de sedimentare, datorită prezenței silicei active; se obțin din deșeuri industriale, care, de însoțe constituie agenți de poluare, iar pentru obținerea lor se pot folosi chiar acizi reziduali; preț de cost redus; proces simplu de fabricare; posibilitatea utilizării instalațiilor existente a stațiilor de tratare și epurare a apei.

BIBLIOGRAFIE

- /1/. Holluta J., Veröffentlichungen der Abteilung des Lehrstuhls für Wasserchemie, T.H. Karlsruhe, Heft 4, 1969, p.1-24
- /2/. Cocheci V., Contribuții la studiul procesului de coagulare cu aplicări la epurarea apelor reziduale industriale, Teză de doctorat, I.P. "Traian Vuia" Timișoara, 1971
- /3/. Diessinger F., Coagulation et flocculation, Societe Lyonnaise des Eaux et de l'Eclairage, Paris, Franco, 1971 Sujet special nr.3
- /4/. Packham R.F., Sheiham I., Developments in the theory of coagulation and flocculation. Institution of Water Engineers and Scientists, paper presented at University of Lancaster (april 1976)
- /5/. Weber W.J., Physicochemical processes for water quality control Wiley Interscience, New-York 640, 1972
- /6/. Ives K.J., Flocculation rate theoris, in the Scientific Basis of Flocculation, NATO Advanced Study Institute, Cambridge, iulie 1977
- /7/. Kawamura S., JAWWA, 68, p.328, 1967
- /8/. Hall E.S., Packham R.F., JAWWA, 57, 1149, 1965
- /9/. Hahn H.H., Stumm W., Jour. Colloid Interface Sci. 28, p.134, 1968
- /10/. Overbock J., Jour. Colloid Interface Sci., 58, p.408, 1977
- /11/. Predali J.J., Cases J.M., Thermodynamics of the adsorption of collectors. Paper 33, Proceedings of the 10 th Internat. Mineral Processing Congres, London, april 1973
- /12/. Tambo N.D., Coagul. et flocculation, Departament de Genie Sanitaire, Fac. de Technologie, Université de Hokkaido, Sapporo, 060, Japan, 1977, Sujet special nr.
- /13/. Purchas D.B., Process Biochemistry 27, 1968, p.17-20
- /14/. Sontheimer H., Flocculation in Wasser treatment, in the Scientific Basis of Flocculation, NATO, Advanced Study Institute, Cambridge, iuli 1977
- /15/. Stumm W., Morgan J., JAWWA aug. 1962, p.971-994
- /16/. Mihai I., Leau M., Chimia macromoleculelor și coloidilor, M. didactică și pedagogică, București 1977

- /17/.Axt G.,Veröffentlichungen der Abteilung des Lehrstuhls für Wasserchemie,T.H.Karlsruhe,Heft 3,1967,p. 35-55
- /18/.Stumm W.,O'Melia,JAWWA,1965,p.514-538
- /19/.Gommella C.,Guerrée H.,Le traitement des eaux de distribution, Editions eyrolles,Paris,1973,p.55
- /20/.Kinzer K.,Zellstoff Pap.Ipz.13,1964,p.181-184
- /21/.Fiessinger F.,Bersillon J.,Prépolymérisation de l'hydroxyde d'aluminium pour la coagulation des eaux, prix Chemviron 1976
- /22/.Strell M.,Wasser und Abwasser 1955,p.236
- /23/.Cocheci V.,Martin A.,Sămărghita P.,Husz W.,brevet RSR,nr. 55844,197c
- /24/.Cocheci V.,Martin A.,Sămărghita P.,Husz W.,Buletin IPTV, seria Chimie,tom.16(30),fasc.2,1971,p.163.
- /25/.Cocheci V.,Taubert R.,Martin A.,Husz W.,brevet RSR,nr.56991, 1973
- /26/.Cocheci V.,Taubert R.,Martin A.,Husz W.,Dalea V.,Seminair sur l'Industrie Chimique et l'Environement, Chem/sém.I/R-12,1973,Varsavia
- /27/.Packham R.F.,J.Appl.Chem.,12,dec.1969,p.464.
- /28/.Cocheci V.,Martin A.,Haias L.,brevet RSR,nr.75173,1980
- /29/.Cocheci V.,Martin A.,Lörinczi E.,Cercetări asupra unor coagulanți anorganici complecși și a utilizărilor în tratarea și epurarea apelor (sub tipar în Memoriile secțiilor științifice ale Academiei RSR,seria IV,tom 3,nr.2/1980.

4. CONSIDERATII ASUPRA UNOR FACTORI AI PROCESULUI DE COAGULARE

Realizarea practică a procesului de coagulare este condiționată de o serie de factori fizici și chimici. Eficiența optimă poate fi asigurată dacă, ținând cont de acești parametri și de interdependența dintre ei, în cele ce urmează vor fi trecuți în revistă principaliii parametrii care influențează procesul de coagulare.

4.1. Influenta caracteristicilor apei

Natura particulelor în suspensie, determină un anumit comportament al acestora la coagulare. Astfel, caracterul hidrofil sau hidrofob este deosebit de important, el implicând un mecanism preferențial ca de altfel și natura sarcinilor purtate de particule. Grupările active de exemplu ale moleculelor organice (carboxi, fenoxi, metoxi) sunt deosebit de sensibile la condițiile de mediu și induc particulelor o reactivitate chimică.

S-au efectuat cercetări /1/, în scopul caracterizării particulelor, prin sarcina lor – adesea exprimată prin capacitatea de schimb de cationi – fără însă a se putea trage concluzii aplicabile în practică.

Trebuie menționată de asemenea importanța numărului de particule, care definesc "suprafața activă" /2/, factor determinant pentru floccularea cavitocinetică.

Între concentrația particulelor în suspensie și cantitatea optimă de coagulant există o anumită relație, determinată de mecanismul procesului.

Dacă procesul de destabilizare este guvernat de forțe fizice, conform modelului lui Gouy-Chapman, între concentrația fazei de dispersie și doza de coagulant nu există o relație directă, aceasta din urmă fiind determinată de regula lui Schulze-Hardy. În schimb dacă destabilizarea dispersiei coloidale este cauzată de forțe de adsorbție, sau de forțe chimice de formare a punților de legătură, între doza de coagulant C_{t_0} , necesară pentru a acoperi o anumită suprafață Θ a coloizilor și această suprafață, există o relație stoichiometrică, de proporționalitate liniară:

$$C_{t_0} = \Gamma_m \cdot \Theta \cdot S$$

unde: Γ_m = capacitatea de adsorbție, moli/dm³;

$S = \text{concentrația superficială a fazei de dispersie, m}^2/\text{dm}^3$.

In practică, apele naturale sau reziduale conțin de multe ori cantități mici de suspensii, sau conțin suspensii care au o concentrație superficială mică. In aceste condiții se poate obține o coagulare satisfăcătoare, fie prin adăugarea unei doze mari de coagulant, cind avem de a face cu o coagulare de antrenare nestochiometrică, sau coprecipitată nestochiom. fie prin mărirea concentrației suspensiilor prin adăugarea de bentonită, carbonați, carbune activ, nămol recirculat, etc.

pH-ul este un parametru deosebit de important deoarece el determină în primul rînd încărcarea particulelor, deci stabilitatea lor și apoi precipitarea coagulantului (metalul hidrolizat). Fiecare agent de coagulare are un pH optim de funcționare, legat de necesitatea formării produșilor lui de hidroliză. Studiul pH-ului de hidroliză nu face însă obiectul exclusiv al acestui capitol, importanța lui fiind subliniată și în alte capitole.

Influența pH-ului se manifestă deci în toate fazele procesului. Din acest motiv este necesară studierea mecanismului procesului la pH constant, rareori posibilă în practica tratării apelor cu săruri de fier sau de aluminiu. Așa cum rezultă din figura 1 există o influență simultană a dozei de coagulant și a pH-ului asupra reducerii turbidității cu ajutorul unei sări a unor metale.

Linia punctată reprezintă turbiditatea reziduală.

Creșterea rapidă a turbidității la depășirea dozei optime, prin restabilizarea sistemului coloidal, este evident legată de o scădere a pH-ului.

pH-ului trebuie să-i asociem, cum indică Kawamura /3/ alcalinitatea, atunci cind se utilizează drept coagulanți săruri hidrolizabile. Alcalinitatea se traduce de fapt prin capacitatea apei de a furniza ioni OH^- necesari precipitații coagulantului la pH-ul optim, prin intermediul produșilor de hidroliză.

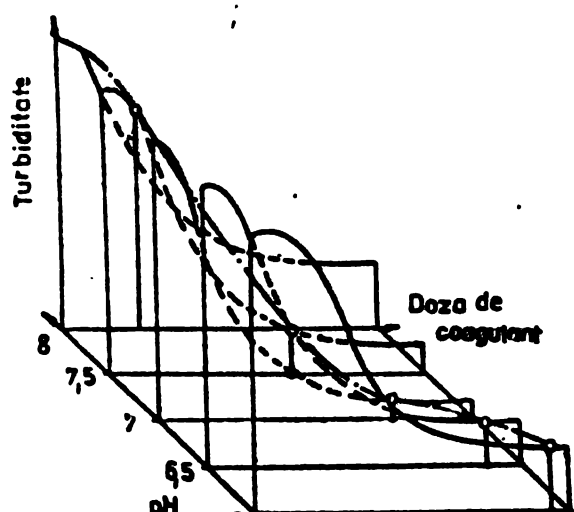


Fig. 1

Natura ionilor prezenti, în special a ionilor fosfat, sulfat calciu /4/ a constituit de asemenea obiect de studiu, scăindu-se în evidență faptul că pH-ul optim de precipitare crește în prezența cationilor și scade în absența anionilor, cu atât mai mult cît afinitatea pentru metalul coagulantului este mai mare /4,5/.

Temperatura, reprezintă un alt parametru de care trebuie să se țină seama în procesul de coagulare a unei ape, deoarece are influență asupra tuturor fazelor acestui proces.

Temperatura modifică pH-ul optim de coagulare în special atunci când se utilizează săruri de aluminiu, datorită influenței pe care o exercită asupra vitezei reacțiilor de hidroliză. Aceasta se traduce în general printr-o creștere a dozei de coagulant, odată cu scăderea temperaturii.

4.2. Influenta condițiilor tehnice

Natura coagulantului utilizat este determinată, atât de natura apei supusă tratării, cît și de rezultatele care se urmăresc: eliminarea turbidității, a culorii, etc., de modul de separare utilizat, decantare sau flotare, precum și de costul tratării /1/.

Policlorurile de aluminiu, care se aplică de puțin timp în tehnica coagulării, prezintă avantaje nete față de coagulanții clasici și anume: doză redusă, ușurință conducerii procesului, influență nesemnificativă a pH-ului, etc. Ele reduc turbiditatea și materiale organice într-o măsură mai mare decât sulfatul de aluminiu, permit obținerea unor floccule mari și ușor decantabile în absența adjuvantilor și prezintă o eficiență sporită pentru o gamă largă de impurificatori.

În același sens acționează coagulanții anorganici compuși precum și polimerii organici care nu fac obiectul acestui capitol.

Există de asemenea reactivi ca: varul, permanganatul, precum și oxidanți ca, clorul sau ozonul, capabili de efecte coagulante. O astfel de acțiune manifestă de exemplu ozonul în cazul anumitor ape cu turbidități medii, în procesele de micelizare-demicelizare.

Prepararea și modul de introducere a coagulanțului reprezintă o etapă a cărei importanță nu trebuie neglijată.

Este astăzi cunoscut faptul că înainte de introducerea coagulanțului în apă este recomandabil ca acesta să se dilueze, în anumite cazuri chiar sub 0,5% după unii autori /3/. Prohidroliza care are loc în aceste condiții prezintă un efect pozitiv, faza de amestecare rapidă permitând o bună difuziune a coagulanțului și un contact optim cu particulele în suspensie, care urmărează a fi destă-

bilizate. Se urmărește astfel de a pune în contact coagulantul cu maximum posibil de particule, înainte ca hidroliza lui să avanseze prea mult, deci într-un timp cît mai scurt (mai puțin de o secundă). În practică se preferă deseori, din acest motiv, injectarea directă în conducte, în condițiile unei turbulentă foarte mari ($G > loco sec$).

Pozitia coagularii în fluxul tehnologic de tratare al apei, respectiv relațiile cu celelalte faze ale procesului reprezintă un aspect de care trebuie ținut seama neapărat. Se preferă de exemplu, sărușile de aluminiu, pentru flotație, iar cele de fier pentru decantare. Docantele suspenionale atenuază importanța fazei de amestec rapid /1/. Existența unor faze de finisare a procesului de tratare a apei, ca adăusul de cărbune activ sau ozonizarea, implică optimizarea fazei de coagulare din fluxul tehnologic. Este în acest sens evident că, ameliorarea îndepărțării substanțelor organice prin coagulare, chiar cu câteva procente este mai economică, decât utilizarea cărbunelui activ sau a ozonului pentru obținerea aceluiași rezultat.

4.3. Contribuții la stabilirea interdependenței unor factori de bază ai procesului de coagulare /6/

Metodele de laborator care permit testarea valorii unui coagulant și determinarea dozei necesare sunt variate /7/. Cele mai cunoscute sunt măsurarea potentialului zeta, respectiv a mobilității electroforetice, titrarea coloidală și mai ales Jar-testul, convențional însoțit de determinări privind volumul sau coeficientul de compresibilitate a nămolului, etc. În general aceste metode sunt laborioase, /8, 9/.

In scopul determinării rapide a dozelor de coagulant precum și din necesitatea automatizării fluxului de tratare, unele cercetări privind practica procesului de coagulare au urmărit stabilirea de relații matematice, care să exprime interdependența factorilor determinanti ai procesului. Majoritatea acestor cercetări au avut ca scop stabilirea dozei optime de coagulant în funcție de unul sau mai mulți parametri ai apei supuse coagularii. Astfel, Langlier /1/, a urmărit influența turbidității asupra procesului de coagulare; Klacko a stabilit o relație între cantitatea de coagulant și colorația apei, iar Novak, dependența dintre cantitatea de coagulant și valurile polarografice ale coeficientului de lîmpozire și de oxidabilitate al apei.

V. Cocheci și colaboratorii /2/, folosind apa rîului Bega,

au stabilit o relație între doza de reactiv necesară coagulării, turbiditate (ca măsură a conținutului în suspensii), oxidabilitate și conductibilitatea apei brute:

$$G = K_0 + K_1 T + K_2 O_{xd} + K_3 (M_{k18} - k_{18}) \quad (1)$$

în care: G = cantitatea de coagulant, mg/dm³;

T = turbiditatea apei, mg SiO_2 ;

O_{xd} = oxidabilitatea apei, mg KMnO₄/dm³;

M_{k18} = conductibilitatea medie a apei;

k_{18} = conductibilitatea apei, la 18°C.

Pentru calculul coeficientilor K_0, K_1, K_2 și K_3 s-au folosit rezultatelor experimentale, obținute cu ape de suprafață, având turbiditatea până la loc mg SiO_2 .

La verificarea relației pe ape cu caracteristici asemănătoare domeniului studiat, cantitățile de coagulant calculate au fost apropiate de cele determinate prin Jar-test.

În instalații industriale, cantitatea de coagulant necesară a fost mai mică, decât cea care rezultă din formula (1).

Această diferență se datorează caracteristicilor instalațiilor industriale și în primul rînd factorilor hidrodinamici. De aceea, valorile cantităților de coagulant determinate cu relația stabilită anterior, trebuie să fie multiplicate cu un factor de corecție, care se obține, pentru aceeași apă, raportind cantitatea de coagulant necesară într-o instalație industrială, la cea rezultată din calcul.

Reluând aceste cercetări, s-a urmărit stabilirea unor relații mai exacte, care să fie folosite de uzinele de apă, pentru determinarea cantității optime de coagulant. În acest scop s-au folosit din statisticile uzinei de apă nr. 2 a municipiului Timișoara, datele pe o perioadă de 4 ani. Prelucrînd aceste date la un calculator Felix C-256 s-a determinat corelația dintre diferenții parametri care influențează procesul, cu ajutorul analizei de regresie. S-a constatat că doza de coagulant este în strînsă corelație cu următorii parametri:

- turbiditate ($\rho = 0,882$); oxidabilitate ($\zeta = 0,9$).

Acești 2 indicatori sunt dependenți unul de altul și din această cauză în relația, care exprimă doza optimă de coagulant apare unul singur dintre ei;

- temperatura (t) are o influență mai redusă asupra cantității de coagulant, decât factorii menționati ($\rho = 0,17$);

- variația pH-ului fiind mică (6,9-7,3) nu se va introduce în relație; datele asupra pH-ului apar în variația alcalinității ($\rho = 0,6$);

- celelalte variabile pot fi considerate independente.

Relația de dependență, calculată cu ajutorul ecuațiilor normale pentru stabilirea coeficienților de regresie, este:

$$G = 34,28 + 0,155 T - 17,398 \text{ Alc} - 0,005 t \quad (2)$$

În această relație temperatura apare cu un coeficient foarte mic, care permite includerea ei liniară în ecuație.

Coefficientul de corelație multiplă calculat, fiind $\rho = 0,996$ formula redă, corectă dependența dintre doza de coagulant și factorii studiați.

Pentru a se verifica relația stabilită, în condițiile exploatării industriale, s-au comparat rezultatele obținute cu această formulă, într-o uzină de tratare a apei, cu cele obținute prin metodele experimentale clasice, găsindu-se abateri foarte mici în valoare absolută, majoritatea în domeniul negativ. De exemplu:

T	Alc.	Cantitatea de coagulant conform formulei	Cantitatea de coagulant folosit de uzină
120	11	33,3	34,0

În continuare, s-a efectuat un studiu comparativ asupra dozelor de reactivi, necesare coagulării aceleiași ape, cu coagulanți diferiți precum și asupra modului în care aceste doze variază în funcție de turbiditate și alcalinitate.

Dependența cantității de coagulant de turbiditate și de alcalinitate poate fi exprimată de relația (3):

$$G = 34,3 + 0,155 T - 17,5 \text{ Alc} \quad (3)$$

Intrucât în cazul apei studiate, datele experimentale indicau o alcalinitate constantă ($\text{Alc} = 1,2$) pe o perioadă de timp suficient de lungă, s-a urmărit stabilirea unei relații pentru aceste condiții. Relația obținută este de forma:

$$G = 11,78 + 0,125 T \quad (4)$$

Domeniul de aplicabilitate se restrângă la domeniul $30-60^{\circ}\text{SiO}_2$, subliniindu-se încă odată faptul că, dependența este valabilă pe intervale, obținându-se o aproximare a curbei reprezentative prin segmente de dreaptă.

Dependența liniară caracterizează corect fenomenul, deoarece coefficientul de corelație are valoarea $\rho = 0,862$.

Pentru a cerceta dacă forma generală a relației stabilite se păstrează și pentru alt coagulant, s-a lucrat cu apă sintetică, utilizându-se drept coagulant sulfatul de aluminiu (soluție cu concentrația 10 mg/dm^3) și coagulantul complex FERALTI cu compozitia: $1,96 \text{ mg Fe/cm}^3$; $1,54 \text{ mg Al/cm}^3$; $0,14 \text{ mg Ti/cm}^3$.

In cazul coagulantului FERALTI s-a obținut relația:

$$G = 0,6 + 0,0027 T - 0,306 \text{ Alc} \quad (5)$$

$$\text{pentru } T = 20-160^\circ\text{SiO}_2$$

Pentru același domeniu de turbiditate și coagulant, dar în cazul apei de suprafață studiate, se obține o relație de forma:

$$G = 0,69 + 0,0031 T - 0,35 \text{ Alc} \quad (6)$$

Reprezentind grafic această relație se obține o variație liniară. Se poate trage concluzia că în domeniul obișnuit de turbiditate al apelor de suprafață studiate și la valori constante ale alcalinității, funcția $G=f(T)$ este liniară.

In cazul turbidităților mari, relația nu se mai respectă, dependența cantității de coagulant de turbiditate nefiind liniară, curba luind forma unei funcții $y=x^n$ ($n \in N$). In consecință se propune o relație de forma:

$$G = K_0 + K_1 T^{-n} - K_2 \text{ Alc} \quad (7)$$

în care coeficienții se determină, de la caz la caz, pe baza datelor experimentale.

In scopul studierii dependenței dozei de coagulant de unii parametri de bază ai coagulării, respectiv a interacțiunii acestora s-a lucrat cu o apă preparată în laborator, dintr-o suspensie de caolin stabilizată cu adaus de carbonat de sodiu, în cantitate de $0,5-0,4\%$ din cantitatea de caolin. S-au obținut astfel sisteme cu un grad mare de dispersie, foarte stabile.

Doza optimă s-a considerat aceea la care turbiditatea reziduală a fost de 10°SiO_2 și aceasta s-a determinat grafic. Drept reactivi de coagulare s-au folosit sulfatul de aluminiu și coagulantul anorganic complex FERALTI. In toate determinările s-a lucrat la $\text{pH}=7$, urmărindu-se influența temperaturii, a turbidității și oxidabilității asupra dozei de coagulant.

Intervalul de temperatură studiat a fost cuprins între $+5^\circ\text{C}$ și $+22^\circ\text{C}$, intervalul de turbiditate între 112° și 450°SiO_2 și

intervalul de oxidabilitate între 30 și 120 mg KMnO₄/dm³, pentru ambii coagulanți.

Rezultatele obținute la coagularea cu sulfat de aluminiu sunt prezentate în tabelul 1, iar cele obținute la coagularea cu FERALTI în tabelul 2.

Tabelul 1

Dozele optimă de sulfat de aluminiu

Nr. crt.	Turbiditatea SiO_2	Temperatura $t = {}^\circ\text{C}$	Oxidabilitatea $\text{O}_{xd} = \text{mg KMnO}_4/\text{dm}^3$	Doza optimă mg Al/dm ³
1	450	22	30	30,24
2	450	11	30	31,72
3	450	5,5	30	33,24
4	450	22	60	61,96
5	450	11	60	116,40
6	450	5,5	60	123,96
7	225	22	30	42,32
8	225	11	30	43,84
9	225	5,5	30	51,40
10	225	22	60	122,44
11	225	11	60	128,52
12	225	5,5	60	140,60
13	112,5	22	30	41,56
14	112,5	11	30	42,32
15	112,5	5,5	30	43,84
16	112,5	22	60	75,60
17	112,5	11	60	90,72
18	112,5	5,5	60	102,82
19	450	22	120	199,56
20	450	11	120	219,24
21	450	5,5	120	229,80
22	225	22	120	152,68
23	225	11	120	185,96
24	225	5,5	120	241,92
25	112,5	22	120	148,92
26	112,5	11	120	190,48
27	112,5	5,5	120	226,80

Tabelul 2

Dozele optime de FERALTIS

Nr. crt.	Turbiditatea $\% \text{SiO}_2$	Temperatura $t = {}^\circ\text{C}$	Oxidabilitatea $\text{O}_2_{\text{fd}} = \text{mg KMnO}_4/\text{dm}^3$	Doza optimă $\text{mg Al}/\text{dm}^3$
1	450	22	30	20
2	450	11	30	22
3	450	5	30	27
4	450	22	60	26,4
5	450	11	60	27
6	450	5	60	33
7	450	22	120	39,1
8	450	11	120	40
9	450	5	120	45
10	225	22	30	14,08
11	225	11	30	20
12	225	5	30	25,2
13	225	22	60	24,3
14	225	11	60	25
15	225	5	60	29,1
16	225	22	120	37
17	225	11	120	39
18	225	5	120	42,1
19	112,5	22	30	13
20	112,5	11	30	18
21	112,5	5	30	23
22	112,5	22	60	23
23	112,5	11	60	24
24	112,5	5	60	27
25	112,5	22	120	35
26	112,5	11	120	37
27	112,5	5	120	40,2

Acste rezultate au stat la baza stabilirii relației dintre doza de coagulant și principali factori, care influențează procesul de coagulare: temperatura, turbiditatea și oxidabilitatea.

Pentru coagularea cu sulfat de aluminiu, folosind rezultatele experimentale din tabelul 1, cu ajutorul analizei de regresie,

s-a stabilit relația (8), care exprimă doza optimă de coagulant:

$$y = \bar{y} + b_1 x_1 + b_2 x_2 + b_3 x_3 + b_{12} x_1 x_2 + b_{13} x_1 x_3 + b_{23} x_2 x_3 + \\ + b_{11}(x_1^2 - 14) + b_{22}(x_2^2 - 14) + b_{33}(x_3^2 - 14) \quad (8)$$

Pentru calculul coeficienților ecuației și a coeficienților de corelație multiplă și relativă s-au folosit formulele uzuale, obținindu-se:

$$b_1 = \frac{x_1 y}{x_1^2} = \frac{268,68}{378} = 0,71079$$

$$b_2 = \frac{x_2 y}{x_2^2} = -\frac{1450,32}{378} = -3,836$$

$$b_3 = \frac{x_3 y}{x_3^2} = \frac{6571,86}{378} = 17,3858$$

$$b_{12} = \frac{x_1 x_2 y}{(x_1 x_2)^2} = \frac{181,84}{5292} = 0,03436$$

$$b_{13} = \frac{x_1 x_3 y}{(x_1 x_3)^2} = \frac{2634,48}{5292} = 0,4978$$

$$b_{23} = \frac{x_2 x_3 y}{(x_2 x_3)^2} = -\frac{3669,84}{5292} = -0,6934$$

$$b_{11} = \frac{x_1 y}{x_1^4} = \frac{42671,64}{7938} = 5,3756$$

$$b_{22} = \frac{x_2 y}{x_2^4} = \frac{42041,28}{7938} = 5,2962$$

$$b_{33} = \frac{x_3 y}{x_3^4} = \frac{51614,7}{7938} = 6,5022$$

Cu acești coeficienți ecuația (8) devine:

$$y = 5,3756 x_1^2 + 5,2962 x_2^2 + 6,5022 x_3^2 + 0,03436 x_1 x_2 + \\ + 0,4978 x_1 x_3 - 0,6934 x_2 x_3 + 0,71079 x_1 - 3,8363 x_2 + \\ + 17,3858 x_3 - 124,9227 \quad (9)$$

în care:

$$x_1 = \frac{T - 262,5}{37,5}$$

T = turbiditatea, $^{\circ}\text{SiO}_2$.

$$x_2 = \frac{6t - 77}{11}$$

t = temperatura, $^{\circ}\text{C}$

$$x_3 = \frac{O_{xd} - 70}{10}$$

O_{xd} = oxidabilitatea,
 $\text{mg KMnO}_4 / \text{dm}^3$

Din examinarea ecuației se pot trage următoarele concluzii
- influența scăderii temperaturii se manifestă negativ asupra dozelor de coagulant, mai ales în domeniul temperaturilor coborîte;

- se remarcă existența interacțiunii dintre turbiditate și oxidabilitate și dintre temperatură și oxidabilitate;
- relația permite stabilirea dozei de coagulant, în domenii largi de temperatură și turbiditate, în practica tratării apelor.

În cazul utilizării coagulantului FERALTI s-au folosit datele din tabelul 2 și cu ajutorul aceleiași metode, pentru doza optimă de coagulant s-a obținut formula:

$$\begin{aligned} y = & 22,206 + 0,461 x_1 - 0,687 x_2 + 2,12 x_3 + 0,0052 x_1 x_2 - \\ & - 0,0109 x_1 x_3 + 0,0439 x_2 x_3 + 0,0881 x_1^2 - 0,05754 x_2^2 + \\ & + 0,4393 x_3^2 \end{aligned} \quad (10)$$

în care x_1, x_2, x_3 au aceeași semnificație ca în ecuația stabilită pentru sulfatul de aluminiu.

Coefficienții ecuației de regresie, calculați în mod analog au valorile:

$b_1 = 0,461$

$b_2 = -0,687$

$b_3 = 2,120$

$b_{12} = 0,0052$

$b_{13} = -0,0109$

$b_{23} = 0,0439$

$b_{11} = 0,0881$

$b_{22} = -0,05754$

$b_{33} = 0,4393$

Din calculul coeficientilor de corelație multiplă și relativă se pot trage concluziile:

- turbiditatea și temperatura influențează direct doza de coagulant, influența turbidității fiind însă mult mai mare. Faptul că temperatura influențează doza de coagulant, într-o măsură mai mică, decât ceilalți parametri și decât în cazul sulfatului de aluminiu se explică prin prezența ionului de aluminiu în cantitate mai mică în coagulantul FERALTI;

- se constată un efect al oxidabilității asupra dozei de coagulant;

- interacțiunea dintre turbiditate și temperatură, precum și cea dintre temperatură și oxidabilitate influențează de asemenea într-o măsură sensibilă cantitatea optimă de coagulant;

- în general dozele de coagulant FERALTI sunt mai reduse decât dozele de sulfat de aluminiu.

În concluzie cele două formule (9) și (10) permit calculul dozei de coagulant în funcție de parametri de bază ai procesului, parametri de care trebuie să se țină seama și care nu pot fi neglijati într-o dozare corectă.

Aplicarea relațiilor stabilite se poate face, într-un domeniu larg de temperatură, oxidabilitate și turbiditate.

BIBLIOGRAFIE

- /1/. Fiessinger F., Coagulation, Société Lyonnaise des Eaux et de l'Eclairage, Paris, E 1-10, Sujet special, nr.3
- /2/. Stumm W., O'Melia, Jour. AWWA, 1968, p.514
- /3/. Kawamura S., Jour. AWWA, 68, p.328, 1976
- /4/. Pacham R.F., Sheiham I., Institution of Water Engineering and Scientists, paper presented at University of Lancaster, 1976, april.
- /5/. Cocheci V., Contribuții la studiul procesului de coagulare cu aplicație la epurarea apelor reziduale industriale, Teză de doctorat, I.P."Traian Vuia", Timișoara, 1971.
- /6/. Cocheci V., Martin A., Klepp F., Buletin științific I.P.T., fasc. 1, 1979, Tom 24(38), p.7
- /7/. Tekippe R.J., Ham R.K., Jour. AWWA 1970, 62, p.594
- /8/. Novak Z., Wasserwirtschaft-WasserTechnik, 5, 146, 1956
- /9/. Cocheci V., colab. Buletin științific I.P.T., Tom 7, fasc. 2, 1962 p.249

5. HIDROLIZA AGENTILOR DE COAGULARE

Coagularea cu electroliti, continind cationi polivalenți hidrolizabili, este un proces complex care diferă mult de coagularea cu ioni simpli, datorită formării prin hidroliză a mai multor specii ionice de valență diferită. În aceste condiții, procesul corespunde practic unei coagulări cu amestec de electroliti, în care gradul de hidroliză al cationilor polivalenți joacă un rol deosebit.

Mecanismul de acțiune a speciilor ionice rămâne în principiu hidroliză și modificări ale proprietății ionice a soluției, datorită comparației dubiului strat electric, și a schimbării datorită absorbției și schimbului ionic în stratul fix.

În ansamblul mecanismelor care intervin în eliminarea chimică a suspensiilor, proceselor de hidroliză trebuie să li se acorde o importanță deosebită.

5.1. Hidroliza sărurilor de fier, aluminiu și titan

Reacția de hidroliză a anumitor săruri ale cationilor polivalenți cunoscută de pe timpul lui Berzelius, se poate prezenta în modul următor:



Cationii metalici în soluție apoasă există ca aquacomplecsi. În general este dificil să se determine numărul moleculelor de apă ale învelișului hidratat, însă mulți ioni metalici coordinează 4-6 molecule de apă pe ion metallic.

Pentru explicarea reacției de hidroliză a cationilor în soluție apoasă, Werner și Pfeifer au emis ipoteza eliminării protonilor din moleculele de apă coordinate la ionul metallic:



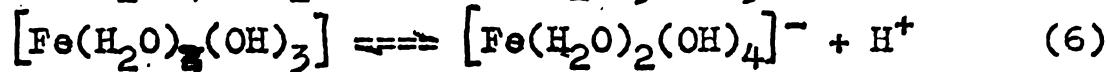
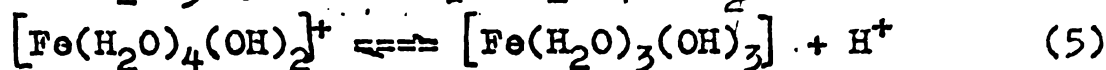
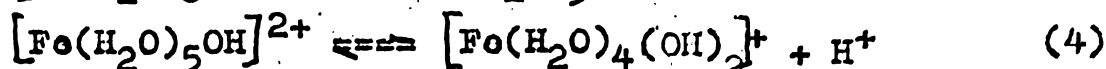
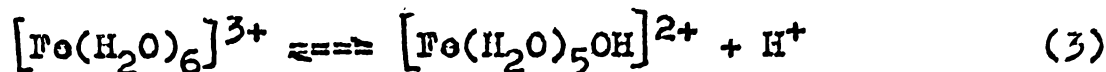
Aciditatea moleculelor de apă din învelișul de hidratare al ioniilor este mult mai mare, decât cea a moleculelor de apă cu atunci. Intensificarea acidității speciilor coordinate este rezultatul, și al răspingerii protonilor moleculelor de apă de către sarcina pozitivă a ioniilor metalici, și al mobilizării porosității de electroni ai hidratului /2,3/.

Conform teoriei lui Brönstedt, ioni metalici hidratatați sunt acizi, aciditatea lor crescând odată cu creșterea sarcinii ionului și cu micșorarea razei.

Ionul aquaferic are o primă constantă de aciditate de aceeași ordin de mărime ca cea a H_3PO_4 .

Baza conjugată din reacția (2) poate la rîndul ei să transfere un proton, procesul decurgînd în serie, pînă cînd toate moleculele coordinate la ionul metalic pierd cîte un proton.

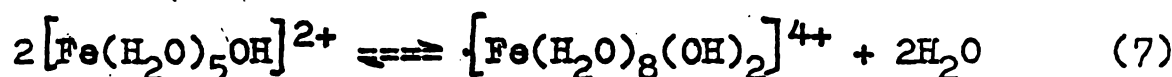
Schema propusă de Brönstedt pentru hidroliza ionului de fier (III) este următoarea:



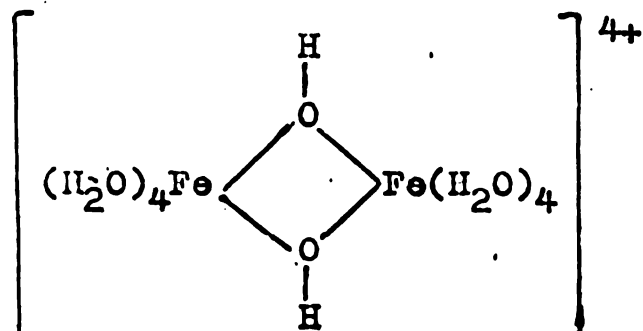
Formarea ionului $[Fe(OH)_4]^-$ are loc la o concentrație atît de mare a ionilor OH^- , care de obicei nu se întîlnesc în practica tratării și epurării apelor /3/.

Schema de hidroliză formulată mai sus este ipotetică, adesea echilibre neputînd fi sesizate.

În valoare comună a pH-ului, posibile hidrolizate pot include și condensarea ionului de fier(III) în dimer. Schema de formare a dimerului fieric este:



Ionul dimer este suficient de stabil pentru a crește în soluții de concentrații ale $Fe > 10^{-14}$ M /3/. Cei doi ioni metalici sunt legați probabil prin două punți hidroxo:



Procesele de condensare pot continua în principiu la neîncetit, prin pierdere de protoni și formarea de legături "oxo" sau prin acceptare de protoni și formare de legături "ol".

Aceste fenomene denumite oxolație respectiv clatiune, conduc la compuși polinucleari, sau compuși condensați, pe scurt policationi /4/.

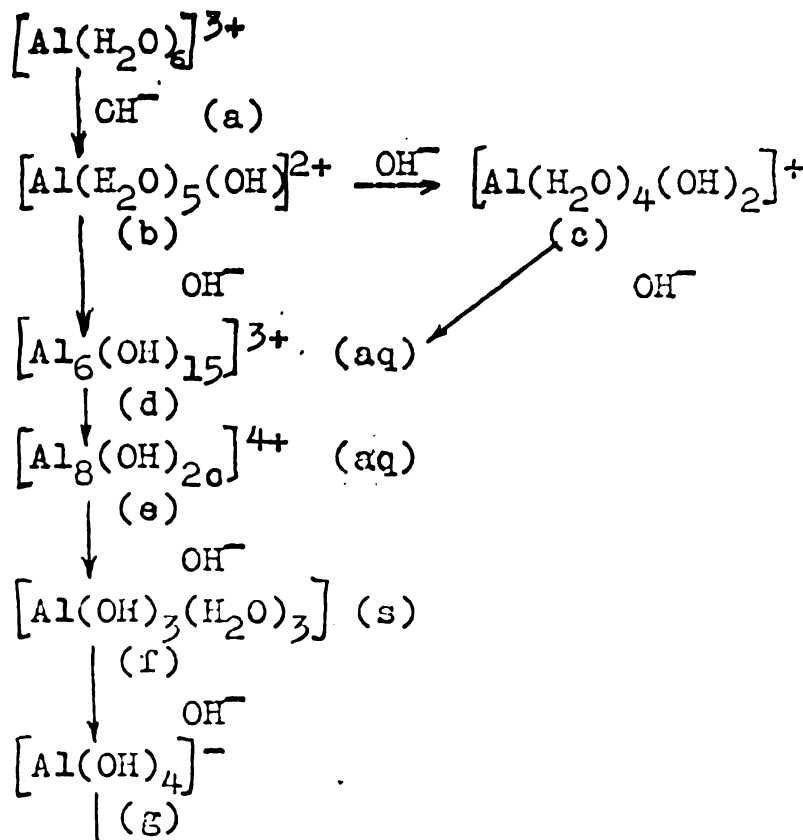
Succesiunea reacțiilor de hidroliză, ducă la o coordinare progresivă a ionicului feric cu ionicul hidroxil. Decarece sarcina compușilor Fe(III) scade prin coordinarea cu grupele hidroxice, rezistența dință a polimerizării crește /4/. În condiții de suprasaturație procesul poate conduce la formarea de hidroxopolimeri coloidali și în final formarea de precipitat.

Formarea hidroxocomplecșilor, polimerizarea și îmbătrînirea au fost puse în evidență prin studiul absorbției în UV.

Sărurile de aluminiu hidrolizează ușor, dar aciditatea ionicului de aluminiu este mai mică decât a ionicului feric, pH-ul soluțiilor sărurilor de aluminiu prezintând valori similare cu cele ale soluțiilor echimoleculare de acid acetic.

Aparent hidroliza aluminiului este mai complicată decât a fierului și nu se cunosc proprietăți exacte, nu au cunoscută sucurile compozită și sprijină hidroliză /5/:

O schemă ipotetică a hidrolizei în trepte a ionicului aluminiu este redată mai jos:

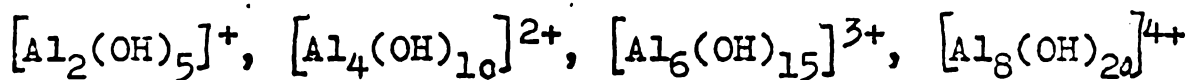


Formarea ionicilor hidroxocomplecși de aluminiu corespunzători structurilor (d) și (e) a fost evidențiată de variație corectării.

Investigațiile potențiometrice ale lui Ercoset și celatorii, asupra reacțiilor de hidroliză ale aluminiului în prezen-

ță unor concentrații variabile de ioni OH^- , au arătat că speciile monomere (b) și (c) nu sunt produși principali de hidroliză /5/. Brosset a considerat hidroxocomplexul polimer solubil cu un raport stoichiometric $\text{OH}/\text{Al} = 2,5/1$ ca fiind produsul principal de hidroliză, sugerând că structura cea mai probabilă a acestuia este $[\text{Al}_6(\text{OH})_{15}]^{3+}(\text{aq})$. Datele lui Brosset conduc la concluzia că în mediu alcalin există un singur complex $[\text{Al}(\text{OH})_4]^-$ și $\text{Al}(\text{OH})_2$. Sunt să se evidențieze compozitiei speciilor hidroxi-aluminilor și s-a utilizat diverse metode: potențiometrice, crioscopice, de difuziune, difuzia luminii, cipetice, conductometrice, schimb ionic, coagulare /5,6,7,8,9,10/, etc., rezultatele fiind variate în funcție de condițiile de lucru.

In numeroase studii experimentale s-a determinat raportul Al/OH , s-a calculat sarcina, determinându-se ulterior compozitia. De exemplu pentru raportul $\text{Al}/\text{OH} = 1/2,5$ sunt posibile următoarele specii:



Reacțiile de hidroliză ale Ti (IV) au constituit de asemenea obiectul unor studii de extractie /11/ chromatografice și electroforetice /12/.

Existența ionului Ti^{+4} s-a stabilit în domeniul de $\text{pH}=0,5$ -iar produși de hidroliză identificați au fost: $[\text{Ti}(\text{OH})]^{+3}$, $[\text{Ti}(\text{OH})_2]^{+2}$, $[\text{Ti}(\text{OH})_3]^+$ și $\text{Ti}(\text{OH})_4$.

V.N. Savelev și colaboratorii /13/ studiind cinetica hidrolizei TiCl_4 la 20°C , au ajuns la concluzia că este o reacție autocatalitică de ordinul I.

Cinetica reacțiilor de hidroliză a ionilor polivalenți, șinind seama de importanță sa în procesul de coagulare, a constituit obiectul numeroase studii a căror rezultate sunt dezbateri controverse.

In general stabilirea echilibrului de hidroliză decurge rapid, atât timp cât speciile de hidroliză sunt simple dar se stabilizează încet în cazul complexelor polinucleari. Hidroxocomplecșii polinucleari sunt cinstic intermediari în tranziția înceată de la ionii liberi la precipitate insolubile și astfel sunt termodynamic instabili.

Decarcse hidroliza este un proces tipic reversibil, starea de echilibru este determinată de concentrația ionilor de hidrogen

în soluție. Ridicarea valorilor pH-ului deplasează echilibrul în sensul dizolvării hidroxizilor și, datorită acestui fapt, formarea sărurilor bazice și a hidroxizilor poate să nu aibă loc.

In prezența altor ioni complecsanți, aceștia pot concura cu ionii OH⁻ în coordanarea ionului metalic și pot înlocui parțial sau total ionii OH⁻ în reacția de neutralizare a sarcinii cationului metalic. pH-ul optim de hidroliză va fi deplasat în aceste condiții spre domenii mai acide. Incorporarea anionilor, capabili de a coordona ionii metalici în precipitate bazice, poate deplasa pH-ul optim de hidroliză spre valori mai ridicate.

Acesta este, unul dintre factorii care conduc la neconcordanțe aparente în privința rezultatelor diuersilor cercetători în domeniul hidrolizei cationilor polivalenți.

In cadrul preocupărilor noastre privind obținerea unor coagulanți anorganici complecsi precum și studierea principalelor lor caracteristici s-a determinat pH-ul optim de hidroliză și de coagulare, precum și modul de acțiune a acestor coagulanți, aspecte care vor fi tratate în alt capitol.

Hidroliza agentilor de coagulare reprezintă așa după cum s-a mai arătat una din fazele determinante ale coagulării și de aceea cercetările care se întreprind în această direcție au o deosebită importanță, contribuind la desfășurarea în condiții optime a procesului.

Tinând seama de compoziția foarte complexă a coagulanților menționați, de faptul că în majoritatea cazurilor acești coagulanți conțin ca elemente principale fierul și aluminiul, lucrarea de față își propune urmărirea prin măsurători conductometrice, a unor aspecte cinetice ale hidrolizei unor amestecuri de săruri de fier și de aluminiu, în raporturi în care acești ioni metalici se găsesc în coagulanții anorganici complecsi.

5.2. Cercetări asupra hidrolizei unor coagulanți anorganici complecsi

In prima parte a cercetărilor s-a urmărit influența temperaturii, a mediului de reacție și a concentrației asupra hidrolizei unor soluții de sulfat feros, clorură ferică și sulfat de aluminiu, și în continuare influența același parametri asupra difertelor amestecuri de săruri ale bationilor menționați.

Lucrările au fost efectuate cu amestecuri echinormale de clorură ferică, sulfat de aluminiu și de sulfat feros-sulfat de aluminiu, utilizându-se săruri chimic pure. S-a menținut constantă

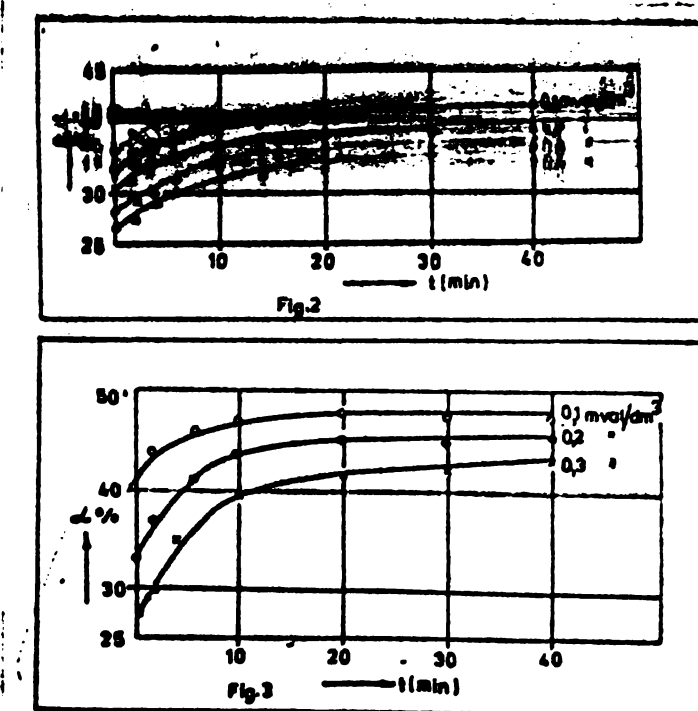
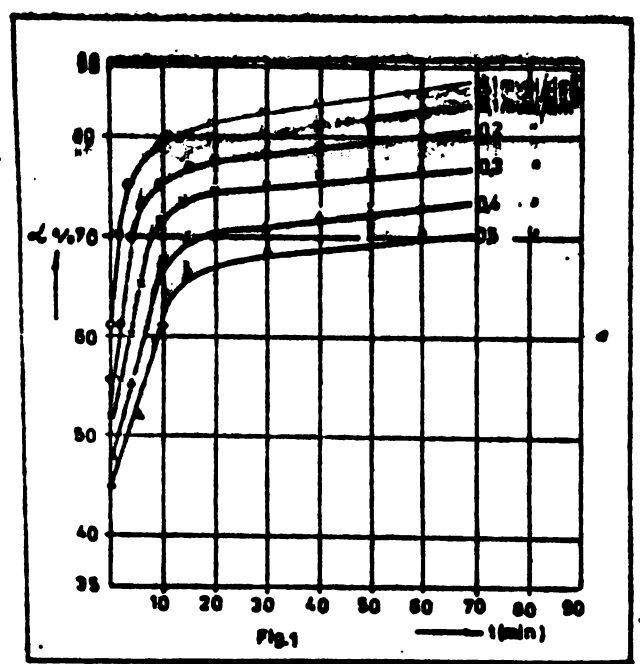
GRADUL DE HIDROLIZĂ DINȚU COMPOZIȚII AMESTECULUI - 5,7 mval/dm³ și în aceste soluții s-a variat concentrația celuilalt component, de la 0,1 la 0,5 mval/dm³. Toate determinările s-au efectuat la două temperaturi, +20°C și +30°C. S-a folosit ca solvent apă bidistilată și soluție de bicarbonat de sodiu. Excesul de bicarbonat de sodiu față de coagulant a fost de 2,2 mval/dm³, în toate cazurile în care s-a utilizat acest mediu de reacție.

Rezultatele obținute au fost comparate cu cele obținute cu soluțiile unor coagulanți clasici, sulfat feric și sulfat de aluminiu. Hidroliza unei sări, putind fi oprită aproape total prin adăugare de acid sau bază slabă, fără modificarea conductibilității soluției, se poate calcula gradul de hidroliză, pentru o anumită diluție, prin măsurători conductometrice. În acest scop s-a folosit relația:

$$\alpha = \frac{\lambda_v - \lambda'_v}{\lambda''_v + \lambda'_v} \quad (8)$$

unde: α = gradul de hidroliză; λ''_v = conductivitatea soluției de sare pură la diluție v ; λ'_v și λ_v = conductivitatea echivalentă a soluției de sare în prezență de acid sau bază slabă și respectiv a soluției de acid sau bază tare.

Determinările efectuate în apă bidistilată la 20°C au condus la valori diferite ale gradului de hidroliză, pentru fiecare din cei trei coagulanți clasici. În figurile 1, 2 și 3 este redată



variația gradului de hidroliză a clorurii ferice, sulfatului de aluminiu și sulfatului feric.

luminiu și a sulfatului feros, pentru diferite concentrații, la temperatură de $+20^{\circ}\text{C}$. După 10-15 minute gradul de hidroliză are următoarele valori: $\alpha_{\text{FeCl}_3} = 79\%$; $\alpha_{\text{Al}_2(\text{SO}_4)_3} = 39\%$; $\alpha_{\text{FeSO}_4} = 43\%$.

Acșește valori corespund concentrației de 0,1 mval/dm³. Se observă din figurile menționate că după 60 minute, gradul de hidroliză atinge valoarea de 85% pentru clorura ferică, și doar de 43%, și de 48% pentru sulfatul de aluminiu și respectiv sulfatul feros.

Rezultă de asemenea că variația cea mai mare a lui cu concentrația o prezintă clorura ferică. Astfel la o variație a concentrației de 0,4 mval/dm³, $\Delta\alpha_{\text{FeCl}_3} = 13\%$; $\Delta\alpha_{\text{Al}_2(\text{SO}_4)_3} = 9\%$; $\Delta\alpha_{\text{FeSO}_4} = 8\%$.

In continuarea cercetărilor s-au determinat valorile pH-ului, pentru domeniul de concentrație studiat 0,1-0,5 mval/dm³, la $+20^{\circ}\text{C}$ și $+3^{\circ}\text{C}$, în apă bidistilată, pentru clorură ferică, sulfat de aluminiu și sulfat feros (tabelul 1), precum și pentru amestecurile echinormale de clorură ferică și sulfat de aluminiu, sulfat feros și sulfat de aluminiu, clorură ferică și sulfat feros (tab.2).

Tabelul 1

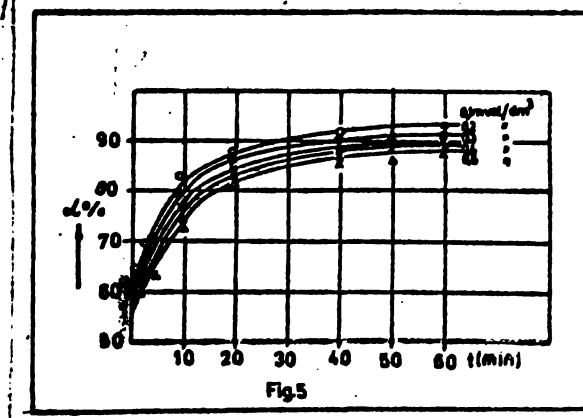
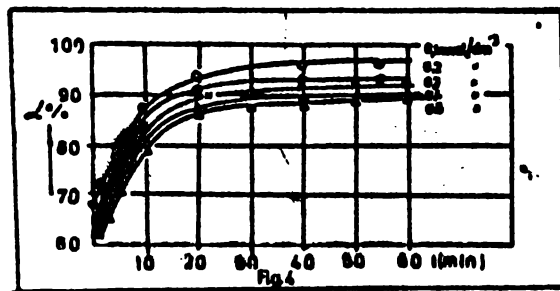
Temp.	Sare	Concentrația				
		0,1 mval/dm ³	0,2 mval/dm ³	0,3 mval/dm ³	0,4 mval/dm ³	0,5 mval/dm ³
3°C	FeCl_3	4,85	4,76	4,72	4,68	4,64
	$\text{Al}_2(\text{SO}_4)_3$	4,87	4,78	4,74	4,71	4,67
20°C	FeCl_3	4,70	4,60	4,52	4,46	4,41
	$\text{Al}_2(\text{SO}_4)_3$	4,72	4,62	4,53	4,47	4,42
	FeSO_4	4,51	4,41	4,34	4,28	4,23

Valorile pH-ului (tab.1,2), arată că acidul oliferat prin hidroliză poate fi parțial consumat.

Dacă reacție pH-ul se modifică odată cu modificarea modiului de reacție, s-a menținut constantă temperatura de lucru la 20°C și s-a utilizat ca mediu de reacție, în locul apei bidistilate, soluție de bicarbonat de sodiu în excesul amintit. S-a urmărit, în aceste condiții, variația gradului de hidroliză pentru clorura ferică și sulfatul de aluminiu, în domeniul concentrațiilor 0,1 mval/dm³ - 0,5 mval/dm³, în funcție de timp (figurile 4 și 5).

Tabelul 2

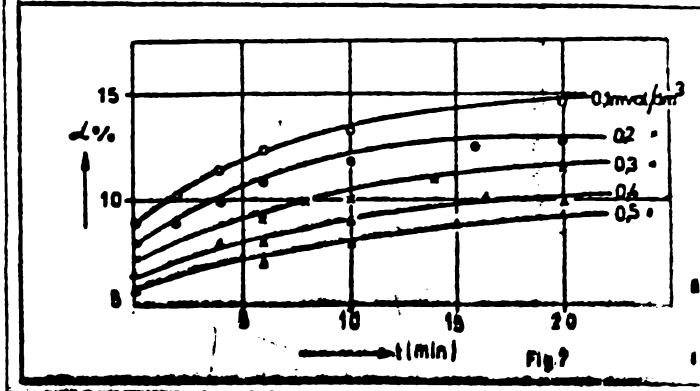
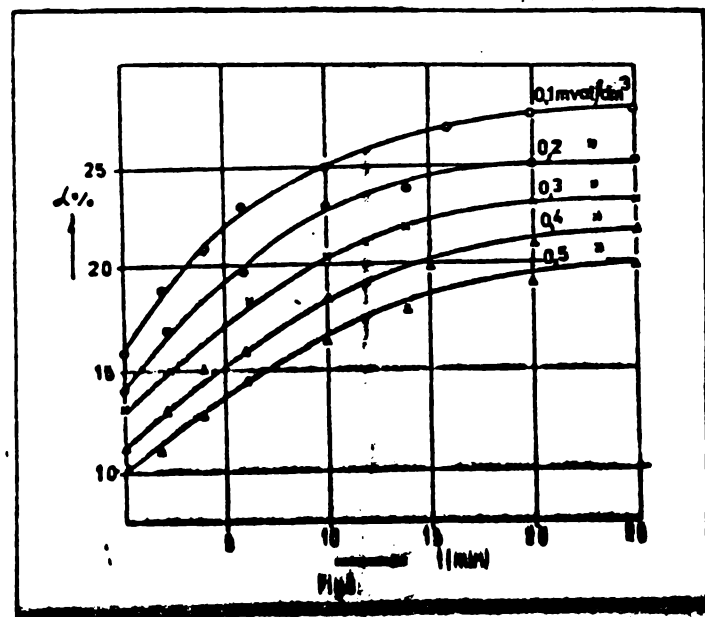
Temp.	amestec.	Concentrația				
		0,1 mval/dm ³	0,2 mval/dm ³	0,3 mval/dm ³	0,4 mval/dm ³	0,5 mval/dm ³
30°	$\text{FeCl}_3 + \text{Al}_2(\text{SO}_4)_3$	4,84	4,79	4,70	4,66	4,63
20°	$\text{FeCl}_3 + \text{Al}_2(\text{SO}_4)_3$	4,70	4,58	4,52	4,44	4,40
20°	$\text{FeSO}_4 + \text{Al}_2(\text{SO}_4)_3$	4,72	4,61	4,52	4,46	4,40
20°	$\text{FeCl}_3 + \text{FeSO}_4$	4,68	4,60	4,51	4,45	4,39



Astfel pentru concentrația de 0,1 mval/dm³, în soluțiile de mai sus, după aproximativ 20 minute se obțin următoarele valori pentru gradul de hidroliză: $\alpha_{\text{FeCl}_3} = 95\%$; $\alpha_{\text{Al}_2(\text{SO}_4)_3} = 90\%$.

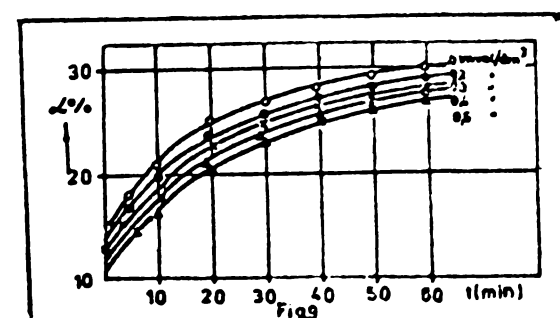
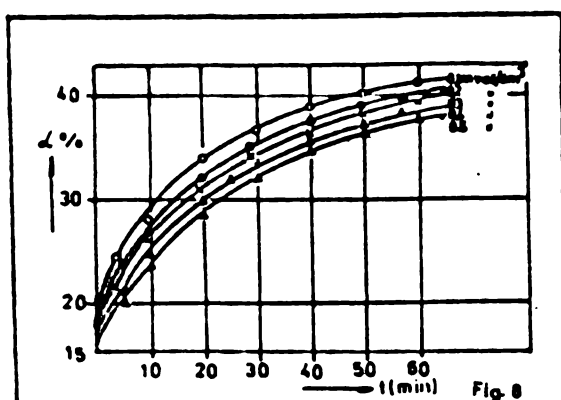
După cum se vede, concentrația soluțiilor influențează în acest caz mai puțin gradul de hidroliză. Astfel, o variație a concentrației de 0,4 mval/dm³ determină o variație a gradului de hidroliză, $\Delta\alpha_{\text{FeCl}_3} = 2,5\%$, respectiv $\Delta\alpha_{\text{Al}_2(\text{SO}_4)_3} = 3,5\%$.

Pentru urmărirea influenței temperaturii asupra reacției de hidroliză, s-au efectuat, în continuare, încercări în același condiții, dar la +3°C. Calculând gradul de hidroliză pentru clorura ferică și sulfatul de aluminiu în apă bidistilată la +3°C și după 20 minute, se obțin, pentru concentrația de 0,1 mval/dm³, următoarele valori: $\alpha_{\text{FeCl}_3} = 25,5\%$ și $\alpha_{\text{Al}_2(\text{SO}_4)_3} = 15\%$ (figura 6 și 7).



Variatia gradului de hidroliză cu concentrație, în valoarea cea mai mare tot, pentru clorura ferică, $\Delta\alpha_{FeCl_3} = 9\%$; $\Delta\alpha_{Al_2(SO_4)_3} = 5,5\%$.

Influența pH-ului asupra gradului de hidroliză a fost pusă în evidență lucrind în medii diferite, așa cum s-a arătat. Astfel, pentru soluția de clorură ferică $0,1 \text{ mval/dm}^3$, utilizând în loc de apă bidistilată soluție de bicarbonat de sodiu ($\text{pH} = 3,5$), se constată o creștere a lui α de 10% pentru temperatura de 20°C și respectiv 10% pentru 3°C . Creșterea este mai accentuată în cazul sulfatului de aluminiu și anume cu 43% la 20°C și concentrația de $0,1 \text{ mval/dm}^3$, respectiv cu 18% la 3°C (figurile 8 și 9).



Din cele arătate se constată că atât ridicarea temperaturii cît și a pH-ului determină o creștere a gradului de hidroliză. Astfel, o variație a temperaturii $\Delta t = +17^\circ\text{C}$, la aceeași concentrație ($0,1 \text{ mval/dm}^3$), conduce la o creștere a gradului de hidroliză

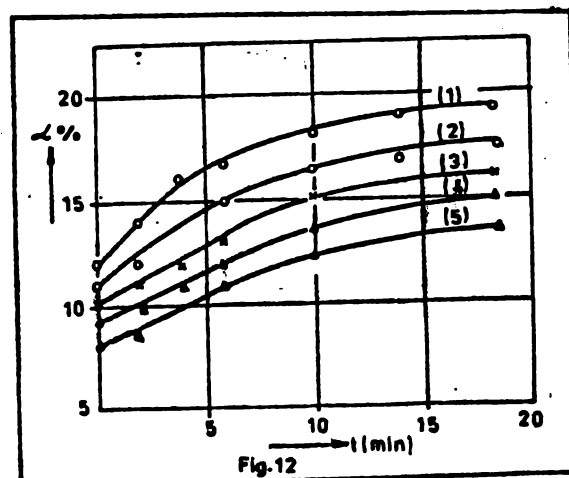


Fig.12

Gradul de hidroliză pentru amestecuri echinormale de clorură ferică și sulfat de aluminiu ($0,1 \dots 0,5 \text{ mval/dm}^3$ în apă-bidistilată, la 3°C), funcție de timp.

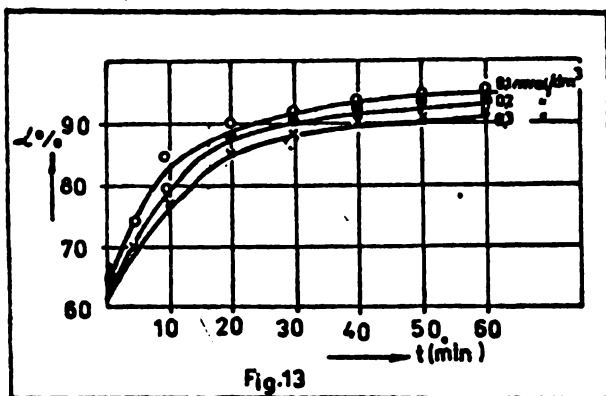


Fig.13

Gradul de hidroliză pentru amestecuri echinormale de clorură ferică și sulfat de aluminiu ($0,1 \dots 0,5 \text{ mval/dm}^3$ în soluție de bicarbonat de sodiu, la 20°C , în funcție de timp).

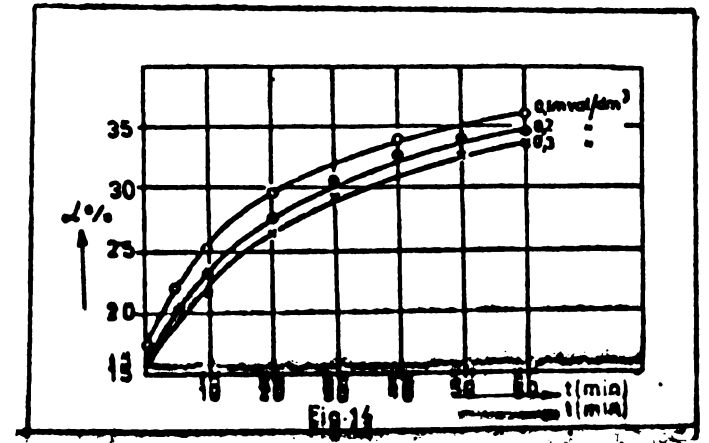


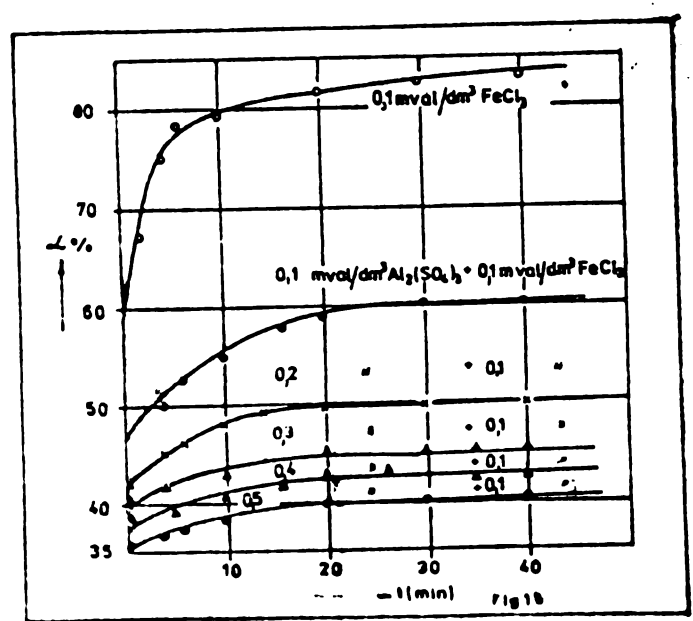
Fig.14

Gradul de hidroliză pentru amestecuri echinormale de clorură ferică și sulfat de aluminiu ($0,1 \dots 0,5 \text{ mval/dm}^3$ în soluție de bicarbonat de sodiu, la 3°C , în funcție de timp):

In cazul amestecului echinormal de clorură ferică și sulfat de aluminiu, în apă bidistilată și la temperatura de $+20^{\circ}\text{C}$, pentru concentrația amestecului egală cu $0,1 \text{ mval/dm}^3$, se constată că are loc o creștere a gradului de hidroliză, față de cel al sulfatului de aluminiu cu 22%, dar o scădere față de cel al clorurii ferice cu 19,3 (figura 10).

Valoarea scăderii a gradului de hidroliză determinată practic, a legăturii dintre cele două reacții hidrolitice și hidrolyza cumulativ și unul de sinergism. Aceeași variație a gradului de hidroliză, între valorile corespunzătoare celor doi compozanți, dar mai mare decât media calculată, se observă și în cazul în care se variază temperatura, respectiv mediul de reacție (figurile 11-14).

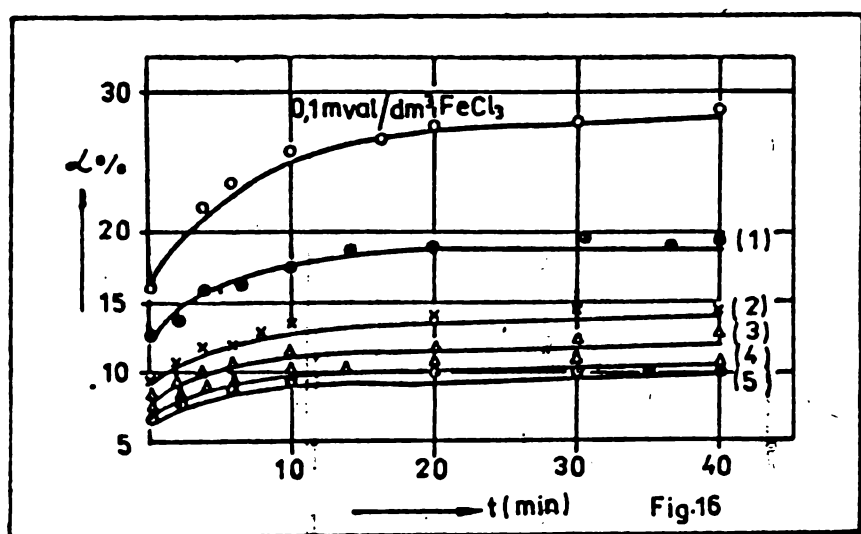
Au fost verificate de asemenea și amestecurile în care concentrația unui coagulant a fost menținută constantă, $0,1 \text{ mval/dm}^3$, iar a celuilalt coagulant din amestec a fost variată de la $0,1 \text{ mval/dm}^3$ la $0,5 \text{ mval/dm}^3$, urmărindu-se gradul de hidroliză la două temperaturi, $+20^{\circ}\text{C}$ și $+3^{\circ}\text{C}$, și în două medii de reacție, apă bidistilată și soluție de bicarbonat de sodiu în exces (figurile 15-18).



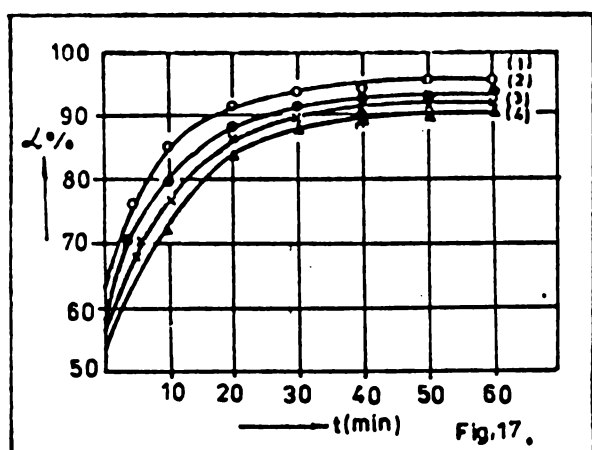
Pentru soluția cu concentrația de $0,6 \text{ mval/dm}^3$ coagulantă (figura 15),

această scădere a gradului de hidroliză este valabilă și pentru celelalte condiții, temperatură și mediu de reacție (figura 16, 17 și 18).

Pentru soluții de sulfat de aluminiu, cu concentrația variind de la $0,1 \text{ mval/dm}^3$ la $0,5 \text{ mval/dm}^3$, în soluție de clorură ferică cu concentrația de $0,1 \text{ mval/dm}^3$, la $+20^{\circ}\text{C}$, și în apă bidistilată, se constată că pe măsură ce concentrația de sulfat de aluminiu crește, gradul de hidroliză scade continuu de la 50% pentru o soluție cu concentrația de $0,2 \text{ mval/dm}^3$ de coagulanți, la aproximativ 41,7



Gradul de hidroliză pentru amestecuri de sulfat de aluminiu ($0,1 \dots 0,5 \text{ mval/dm}^3$) și $0,1 \text{ mval/dm}^3$ clorură ferică în apă bidistilată, la 3°C , în funcție de timp.



Gradul de hidroliză pentru amestecuri de sulfat de aluminiu ($0,1 \dots 0,5 \text{ mval/dm}^3$) și $0,1 \text{ mval/dm}^3$ clorură ferică în soluție de bicarbonat de sodiu, la 20°C , în funcție de timp.

In figurile 19-22 sunt redate rezultatele privitoare la hidrolyza unor amestecuri cu concentrații variabile de sulfat de aluminiu și clorură ferică.

Pentru condițiile de lucru, mediu de reacție și temperatură, se constată că variația gradului de hidroliză este similară, dar cu cea din cazurile studiate anterior și anume, pe măsură ce concentrația clorurii ferice scade în amestec și crește concentrația sulfatului de aluminiu, are loc scăderea gradului de hidroliză, dată fiind diferența dintre gradele de hidroliză ale celor doi compoziții din amestecul considerat. Această situație a gradului de hidroliză, pentru toate amestecurile de coagulanți și în toate condițiile de lucru, între valorile individuale ale componentelor se poate explica pe baza legii "migrării independente" a lui Kohlrausch.

Valorile lui ζ pentru toate amestecurile studiate, în diversele condiții menționate, sunt însă superioare celor rezultate din calcul.

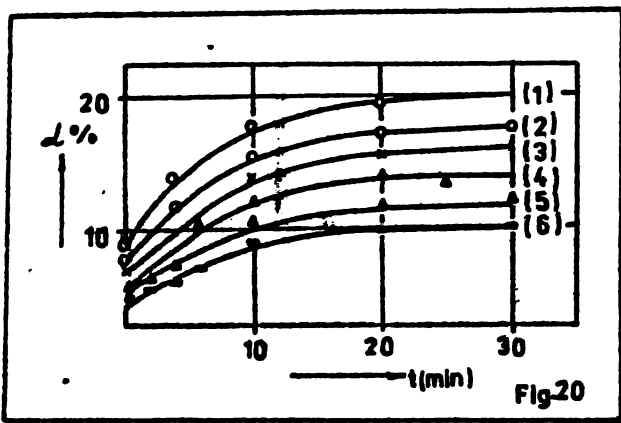


Fig. 20

Gradul de hidroliză pentru amestecuri: (1)-1 mval/dm³ clorură ferică+0,9 mval/dm³ sulfat de aluminiu; (2)-0,9 mval/dm³ clorură ferică+0,1 mval/dm³ sulfat de aluminiu; ... (6)-0,5 mval/dm³ clorură ferică+0,5 mval/dm³ sulfat de aluminiu în apă bidistilată la 30°C, în funcție de timp.

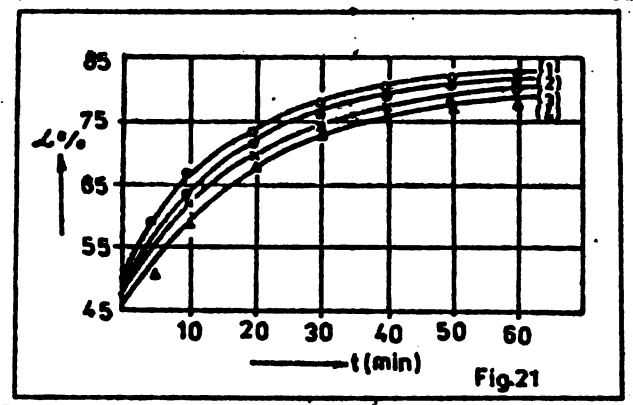


Fig. 21

Gradul de hidroliză pentru amestecuri: (1)-1 mval/dm³ clorură ferică+0,9 mval/dm³ sulfat de aluminiu; ... (6)-0,5 mval/dm³ clorură ferică+0,5 mval/dm³ sulfat de aluminiu, în soluție de bicarbonat de sodiu, la 20°C, în funcție de timp.

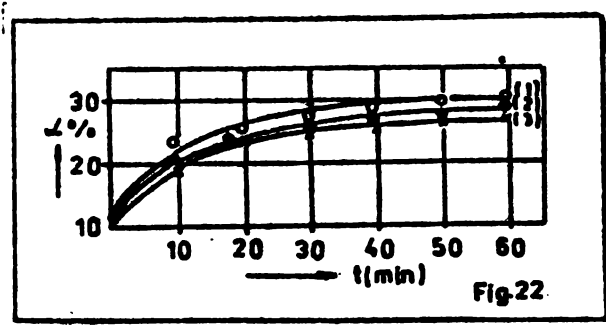


Fig. 22

Gradul de hidroliză pentru amestecuri: (1)-1 mval/dm³ clorură ferică; (2)-0,9 mval/dm³ clorură ferică+0,1 mval/dm³ sulfat de aluminiu; (3)-0,8 mval/dm³ clorură ferică+0,2 mval/dm³ sulfat de aluminiu, în soluție de bicarbonat de sodiu, la 30°C, în funcție de timp.

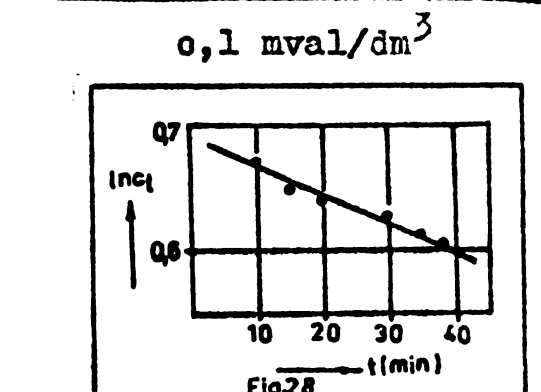
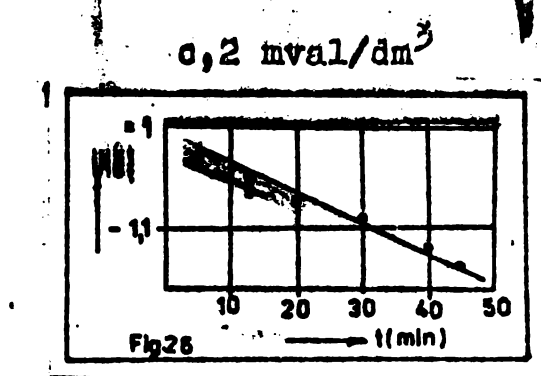
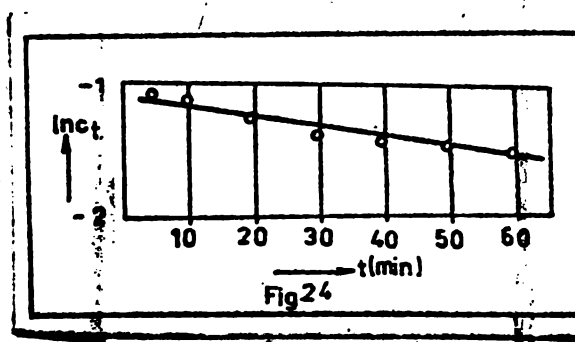
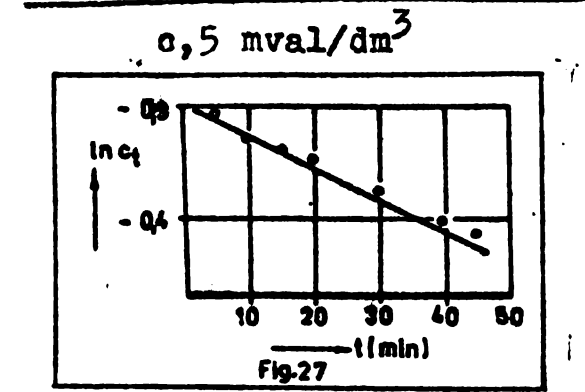
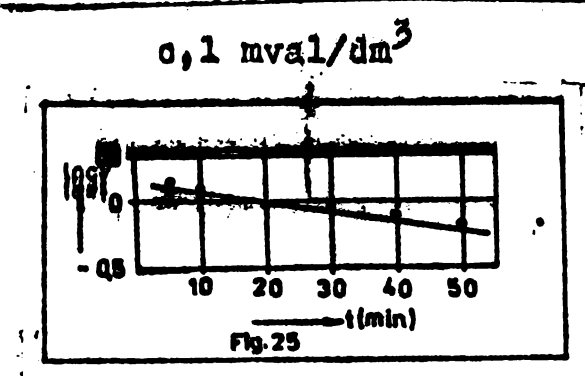
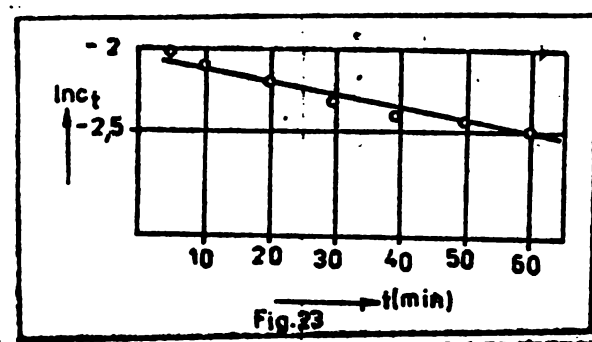
In concluzie, dintre factorii care acționează asupra gradului de hidroliză, în cazurile studiate rezultă din datele practice că influența cea mai pregnantă este exercită pH-ul mediului și temperatura. Rezultatele experimentale, referitoare la hidroliza unor amestecuri de coagulanți, au pus în evidență o creștere a gradului hidroliză în raport cu valoarea calculată pe baza datelor obținut la hidroliza componentelor, datorată probabil unui efect sinergotic.

In continuarea cercetărilor ne-am propus utilizarea acestor date în scopul obținerii constantelor cinetice ale procesului

studiat /15/.

Pentru obținerea datelor cinetice s-a recurs la utilizarea ecuațiilor integrale de viteză, în paralel cu metoda diferențială a lui van't Hoff. Utilizând ecuația de viteză $\ln c = f(t)$, corespunzătoare ordinului I, datele obținute se așează pe o dreaptă, așa cum se poate observa din figurile 23, 24, 25, care redau valori obținute pentru clorura fierică în apă distilată la 20°C .

Din pantele dreptelor obținute s-au calculat constantele de viteză ale procesului. În figurile 26, 27, 28 sunt reprezentate valurile obținute în aceleași condiții pentru sulfatul de aluminiu.



$0,2 \text{ mval/dm}^3$

$0,5 \text{ mval/dm}^3$

Pentru verificarea ordinului de reacție /16/ s-a utilizat metoda diferențială, în varianta vitezelor inițiale, obținute cu concentrații diferite, cînd ecuația generală

$$-\frac{dc}{dt} = K \cdot c^n \quad (9)$$

conduce la expresia:

$$n = \frac{\log\left(\frac{c_0}{t}\right) - \log\left(\frac{c_0}{t}\right)}{\log c_{01} - \log c_{02}} \quad (10)$$

în care n reprezintă ordinul reacției, iar c_{01} și c_{02} concentrațiile utilizate. Metoda diferențială a condus de asemenea la valori unitare ale ordinului de reacție.

În tabelul 3 sunt prezentate constantele de viteză, calculate grafic din reprezentarea valorilor funcției $\ln c = f(t)$, pentru fiecare din cele două săruri la temperaturile, respectiv mediile de reacție menționate, iar în tabelul 4, constantele de viteză, obținute în cazul amestecurilor celor două săruri.

Tabelul 3

Valorile constanțelor de viteză ale procesului de hidroliză pentru clorura ferică și sulfatul de aluminiu.

Nr. crt.	Coagulant	Temp. $^{\circ}\text{C}$	Mediu de reacție	Constanta de viteză $k_1 \cdot \text{min}^{-1}$
1.	Clorură ferică	3	apă distilată	0,04
2.	Clorură ferică	20	apă, distilată	0,35
3.	Clorură ferică	3	sol. bicarbonat de sodiu	0,115
4.	Clorură ferică	20	sol. bicarbonat de sodiu	0,56
5.	Sulfat de aluminiu	3	apă distilată	0,022
6.	Sulfat de aluminiu	20	apă, distilată	0,13
7.	Sulfat de aluminiu	3	sol. bicarbonat de sodiu	0,095
8.	Sulfat de aluminiu	20	sol. bicarbonat de sodiu	0,407

Din examinarea datelor prezentate în tabelul 3 se observă influența mai pronunțată a temperaturii asupra constantei de viteză a hidrolizei FeCl_3 (constantă de viteză crește de la 0,04 la 0,35 pentru 17°C), în comparație cu hidroliza sulfatului de aluminiu (k crește de la 0,025 la 0,13 pentru același interval de temperatură).

Prezența bicarbonatului de sodiu determină cum era de așteptat de altfel – creșteri însemnate ale vitezei de reacție, influența acestuia manifestându-se atât prin creșterea pH-ului mediului de reacție cât și prin modificarea activității ionilor implicați în procesul hidrolizei.

Tabelul 4

Valoările constantelor de viteză ale procesului de hidroliză pentru amestecuri de coagulanți

Nr. crt.	Coagulant	Temp. °C	Mediu de reacție	Constanta de viteză $k_1 \cdot \text{min}^{-1}$
1.	Amestec echinormal de clorură ferică și sulfat de aluminiu	3	apă distilată	0,0365
2.	Amestec echinormal de clorură ferică și sulfat de aluminiu	20	apă distilată	0,25
3.	Amestec echinormal de clorură ferică și sulfat de aluminiu	3	sol.bicarbonat de sodiu	0,107
4.	Amestec echinormal de clorură ferică și sulfat de aluminiu	20	sol.bicarbonat de sodiu	0,482

In privința constantelor de viteză, referitoare la hidroliza amestecurilor echinormale ale celor două săruri, se poate observa că acestea reprezintă practic valoările medii aritmetice, obținute pentru cele două săruri separate.

Cu ajutorul constantelor de viteză, prezentate în tabelul 3 și a ecuației lui Arrhenius, transcrisă pentru două temperaturi:

$$\ln \frac{k_2}{k_1} = \frac{E}{R} \cdot \frac{T_2 - T_1}{T_2 \cdot T_1} \quad (11)$$

s-au calculat energiile de activare ale proceselor de hidroliză, pentru cele două combinații, în cele două medii de reacție. Valoările obținute sunt prezentate în tabelul 5.

Tabelul 5

Valoările parametrilor de activare

Nr. crt.	Mediu de reacție	E KJ/mol	A sec^{-1}	S ₂₉₃ J/mol K
1.	Clorură ferică	85,32	$9,47 \cdot 10^{12}$	2,81
2.	Clorură ferică	62,88	$1,51 \cdot 10^9$	-69,02
3.	solutie bicarbonat de sodiu	70,00	$6,50 \cdot 10^9$	-56,88
4.	solutie de bicarbonat de sodiu	57,34	$1,13 \cdot 10^8$	-90,58

Cu ajutorul energiilor de activare și constantelor de viteză (la 293°K) s-au calculat factorii preexponențiali A, ai ecuației lui Arrhenius, ale căror valori au permis în continuare calculul entropiilor de activare ΔS_{293}^x . Pentru calculul factorului preexponențial A, s-a logaritmat ecuația Arrhenius, obținind:

$$\ln A = \ln k_T + \frac{E}{R \cdot T} \quad (12)$$

unde k_T este constanta de viteză la temperatura T, se exprimă în sec^{-1} .

In vederea obținerii entropiei de activare ΔS^x s-a utilizat relația dintre acest parametru și factorul preexponențial A, relație dedusă din teoria vitezelor absolute de reacție:

$$A = \frac{k_B \cdot T}{h} \cdot e^{-\frac{S^x}{R}} \quad (13)$$

care prin logaritmare conduce la:

$$\Delta S_T^x = R(\ln A - \ln \frac{k_B \cdot T}{h}) \quad (14)$$

In cele două ecuații k_B și h reprezintă constanta lui Boltzmann, respectiv constanta lui Planck. Valorile obținute pentru cei doi parametrii de activare, A și ΔS_{293}^x , sunt prezentate în tabelul 5.

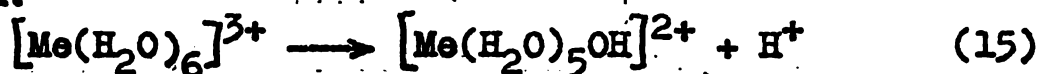
Analizând valorile energiei de activare se observă că valoarea maximă corespunde hidrolizei clorurii ferice în soluție apăsă, marcată de altfel de coeficientul de temperatură maxim al constantei de viteză pentru hidroliza acesteia. Însemnate scăderi de energie de activare se observă la trecerea de la soluția apăsă la cea cu bicarbonat de sodiu, de unde reiese că prezența acestei sări în mediul de reacție respectiv, ridicarea pH-ului soluției, are ca efect reducerea valorii barierei energetice, care stă în calea formării complexului activat.

Trebuie remarcat faptul că deși energia de activare scade mult, în cazul sulfatului de aluminiu față de clorura ferică, mai ales la soluțiile ce conțin bicarbonat de sodiu, totuși viteză de reacție crește relativ puțin ca urmare a scăderii în același sens și a factorului preexponențial A, ale cărui valori tamponeză creșterea vitezei de reacție. Se observă astfel că în cazul soluțiilor

apoase de clorură ferică se obține pentru A o valoare egală cu $9,47 \cdot 10^{12}$, față de $6,50 \cdot 10^9$ pentru sulfat de aluminiu.

Concomitent cu variațiile arătate ale factorului preexponentional se modifică și valorile entropiei de activare. Astfel, de la valoarea mică pozitivă pentru clorura ferică se ajunge în cazul sulfatului de aluminiu, în soluție de bicarbonat de sodiu, la valori negative însemnate. În orice caz toate valorile obținute pentru ΔS° sunt în concordanță cu ordinul I al reacției, respectiv caracteristice mecanismelor monomoleculare. Diferența de valoare pentru ΔS° denotă însă că la sulfatul de aluminiu și la reacția în prezență de bicarbonat de sodiu complexul activat se caracterizează printr-o configurație mai ordinată, cu pierderea mai multor grade de libertate de mișcare – în special de vibrație.

Mecanismul monomolecular al hidrolizei presupune eliberarea protonilor din complexul hexaaquametalic, a cărui formare are loc concomitent cu dizolvarea sării în apă. Schematic, hidroliza urmează procesul:



în care Me corespunde cationului Fe^{3+} sau Al^{3+} .

Trebuie menționat că procesul de hidroliză nu se oprește la etapa de mai sus, ci poate continua, în funcție de condiții – temperatură, mediu – cu eliminarea de protoni de la moleculele de apă rămase în complex. Această posibilitate de continuare a procesului de hidroliză a produșilor hidrolizați primar trebuie implicit să ducă și la complicarea cineticii de reacție, care din ireversibilă trece în consecutivă, și acest fenomen s-a pus în evidență în prezenterile $\ln \alpha = f(t)$, unde la grade avansate de hidroliză punctele experimentale nu se mai plasează pe dreapta respectivă.

În concluzie, din datele obținute asupra variației în timp a gradului de hidroliză s-au calculat parametrii cinetici ai hidrolizei celor două săruri, clorură ferică și sulfat de aluminiu, în soluții apoase și soluții cu bicarbonat de sodiu. Datele obținute arată că procesul se supune unui ordin unitar de reacție, deci hidroliza are loc după un mecanism monomolecular. În sprijinul mecanismului monomolecular vin și datele entropiei de activare, ale cărei valori sunt fie negative, dar mici în valoare absolută, fie chiar pozitive în cazul clorurii ferice. /17/.

BIBLIOGRAFIE

- /1/. Cocheci V., Contribuții la studiul procesului de coagulare cu aplicație la epurarea apelor reziduale industriale, Teză de doctorat, I.P."Traian Vuia", Timișoara, 1971
- /2/. Stumm W., Metal Ions in Aqueous S.D. Faust, I.V. Hunter "Principii și aplicații în chimia apelor", 1967, pg. 520-534
- /3/. Stumm W., Morgan J., Aquatic Chemistry, SUA, Wiley-Interscience, 1970, p. 242-256
- /4/. Gimblet F. G.R., Inorg. Polymer Chemistry, London, Butterworths, 1963
- /5/. Brosset C., Biedermann G., Sillen L.C. Acta Chem. Scand. 8, 1954, p. 1917.
- /6/. Matjević E., Tezak D., J. Phys. Chem. 57, 1953, p. 951, 65, 1961, p. 826
- /7/. Stumm W., Morgan J., Chemical Aspects of coagulation JAWWA, august 1962, p. 971-987
- /8/. Hem D.J., Robertson E.C., CA 67, 1967, 11878
- /9/. Brönsted N.J., Volquartz K., J. Phys. Chem. 1928, p. 97, 134
- /10/. Zacek K., Veröffentlichungen der Abteilung und des Lehrstuhls für Wasserchemie, Karlsruhe, Heft 3, 1967, p. 61
- /11/. Liberti A., Chiantella V., Corighiano F., J. Inorg. Nucl. Chem. 25, 1963, p. 415
- /12/. Jósefowics E., Masłowska I., Olzak D., Chem. Anal., 12(5), 1967, p. 1047
- /13/. Savelev N.Y.S., Krijlev D.L., Mokrusin G.S., Chem. Abstr. 68, 1968, p. 99128
- /14/. Martin A., Cocheci V., Bogatu C., Buletin IPT, fasc. 1, 1981
- /15/. Martin A., Cocheci V., Bogatu C., Buletin IPT, fasc. 2, 1981
- /16/. Tribunescu P., Curs de Chimie fizică, vol. II, p. 443, 1967
- /17/. Martin A., Cocheci V., Bogatu C., Ceretări asupra hidrolizei unor coagulanți anorganici complecsi, Al II -lea Congres Național de Chimie, București, sept. 1981 comunicare.

6. COAGULAREA PE FILTRE

6.1. Privire comparativă între cinetica depunerii particulelor prin coagulare și prin filtrare

Cinetica oliminării particulelor în suspensie prin coagulare este analoagă cu cea prin filtrare în filtre cu nisip, ambele procese putând fi considerate ca rezultat a două etape distințe /1/:

a. transportul care aduce particulele destabilizate în contact, sau în contact cu granulele de nisip ale stratului filtrant;

b. depunerea care duce la aglomerarea particulelor sau la aderarea particulelor la suprafața granulelor filtrului.

In ambele procese, particulele în suspensie pot fi îndepărtați, numai atunci cind prin destabilizare ele devin capabile de coagulare, respectiv de depunere. Rezultatele studiilor întreprinse în domeniul destabilizării sistemelor coloidale pot fi aplicate, principal și în procesul de filtrare prin filtre cu nisip /2,3/.

Având în vedere că atât în procesul de coagulare, cât și în cel de filtrare nu impune transportul particulelor contra realizării contactelor, se pot compara ecuațiile cinetice elementare, care descriu vitezele celor două procese.

$$\text{coagulare: } - \frac{dn}{dt} = (4\pi^{-1})\alpha \cdot G \cdot n \quad (1)^*$$

$$\text{filtrare: } - \frac{dn}{dt} = (3/2) \frac{(1-f)}{d} \alpha \cdot \gamma \cdot n \quad (2)$$

unde: n = concentrația particulelor (număr/cm³)

α = factor de eficacitate al ciocnirilor care reflectă chimismul procesului

G = volumul suspensiilor raportat la unitate de volum

γ = gradient mediu de viteză (timp⁻¹), care indică viteza la care are loc contactul între particule prin transport de masă

t = timpul

$(1-f)$ = volumul masei filtrante pe unitate de volum a filtrului, unde f este porozitatea

* Viteza de coliziunea particele cu $d < 1 \mu$ fiind influențată de mișcarea browniană este dată de relația (3):

$$- dn/dt = (4\pi \bar{K}T/3\mu) n^2 \quad (3)$$

unde: μ = viscozitatea; T = temperatura absolută; K = constanta lui Boltzmann

γ = factorul frecvenței de contact, care reflectă viteza la care are loc contactul particulelor suspendate cu stratul filtrant.

L = grosimea stratului filtrant

d = diametrul grăunților stratului filtrant

Frecvența de coliziune α a coagulării se poate compara cu factorul frecvenței de contact γ în cazul filtrării.

Pentru un singur grăuntă filtrant (colector unic), γ se definește astfel:/4/

$$\gamma = \frac{a}{b}$$

unde: a = frecvența coliziunilor între particulele în suspensie și colector

b = frecvența coliziunilor geometrice posibile între particulele în suspensie și colector.

Eficiența aglomerării particulelor în procesul de coagulare și de eliminare a particulelor prin filtrare (obținută prin integrarea ecuațiilor 1 și 2) depinde de un produs adimensional al parametrilor prezenti în tabelul (1), care au semnificație comparabilă.

Tabelul 1

	α	θ	G	t
Coagulare	Eficiența coliziunilor	Concentrația volumetrică a particulelor în suspensie	gradient de viteză	temp
Filtrare	α	$1 - f$	γ	$\frac{L}{d}$
		Concentrația volumetrică a granulelor mediului filtrant	Factor de numărul frecvență colectoarelor	retentie/colocni
				adâncimea filtrantei/ diametrul granulei
			Posibilități de coliziune	
Parametrii de Reactivi	Adjuvanți de coagulare/diametrul granulelor, recircularea nămolului	Aport de energie	temp de retenție/ adâncimea coloniei filtrante/ diametrul granulei	
funcționare și de proiec-				
tare				

In faza de transport posibilitatea de contact intre particule, respectiv intre particule si grăunții stratului filtrant depinde fie de produsul Gt fie de produsul $\gamma \left(\frac{L}{d} \right)$.

După O'Melia pentru evaluarea eficienței decantărilor suspensionale poate fi folosită oricare din cele două relații, transportul fiind necesar, atât pentru deplasarea particulelor una față de cealaltă, cît și la suprafața grăunților filtranți, sau la suprafața particulelor depuse anterior.

In figura 1 /5/, se ilustrează influența celor mai importante parametri asupra procesului de coagulare, atât în sistemele naturale cît și în cele de tratare și epurare a apelor. Se evidențiază astfel că atât coagularea cît și filtrarea sunt procese naturale importante.

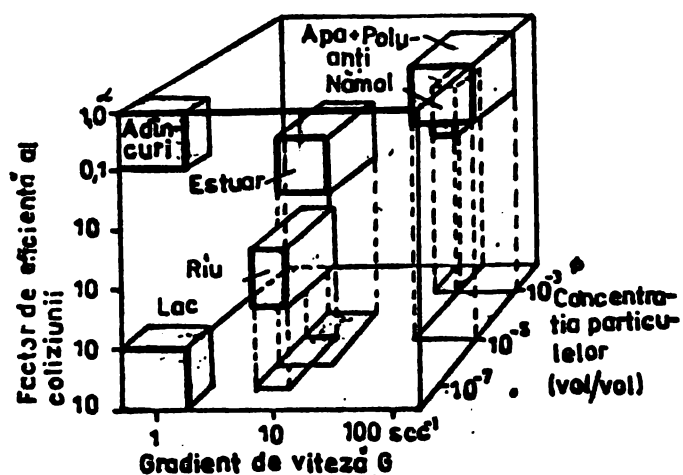


Fig.1

urmare a fluxului și refluxului. Aici are loc sedimentarea componentelor coloidali de eroziune ai fluviilor.

Dacă se compară procesele de filtrare naturală, de exemplu filtrarea prin sol, cu procesele tehnologice de filtrare lentă sau rapidă (figura 2), se constată că cu toate că vitezele de filtrare sunt diferite se obține o eficacitate asemănătoare (produsul $\alpha \gamma L/d$ este constant). În procesele tehnologice frecvența contactelor este sensibil mai mică (γL au valori mici iar α valori mari), dar vîțea de filtrare este mult mai mare, dacă la sistemele naturale (la care L și γ sunt mari iar α este mic).

Pentru a obține totuși o eficacitate mare de eliminare a particulelor, într-un filtru rapid, trebuie compensate posibilitățile mici de contact existente printr-o mărire a eficienței capa-

In apele naturale, datorită timpului îndelungat de retenție sunt asigurate posibilități de contact suficiente cu toate că frecvența ciclurilor este unică.

Delta fluviilor de exemplu poate fi considerată ca un bazin natural de coagulare cu o eficiență sparită, datorită faptului că α este mai mare din cauza salinității ridicate iar G este mare ca

cității de aderență (mărimea lui α prin adăugare de reactivi adecuați de destabilizare) așa cum rezultă din tabelul 1.

Legile cinetice ale proceselor menționate permit, în concluzie, stabilirea procesului tehnologic optim de eliminare a particulelor în suspensie.

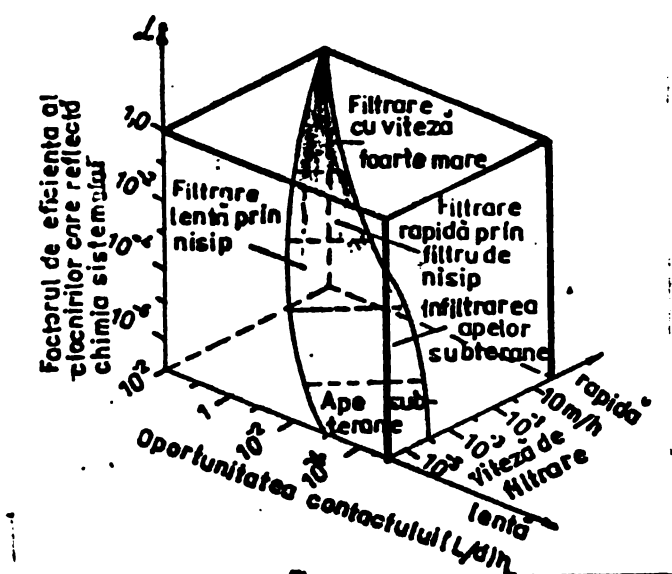


Fig.2

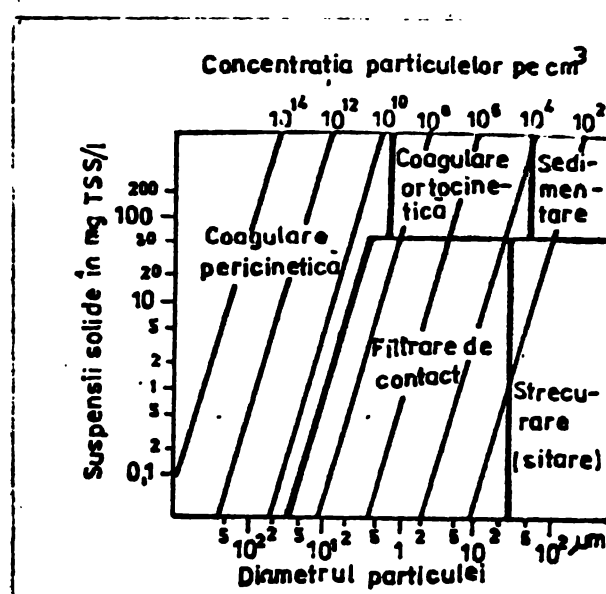


Fig.3

Pentru eliminarea fosfaților de exemplu /4/, din figura(3) rezultă că procesul corespunzător depinde de concentrația fazei solide în suspensie, precum și de diametrul particulelor. Limitele aplicării diferitelor procese apar astfel net: particulele cu diametre mari ($d > 30-50 \text{ } \mu\text{m}^{-6}$) se îndepărtează ușor, prin sedimentare conform legii lui Stokes, la concentrații mici aceste particule se pot însă elimina și prin micrositare.

Coagularea urmată de filtrare se poate aplica doar atunci cînd concentrația particulelor este suficient de mare, pentru a permite frecvențe de contact destul de mari.

Concentrația fazei solide în suspensie, precum și numărul de particule în apele de suprafață, este de cele mai multe ori mică. În aceste condiții separarea cea mai eficientă se poate face, fie prin coagulare urmată de filtrare, fie prin coagulare direct pe filtru. În acest din urmă caz destabilizarea particulelor în suspensie se realizează prin adăugare de săruri de fier, de aluminiu, polielectroliți, procesul fiind cunoscut sub denumirea de filtrare de contact.

6.2. Cercetări privind influența mărimiilor particulelor în suspensie asupra procesului de limpezire prin filtre rapide cu nisip

In filtrele rapide de nisip sunt reținute în mare parte suspensii gravitaționale și coloidale, materii organice și minrale, microorganisme și bacterii.

Așa cum s-a mai spus, separarea prin filtrare rapidă cu nisip se face sub efectul combinației mecanismelor de transport și de reținere (atragere-fixare)/8/.

Mecanismul de transport este un proces fizic, hidraulic, atribuit, în funcție de natura și diametrul particulelor în suspensie, efectului difuziei, stării inițiale a particulelor, interceptări și sedimentării /8,9/.

Mecanismul de reținere (atrageră) este un proces fizico-chimic atribuit interacțiunii dintre forțele moleculare van der Waals și forțele electrostatice. Acest mecanism este influențat de natura și mărimea particulelor în suspensie, de consistența și caracteristicile floccanelor, de pH-ul și temperatura apei, de dozile și natura reactivilor utilizate etc.

Efectul acestor mecanisme asupra procesului de limpezire este influențat, atât de mărimea vitezei de filtrare, cât și de caracteristicile mediului filtrant (grosimea și porozitatea stratului, mărimea, forma și natura mineralologică a granulelor)/8/.

Limpezirea prin filtrele rapide de nisip fiind un proces foarte complex, în cadrul cercetărilor întreprinse, s-a urmărit modul în care sunt reținute, în mediile filtrante, suspensiile de diferite dimensiuni, cu și fără adăsuri de reactivi chimici.

Gradientul reținerii, într-un mediu filtrant omogen de grosime X, după Iwasaki /4/ se exprimă printr-o ecuație cinetică de forma:

$$\frac{\partial C}{\partial X} = -\lambda \cdot C \quad (4)$$

în care: C = concentrația particulelor în suspensie, exprimată ca masa sau număr de particule, pe unitatea de volum de apă;

X = grosimea stratului filtrant

λ = coeficientul de rezistență al filtrării sau parametrul filtrării

După concepția differitelor autori /8,9,10/, parametrul filtrării (λ) se poate exprima în funcție de depozitul specific, durată filtrării t și parametrul initial λ_0 , sub formă:

$$\lambda = \lambda_0 (\sigma) \quad (5)$$

$$\lambda = \lambda_0(t) \quad (6)$$

Parametrul inițial al filtrării λ_0 , fiind dependent de concentrația inițială a apei de limpezit C_0 , de viteza de filtrare v_f , de diametrul d și forma ψ a particulelor în suspensie, de diametrul d_p și densitatea ρ a particulelor în suspensie, de temperatură apei T și de alți factori de natură chimică, electrochimică și biologică, se poate exprima sub forma:

$$\lambda_0 = f(C_0, v_f, d, d_p, \psi T, \rho \dots) \quad (7)$$

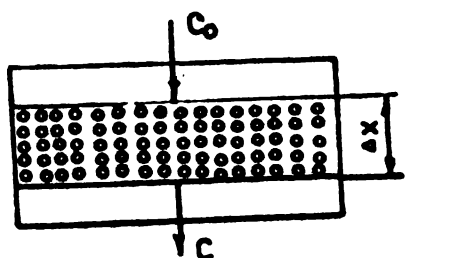
La începutul procesului de filtrare ($t=0$) cînd filtrul este curat ($\lambda = \lambda_0$), după integrarea și logaritmarea ecuației (4) se obține:

$$\ln \frac{C}{C_0} = -\lambda_0 \cdot x \quad (8)$$

Parametrul inițial al filtrării după Gimbel /11/, se poate interpreta ca fiind o măsură a probabilității de reținere a unor particule în interiorul unității elementare a coloanei filtrante.

Evidențierea acestui aspect se face considerînd (figura 4) o secțiune discretă de filtrare, cu înălțimea Δx avînd proprietatea de a forma etalonul cel mai mic de reprezentare al coloanii filtrante.

Raportul dintre masa particulelor reținute și a celor intrate în elementul de filtrare de înălțime Δx , definește gradul elementar de separare δ_0 .



$$\delta_0 = \frac{(C_0 - C)V}{C_0 V} = \frac{C_0 - C}{C_0} = 1 - \frac{C}{C_0} \quad (9)$$

Inlocuind raportul C/C_0 , dat de relația (9), în (8) rezultă:

$$\lambda_0 = -\frac{1}{\Delta x} \ln(1 - \delta_0) \quad (10)$$

Fig.4

În afară de cazul în care $\delta_0 \ll 1$ iar $\Delta x = d$ rezultă pentru λ_0 relația:

$$\lambda_0 = \frac{\delta_0}{d} \quad (11)$$

iar:

$$\delta_0 = \lambda_0 \cdot d \quad (12)$$

Considerînd structura mediului filtrant formată din n colectoare de diametru d , egal cu diametrul granulelor masei filtrante,

te, masa particulelor reținute în unitatea de timp de un colector al elementului de filtrare de secțiune F și înălțimea ΔX se poate determina cu relația:

$$M = \frac{F \cdot v_f (C_0 - C)}{n} = \frac{\pi \cdot d^3 v_f (C_0 - C)}{6 \Delta X (1 - \varepsilon)} \quad (13)$$

în care: $n = 6F\Delta X(1-\varepsilon)/\pi \cdot d^3$ este numărul colectoarelor din elementul de filtru;

ε = porozitatea mediului filtrant

Masa particulelor în suspensie intrate în unitatea de timp într-un colector al elementului de filtru se poate exprima prin relația:

$$M_0 = \frac{\pi \cdot d^2}{4} v_f \cdot C_0 \quad (14)$$

Raportul dintre masa particulelor intrate și reținute într-un colector al elementului de filtru definește gradul elementar de separare al unui colector δ_c^m , care se poate exprima prin relația:

$$\delta_c^m = \frac{M}{M_0} = \frac{2}{3} \delta_c \frac{d}{\Delta X} \frac{1}{1-\varepsilon} \quad (15)$$

În cazul în care $X = d$, rezultă:

$$\delta_c^m = \frac{3}{2}(1-\varepsilon) \delta_c = \lambda_c \cdot d \quad (16)$$

Pe baza acestor considerații, efectul mecanismelor de transport și de reținere asupra procesului de limpezire prin filtre rapide cu nisip, se poate exprima în raport cu mărimea și concentrația particulelor în suspensie, cu grosimea straturilor filtrante și cu vitezele de filtrare, cu dozele și natura reactivilor prin intermediul parametrului δ_c .

In scopul măririi gradului de încărcare a masei filtrante pe totă înălțimea, au fost realizate filtre de contact, la care ceeașa se introduce direct pe filtru, procesul de coagulare având loc în interiorul stratului filtrant. Procedoul, aplicat apelor cu un conținut de suspensii sub 200 mg/dm^3 prezintă avantajul concentrării într-o singură construcție a reacției, decantării și filtrării.

În aceste condiții, polielectroliții sintetici pot fi utilizati cu mult succes, efectul lor putind fi evidențiat prin măsurători electroforetice.

Mecanismul de acțiune a polielectroliților depinde de compozitia lor chimică și de caracterul ionic al grupelor active /12/, admitindu-se pentru cei cationici un mecanism fizic de neutralizare a sarcinilor electrice ale coloizilor.

Cercetările asupra procesului de limpezire prin filtrele rapide cu nisip, în funcție de mărimea particulelor în suspensie, cu și fără adăugul unor reactivi chimici, le-am executat cu aparatula și instalația de laborator redată în figurile 5,6 și 7, din dotarea Institutului de chimie a apei de la Universitatea Tehnică din Karlsruhe (RFG), în cadrul Programului PNUD-UNESCO în perioada iulie-august 1979 /7/.

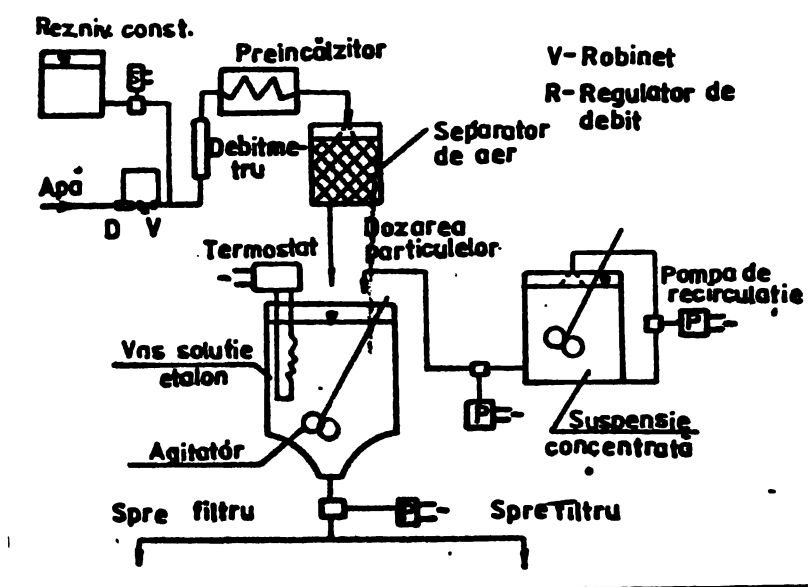


Fig.5

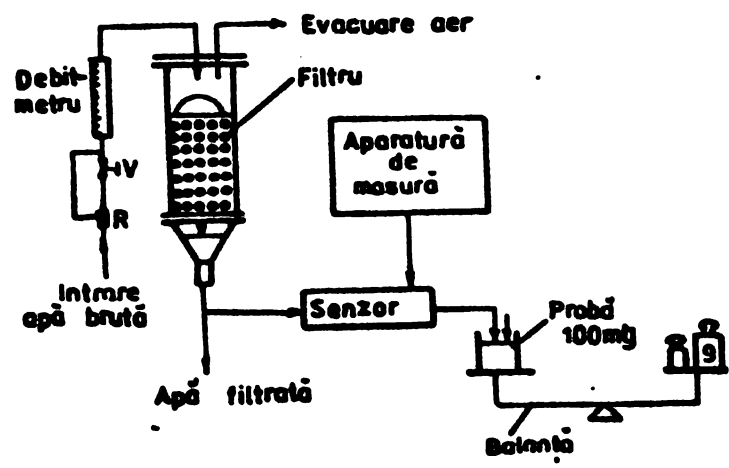


Fig.6

Încercările au fost efectuate, utilizând probe de apă din rețeaua de distribuție a crașului, preparată cu suspensii de cuart (SIKRON H 200) al căror diametru nu a depășit 40 μm . Apa astfel preparată cu o concentrație de 10 mg/dm³ s-a introdus simultan în trei filtre de diametru D=90 mm, echipate cu nisip de cuart, având diametrul granulelor de 1,5-2,0 mm. Grosimea măselor filtrante fiind de 10; 15 și 30 cm. Experiențele s-au efectuat, pentru vitezele de 5, 10 și 15 m/h. Pe parcursul desfășurării ciclurilor de filtrare s-au menținut constante: temperatură apei, concentrația inițială a apei din vînoul etalon și vitezele de filtrare.

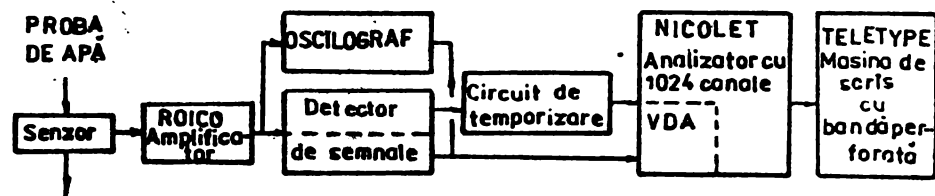


Fig.7

Turbiditatea apei brute și a celei filtrate s-a exprimat prin numărul particulelor colectate într-o probă de lăc, respectiv 200 ml.

Particulele din probele de apă, introduse în analizorul de particule de tip ROYCO-MODEL 345, alcătuit dintr-un senzor și un amplificator, au determinat formarea unor impulsuri, care s-au înregistrat la un oscilograf, după care, prin intermediul analizorului de tip NICOLET prevăzut cu 1024 canale, particulele au fost selectate pe dimensiuni și apoi însumate. Canalele caracteristice fie cărei fracțiuni de diametru s-au stabilit cu ajutorul curbei de etalonare.

Experiențele de filtrare s-au efectuat cu și fără adausuri de reactivi chimici. S-a utilizat și testat în acest scop polielectrolitul cationic MEDASOL C-24 de fabricație românească.

Doza optimă de polimer s-a determinat în laborator prin Jar-Test, parametrii de control fiind turbiditatea reziduală măsurată cu un aparat HACH 2100 A și valorile măsurătorilor electroforetice efectuate cu ajutorul unui Zetametru manual. S-a considerat valoarea optimă, cea corespunzătoare potențialului zeta egal cu zero ($\zeta = 0$). Pentru o apă cu un conținut de suspensii de 10 mg/dm^3 , la $\text{pH}=7$ și $t=20^\circ\text{C}$ doza de MEDASOL C-24 a fost de $0,9 \text{ mg/l}$, astă cum rezultă din figura 8.

Modificările de ordin calitativ de-a lungul straturilor filtrante de 10, 15 și 30 cm, sub influența vitezelor de filtrare de 5, 10 și 15 m/h, în raport cu diametrul particulelor în suspensie în cazul în care apa de limpezit preparată la concentrații de 10 mg/dm^3 și a fost tratată cu reactivi chimici, sănă redată în diagramele din figurile 9, 10, 11. Particulele cu diametrul mai mare de $10 \mu\text{m}$ sănă reținute, în cazul unei viteze de 5 m/h, în proporție 99,6 iar pe măsură ce vitezele cresc la 10 și respectiv 15 m/h, întinerea se reduce la 95% și respectiv 88%.

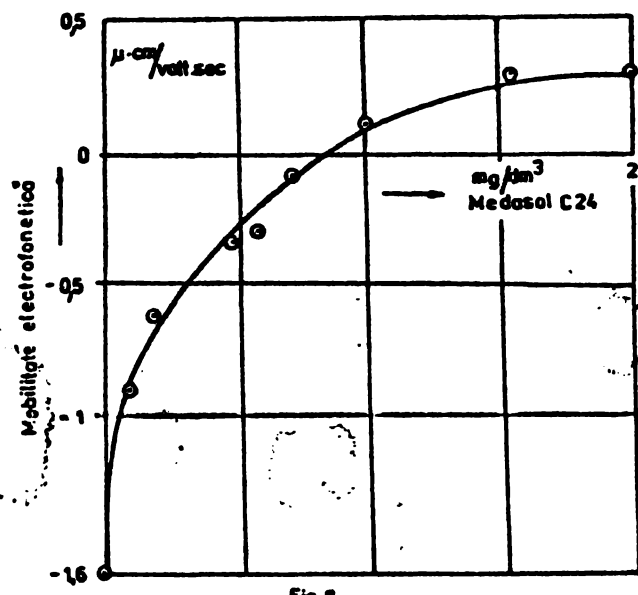


Fig. 8

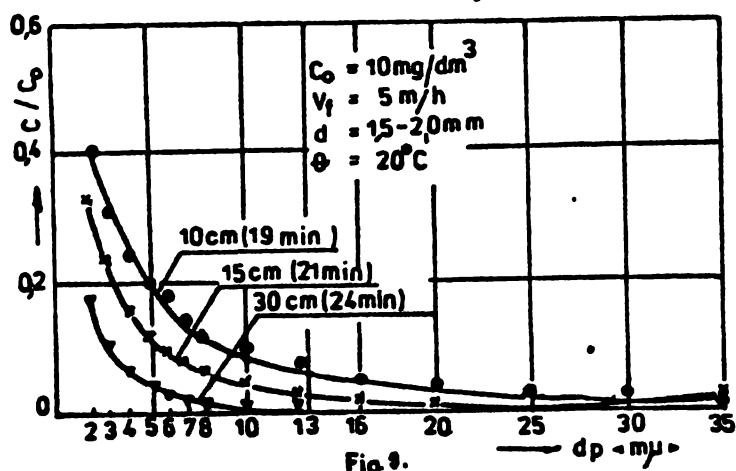


Fig. 9.

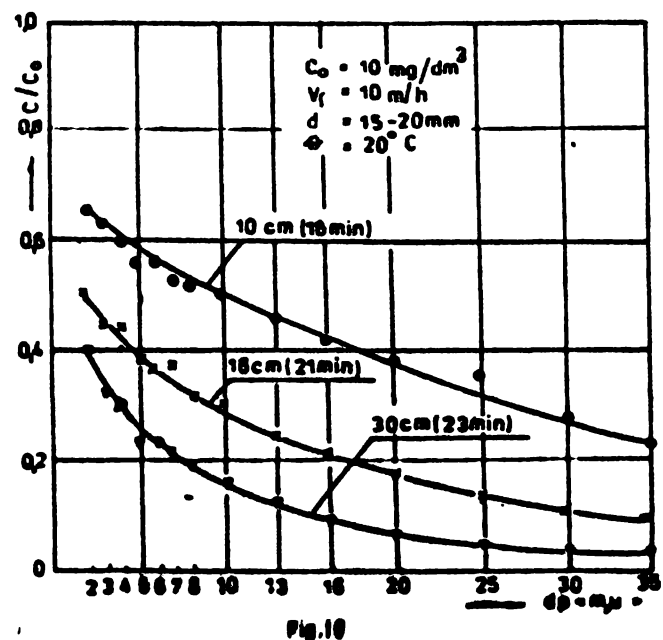


Fig. 10

Modificările calitative stabilite pentru cele trei grosimi de filtru caracteristice, în raport cu diametrul particulelor, în cazul tratării apei cu polielectrolitul românesc MEDASOL C-24, pentru vitezele de 5 și 10 m/h sunt redată în figurele 12 și 13.

In acest caz, efectul de reținere a particulelor ce depășesc $10 \mu\text{m}$ pentru stratul de 30 cm, este de peste 99,9%. Particulele foarte fine (sub $10 \mu\text{m}$) sunt reținute, în lipsa adăsului de polielectrolit, doar în proporție de 50-55%. Prin adăsul de polielectrolit, MEDASOL C-24, în doze de 10 mg/dm^3 , în cazul unor viteze de 5 și 10 m/h, procentul de reținere a acestor particule crește la 85-90%.

Toate aceste efecte, se reflectă, atât asupra parametrului filtrării λ_0 , și și asupra gradului elementar de separare γ_0 . Prelucrind datele experimentale cu și fără utilizarea polielectrolitului MEDASOL C-24, s-a obținut diagrama redată în figura 14, care exprimă dependența gradului elementar de separare în funcție de diametrul particulelor și vitezele de filtrare, cu și fără uti-

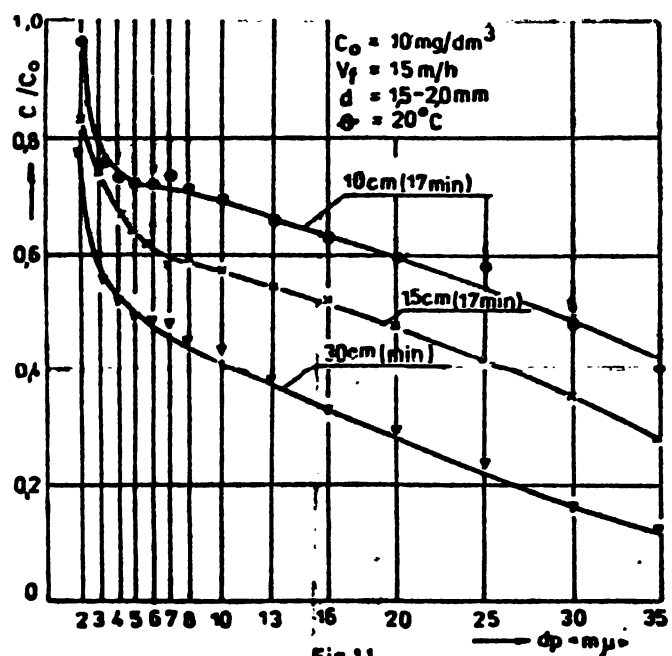


Fig.11

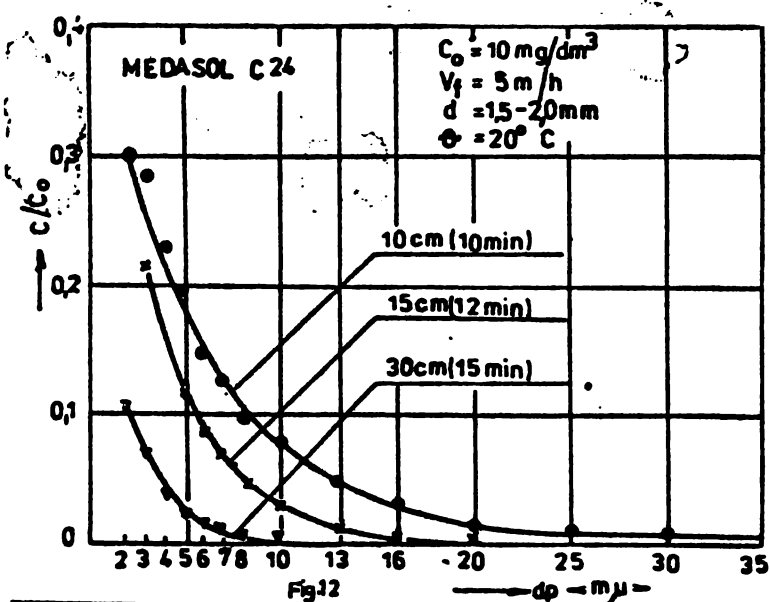


Fig.12

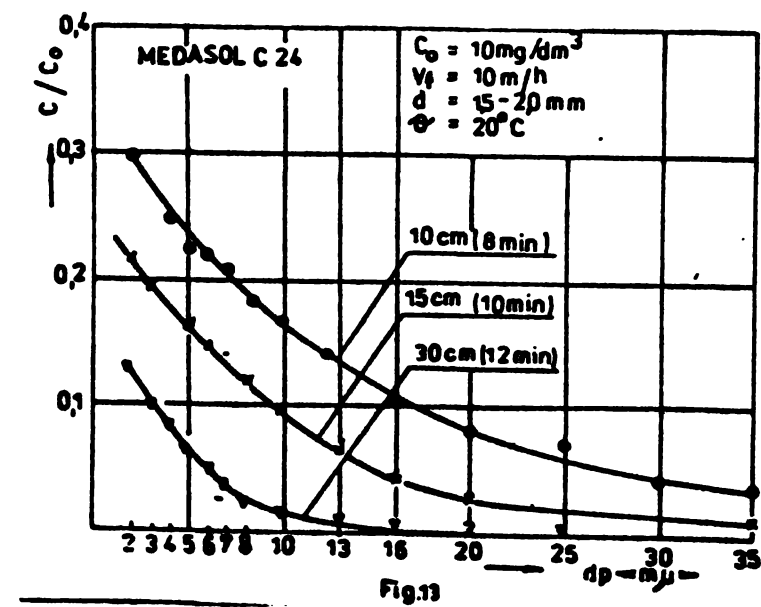


Fig.13

lizarea polielectroliului MEDASOL C-24. Reprezentările obținute scot în evidență faptul că în cele două cazuri studiate, gradul elementar de separare se desfășoară după niște drepte care, în zona particulelor de $10 \mu\text{m}$ manifestă o discontinuitate mai mare sau mai mică în funcție de mărimea vitezelor de filtrare.

Vitezele mici de filtrare determină discontinuități mai pronunțate, reflectate de altfel și prin gradul ridicat de separare nu numai a particulelor grosiere, cît și a celor fine. Vitezele de filtrare de peste $12-13 \text{ m/h}$ determină, în zona particulelor de $10 \mu\text{m}$ discontinuități inverse, aspect care se reflectă printr-o reîncrecere cîeva mai bună a particulelor grosiere, ce depășesc $10 \mu\text{m}$.

In domeniul vitezelor de $12-13 \text{ m/h}$ gradul elementar de separare, în raport cu diametrul particulelor, se dezvoltă după o dreaptă (cu pantă continuă) care delimită-

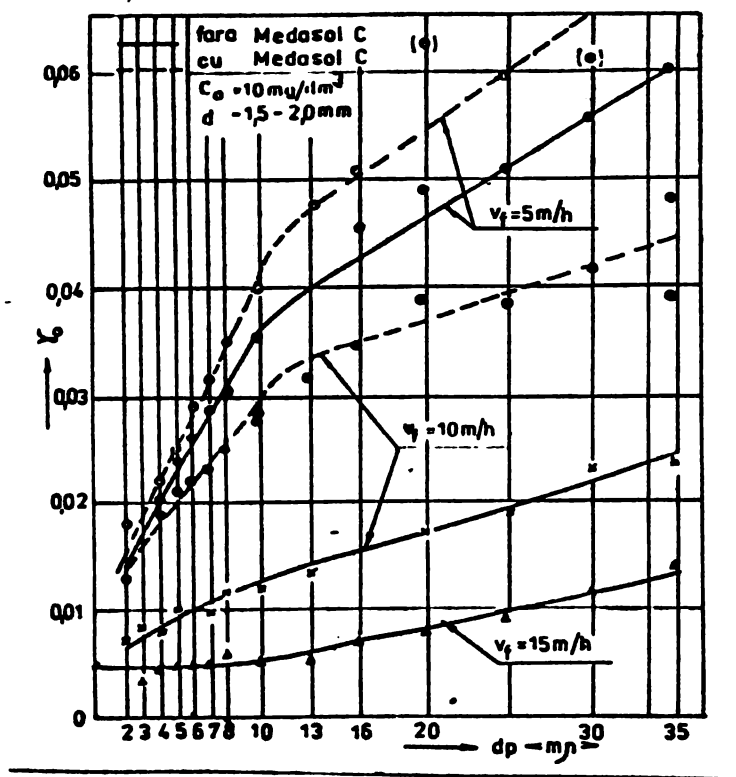


Fig.14.

azi viteza de filtrare, grosimi mai reduse ale stratului filtrant, in comparație cu cazul in care filtrarea se face fără adăosuri de reactivi de coagulare.

Utilizînd în continuare ecuația bilanțului masic:

$$\frac{\partial C}{\partial x} = - \frac{1}{V} \frac{\partial \sigma}{\partial t}$$

s-a pus în evidență depunerea specifică σ în funcție de diametrul particulelor dp , viteza de filtrare v , grosimea stratului filtrant Δx și durata filtrării t /13/.

Reprezentările sunt redate în figurile 15, 16 și 17 în absența reactivului de coagulare iar în figura 18, rezultatele obținute în prezentă de MEDASOL C-24.

Să observă că dependența este liniară în toate cazurile, astfel că pentru particulele cu $dp < 10 \mu$ această dependență este redată de ecuația generală:

$$\sigma = K \cdot dp^\alpha \cdot v^\beta \cdot x^\gamma \cdot t^\delta$$

în care: $\alpha = 5/4$

$$\beta = 1/4$$

$$\gamma = -2/3$$

$$K = 125 \text{ m}^{-3,83} \text{s}^{0,75}$$

ză domeniul filtrării rapide de cel al filtrării ultrarapide.

Rezultatele obținute scot în evidență efectul grosimii straturilor filtrante și al vitezelor de filtrare asupra modului de separare a suspensiilor în funcție de mărimea acestora.

Procesul de împrejire prin filtrele rapide cu nisip atunci cînd are loc cu ajutorul adăosurilor de reactivi chimici de coagulare, comportă, pentru aceeași eficiență și aceo-

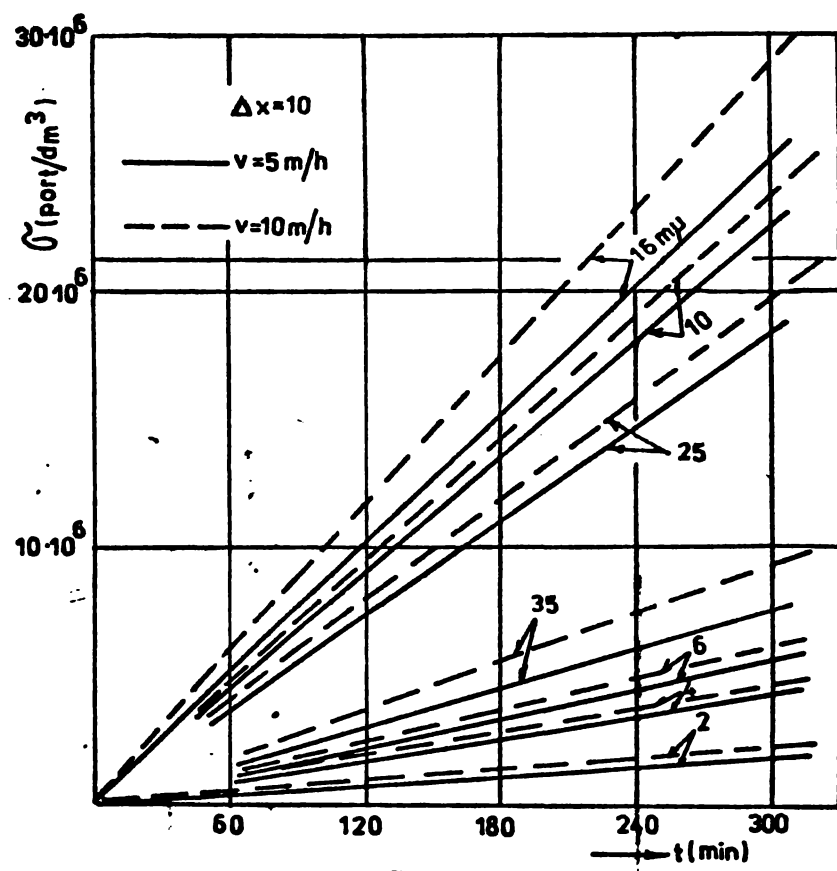


Fig.15

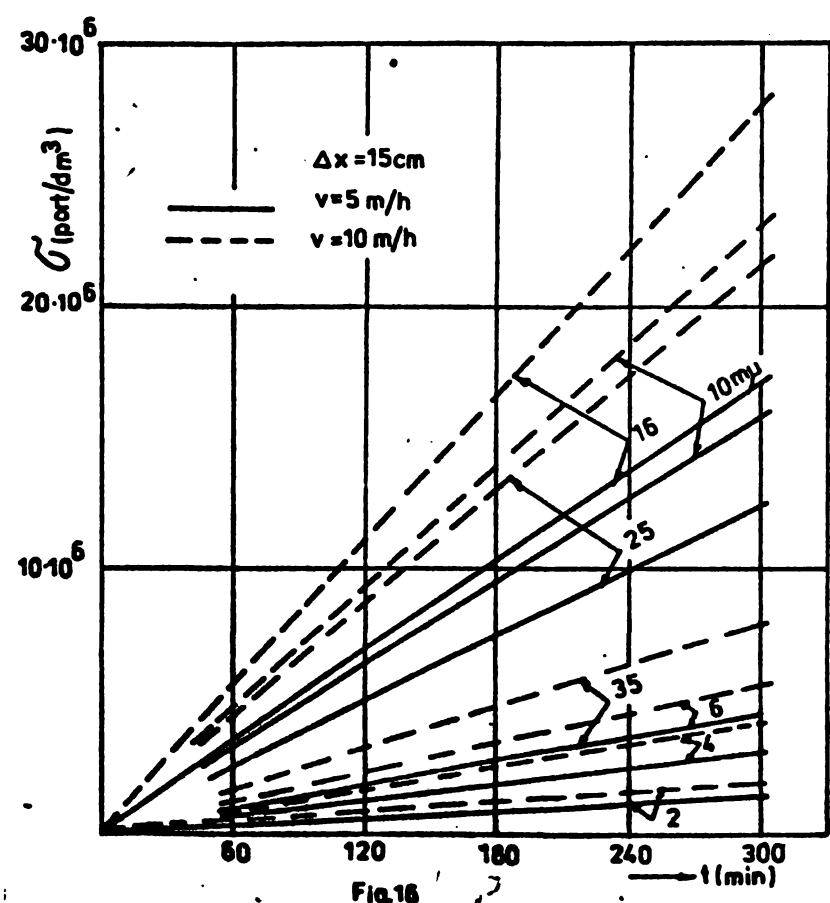


Fig.16

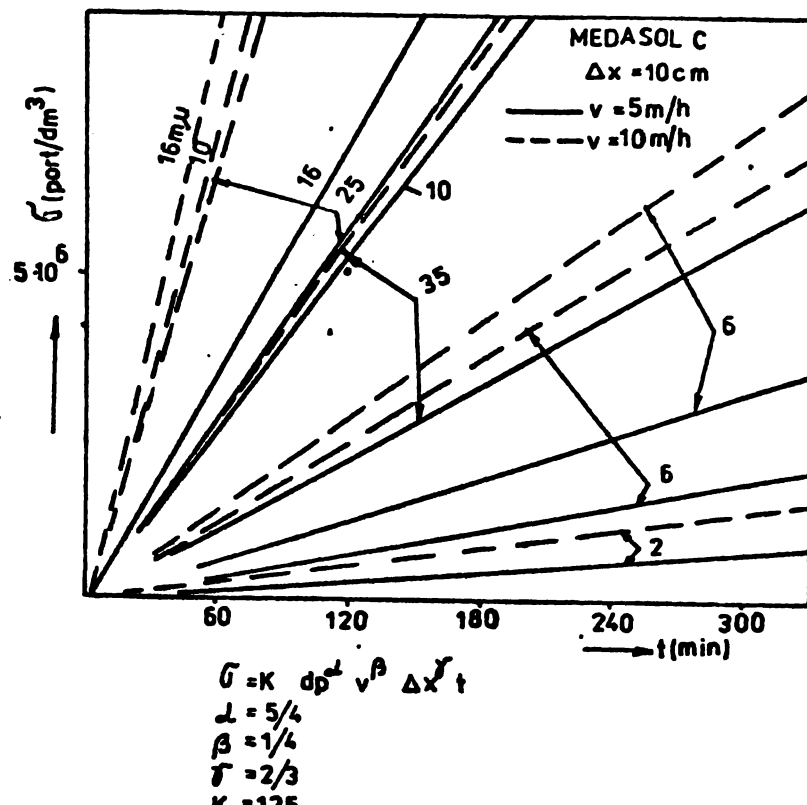
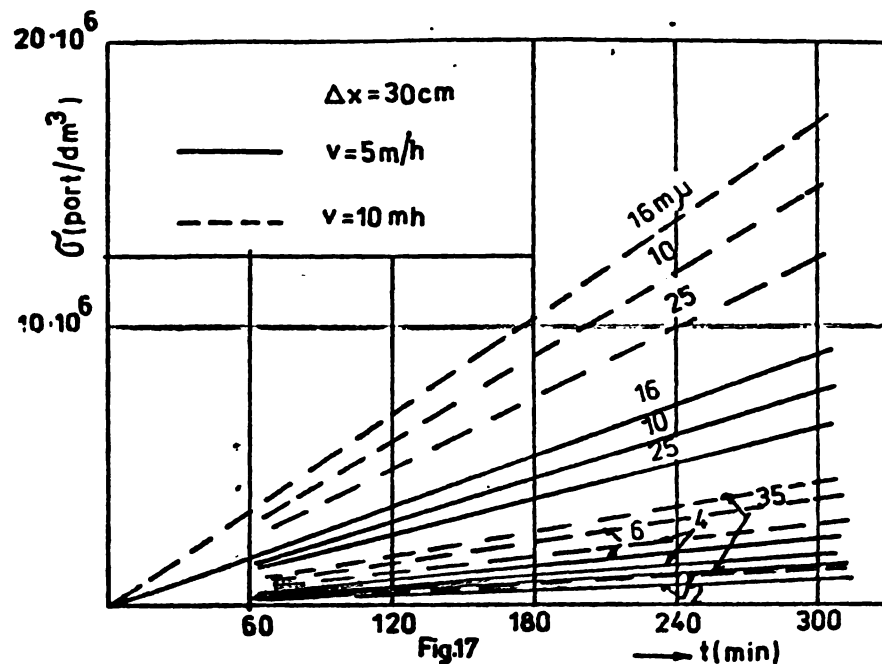


Fig.18

Rezultă astfel ecuația:

$$\sigma' = \frac{dp^{5/4} \cdot v^{1/4}}{\Delta x^{2/3}} \cdot t \cdot 125$$

relație care servește pentru determinarea încărcării specifice în

timp, în raport cu parametrii determinanți care intervin în procesul de filtrare.

Ecuatia stabilită își găsește o bună aplicabilitate pentru durate ale procesului de filtrare sub 5-6 ore și pentru particule cu dp < 10-12 μm .

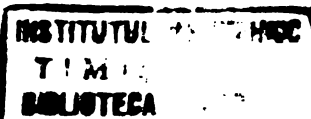
In concluzie, pe baza cercetărilor experimentale s-au verificat cu bune rezultate ipotezele teoretice, punindu-se în evidență dependența gradului elementar de separare δ_0 și a depunerii specifice G de mărimea particulelor în suspensie, viteza de filtrare și de reactivul de coagulare utilizat.

Rezultă deci că gradul elementar al reținerii particulelor și în consecință parametrul filtrării crește proporțional cu mărimea particulelor și cu adăosul de coagulant și invers proporțional cu creșterea vitezei de filtrare.

Rezultatele obținute pot servi, de asemenea, la stabilirea criteriilor de optimizare a instalațiilor de filtrare industriale.

BIBLIOGRAFIE

- /1/. O'Melia, C.R., and Stumm W., Am. Water Works Assoc., 1967, 59, p.139
- /2/. O'Melia, C.R., The Role of Polyelectrolytes in Filtration Processes EPA 67c/2-74-032, U.S. Environmental Protection Agency, Washington, P.C. 1974
- /3/. Yao K.M., Habilian and C.R.O'Melia Environ. Sci. Technol. 5 p.1105, 1971
- /4/. Boller M., and Kavanaugh C., Intern. Assoc. Water Pollution Research, Vienna, Workshop, 1975
- /5/. Stumm W., Chemistry of Wastewater Technology, 1978, p.9
- /6/. Stumm W., und Sigg Laura, Z.f.Wasser und Abwasser-Forschung, 1971, 12, p.73-83
- /7/. Martin A., Mirel I., Buletin IPT, 1981, fasc.2
- /8/. Mirel I., Contribuții la studiul procesului de filtrare rapidă în perioadă inițială de la Răinășe. Teză de doctorat, I.P."Traian Vuia", Timișoara, 1974
- /9/. Ives K.I., Theory of Filtration, International Water Supply Congress-Wien, Special Subject nr.7, 1969
- /10/. Iwasaki T., Some Notes on Sand Filtration, Journal AWWA, vol29, 1937
- /11/. Gimbel R., D., Untersuchungen zur Partikelabscheidung in Schnellfiltern, Dissertation, Universität Karlsruhe (T.H.), 1978



- /12/. Cachesci V., Martin A., Burtică G., Mășu S., Folosința polielectro-
- litilor, indigeni la tratamentul acu-
- prafată. Buletin I.P."Traian Vuia" Timișo-
- ra, nr.1, 1981
- /13/. Martin A., Mirel I., Cercetări privind influența mărimii par-
- ticulelor în compunerea efluviilor primăvalui
- dă de limpezire prin filtre rapide cu nisip,
- "Al III-lea Congres Național de Chimie", Bu-
- carești, sept. 1981, comunicare.

7. APLICATII ALĂ PROCESULUI DE COAGULARĂ ÎN TRATAREA SI EPURAREA APELOR

In procesele de potabilizare și de tratare a apelor în scopul industrial, coagularea a devenit etapă obligatorie și indispensabilă, cîștigîndu-și un loc bine meritat.

Se apreciază astăzi că după dezinfecție, coagularea este procesul cel mai frecvent folosit și reprozintă cel puțin jumătate din costurile de tratare.

Cresterea masivă a debitelor de ape reziduale și a elementelor impurifiante care trăiesc sau chiar anihilizează procesele de epurare biologică din bazinile naturale.

Protectia calității apelor naturale, în scopul asigurării surselor de apă potabilă și industrială, implică necesitatea epurării avansate a apelor reziduale înainte de deversare.

In acest context, coagularea s-a dovedit din ce în ce mai eficientă, impunîndu-se ca o operațiune de cea mai mare importanță, cu efecte multiple, constituind un tratament de eliminare specific.

Necesitatea estimării procesului de coagulare pe de o parte și greutățile semnalate în cazul reactivilor de coagulare clasici au impulsionat preocupările privind obținerea unor eflanți ieftini, eficace și ușor accesibili.

In acestă categorie de preocupări se înscriu și cerințile noastre întreprinse pentru obținerea din diferite dozeuri industriale a coagulanților anorganici complecși.

Studiile efectuate de noi în acest domeniu au fost îndreprinse și în direcția aplicării procesului de coagulare la tratarea unor ape de suprafață, precum și la epurarea unor ape reziduale industriale. In continuare vor fi prezentate rezultatele unora din aceste cercetări.

7.1. Aplicarea coagularii la epurarea apelor reziduale din industria galvanotehnică

Apale reziduale de la acoperiri galvanice au un conținut ridicat de substanțe nocive, fapt ce le încadrează în categoria apelor puternic impurificate și cu acțiune toxică mare. Gradul de impurificare a acestor ape depinde de operațiunile la care sunt supuse piezuri metalice în procesul acoperirilor galvanice. Cazualul lor nesciv se datoră suspensiilor acide sau alcaline și uneori și prăjitoarelor toxice, de cianuri, Cromat și al altor substanțe.

Atât piezurile galvanice cuprind o serie de compuși

cupru, degresare, zincare, cuprare, nichelare, cromare, etc., care din acestea rezultă apă reziduale cu conținuturi de la baze de poluanți toxici. Prin amestecarea apelor reziduale de diferite proveniențe, rezultă o apă cu nocivitate ridicată, care se poate transmite emisarului. Astfel sunt acidul cianhidric și cianurile metalice cu o acțiune letală asupra organismului, chiar în următoarele ore, deoarece concentrații reduse, de 0,1-0,2 mg/dm³/l/. În prezență ionilor metalelor grele, cianurile simple se stabilizează un timp mai îndelungat în procesul natural de autoepurare. Prezența cianurilor în instalațiile de canalizare contralizate poate pune în pericol viața personalului de deservire, sau poate scăda complet din funcție instalațiile de epurare biologică.

Cromul, conținut peste anumite limite în apă reziduale galvanice, prezintă de asemenea o acțiune nocivă asupra emisarului, iar asupra instalațiilor de epurare biologică exercită un influență negativă.

Apelor reziduale cercetate de noi /2/ au avut următoarele caracteristici (tabelul 1).

Tabelul 1

Indicatori determinați	U/M	Ape reziduale de la acoperiri galvanice	
		A	B
Miros	-	metalic	micădile sărare
Culcare	-	galbenă	grăboză
Temperatură	°C	25,00	25,00
pH	-	13,20	5,50
Turbiditate	°SiO ₂	1380	250
Conductibilitate	mS	18,10	12,00
Suspensii decantabile (cupă o oră)	mg/dm ³	1280	1000
COC-Cr	O ₂ mg/dm ³	45000	10000
Cianuri (Cr ⁶⁺)	mg/dm ³	2700	1000
Crom (Cr ⁶⁺)	mg/dm ³	32,60	0

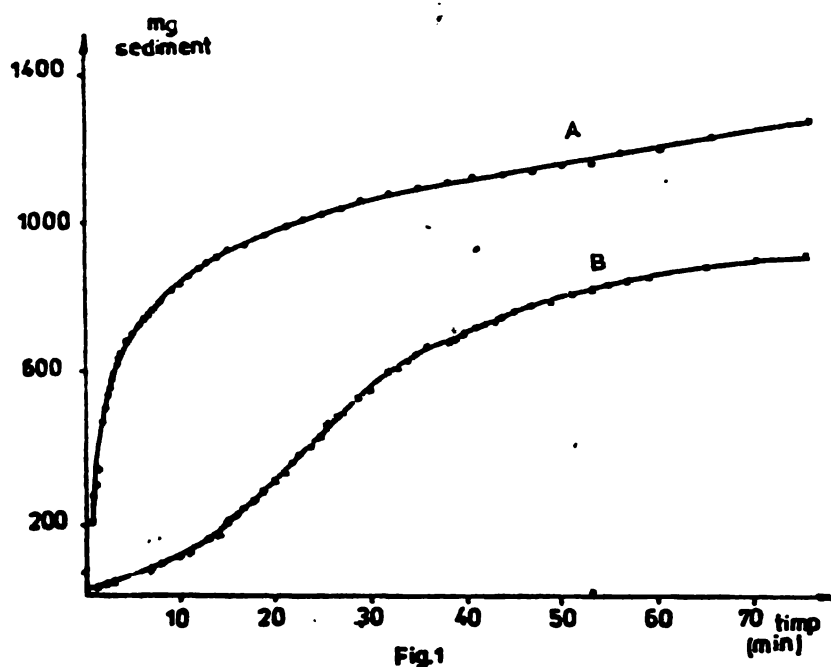
Apa "A" - provenită de la degresare, decapare, cuprare, nichelare, cromare, este puternic bazică, are un conținut ridicat de cianuri, iar cromul se găsește sub formă de cromat.

Apa "B" - este acidă, conținutul de cianuri este mic, lip-

sește cremul, în schimb conține alte metale grele. În apele de spălare a pișelor, de la decapare și încă la degazare.

S-au întreprins încercări de coagulare asupra acestor ape, în scopul lîmpezirii lor și a micșorării concentrației ionilor de cian.

Intrucît ambele ape studiate prezintă suspensii insoluibile în cantitate destul de mare, s-au trasat, înainte de a face cercetările de coagulare, curbelor de sedimentare gravimetrică (figura 1).



Din alura curbelor se observă o viteză de sedimentare destul de mare, antfel, după ce urmă suspenziile gravitaționale s-au depus în cea mai mare parte.

In lucrare /2/, s-a urmat utilizarea coagulării ca primă fază a epurării chimice, și urificare mai avansată urmând a se realiza în etapele următoare. In acest scop s-a studiat eficiența coagulantilor anorganici "FERALTI C" și "FERAL C", stabilindu-se parametrii optimi (doză de coagulare, domeniul de pH) și urmărindu-se ca indicatori principali turbiditatea (respectiv culoarea) și conținutul de ioni cian.

Încercările de coagulare cu cei doi coagulanți menționati s-au efectuat comparativ cu un coagulant clasic, clorură ferică.

In toate încercările de coagulare, probele cu reactivi au ajuns timp de 2 minute cu 300 t/minut, urmând o agitare într-o perioadă de 10 minute cu 30 ture/minut. Probele pentru determinări au fost prelevate din supernatant după un timp de sedimentare de 30 minute.

Răsultatele privind stabilirea dozelor optimi de coagulare în funcție de indicatorii principali urmăriți în prezent sunt redate în tabelul 2.

De obicei din datele experimentale obținute, rezultă că

"Feral C" și "Feralti C" sunt comparabile cu dozele de clorură ferică,

cu respectivul de eliminare al ionilor de cian, pe cind doza

Tabelul 2

Apă rozii- duala	Coagulant	Doza (mg/dL ³)			Tempe- ratura (°C)	pH	Turbiditate(°StO ₂)			CN (mg/dm ³)	Obs.
		Al	Ti	suna			ini- tial	reduc- re de cere	ini- tial		
"A"	- E.RAL C	22,5	4,5	-	27,0	25,0	9,3	50	96,3	1100	59,3
		45,0	9,0	-	54,0	25,0	9,1	41	97,1	800	70,3
		67,5	13,5	-	81,0	25,0	8,9	1380	19	800	70,3
		90,0	18,0	-	108,0	25,0	8,1	2	99,85	610	77,4 loză cu tină
		112,5	22,5	-	132,0	25,0	9,5	39	97,25	280	63,27
"B"	- LALI C	12	4,8	1,8	18,6	24,0	6,4	2	99,85	250	90,8
		20	8,0	3,0	31,0	24,0	7,4	1380	0	100	2700
		28	11,2	4,2	43,4	24,0	6,85	7	99,55	175	93,5 loză cu tină
		40	16	6,0	62,0	24,0	7,0	9	99,2	200	92,6
		22,5	4,5	-	27,0	24,0	8,3	30	89,3	950	5,0
"C"	- T.ML C	45,0	9,0	-	54,0	24,0	8,4	42	85,0	850	15,0
		67,5	13,5	-	81,0	24,0	7,4	280	28	90,0	1000
		90,0	18,0	-	108,0	24,0	7,7	32	88,6	850	15,0
		112,5	22,5	-	132,0	24,0	7,7	33	88,3	350	65,0
		4,0	1,6	0,0	6,2	24,0	7,2	34	87,8	325	67,5
"D"	- R.ML C	12	4,8	1,8	18,6	24,0	8,5	60	78,6	328	67,2
		20	8,0	3,0	31,0	24,0	7,9	280	75	73,2	1000
		26	11,1	4,1	43,4	24,0	6,8	140	50,0	250	75,0
		40	16	6,0	62,0	24,0	7,0	120	53,6	180	75,0
		60	-	-	62,0	24,0	7,0	5	98,7	200	66,0
"E"	- R.ML C	-	-	-	90	24,0	8,5	6	97,0	100	100
		1,0	-	-	25,0	24,0	8,5	5	98,0	100	100

față de coagulantii amintiți, sănătatea este mai mare.

Tabelul 3 cuprinde rezultatele privitoare la stabilirea domeniului optim de pH, în care coagulantii FERALTI C și FERAL C, acționează eficace în scopul menționat mai sus.

Pentru coagulantul FERAL C rezultă un domeniu de pH optim între 5,6-8. În cazul coagulantului FERALTI C, domeniul optim de pH se situează între 4,5-7.

Odată stabilită condițiile de lucru, s-a treșut la tracarea curbelor de depunere volumetrică, redată în figura 2. Din aceste

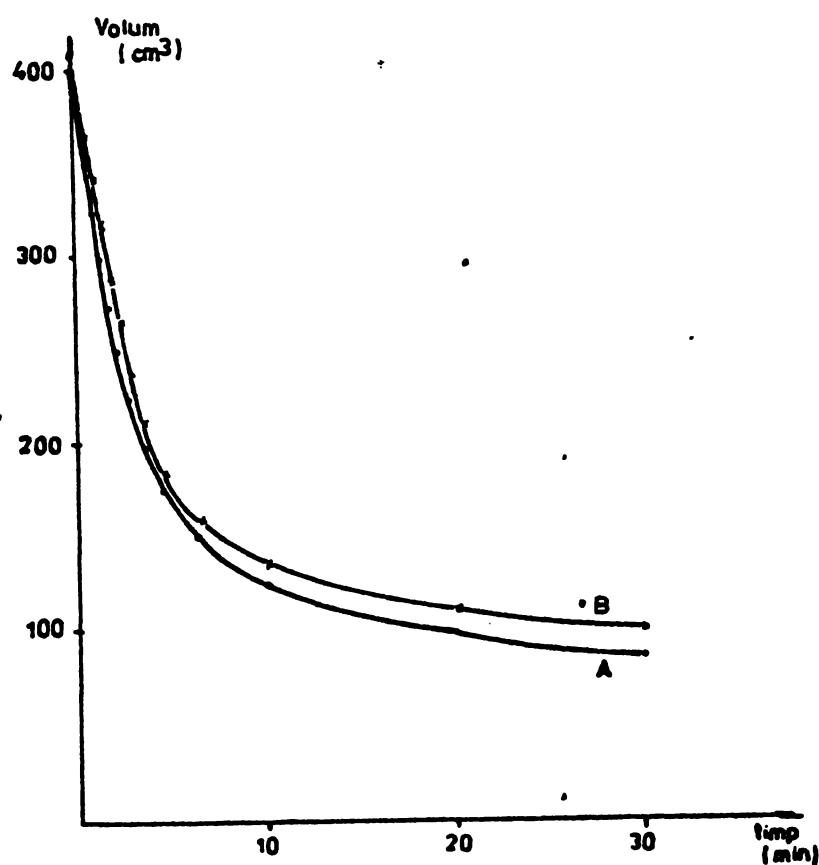


Fig. 2

curbe se constată că depunerea este rapidă, pentru ambi coagulanți, obținindu-se un supnatant complet limpede.

Eliminarea ionilor cian se datoră unor fenomene de complexare și adsorbție, generate de produșii de hidroliză și coagulanților folosiți. Acest lucru este confirmat de analizele în infraroșu ale precipitatorilor depuse după coagulare (figura 3).

Pentru sprijinirea interpretării spectrului în infraroșu, s-a tracat

și decât spectre, făcute cu Fe^{3+} și Al^{3+} , în apă cu concentrație de ion de cian. Din spectrul precipitatului obținut, la ceajul rezultat cu Fe^{3+} se observă că apare o bandă în jurul valorii 2630 cm^{-1} , datorită unui complex $[\text{Fe}(\text{CN})_6]^{3-}$ / 3,4,5/, iar în jurul vîrfului de 3000 cm^{-1} , o altă bandă care ar putea indica prezența ionilor cian puternic adsorbăți (figura 3 I).

Spectrul precipitatului rezultat la coagulare cu Al^{3+} nu prezintă nici o bandă în domeniul care ar indica complexarea sau adsorbția ionilor cian, deci hidroxidul de aluminiu hidratat nu poate să nu fixeze, sub nici o formă, ionul cian (figura 3 II).

Spectrul precipitatului obținut în urma coagulației cu

Table 2

Agric. ducal.	Sesonal at doze (mg/dm ³)	Doze (mg/dm ³)			Tempo- ratura (°C)	pH	Turbiditate (%SiO ₂)			Cu- (Fe, Am ³⁺)	Ot.
		se	M	Ti			initial	reduc- cere	initial		
FERAL C	90	18	-	108	25	10,7	1380	4	99,75	2700	1000
"A"					25	11,2		4,5	99,70	1200	55,60
					25	11,9		2	99,80	2700	0
FERAL C	28	11,2	4,2	43,4	24	7,4	1380	98	93,10	2700	360
"B"					24	8,5		15	98,80	725	73,20
					24	9,7		30	97,80	1000	62,00
FERAL C	90	18	-	108	24	7,2	280	79	71,80	1000	250
"B"					24	8,6		81	71,20		312
					24	9,4		97	65,30		325
FERAL C	40	16	6	62	24	4,5		58	79,30		175
"B"					24	4,7		46	83,60		240
					24	6,0	280	17	94,00	1000	325
					24	7,6		6	97,80		350
					24	9,0		0	67,20		370
											62,10

"B" cu FERAL C la pH = 8 (figura 3 III) prezintă două benzi, una

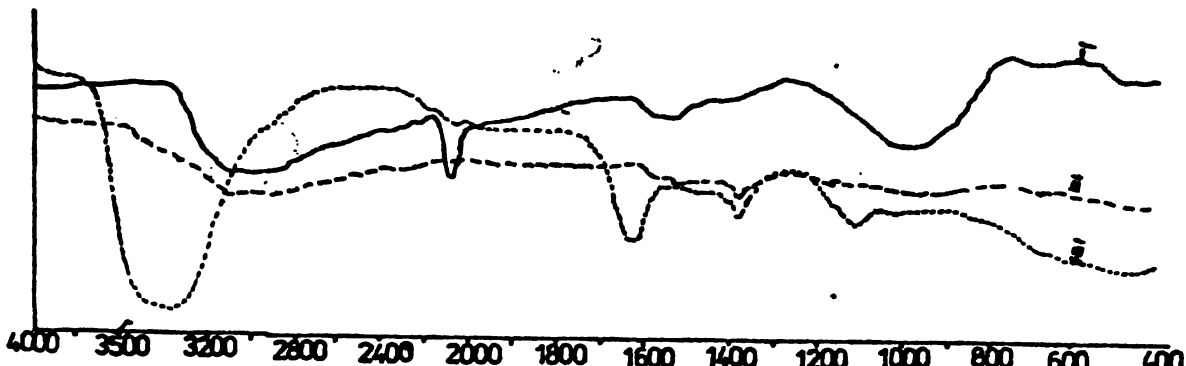


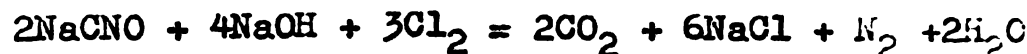
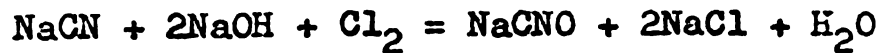
Fig.3

în jurul valorii 2080 cm^{-1} , care trebuie să fie datorată unui complex al ionului cian cu fierul și o altă bandă de 2180 cm^{-1} , care indică probabil adsorbția puternică a ionilor cian pe suprafața hidroxidului hidratat. Adsorbția puternică deplasează banda normală a ionului cian de la 2080 cm^{-1} la valoarea de 2180 cm^{-1} . La acest spectru mai apare o bandă la 1380 , care ar indica prezența în apa reziduală studiată a unor cantități de ulei, eliminate odată cu precipitatul.

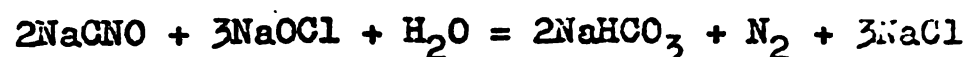
Toate spectrele au fost efectuate cu un spectrograf Perkin Elmer model 457, în domeniul $4000 - 400\text{ cm}^{-1}$, în pastile de KBr, cu fână normală și viteză medie de înregistrare.

Micșorarea conținutului de ioni cian, pînă la limitele admise, este posibilă, atît prin metode fizico-chimice cît și pe cale biologică. Importanță industrială prezintă metoda acidulării, urmată de insuflare de aer și vaporii de apă, procedeele de trecere a cianurilor sub forma unor compuși insolubili și procedeele de distrugere oxidativă /6,7/.

Oxidarea se efectuează în practică, de obicei, cu clor gazos și cu soluții de hipoclorit de sodiu /8,9/, cînd au loc reacțiiile:



respectiv:



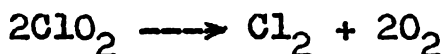
In practica industrială, denocivizarea apelor cu cianuri prin metode oxidative se duce numai pînă la faza de cianat, a cărui toxicitate mai redusă permite evacuarea acestor ape. Pe de altă parte, trecerea cianatilor în compuși netoxici ar necesita pe lîngă un consum suplimentar de reactiv și un timp de oxidare mai mare.

In cadrul unor cercetări de laborator s-a aplicat o nouă metodă de oxidare distructivă a cianurilor, folosind în acest scop un amestec de clor și bioxid de clor /lo/.

Bioxidul de clor, datorită potențialului său ridicat de oxidare, asigură o viteză de reacție mărită față de ceilalți agenți de oxidare utilizati în prezent, de asemenea permite reducerea consumului de reactivi.

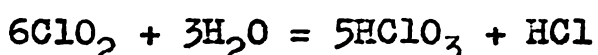
In cercetările noastre, bioxidul de clor necesar a fost obținut prin tratarea cu acid sulfuric concentrat a unei soluții saturate de clorat de potasiu /lo/.

Gazul rezultat și colectat la partea superioară a coloanei de reacție, a fost absorbit în două coloane cu umplutură de sticlă, străpînte cu apă. Bioxidul de clor se descompune parțial cu formare de clor:



astfel că în gazul rezultat se găsește și clor, alături de bioxid de clor. Utilizînd acest amestec oxidant, de clor și bioxid de clor, care se obține relativ mai ușor decît bioxidul de clor pur, am urmărit o soluție mai economică și totodată cu un efect superior față de cel al folosirii clorului, sau al hipocloritului de sodiu.

Soluția apoiată obținută prin absorbția bixidului de clor în apă, relativ stabilă la întuneric, se descompune sub influența luminii și a temperaturii, ducînd la formare de acid clorhidric și acid cloric:



- Tinînd seama de aceste considerații, s-au preparat în laborator soluții proaspăte înaintea fiecărui tratament al apelor cu conținut de cianuri.

Analiza soluțiilor apoiase de bioxid de clor, în cîmpul stabilitării raportului de bioxid de clor/clor, s-a efectuat după metoda iodometrică.

S-au obținut soluții cu concentrații variabile, între 0,2-0,48 grame ClO_2 la dm^3 și 0,15-0,8 grame clor la dm^3 .

Cu aceste soluții au fost tratate apele cu o concentrație de la 5 la 400 mg CN^-/dm^3 , în mediu alcalin (pH=10) și la 5 °C.

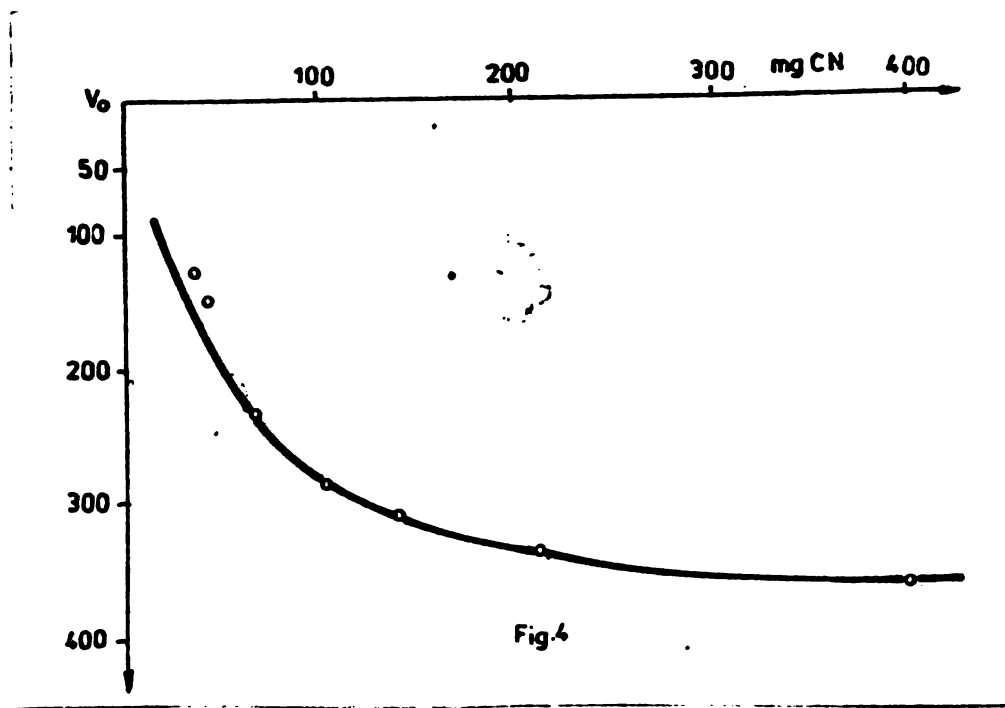
turi de $21-22^{\circ}\text{C}$. Adăugarea oxidantului s-a făcut dintr-o biură, sub continuă agitare, astfel că temperatura a fost menținută practic constantă.

Instalația folosită a permis un control riguros al conținutului de cianuri existente, prin măsurarea potențialului unui electrod de argint.

Este cunoscut faptul că potențialul electrodului de argint are valori negative în raport cu un electrod de calomel în prezența cianurilor și valori pozitive în cazul eliminărilor complete a cianurilor prin oxidare /11/.

Saltul potențialului electrodului de argint la valori pozitive corespunde îndepărțării totale a cianurilor din soluție.

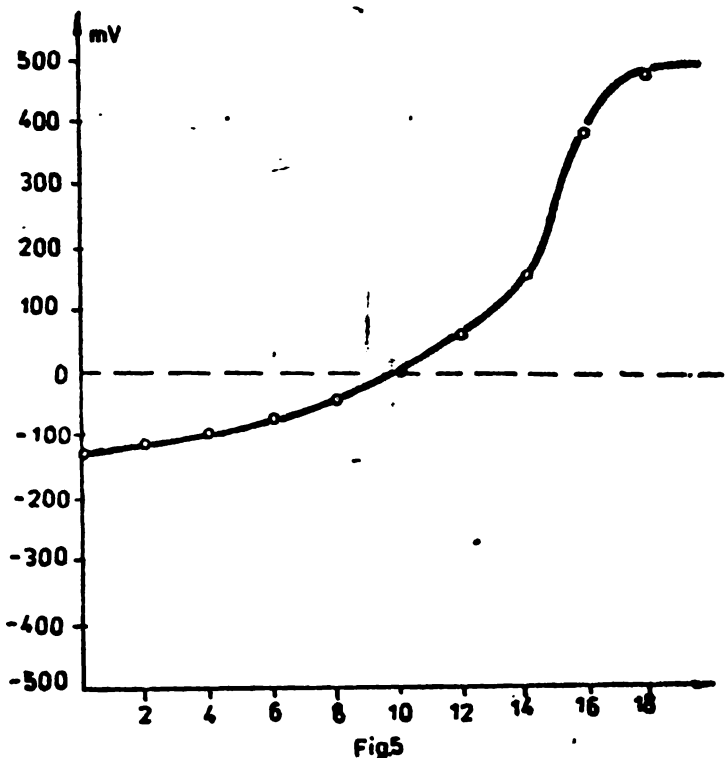
Metoda permite decelarea variațiilor de potențial, pentru concentrații de peste $5 \text{ mg CN}^-/\text{dm}^3$, așa cum rezultă și din curba variațiilor potențialului electrodului de argint funcție de concentrația ionului cian (figura 4).



Aspectul general al curbei, care redă scăderea conținutului de cianuri, prin oxidare distructivă cu soluții apăsatice cu cianuri de clor, are formă de "K", indicând la punctul de înlăturare și la saltul de valori pozitive ale potențialului electrodului de argint, dispariția ionului cian din soluție.

Astfel, în cazul particular al unei soluții cu valoarea de conținută a CN^-/dm^3 , tratată cu o soluție apăsată conținând $0,15 \text{ g ClO}_2/\text{dm}^3$ și $0,18 \text{ g Cl activ}/\text{dm}^3$, rezultă o curățare potențiometrică (figura 5), care redă marsul procesului de eliminare

a cianurilor din soluție și din care se vede că se ajunge, prin metoda propusă de noi, la o eliminare totală a cianurilor din apă.



În continuare, în fizico-
cările efectuate, am urmat
comparativ efectul oxidativ
al soluțiilor de bixid de
clor și clor, cu al unei so-
luții de hipoclorit de sodiu
asupra cianurilor, în condi-
ții aceeași concentrație.

Determinările potențio-
metrice efectuate în acest
scop, folosindu-se soluții
apăcate de bixid de clor și
hipoclorit de sodiu cu con-
ținut egal de clor activ,
au condus la curbe edifica-
toare. Pentru soluțiile de
bixid de clor, s-a consti-
rat efectul oxidativ al bi-
xidului de clor de 1,7 ori

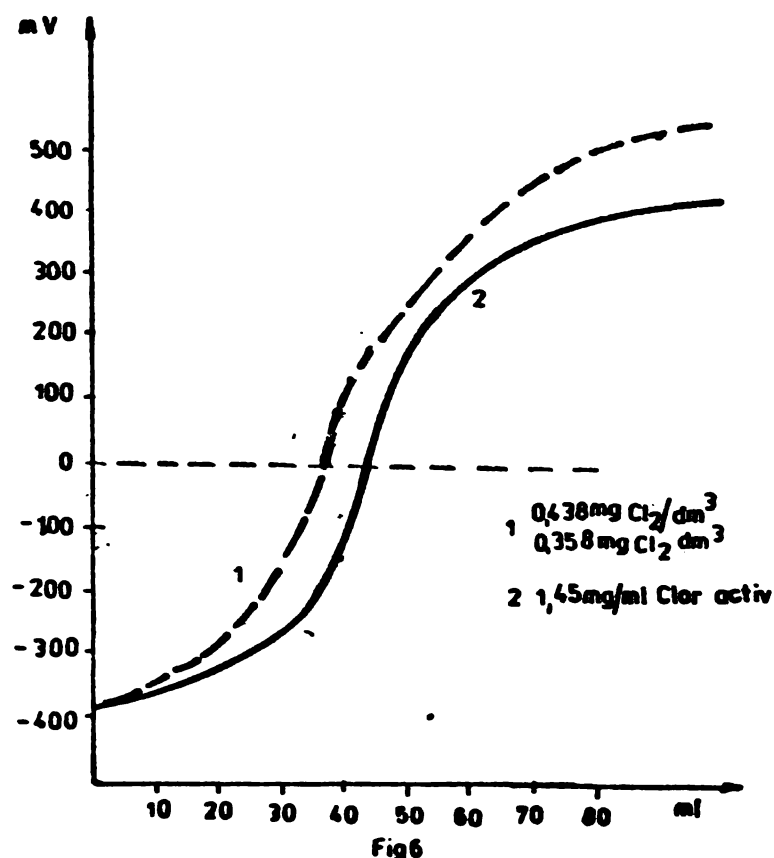
mai mare decât al clorului activ, la care s-a adăugat conținutul
de clor prezent în soluție; efectul oxidant total este egal cu
suma efectelor celor doi compoziți.

Astfel, pornind de la o soluție conținând c. 420 g Cl₂/dm³,
care a fost tratată cu o soluție de bixid de clor conținând 450
mg ClO₂/dm³ și 358 mg Cl activ/dm³, s-au obținut rezultate reprezintate de curba (1) din figura 6.

În paralel, tratând aceeași soluție de cianură cu o soluție
de hipoclorit de sodiu, cu un conținut echivalent de clor activ
respectiv un efect oxidant identic, s-a obținut curba (2) din figura 6.

După cum rezultă din cele două curbe potențiale, tracăturile
care să reprezinte variația potențialului electroodului în func-
ție în raport cu adăosul de oxidant, efectul oxidativ al soluțiilor
de clor și bixid de clor este superior efectului același de
de hipoclorit de sodiu, în același condiții de lucru.

Din totalitatea datelor experimentale obținute și, prin
analiză, în sprijinul noilor tehnici industriale,



că folosirea unei soluții de coagulator, ca prima etapă a epurării chimice, duce atât la o creștere susținută a rezistenței cît și la un scăzut continuu de ionii cian, din apele cercestate.

Studiindu-se comparațiv efectul distructiv al soluțiilor de clor-bioxid de clor, în raport cu cel al soluțiilor de hipoclorit de sodiu, s-a ajuns la concluzia că, prin această metodă lucru propusă, se obține rezultate superioare.

7.2. Aplicarea coagulării la epurarea apelor reziduale din industria textilă

Apele reziduale rezultate din industria textilă, îndecsebi de la sectoarele de finisaj, au compoziția foarte diferită dată de diverselor tehnologii și a multitudinii substanțelor folosite. Acestea pot provoca mari oscilații în impurificarea apelor, chiar la aceeași unitate. Astfel, de la vopsitorii ajung în apele reziduale resturi de ape de spălare și limpezire, ceea ce poate conferi acestor ape reziduale, în final, un caracter acid, bazic sau neutru. Deoarece băile de vopsire de obicei sunt epuizate, concentrația lor în coloranți este în general mică.

Aapele provenite de la vopsirea cu coloranți direcți, cu coloranți bazici și acizi nu sunt atât de puternic impurificate ca apele rezultate la vopsirile cu coloranți de sulf. Ele pot provoca schimbări brusă ale pH-ului în emisar.

Coloranții de sulf sunt mai nocivi, atât dacă sunt compozitii chimice cît și a adezusului de sulfură de sodiu utilizat pentru solubilizare. Din coloranții de sulf se poate dezvolta hidroxulfat în următoare condiții, atât în emisar cît și în sistemele aerigenizării supraemisarului în care sunt evacuate gaze.

reziduale produc o colorare puternică care poate fi desecri cauza unor perturbări serioase, în procesele fotochimice care au loc în emisar.

Epurarea apelor reziduale de la sectoarele de finisaj ale industriilor textile este dificilă datorită caracterului lor fizic divers și foarte variabil, ceea ce impune culegerea de date experimentale într-un interval lung de timp.

In general, pentru epurarea acestor ape reziduale se folosesc procese ca: separarea, precipitarea reciprocă, coagularea, filtrarea și epurarea biologică. Pentru a obține o uniformizare cât mai mare, deci pentru a ușura tratarea lor, înmagazinarea apelor rezultate pe timp de 24 ore în bazine prevăzute cu un sistem de agitare devine absolut indispensabilă /24/.

Decolorarea apelor reziduale se poate obține prin tratarea cu coagulanți, cind concomitent se pot reduce și alte impuriități prezente.

Studiind comportarea soluțiilor apoase de coloranți față de ionul de fier, Kehren a ajuns la unele concluzii, dintre care amintim /12/:

- coagularea optimă cu clorură ferică are loc în mediu slab acid ($\text{pH} = 5,5-6,1$);
- într-un mediu neutru pot fi flocculate numai cantități reduse de substanțe colorante, prin folosirea de cantități relativ mari de fier;
- în mediu alcalin, chiar la o coagulare cantitativă, nu are loc limpezirea, pentru concentrații de fier și de coloranți prezenti între 20-100 mg/dm^3 ;
- în mediu mai puternic acid, deși cresc cantitățile de fier nehidrolizat, se elimină în mai mare măsură coloranții.

Apele reziduale cercetate de noi /24/ au provenit dintr-o secție de finisaj, prezintând variații destul de mari în timp în ceea ce privește compozitia (tabelul 4). În compozitia acestor ape intră atât coloranți (de ex. Negru de sulf, Siriuslichtgelb GL, Marc direct LMR, Negru direct L etc.), cât și substanțe minerale (de ex. sulfură de sodiu, pirosulfit de sodiu, carbonat și clorură de sodiu).

Metoda tratării apelor de la vopsitorii cu coagulanți reprezintă una din metodele cel mai eficiente, însă nu poate termina micșorarea, în continuare a concentrației substanțelor organica /14, 15, 16, 17/.

Tabelul 4

Indicatorii determinați	UM	Ape reziduale din industria textilă			
		A	B	C	D
Miros	-	slab	de hidrog. sulfură sulfurat	-	-
Culoare	-	negru	roșu-maron	negru	gri-verde
Temperatura	°C	32	29	30	30
pH	-	10,00	9,00	8,95	7,70
Mobilitate elec. $\mu\text{s/V/cm}$		1,52	1,90	0,645	2,90
Potențial zeta mV		-19,76	-24,70	-8,38	-37,70
Turbiditatea SiO_2		660	404	905	2,000
Conductivitatea mS		3,40	7,00	16,25	11,80
Suspensii decantabile după o oră	mg/dm ³	-	Ø	Ø	63,20
CCO-Mn	mg/dm ³	160	296	192	220
CCO-Cr	mg/dm ³	1,880	-	-	1,920
Cloruri (Cl ⁻)	mg/dm ³	2,900	-	-	1,000
Sulfați (SO_4^{2-})	mg/dm ³	300	2,678	-	1,294

Cercetările noastre au urmărit micșorarea gradului de impurificare a acestor ape prin aplicarea unor metode fizico-chimice. În acest scop apele au fost săpuse succesiv coagulării și adsorbției pe zguri de termocentrală, din care în prealabil s-a extras coagulantul FERAL C /13/.

Inaintea efectuării încercărilor de coagulare, s-a determinat la toate apele studiate conținutul în suspensii decantabile, precum și mobilitatea electroforetică a coloizilor existanți în aceste ape.

S-a constatat că numai în cazul apelor "D" există un cantitate de cantabile în cantitate măsurabilă, stabilindu-se curba de linie gravimetrică (figura 7).

Din datele cuprinse în tabelul 4 se observă existența în toate apele uzate a unor coloizi negativi, cu potențialele electrocinetică foarte variabile cuprinse între -8 mV și -38 mV, dacă procesul coagulării apare ca o necesitate.

Încercările de spălare au urmărit stabilirea condițiilor optime pentru coagulantii cercetat, precum și proiectarea procesului. Ca indicatori s-au folosit CCO-Mn, care are un conținutul de substanțe oxidabile și turbiditatea, respectiv culoarea.

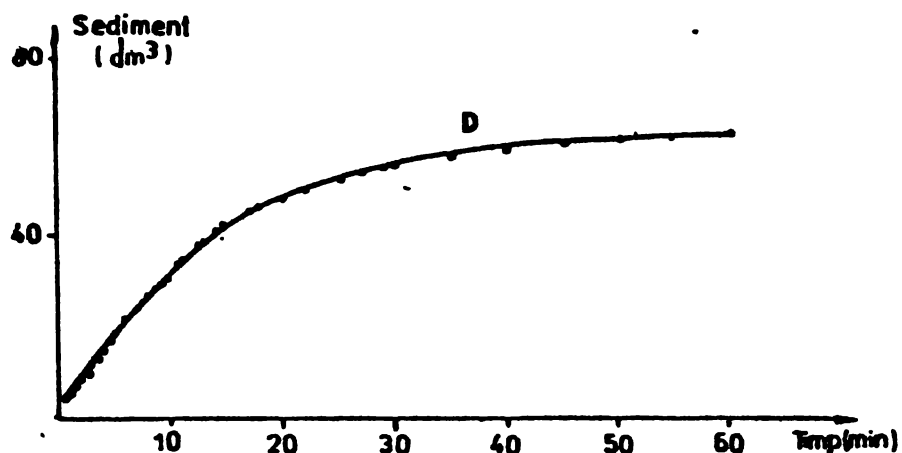


Fig. 7

Rezultatele obținute sunt redăte în figurile 8, 9, 10, 11 și 12. Examînînd curbile privind influența pH-ului în cazul apelor "D"

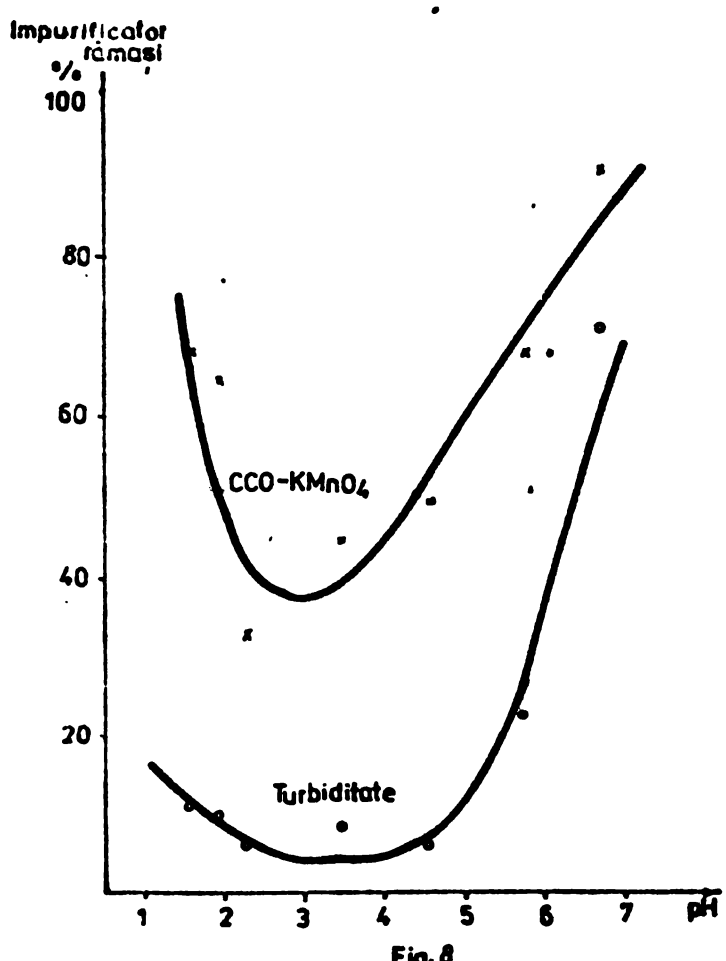
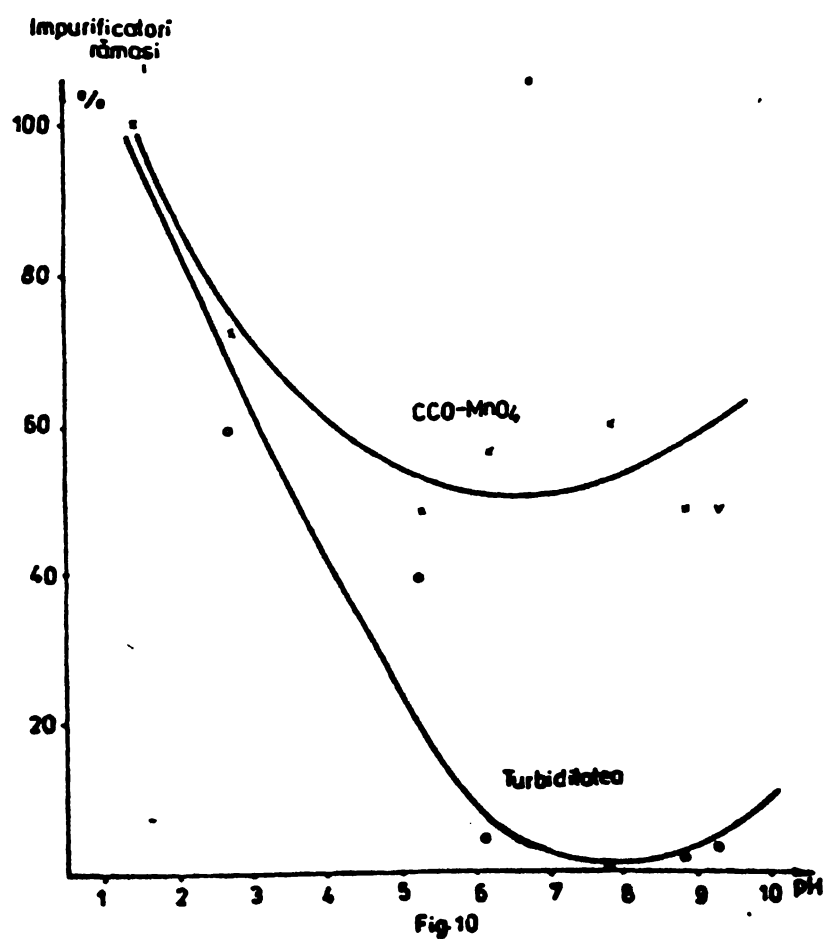
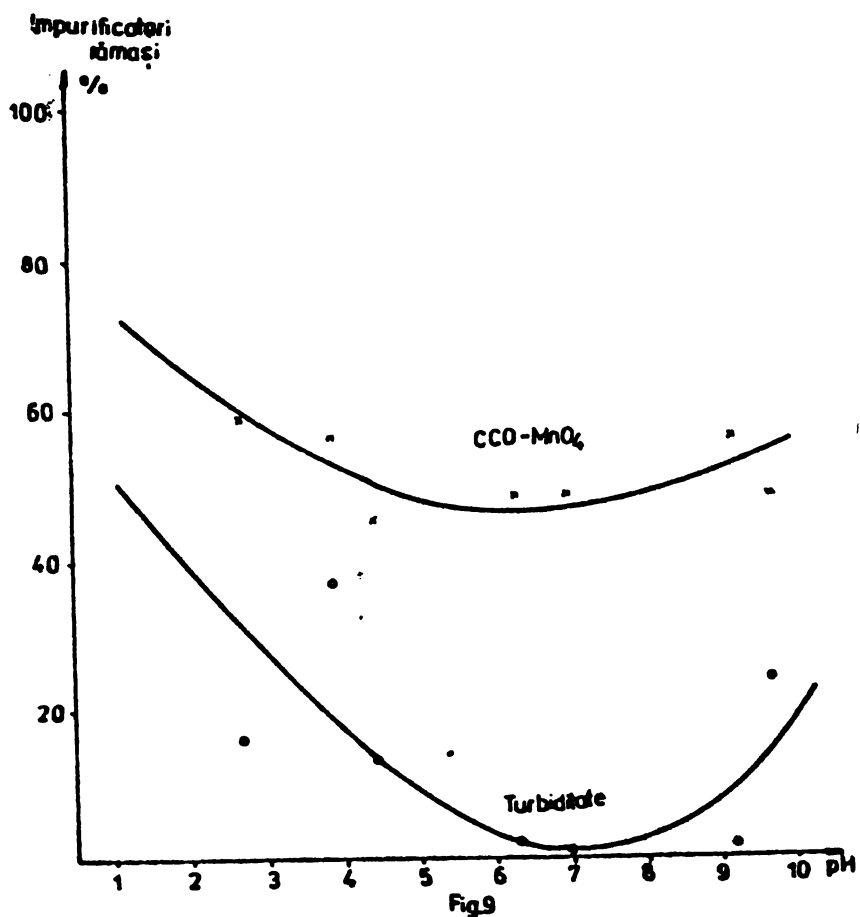


Fig. 8

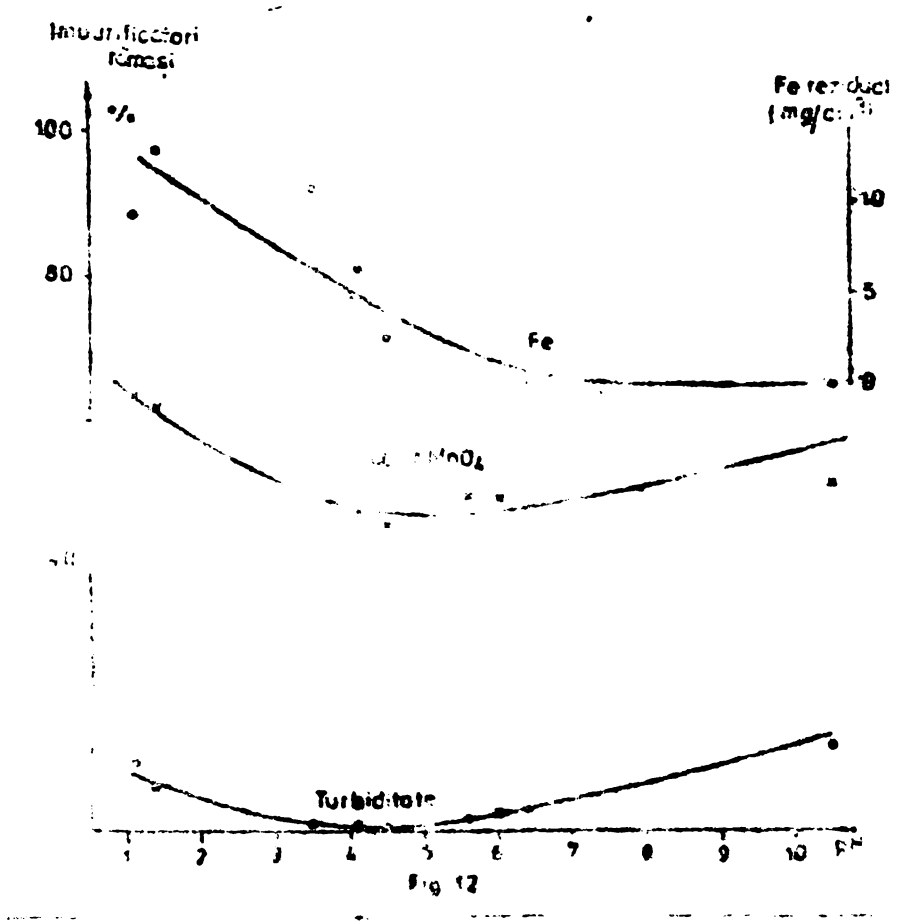
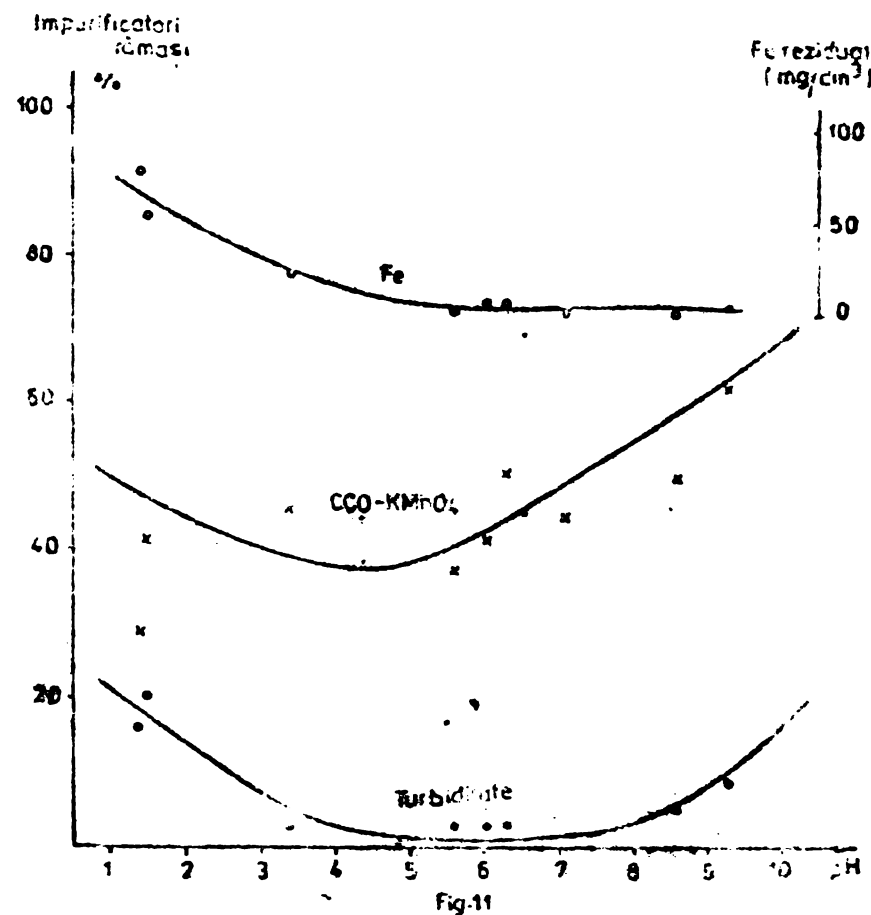
(figura 9 - FERAL C și figura 10 - FERAL C). Se constată că, pentru ambele coagulanți folosiți, domeniul optim de pH este slab alcalin, între 7-8. Numai în aceste condiții se obține o reducere acceptabilă CCO-Mn și o decolorare practic totală; în rîză sau micșorarea pH-ului, fără îndepărtare a CO₂ și a apelor tratate.

În cazul "D", domeniul deplasării la pH este în valul de 6,5-7,5 în cazul coagulanților FERAL C și 5,5-6,5 în cazul coagulanțului FERAL C (figura 11 - FERAL C și figura 12 - FERAL C). Aceste valori se situează sub domeniul optim de pH al coagulanților respectivi, 6,5-7,5 la FERAL C și 5,5-6,5 la FERAL C. Decarecc la aceste pH-uri determinante, hidrcliza nu este to-



tulii - se observă că curba "C" este mai înălțată decât cea a "a". Aceasta rezultă din faptul că reacția de precipitare a sulfurilor este favorizată la pH = 6,0 și încălzirea dăvădă în același mod o contribuție și orice cărui apurătoare ar fi "a" (figura 3), unde valoarea la un pH = 6,0 este de 100% purificare optimă, deci în condițiuni ceeașcă practicale nu poate fi hidrolizată.

In schimb cazuri (apă "a" și "c") și mai mică măsură (apă "b"), acest efect suplimentar se datoră unei precipitații solenonyilor cu sulf, devenită acidulării, fapt semnalat de altfel și de literatură /12.17/... în remarcat că, în fizica chimică, există un plăcăciunea de către care se obține un efect de apurificare maxim. Doar în pH-ul de 6,0 sau mai devătă 6,0, căreia începe hidroliză, se elimină și alte impurițăți solubile care nu rezolvăte în același apă. În continuare se va scrie-



stabilitatea și
degradarea să se întâlnească stabilitatea și
optimea de procesare,
și să se obțină
condiții de
funcționare
optimale.

În figura 12 în
cadrul apărării și
a stabilității
se observă că
timpul de reacție
este deosebit de
scurt comparativ cu
degradarea și obținerea
condiției de
funcționare optimale.

Deoarece
reducerea

este de
multe

într-o altă
față

în cadrul de
degradării

se observă că
potențialul de
degradare este
mai mare și
valoarea sa este
deosebit de mare
căpușă de reacție

în cadrul de
degradării

(degradarea este
deosebit de mare)

în cadrul de
degradării

degradarea este
deosebit de mare

în cadrul de
degradării

degradarea este

deosebit de mare

în cadrul de
degradării

degradarea este
deosebit de mare

în cadrul de
degradării

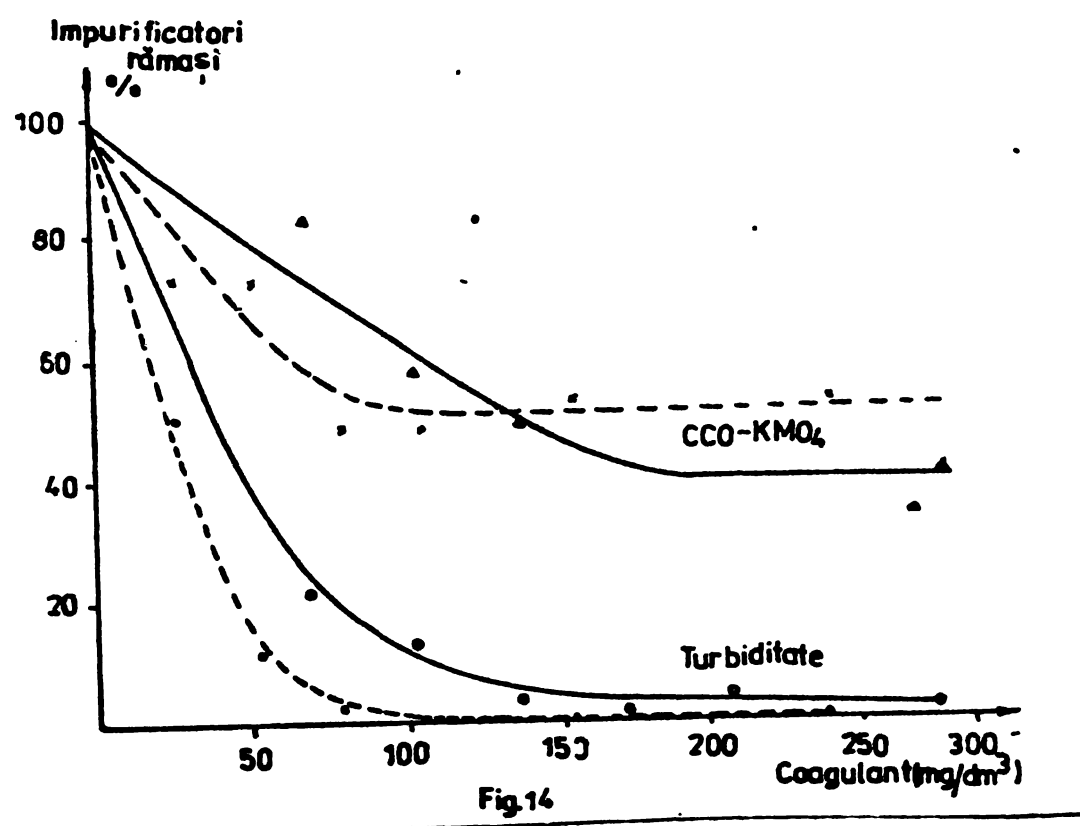
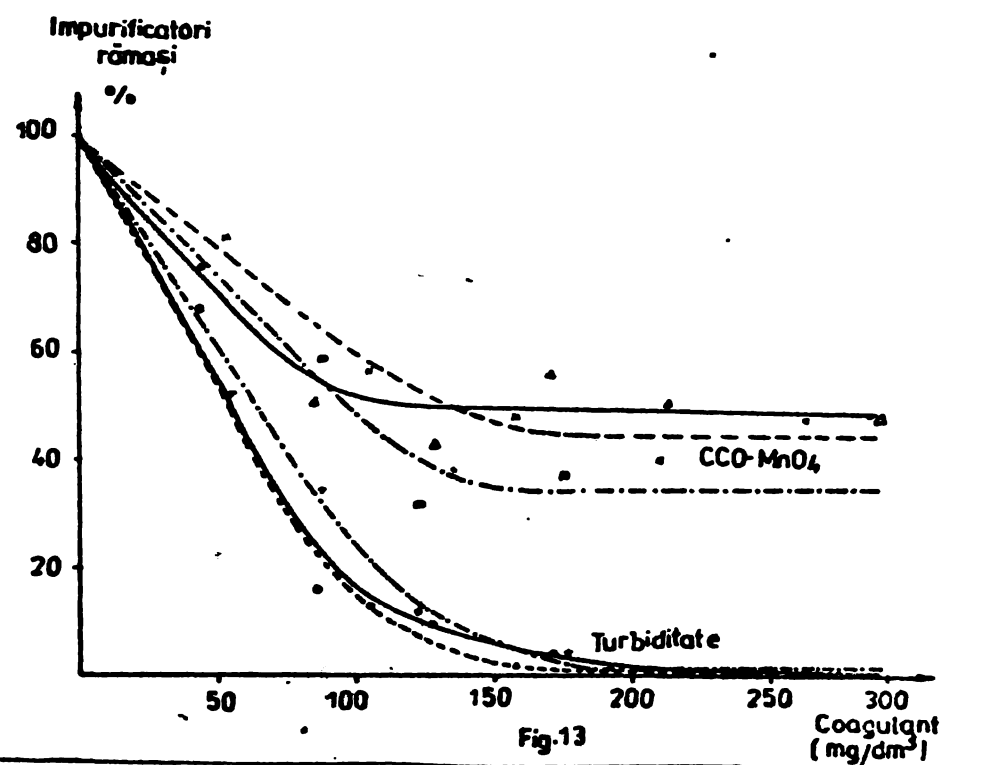
degradarea este

deosebit de mare

în cadrul de
degradării

degradarea este

deosebit de mare



După stabilirea condițiilor optime – doză de reactiv și pH – s-a trecut la studiul vitezei de depunere volumetrică și a unor caracteristici ale nămolului rezultat în proces. Din curbele de sedimentare volumetrică ale apelor "B" (figuri 15), se constată că depunerea este rapidă în cazul ambilor coagulanți, obținându-

valori constante după 20 minute de sedimentare cind suprafața este complet limpede.

Tabelul 5

Apă reziduală stu- diată	FERAL C(mg/dm^3)			FERALTI C(mg/dm^3)			Clorură fe- roasă oxida- tă		
	Fe	Al	Total	Fe	Al	Ti	Total	tă	
"A"	240	15	-	-	-	-	-	-	
"B"	160	10	170	81	58,2	18	157,2	175	
"C"	160	10	170	40,5	29,1	9	78,6	-	
"D"	96	6	102	70	28	10,5	108,5	-	

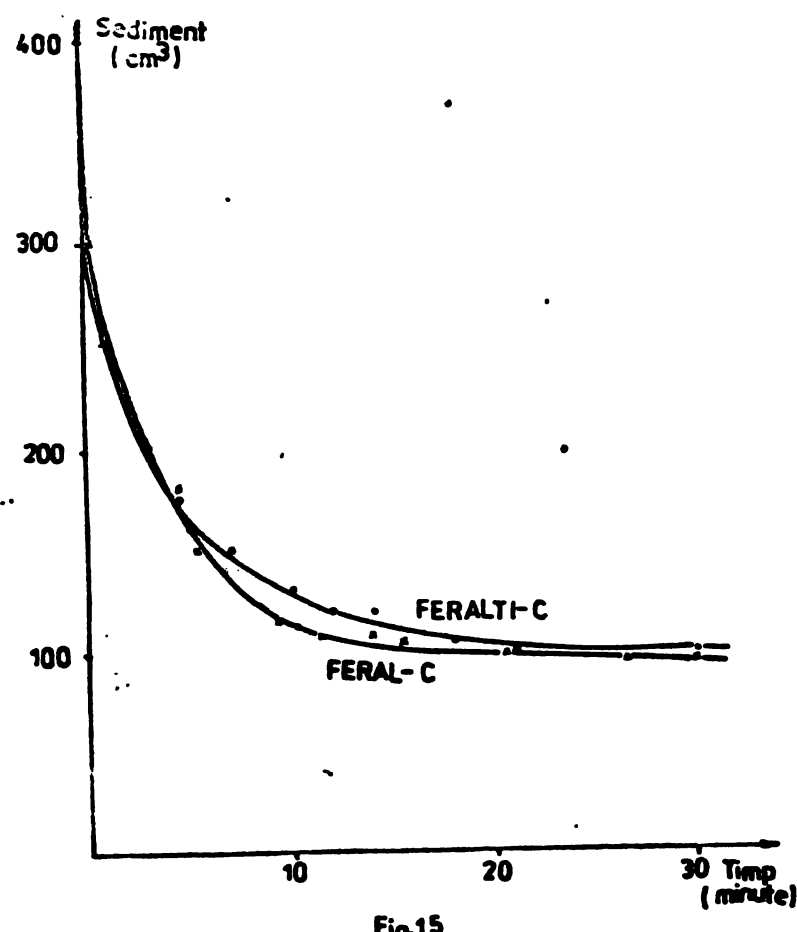


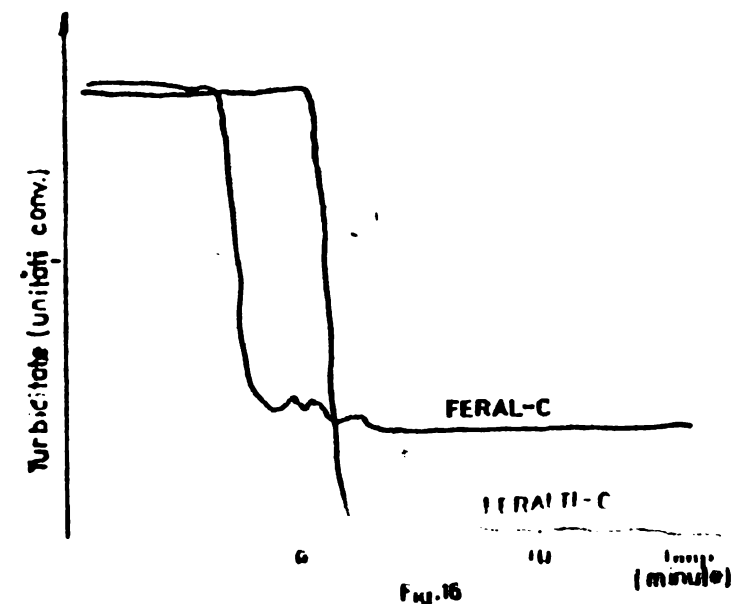
Fig.15

Procesul de sedimentare s-a urmărit și cu ajutorul unui înregistrator prevăzut cu un dispozitiv cu celulele fotoelectrică. Curbele obținute (figura 16) arată că depunerea este mai rapidă în cazul coagulantului FERAL C, în schimb FERALTI C produce o lămpărire mai avansată a apei tratate, fapt confirmat de altfel și de unele experiențe arătate mai încînță (vezi figura 15).

Viteză de sedimentare mai mare în cazul FERAL-ului se explică prin faptul că raportul Fe/Al este mult mai mare decât în cazul FERALTI.

In cazul apelor "B" și "C", tratate cu cantități optime de coagulanți, s-au urmărit, după un timp de sedimentare de 1 oră, cîteva caracteristici principale ale nămolurilor decentate. Resultatele sunt redată în tabelul 6. Se observă că, în cazul ambelor ape, volumul inițial de nămol apos este cu circa 50% mai mic în cazul coagulantului FERAL C, acesta prezentând și un conținut mai redus

d. substanțe minerale.



In continuare se prezintă
încercările cu un polielectro-
lit cationic, în urma căreia
șorării dozei nu sunt de un
ajutant și în urma căreia
procesului de lăptuire... re-
zultatelor experimentale sunt
conținute asupra apelor "A" - rezul-
tatea stabilirea pr. ajutorul coagula-
nt de coagulant - vede rezultatul
în tabelul 2 și în figura 16.

rezultatul este
cu 40% în cazul coagulantului
cu 30% în cazul coagulantului.

de remarcat că depășirea unei anumite doze de polielectrolit, chiar la doze optime de coagulant, nu contribuie la mărirea vitezei de epurare, ci din contră la o impurificare suplimentară a apelor manifestată prin creșterea CCO-Mn.

Tabelul 6

Apa reziduală	Coagulant	Polielectrolit NALCO-600	Caracteristicile nămolului			
			mg/dm ³	Volum initial cm ³	Umiditate %	Substanțe minerale și organice
"A"	FERAL C	-	40	98,84	75,95	24,05
	FERALTI C	-	70	98,61	79,96	20,04
"C"	FERAL C	-	55	99,13	87,67	12,33
	FERALTI C	-	110	98,90	87,60	10,40
"D"	FERAL C	-	45	99,07	75,64	25,36
		0,129	10	98,91	71,75	28,75
	FERALTI C	-	60	98,69	81,82	18,18
		0,129	50	98,57	77,25	22,75

Efectul polielectrolitului asupra vitezei de sedimentare se poate urmări atât în curbele de sedimentare volumetrică (figurile 17,18) cât și din curbele realizate cu ajutorul înregistratorului cu dispozitiv cu cclulă fotoelectrică (figurile 19, 20). Acest efect este mai pregnant în cazul coagulantului FERALTI C.

Tab. 101.2

alk	Concugent	D o z e	Tg Al ²⁺	Suma (mg/g _干)	HALCO 600 oC	Temp. oC	pH neg.	Väri- fclcc.	Turbiditatea lä	CCO-lin (O ₂ ng/dm ³)	Initia- nentă cere %			Redu- nentă cere %	Redu- nentă cere %
											Initia- nentă cere %	Redu- nentă cere %	Redu- nentă cere %		
96	6	-	102	0,516	22	6,5	4	2000	9	99,5	12	95,3	123,3	55,7	- 146 -
				1,032	21	6,1	1		700	61,7	26	98,7	139,9	50,0	
				2,580	22	5,5	1		1,540	23,0	70	96,6	223,8	20,0	
- " FERAL C															
96	6	-	102	0,129	21	6,3	4		23	98,7	26	98,7	159,0	50,0	
80	5	-	85	0,129	21	6,3	4		37	98,1	37	98,1	127,9	54,4	
64	4	-	68	0,129	21	6,3	4	2,000	33	98,5	2,000	96,3	135,9	51,5	
48	3	-	51	0,129	21	6,4	4		64	96,3			143,9	48,7	
0	0	-	0	0,129	21	6,4	4		98	95,1			182,9	34,3	
- " FERAL C															
70	28	10,5	100,5	0,516	20	6,2	3		12	99,3	12	99,3	95,9	65,6	
				1,032	20	6,4	4		11	99,4	2	99,9	104,9	62,4	
				2,580	20	6,5	4	2,000	31	98,4			127,9	54,3	
									22	98,3			160,9	42,0	
									22	98,3			367,8	62,6	
- " FERALI C															
70	28	10,5	100,5	0,129	25	6,1	4		11	99,4			134,9	62,4	
60	24	9	93	0,129	26	6,4	4		15	99,2			111,9	60,0	
40	16	5	62	0,129	26	6,5	4	2,000	23	98,7			127,9	54,3	
20	8	5	31	0,129	26	6,7	4		58	95,7			138,9	45,3	
0	0	0	0	0,129	25	6,5	4		92	95,7			142,9	39,0	

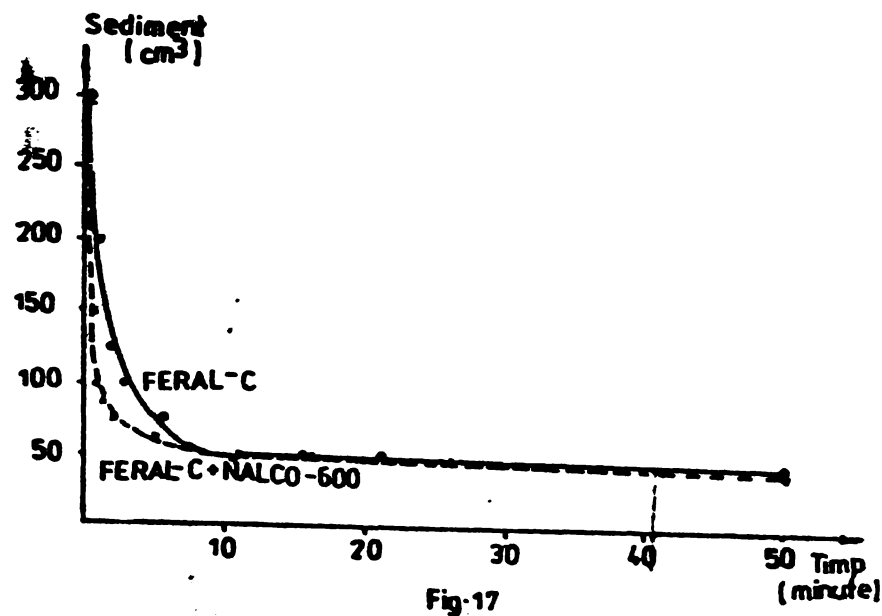


Fig.17

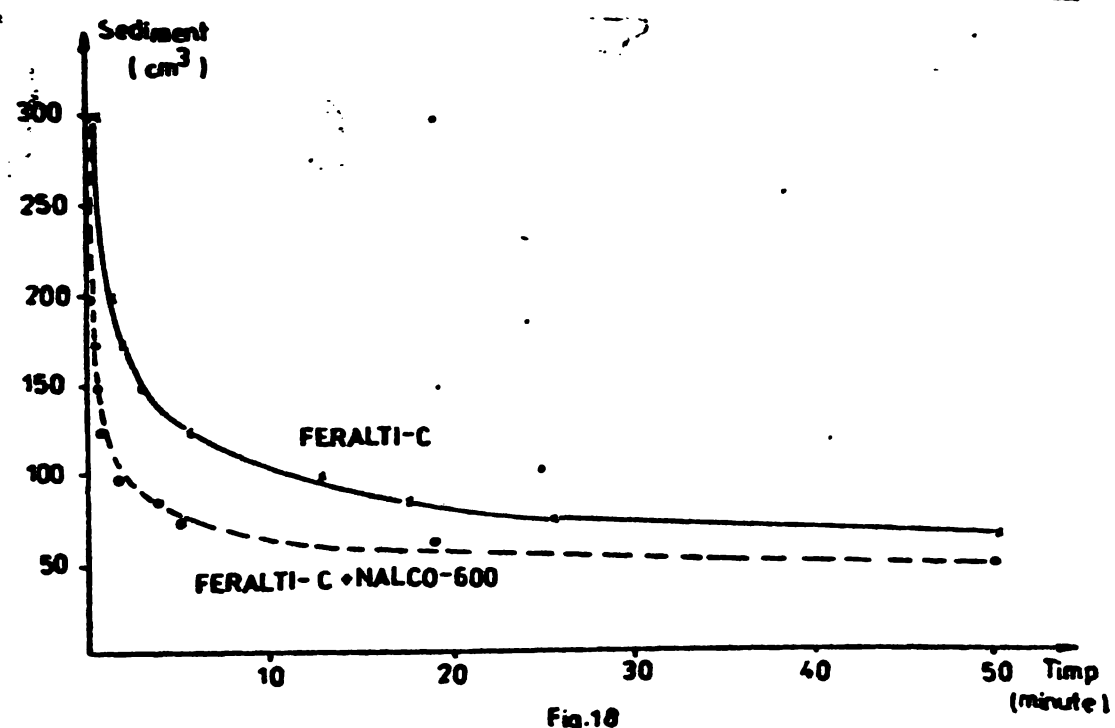


Fig.18

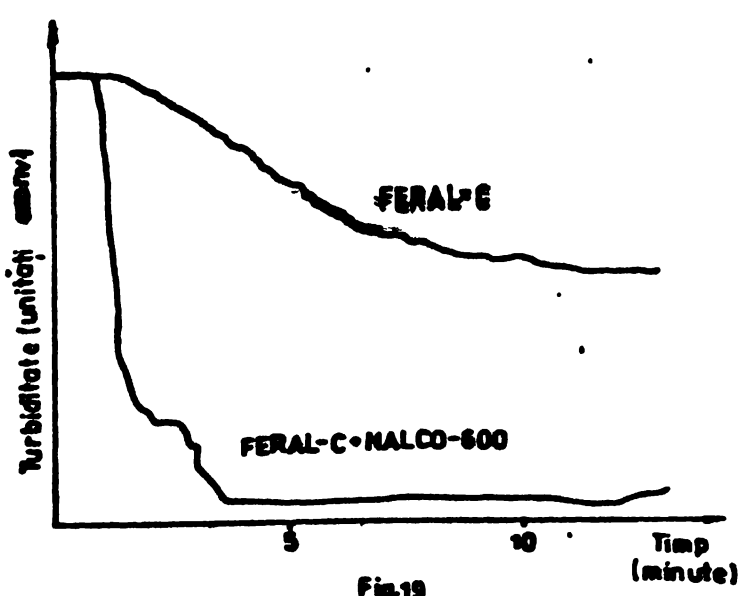
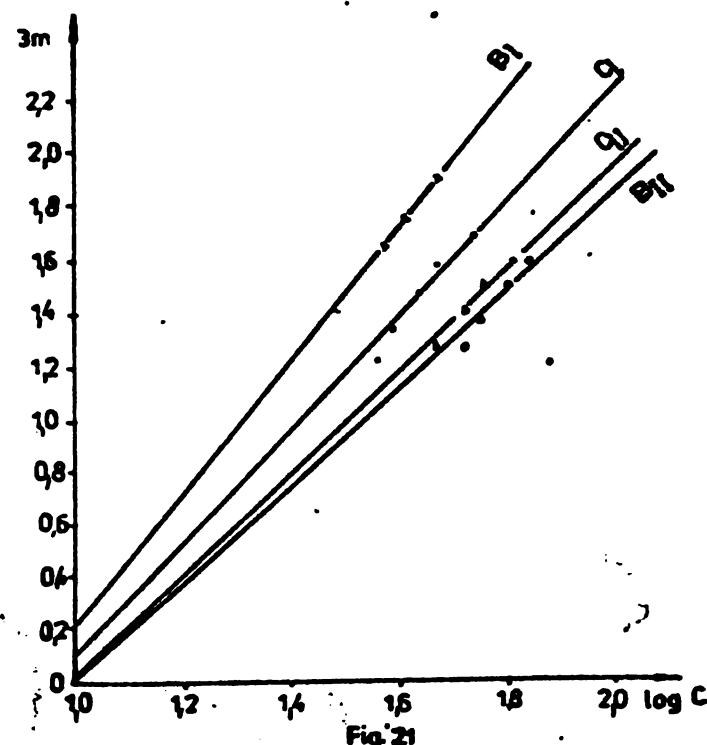
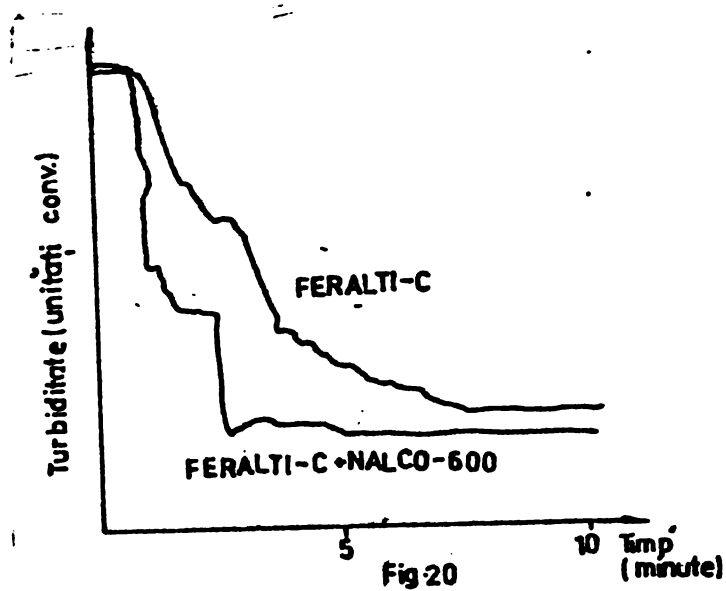


Fig.19

polielectrolitul grăbind sensibil depunerea floculelor.



Datele cuprinse în tabelul 6 arată că adăosul de polielectrolit nu influențează sensibil caracteristicile nămolului, în afara unei ușoare compactări a acestuia.

Avându-se în vedere că la obținerea reactivului FERAL C rezultă ca deșeu zgura de termocentrală epuizată, aceasta poate fi folosită ca adsorbant în scopul micșorării conținutului de substanțe organice din apă. În consecință, apele "L" și "C" coagulate, având un CCO-Mn de $128 \text{ mg O}_2/\text{dm}^3$ pentru apa "B" respectiv de $105 \text{ mg O}_2/\text{dm}^3$ în cazul apei "C", au fost supuse probelor de adsorbție.

Studiile s-au efectuat folosind comparativ cărbune activ și zgură de termocentrală nefiltrată chimic. S-a aplicat metoda statică, timpul necesar stabilirii echilibrului de adsorbție, determinat experimental, a fost

de 10 minute. S-a lucrat la temperatură de 25°C , menținută constantă cu ajutorul unui ultratermostat. Din datele cuprinse în tabelul 8 precum și din izotermele de adsorbție (figura 21) se observă că zgura epuizată are o eficiență doar puțin inferioară cărbunelui activ, producind o scădere a oxidabilității cu circa 60%.

Zgura tratată prezintă avantajul că rezultă ca deșeu chiar la obținerea coagulantului studiat, FERAL C. Timpul de adsorbție relativ scurt ar constitui de asemenea un avantaj la aplicarea metodei.

Table I¹, 8

Apă dezăluș	Adsorbent	Concentrația initială la echilibru CCO₂-lui	log C	$\frac{C}{n}$	log $\frac{C}{n}$	a	$\frac{1}{n}$
<hr/>							
Carbune activ (I)	0,5	53,6	1,72916	148,8	2,17026		
	1,0	47,3	1,67436	69,7	1,90687		
	1,5	41,5	1,61805	57,6	1,76042		
	2,0	37,9	1,57864	45,9	1,65321		
MBII	3,0	37,9	1,57864	33,8	1,47712		
	4,0	37,9	1,57864	22,5	1,25218		
Zsună ne- tratată (II)	1,0	89,4	1,90560	47,6	1,67761		
	1,5	69,3	1,84073	39,1	1,59218		
	2,0	64,3	1,80821	31,8	1,50243		
	2,5	59,6	1,75511	23,7	1,37475		
Zsună trătață (III)	3,0	53,1	1,72509	13,7	1,27134		
	4,0	53,1	1,72509	14,9	1,17219		
	5,0						
Zsună ne- tratată (I)	1,0	55,7	1,74586	49,3	1,69285		
	1,5	47,2	1,67394	38,5	1,58546		
	2,0	44,3	1,64640	30,3	1,48144		
	2,5	39,2	1,59529	24,9	1,34044		
nCII	3,0	36,7	1,56467	17,9	1,23045		
	4,0	36,7	1,56457	12,6	1,12254		
	5,0						

Din studiile efectuate se desprind următoarele:

- coagulanții FERAL C și FERALTI C se pot folosi cu eficiență la epurarea apelor reziduale din industria textilă;

- au fost stabilite condițiile optime pentru coagularea apelor reziduale studiate, realizându-se o scădere apreciabilă a gradului de impurificare. Adăosul de polielectrolit cationic permite micșorarea dozei de coagulant cu 30% și mărește concomitent viteza de sedimentare;

- epurarea poate fi completată, folosind ca adsorbant zgura de termocentrală epuizată, ceea ce permite reducerea în continuare a încărcării organice. Coagularea ca primă etapă a procesului de epurare a apelor reziduale s-a dovedit a fi deosebit de eficientă în cazul apelor rezultate din industria textilă.

7.3. Aplicarea coagulării la epurarea apelor reziduale provenite dintr-o uzină chimică anorganică

Apale reziduale luate în studiu, provenite dintr-o uzină chimică anorganică, au prezentat un caracter puternic acid, un conținut ridicat în suspensii și o cantitate de fosfați. Acești impurificatori pot cauza o serie de neajunsuri /18,19/. Astfel, aciditatea ridicată produce o dogradare a faunei și florii, fosfații pot produce eutrofierea emisarului /20/, iar suspensiile pe lângă o serie de inconveniente cunoscute, pot ca prin simpla lor depunere să sterilizeze fundul albiei, producind astfel dereglarea sau distrugerea completă a ciclului biologic.

Principalele date analitice ale acestor ape au fost următoarele:

- pH = 1,5-2,2;
- suspensii gravimetrice = 96,6 mg/dm³;
- reziduu fix = 2400-2600 mg/dm³;
- turbiditatea = 600-700⁰SiO₂;
- fosfați = 400-480 mg P₂O₅/dm³.

De asemenea în toate probele studiate a fost prezent ars-nul.

In cercetările noastre, întreprinse cu scopul de a elimina impurificatorii principali menționați, am procedat la epurarea acestor ape prin aplicarea neutralizării și a coagulării /21,22/.

Pentru alegerea condițiilor care să asigure, pe de o parte o epurare corespunzătoare, iar pe de altă parte să fie cît mai economic, ne-am orientat către folosirea unor reactivi cu

mai ieftini, cum sunt coagulanții complecși, obținuți din diferite deșeuri.

Astfel am efectuat cercetări folosind coagulanții noștri FERIL, FERALTI C și FERAL C, iar ca reactiv de neutralizare lăptele de var /23,24/.

Primele încercări au urmărit a epurare prin simplă sedimentare. În acest scop apele au fost supuse sedimentării gravitaționale, determinându-se la tempi diferenți turbiditatea remenentă, prin prelevarea unor probe de la o adâncime de 5 cm de la nivelul superior al lichidului (tabelul 9).

Tabelul 9

Nr. probei	Timp minute	Turbiditatea în % față de cea inițială
1	15	74,2
2	30	42,8
3	45	38,3
4	60	36,1
5	75	34,1
6	90	23,9
7	120	17,0
8	180	16,8
9	1440	0

Se observă din datele de mai sus că turbiditatea scade la început foarte rapid, în special în primele 30 minute, apoi această scădere este mai lentă. Se poate considera că din punct de vedere practic sedimentarea se termină în 2 ore.

Asupra suspensiilor, separate din apa brută cu pH = 2,2, s-au efectuat cercetări spectrafotométrice în infraroșu. În figura

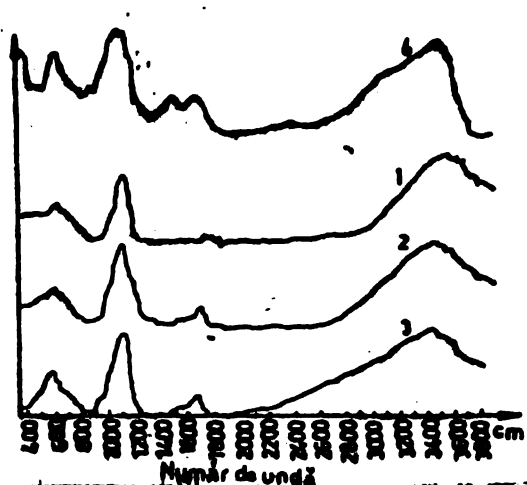


Fig.22

22 spectrul 1 corespunzînd acestor suspensi, prezintă următoarele domenii:
- 560 cm^{-1} , corespunzător vibrațiilor asimetrice de valență PO_4^{3-} ;
- 1080 cm^{-1} , reprezentă vibrațiile de valență simetrice PO_4^{3-} ;
- $1600-1800 \text{ cm}^{-1}$, domeniul de intensitate redusă, corespunzător vibrațiilor de valență HOH;
- $3000-3500 \text{ cm}^{-1}$, corespunzător apei asociate, domeniu mai puțin prelungit spre lungimi de undă mai mari, ceea ce indică cantități mai mici

dă apă asociată;

- $3550-3600 \text{ cm}^{-1}$, domeniu corespunzător apei libere.

Din studiul acestui spectru rezultă că suspensiile sunt compuse în principal din fosfați bazici. Există o cantitate mică de apă asociată și o cantitate destul de mare de apă liberă.

In prima etapă a studiului de epurare propriu-zisă, s-a urmărit efectul produs de neutralizarea apelor reziduale asupra eliminării turbidității și a fosfațiilor. In acest sens s-a lucrat cu cantități variabile de lapte de var. După adăugarea reactivului probele au fost agitate timp de 2 minute cu 300 ture/minut; apoi în continuare 10 minute cu 30 ture/minut. După o sedimentare de 30 minute s-au prelevat probe de supernatant la o adâncime de 5 cm. Ca parametri pentru aprecierea rezultatelor s-au folosit turbiditatea remanentă și conținutul rezidual în fosfați. In tabelul 10 se poate urmări efectul neutralizării în cazul apei cercetate.

Tabelul 10

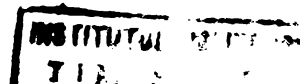
Nr. probei	CaO g/dm ³	pH	Turbiditate % din iniț.	Fosfați rezid. mg P ₂ O ₅ /dm ³	Grad de eliminare a fosfațiilor %
1	0,46	1,7	25.	4	99
2	0,92	2,8	19,8	4	99
3	1,38	5,3	16,7	4	99
4	1,61	7,1	1,9	2,2	99,5
5	1,84	8,2	0	2,4	99,5
6	2,30	12,5	0	2,4	99,5

Datele cuprinse în acest tabel arată că adăosul de lapte de var provoacă o scădere accentuată a conținutului în fosfați, chiar la pH-uri acide. Pentru o eliminare cît mai înaintată a substanțelor în suspensie este necesar a se lucra însă la un pH neutru sau slab bazic. In acest caz sedimentarea decurge destul de rapid, obținându-se supernatantul limpede.

In continuare s-au efectuat încercări cu coagulanții anorganici complecsi, amintiți anterior, lucrindu-se în condiții identice cu cele specificate mai înainte.

Determinările au urmărit influența variației pH-ului și a dozei de coagulant.

In încercările cu coagulantul din cenușă de pirită - FERIL - s-a folosit o soluție a acestuia cu o concentrație de



$104,0 \text{ mg CaO/dm}^3$. În tabelul 11 sunt prezentate datele cu privire la influența pH-ului asupra procesului de epurare.

Tabelul 11

Nr. probăi	Coagulant mg/dm^3	pH	Fosfați $\text{mg P}_2\text{O}_5/\text{dm}^3$	Turbidi- itate % din inițial	Observații
1	46	2,8	3,9	17,6	prezent Cu
2	46	3,8	4,0	19,8	prezent Cu
3	46	4,7	4,5	15,4	prezent Cu
4	46	5,8	3,6	4,3	prezent Cu
5	46	6,3	4,0	4,3	
6	46	7,0	4,5	0	
7	46	7,1	3,3	0,5	
8	46	12,1	3,5	0,3	

Din aceste date se poate vedea că rezultările cele mai bune se obțin la un pH apropiat de domeniul neutru. Deoarece coagulantul conține și cupru, în condițiile pH-urilor acide acesta rămâne în supernatant dar dispără începând de la un pH în jur de 6.

În privința cantității de coagulant, rezultările cuprinse în tabelul 12 arată că micșorarea turbidității ca și cantitatea de fosfați eliminate nu este sensibil influențată de doza de coagulant, cind neutralizarea se face cu lăptă de var, din motivele arătate anterior.

Tabelul 12

Nr. probăi	Coagulant mg/dm^3	pH	Fosfați $\text{mg P}_2\text{O}_5/\text{dm}^3$	Turbiditate SiO_2
1	18,4	6,9	4,0	3
2	27,6	7,1	3,8	2
3	46,0	7,0	3,3	0
4	64,4	6,9	3,5	0
5	92,0	6,3	4,0	0
6	138,0	6,7	4,0	0
7	184,0	6,8	2,5	0

În vederea urmăririi efectelor produse de adosul de calciu, în cadrul proiectului de var, s-a făcut încercare de a aplica adosul în turbiditatea rău. Tehnica de lucru - făst secundară - a fost aplicată în consecările de mai înainte. Rezultatelor obținute sunt prezentate

tabelul 13.

Tabelul 13

Nr. probelor	Agent de neutralizare	Dosea de coagulant mg/dm ³	pH	Turbiditate romantă	Fosfatii mg P ₂ O ₅ /dm ³
1	Na ₂ CO ₃	52,0	7	0	200
2	NaOH	5,2	7	0	155
3	NaOH	13,0	7	0	175
4	NaOH	26,0	7	0	155
5	Ca(OH) ₂	13,0	7	0	4,8
6	NaOH	-	7	0	165

După cum se vede, coagulantul produce un foarte bun efect de micșorare a turbidității, în schimb cantitatea de fosfati necesare puțin, dădorece eliminarea acestora are loc, în cea mai mare parte, prin precipitarea lor sub formă de fosfati insolubili. În cazurile de mai sus cantitatea de fier din coagulant a fost insuficiență pentru realizarea acestei precipitări.

Cercetările efectuate în paralel, prin simpla neutralizare a apelor reziduale cu lapte de var și coagularea acestora cu doze variabile de coagulant și neutralizare cu lapte de var, arată că utilizarea coagulantului micșorează într-o anumită măsură volumul de nămol rezultat (tabelul 14).

Tabelul 14

Nr. probelor	Coagulant mg/dm ³	CaO mg/dm ³	pH	Turbiditate mg SiO ₂	Volum de nămol cm ³
1	-	0,60	7,1	0	105
2	27,6	0,66	6,9	0	100
3	36,8	0,74	6,8	0	85
4	46,0	0,86	7,1	0	85

În continuarea cercetărilor, menținind constantă doza de coagulant (46 mg/dm³) și la un pH neutru, s-au efectuat probe pentru stabilirea duratei de depunere, rezultatele fiind prezentate în tabelul 15.

Să observăm din datele de mai sus că sedimentarea în ceea ce conține coagulant ar trebui rapid.

Tabelul 15

Nr probecă	Timpul minute	pH	Turbiditate % din inițială
1	5	7,1	15
2	10	7,1	11
3	15	7,1	3
4	30	7,0	0

Pentru condițiile optime stabilite, s-a efectuat și un studiu al procesului de sedimentare, prin urmărirea deplasării stratului de flocule, din momentul cînd acesta a ajuns la cota corespunzătoare de 400 cm^3 . (tabelul 16).

Tabelul 16

Timpul secundă	Deplasarea stratului cm^3
60	300
90	180
135	120
240	100
480	80
840	80

Din celă de mai sus se observă că depunerea poate fi considerată terminată după aproximativ 8 minute.

In continuare s-au efectuat încercări de epurare utilizând diferiți polielectroliți cationici și anumi:

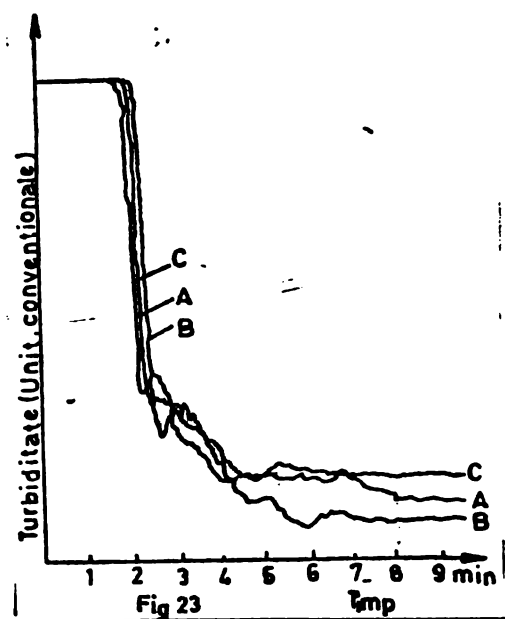
1. Sedipur KA (produs BASF)

2. Poliacrilamidă hidrolizată

Decarece soluțiile diluate ale polielectroliților sunt instabile, au fost preparate pentru fiecare serie de încercări soluții proaspete, cu concentrația de 1 g/dm^3 . Adăugarea polielectroliților s-a făcut la 2 minute de la adăugarea coagulantului și de agitare rapidă, continuând agitarea rapidă încă 1 minut după adăugarea polielectrolițului. Celelalte condiții de lucru au fost identice cu în încercările anterioare.

Rezultatul obținut indică o influență redusă a polielectroliților asupra procesului de epurare. Ca efect pozitiv se poate menționa o îngreunare a floculelor, ceea ce duce la o viteză

d e sedimentare mărită (figura 23).



Sedimentarea a fost urmărită cu un dispozitiv cu înregistrator automat, de tipul celui descris în alte lucrări /23,24/, utilizând probe de apă tratate cu lapte de var (curba A); cu lapte de var și coagulant (curba B); cu lapte de var, coagulant și polielectrolit – Sedipur KA (curba C).

Deoarece cantitatea de nămol care se obține este foarte mare, sedimentarea are loc sub forma unui front de precipitat. De aceea curbele de înregistrare indică viteza de deplasare a acestui front prin fața fascicoului luminos. După trecerea

frontului de precipitat, se ajunge la o fază pe care o vom denumi "fază staționară" de sedimentare, cînd se depun flocculele rămase în urma acestui front.

Ca parametri, pentru studiul eficacității tratării, am luat în considerare viteza de avansare a frontului de precipitat, timpul de avansare a frontului de precipitat, timpul după care se atinge "faza staționară" de sedimentare și turbiditatea remanentă corespunzătoare acestei faze.

Curbele de sedimentare obținute conduc la următoarele concluzii:

- viteza de avansare a frontului de precipitat este ceva mai mică în prezența coagulantului decît în probele obținute prin simplă neutralizare cu lapte de var;

- în urma frontului de precipitat rămîne o turbiditate mai mică la utilizarea coagulantului (24,5% față de inițial) decît în absența lui (32%);

- faza staționară de sedimentare se atinge mai repede la utilizarea coagulantului (cca. 7 minute) decît la probele obținute prin simplă neutralizare cu lapte de var (cca. 8 minute), iar turbiditatea reziduală, după atingerea fazei de sedimentare, este mai redusă la probele la care s-a utilizat coagulant (8% față de turbiditatea inițială) decît la probele fără coagulant (12% față de cea inițială);

- polielectroliții nu influențează prea mult depunerrea

frontului de sediment, dar scurtează mult timpul de atingere a fazei staționare de sedimentare datorită îngreunării floculelor și, în consecință, conducind la un timp mai scurt de sedimentare.

In continuarea lucrărilor noastre s-au efectuat încercări de eliminare a turbidității apelor studiate, folosind coagulantul FERALTI O.

Avându-se în vedere că fierul existent în soluția de coagulant se găsește în mare parte ca ion bivalent, s-a procedat, în prealabil la oxidarea coagulantului cu ajutorul apei de clor.

Ca și în cazul coagulantului din cenușă de piatră, s-a urmărit influența pH-ului și a cantității de coagulant. Condițiile de lucru au fost similară cu cele menționate în încercările anterioare. Rezultatele obținute sunt redată în tabelul 17.

Tabelul 17

Nr. probiei	Doza de coagulant			pH	Turbiditate % din inițială
	Fe	Al (mg/dm ³)	Ti		
1	1,8	5,4	0,06	7,2	8,4
2	3,0	9,0	0,1	6,9	8,2
3	6,0	18,0	0,2	7,3	6,8
4	9,0	27,0	0,3	7,1	0,5
5	12,0	36,0	0,4	7,0	0
6	15,0	45,0	0,5	6,9	0
7				1,7	70,1
8				4,8	31,3
9	9,0	27,0	0,3	5,1	10,0
10				5,8	11,5
11				6,8	0,5
12				12,1	0

Rezultatele studiilor efectuate cu coagulantul FERALTI C relevă capacitatea bună a acestuia de eliminare a turbidității.

In încercările efectuate cu coagulantul FERAL C soluția de coagulant a fost tratată, de asemenea, cu apă de clor în același scop cu cel menționat în cazul de mai înainte.

Cu și în cazurile precedente, nu urmărit și cici influența variației pH-ului și a cantității de coagulant asupra turbidității. S-a lucrat în aceleași condiții.

Din datele obținute (tabelul 18) rezultă că și în acest caz valorile turbidității reziduale sunt acceptabile, în domenii de pH apropiate de neutră și superioare acestuia.

In scopul evidențierii influenței cantității de coagulant s-a urmărit la pH constant (apropiat de domeniul neutră) variația turbidității.

Tabelul 18

Nr. probăi	mg coagulant/dm ³		pH	Turbiditate % din inițială
	Fier	Aluminiu		
1	5,3	0,33	3,2	48,0
2	5,3	0,33	5,8	3,6
3	5,3	0,33	6,2	3,1
4	5,3	0,33	6,9	1,5
5	37,1	2,31	5,8	9,4
6	37,1	2,31	6,0	6,2
7	37,1	2,31	7,6	2,0
8	37,1	2,31	11,0	0

Din datele obținute și consimnate în tabelul 19 se observă că reducerea turbidității se realizează în condiții acceptabile, la o doză de coagulant corespunzătoare probiei nr.1. Adăugul de coagulant contribuie la creșterea vitezei de depunere precum și la îmbunătățirea calității sedimentului care se compactează.

Tabelul 19

Nr. probăi	mg coagulant/dm ³		pH	Turbiditate % din inițială
	Fier	Aluminiu		
1	5,3	0,33	6,9	1,5
2	10,6	0,66	6,8	1,0
3	15,9	0,99	6,8	4,1
4	37,1	2,31	7,6	2,0
5	47,7	2,98	6,3	6,8

Tinând seama de faptul că în toate încercările efectuate nu rezultat importante cantități de nămol, în continuarea studiilor noastre s-au întreprins o serie de încercări asupra acestuia. În acest scop, s-au efectuat încercări de tratare a apei în condițiile optime stabilite anterior la un pH=7 și cu o doză de coagulant FERIL de 46 mg/dm³. După o decantare de 30 minute, volumul nă-

molului depus a fost de 90 cm^3 . S-a sifonat cu precauție supernatantul, efectuându-se apoi determinări asupra nămolului, obținându-se următoarele rezultate:

- umiditate , , , , , 98,7 %
 - substanță uscată la 105°C . , , , , 1,3 %
 - substanță calcinată la 600°C 1,16%

S-a efectuat în continuare un studiu de spectrofotometrie în IR asupra diferitelor tipuri de nămoluri obținute la tratarea apei cu diferiți reactivi.

Spectrele în IR au fost executate cu un spectrograf IR Carl Zeiss Jena, model UR-10, în domeniul de frecvență $400\text{--}4000\text{ cm}^{-1}$.

In figura 22 spectrul 2 redă compoziția nămolului obținut la coagularea apei reziduale cu FERALTI C la pH=7,1 și prozintă următoarele domenii spectrale:

- 560 cm^{-1} , este o bandă intensă corespunzătoare vibrațiilor asimetrice de valență PO_4^{3-} /25/;
 - 1080 cm^{-1} , reprezintă o bandă corespunzătoare vibrațiilor de valență simetrice PO_4^{3-} ; este foarte intensă /26/;
 - $1400 - 1650 \text{ cm}^{-1}$, domeniu corespunzător vibrațiilor de valență Me-OH și NaOH /27,3,28/;
 - $2800 - 3430 \text{ cm}^{-1}$, domeniu corespunzător apei asociate /27,3/;
 - $3550 - 3600 \text{ cm}^{-1}$, domeniu corespunzător apei libere.

Din studiul spectrului rezultă că nămolul este format din fosfați neutri, cu hidroxizi și hidroxizi, aceștia din urmă fiind în cantități relativ scăzute față de fosfați.

Spectrul 3 din figura 22 redă compoziția structurală a nămolului obținut la coagularea aceleiași ape cu coagulantul FERIL la pH=7,4. Spectrul obținut este asemănător celui anterior, putindu-se conchude că nămolul este format tot din fosfați neutri și din hidroxizi și oxihidrați.

În figura 22 spectrul 4 rodă compozită, numărul lui obținut la neutralizarea apei reziduale cu lapte de var. Spectrul prezintă aceleși domenii ca cele de mai sus, precipitatul fiind deci format din fosfați neutri de calciu. Intensificarea benzii de la 1400 cm^{-1} indică un mare număr de legături $\text{Ca}-\text{OH}$, ceea ce presupune prezența hidroxilapatitei în cantitate mare. Fosfații acizi lipsesc.

Studiile de epurare ale unor ape reziduale industriale cu continut de fosfati și suspensii au condus la următoarele (%):

- procesul de simplă sedimentare are drept rezultat o e-

eliminare destul de avansată a turbidității;

- spectrul în IR al suspensiilor separate din apă brută indică drept componente principali ai acestora fosfați bazici precum și prezența unei mici cantități de apă asociată și o cantitate destul de mare de apă liberă;

- tratarea apei cu lapte de var provoacă o scădere accentuată a conținutului de fosfați chiar la pH-uri acide, dar pentru o eliminare cît mai avansată a turbidității este necesar un pH neutru sau slab bazic. Spectrele în IR, efectuate asupra nămolurilor obținute în acest caz, au arătat că acestea sunt formate din fosfați neutri.

Intensificarea benzii de la 1400 cm^{-1} indică un mare număr de legături Ca-OH, ceea ce presupune prezența hidroxil apatitei în cantitate mare. Fosfați acizi lipsesc;

- epurarea apoi cu coagulantii complecsi FERIL, FERALTI și FERAL C produce un foarte bun efect de micșorare a conținutului de fosfați și a turbidității, totodată având loc și o reducere a volumului de nămol format datorită compactizării acestuia. Viteza de depunere este mai mare în cazul utilizării acestor coagulanți;

- spectrele în IR, efectuate asupra diferitelor nămoluri obținute, au indicat un conținut de fosfați neutri, de oxihidroxizi metalici, aceștia din urmă fiind în cantități relativ scăzute față de fosfați;

- polielectroliții folosiți au prezentat doar un bun efect de îngreunare a floculelor ceea ce a condus la o viteză de sedimentare mare, efectul de epurare fiind destul de redus.

7.4. Aplicarea coagulării la epurarea apelor reziduale orășenești

Testările la scară industrială a coagulantului anorganic complex FERALTI I au fost efectuate în stația de epurare a municipiului Timișoara, unde, prin intermediul unui sistem uniter de canalizare, ajung apele menajere și apele uzate industriale de pe raza orașului. Ca o primă caracteristică a acestor ape, se remarcă o proporcionalitate debitului industrial mai mare de cca. 1,5 ori decât debitul apelor reziduale menajere.

Substanțele poluanțe dizolvate, emulsiile și suspensiile de natură calcică sint reținute evident într-o măsură încușionată de tripla mecanică, unică fază de epurare aplicată. Astfel în medie se își păstrează eficiență de cca. 14% pentru CrO_4^{2-} și 600-lm și între 15-40% la suspensiile totale, reduceri care evi-

dent și pot garanta minimul de protecție a calității apelor receptorului. La aceasta se adaugă și faptul că în general stațiile de preepurare ale apelor reziduale industriale fie că funcționează neștisfăcător, fie că se află în stadiul de proiectare sau execuție. Treapta mecanică existentă la stația de epurare, nu este capabilă să retină impurificatori ca: cianuri, fenoli, detergenți, etc., /3a/.

Datorită cauzelor menționate, precum și a gradului de diluție realizabil în canalul Bega, de numai 4:1, în lunile calde, conținutul de oxigen dizolvat scade sub 2 mg/dm^3 .

Calitatea apelor înainte de evacuare la data efectuării încercărilor trebuia să îndeplinească următoarele condiții limite:

- conținut total de suspensii	max, 40 mg/dm^3
- CBO ₅	max, 21 mg/dm^3
- CCO-Mn	max, 60 mg/dm^3
- conținut de cianuri	max, 0,15 mg/dm^3
- substanțe petroliere	max. 0,26 mg/dm^3
- pH	6,5 - 9

În cadrul cercetărilor a fost efectuat în posibil de către colectivul nostru un studiu de laborator al tratării acestor ape reziduale cu coagulantul complex FERALTI S.

Atât pregătirea cât și experimentarea propriu-zisă la cadrul industrială s-a realizat printr-o strânsă colaborare, între specialiștii de la catedra de Bazile Tehnologice Chimice, de la Oficiul de Gospodărire a Apelor și de la Intreprinderea de Gospodărire Comunală Timișoara.

Studiul procesului de coagulare s-a făcut utilizând succesiiv următorii reactivi, pentru a urmări efectul comparativ: sulfat de aluminiu și FERALTI S.

Ca reactivi de alcalinizare s-a folosit laptela de var.

Schema fluxului tehnologic al instalației de epurare a apelor uzate a municipiului Timișoara, cu mici modificări provizorii făcute, pentru administrarea coagulantilor, este prezentată în figura 24.

Din rezervorul 1 și 2 s-au introdus coagulantul, respectiv laptela de var, dezarea realizându-se cu ajutorul unei pompile, stabilite în probabili pentru unele debite aproximative.

Desprechindându-se ușării sorbului pompăi există un strat de uleiuri și grăsimi, a fost necesar să se introducă reactivii cu

pentru unor lezi aproape de fundul râului și în uzele -
prinții cu reactivii adăugăți a parcurs în continuare traseu "6"
figura 24, fiind supusă în final sedimentării finale. Iterație număr
8. Timpul necesar parcurgerii acestui traseu a fost 3-4 minute.

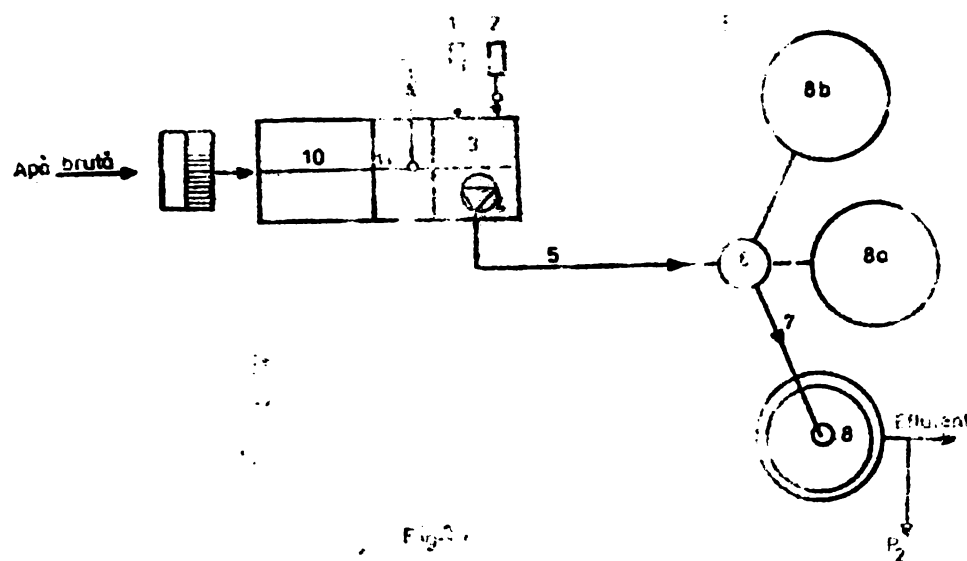


Fig. 24.

Iterație 6.

6.1	Opere și amprente	Alăturat
6.2	Opere de la	Centrul analiză
6.3	Aplicat	lipsit
6.4	Opere de la	centrul analiză
6.5	Opere de la	lipsit
6.6	Opere de la	lipsit
6.7	Opere de la	lipsit
6.8	Opere de la	lipsit
6.9	Opere de la	lipsit
6.10	Opere de la	lipsit
6.11	Opere de la	lipsit
6.12	Opere de la	lipsit
6.13	Opere de la	lipsit
6.14	Opere de la	lipsit
6.15	Opere de la	lipsit
6.16	Opere de la	lipsit
6.17	Opere de la	lipsit
6.18	Opere de la	lipsit
6.19	Opere de la	lipsit
6.20	Opere de la	lipsit
6.21	Opere de la	lipsit
6.22	Opere de la	lipsit
6.23	Opere de la	lipsit
6.24	Opere de la	lipsit
6.25	Opere de la	lipsit
6.26	Opere de la	lipsit
6.27	Opere de la	lipsit
6.28	Opere de la	lipsit
6.29	Opere de la	lipsit
6.30	Opere de la	lipsit
6.31	Opere de la	lipsit
6.32	Opere de la	lipsit
6.33	Opere de la	lipsit
6.34	Opere de la	lipsit
6.35	Opere de la	lipsit
6.36	Opere de la	lipsit
6.37	Opere de la	lipsit
6.38	Opere de la	lipsit
6.39	Opere de la	lipsit
6.40	Opere de la	lipsit
6.41	Opere de la	lipsit
6.42	Opere de la	lipsit
6.43	Opere de la	lipsit
6.44	Opere de la	lipsit
6.45	Opere de la	lipsit
6.46	Opere de la	lipsit
6.47	Opere de la	lipsit
6.48	Opere de la	lipsit
6.49	Opere de la	lipsit
6.50	Opere de la	lipsit
6.51	Opere de la	lipsit
6.52	Opere de la	lipsit
6.53	Opere de la	lipsit
6.54	Opere de la	lipsit
6.55	Opere de la	lipsit
6.56	Opere de la	lipsit
6.57	Opere de la	lipsit
6.58	Opere de la	lipsit
6.59	Opere de la	lipsit
6.60	Opere de la	lipsit
6.61	Opere de la	lipsit
6.62	Opere de la	lipsit
6.63	Opere de la	lipsit
6.64	Opere de la	lipsit
6.65	Opere de la	lipsit
6.66	Opere de la	lipsit
6.67	Opere de la	lipsit
6.68	Opere de la	lipsit
6.69	Opere de la	lipsit
6.70	Opere de la	lipsit
6.71	Opere de la	lipsit
6.72	Opere de la	lipsit
6.73	Opere de la	lipsit
6.74	Opere de la	lipsit
6.75	Opere de la	lipsit
6.76	Opere de la	lipsit
6.77	Opere de la	lipsit
6.78	Opere de la	lipsit
6.79	Opere de la	lipsit
6.80	Opere de la	lipsit
6.81	Opere de la	lipsit
6.82	Opere de la	lipsit
6.83	Opere de la	lipsit
6.84	Opere de la	lipsit
6.85	Opere de la	lipsit
6.86	Opere de la	lipsit
6.87	Opere de la	lipsit
6.88	Opere de la	lipsit
6.89	Opere de la	lipsit
6.90	Opere de la	lipsit
6.91	Opere de la	lipsit
6.92	Opere de la	lipsit
6.93	Opere de la	lipsit
6.94	Opere de la	lipsit
6.95	Opere de la	lipsit
6.96	Opere de la	lipsit
6.97	Opere de la	lipsit
6.98	Opere de la	lipsit
6.99	Opere de la	lipsit
6.100	Opere de la	lipsit

menținut constant, corectarea dozei făcîndu-se după fiecare măsurătoare de debit. De asemenea, datorită faptului că doza inițială de FERALTI a fost stabilită pe baza debitului zilei anterioare, în primele cre de experimentare din ziua de 17.02., a existat un subdozaj, debitul influent fiind mult mai mare.

Tabelul 2c

Nr. probelor	Data	Felul reactivului	Debit mediu apă uzată	Doza medie de reactiv în ioni activi mg/dm^3	Timp de staționare în decantor
1	16.02	Sulfat de aluminiu	204	22,8	20,8
2	17.02	FERALTI S	262-278	10,0	2,1-2,2

Din rezultatele probelor cuprinse în tabelul 21 se constată variații ale pH-ului, acesta situîndu-se în anumite perioade sub valorile optime pentru buna desfășurare a procesului de coagulare cu FERALTI. Acëst fapt s-a datorat dificultăților de dozare a laptei de var, cu instalația improvizată folosită pentru administrarea reactivilor, precum și variațiilor amintite de debit.

Tabelul 21

Nr. probelor	Data	Ora prelevării	Temp. apei $^{\circ}\text{C}$	pH	
				inițial	final
1		10		6,4	-
2	16.02	11	10,5	6,4	-
3		12		6,4	-
4		12		-	6,8
5	16.02	13	10,5	-	6,8
6		14		-	6,7
7		7		6,7	-
8		8	14	6,9	-
9		9		6,9	6,8
10		10		7,2	6,4
11	17.02	11	14	7,2	7,2
12		12		6,8	7,1
13		13		6,8	7,1
14		13,30		-	7,2
15		14		-	7,2

Totuși în anumite intervale de timp s-a reușit să se mențină pH-ul în limite corespunzătoare (tabelul 21).

După cum s-a menționat, o primă condiție limitativă pentru efluentul stației se referă la consumul chimic de oxigen, determinat cu ajutorul KMnO_4 . Rezultatul privitoro la acest indicator sunt redate în tabelul 22.

Tabelul 22

Nr.	Efic.	<u>Coagulant sulfat de aluminiu</u>		<u>Coagulant FERALTIS</u>		cere	P ₁ % mg O ₂ /dm ³	P ₂ % mg O ₂ /dm ³	tată(P ₂) % mg O ₂ /dm ³
		P ₁ % mg O ₂ /dm ³	P ₂ % mg O ₂ /dm ³	cere					
1	14	73,1	56,9	22,0	137,5	71,9	48,0		
2	14	75,2	57,8	23,0	137,7	71,6	48,0		
3	14	79,5	60,4	24,0	120,7	85,0	30,0		

Rezultatele prezentate în tabelul 22 cuprind probele care s-au prolovut în perioadele de timp când regimul de funcționare s-a putut menține aprox. constant și ținând seama și de timpul de staționare al apei în decantor, menționat mai înainte.

Comparind eficiența actuală a stației de epurare cu rezultatele privind utilizarea reactivilor de coagulare se constată o evidentă îmbunătățire, mai ales în cazul coagulantului FERALTI. Este de menționat, de asemenea, că în privința celor doi coagulanți doza de FERALTI a reprezentat aproximativ 44% din cea de sulfat de aluminiu, concomitent cu un timp de sedimentare cu 23% mai mic.

Un alt indicator urmărit a fost conținutul în suspensii, tabelul 23, respectiv turbiditatea apei, tabelul 24, ținându-se cont de timpul de staționare al apei în decantor.

Tabelul 23

Nr.	Reduc.	<u>Sulfat de aluminiu</u>		<u>FERALTI S</u>		P ₁ % mg/dm ³	P ₂ % mg/dm ³	P ₁ % mg/dm ³
		P ₁ % mg/dm ³	P ₂ % mg/dm ³	FERALTI S	P ₂ % mg/dm ³			
1		436	63	85,5	421	-	-	-
2	15-40	368	61	83,5	367	-	-	-
3		470	92	80,5	436	53	86,	

Tabelul 24

Nr.	apă brută	<u>Sulfat de aluminiu</u>		<u>FERALTI S</u>		apă brută	apă tratată	apă tratată
		SiO ₂ %	SiO ₂ %	FERALTI S	SiO ₂ %			
1	580	55	90,5	380	45	81,5		
2	460	52	88,4	380	39	90,0		
3	500	58	88,5	380	44	88,7		

Folosirea reactivilor de coagulare produce o considerabilă îmbunătățire a procesului de reținere a suspensiilor, inclusiv a

celor colloidale, de minim 80%, în comparație cu tratarea mecanică aplicată în prezent cînd se atinge maxim 40%. Mai pregnant se manifestă efectul în cazul turbidității apei, cînd se ating eficiențe de cca. 90%. Deși atît micșorarea turbidității cît și a conținutului de suspensii este aproximativ egală, în cazul ambilor coagulanți, avantajul reactivului FERALTI apare net, dacă se ține seama, că în acest caz s-a utilizat o doză de numai 10 mg/dm³, adică cca. 44% din doza de sulfat de aluminiu (de 22,8 mg Al/dm³), obținindu-se concomitent un timp de sedimentare sensibil mai redus.

Conținutul de fosfați, relativ important în cazul efluentei rășenesc al municipiului Timișoara, s-a urmărit prin recoltări de probe medii, în mod continuu. Rezultatele obținute sunt date în tabelul 25.

Tabelul 25

Nr. probei actuală	Eficiență %	Sulfat de aluminiu		FERALTI S	
		Amonte Aval	Reducere %	Amonte Aval	Reducere %
		mg PO ₄ ³⁻ /dm ³	%	mg PO ₄ ³⁻ /dm ³	%
1	.	5,00	1,0	80,0	13,2 2,4 82,0
2	max. 20%	5,00	1,4	72,0	8,0 2,6 67,5
3		4,45	1,6	64,0	8,6 2,4 72,0

Eficiența eliminării fosfaților este comparabilă cu datele din literatură, variind pentru sulfat de aluminiu între 64-80%, iar pentru FERALTI între 67-82%.

Recoltarea continuă aplicată pentru determinarea acestui indicator a reprezentat pe de altă parte un control suplimentar al desfășurării experimentării. Astfel, s-a pus în evidență o perioadă de dozaj insuficient al laptei de var, ceea ce a determinat o eficiență de reținere a PO₄³⁻ de numai 49%. Trebuie subliniat că rezultatelor aproape egale în cazul celor doi coagulanți, pentru eliminarea fosfaților, s-au realizat pentru coagulantul FERALTI cu doze sensibil mai reduse decât cele necesităte de sulfat de aluminiu.

Variatiile alcătorii ale conținutului de detergenți (tabela 26) nu au permis tragerea ușor concluziei certe privind posibilitatea de reținere a acestora. Într-adevăr, hidroliza triplifosfatelor (ingredientele cele mai importante în formulele detergentelor indigeni) are loc deabia după cca. 3 ore.

Procentajă în concentrație mai ridicate a detergentilor

mai în perioadele experimentării (concentrații care au atins 8,32 respectiv 4,65 mg/dm³ tabelul 20) au avut o influență negativă asupra procesului de coagulare, substanțele tensioactive adsorbindu-se pe suprafața suspensiilor, modificînd unele proprietăți ale suprafeței solidului, ca de ex. capacitatea de aglomerare.

Tabelul 26

Nr.	Sulfat de aluminiu		FIRALTI	
	Amonte detersenți	Aval deterg.	Amonte deterg.	Aval deterg.
	mg SA/dm ³	mg SA/dm ³	mg SA/dm ³	mg SA/dm ³
1	5,12	4,46	4,65	3,30
2	7,04	7,02	4,30	4,16
3	8,32	4,78	4,92	5,28

Atât în apa brută cât și în cea tratată, s-au determinat unii indicatori bacteriologici de impurificare (tabelul 27). Se constată că în special reactivul FIRALTI asigură o micșorare considerabilă a numărului de germeni.

Tabelul 27

Indicatori urmăriți	Sulfat de aluminiu		FIRALTI S		
	apă brută	apă tratată reduc. %	apă brută	apă tratată reduc. %	apă tratată reduc. %
germeni tot. nr/cm ³	53680	18710	44	291330	22277
				364000	34266
				164500	13263
germeni				170000	17000
coliformi nr/dm ³	46000	17200	62,5	220000	26000
				170000	15000

Din analizele sumare efectuate asupra caracteristicilor nămclurilor rezultate după tratarea chimică (tabelul 28), comparațiv cu date pentru nămcul netratat, rezultă că aportul de substanțe minerale nu este prea mare, acesta explicîndu-se prin aglomerarea unor importante cantități de substanță organică la nivelul floccanelor.

Prezența anionului SO₄²⁻, în compozitia coagulantului FIRALTI este avantajcasă și prin eliminarea în anumită măsură a efectelor toxice ale metalelor grele conținute de apă uzată, (Cr, Ni, Zn, Cu, Fe, etc.,) din aportul de debit industrial, prin reducere la sulfuri, în condițiile mediului anaerob din ucișantă și precipitarea metalelor grele menționate, ca sulfuri insolubile. Toxicitatea acestora asupra

bacteriilor metanice este astfel sensibil diminuată. De altfel, adăugarea de sulfati în nămolul supus fermentării metanice, în prezența unor metale toxice, reprezintă deja o practică utilizată în multe țări, cu bune rezultate.

Tabelul 28

Nr. crt.	Caracteristica	Nămol		
		Ne trata	Tratat cu $\text{Al}_2(\text{SO}_4)_3$	Tratat cu FERALTI
1.	Grupele specifică relativă	1,0062	1,009	1,017
2.	Umiditate, %	98,3	92,8	92,4
3.	Substanță uscată, %	1,7	7,2	7,5
4.	Minerale, % din substanță uscată	35,5	36,2	36,6
5.	Substanță volatile, % față de substanță uscată	64,5	63,8	63,4
6.	pH	5,7	-	5,9
7.	Fe total, mg/dm ³	0,6	-	8,7

Datorită prezenței în mici cantități în materie primă din care se obțin coagulanții, și unor elemente nocive cum ar fi Zn, Pb, Mn, sau Cu, cercetările întreprinse au fost îndreptate și spre decolare acestea în apa tratată cu coagulanții anorganici complecsi. Pentru aceasta au fost folosite metodele analitice curente pentru determinarea acestor elemente în concentrații mici.

Testele efectuate asupra coagulanților compleksi la pH de coagulare pînă la 7,5 nu au indicat prezența acestor elemente.

Respectând pH-ul de coagulare și menținîndu-l în domeniul neutru elementele nocive amintite nu pătrund în apa epurată.

Din experimentările efectuate la stația de epurare a apelor uzate din municipiul Timișoara se pot desprinde următoarele concluzii:

1. Utilizarea reactivilor de coagulare sulfat de aluminiu respectiv FERALTI asigură o eficiență mult sporită, în comparație cu epurarea mecanică aplicată în prezent (tabelul 29).

Tabelul 29

Indicatori de impurificare	Reducere procentuală		
	Epurare mecanică	Sulfat de aluminiu	FERALTI S
CCO-În	14	22-24	40,0
Suspensiile totale	15-40	80,5-85,5	86,7
Turbiditate	-	80,4-90,0	88,5-90,0
Nr. de germani	-	44	91-92
Germani coliformi	-	62,5	93-98
Fosfați	20	80	82
Mirosul	se menține	-	dispare practic

ACESTE efecte mult îmbunătățite s-au obținut în condiții de experimentare dificile și mult diferite de cele optime și anume:

a. debitul de apă uzată și dozele de coagulant și de lapte de var au fost greu de urmărit în instalația improvizată cu care s-a lucrat;

b. necesitatea administrării coagulantului sub sortul pompei, ceea ce a dus la condiții destul de improprii de amestecare;

c. datorită construcției canalului de fugă și a distribuitorului a fost stînjenit procesul de formare a floculelor și în anumite puncte a avut loc chiar fărîmitarea celor formate;

d. timpul de reacție, necesar formării floculelor înaintea întrării în decantor, nu a putut fi asigurat în instalația existentă;

e. decantorul radial nu este construit pentru aplicarea acestui procedeu fizico-chimic;

f. separatoarele de grăsimi nu au funcționat, ceea ce a condus la consumuri suplimentare de reactivi.

2. Oxidabilitatea chimică cît și conținutul de suspensii în apa tratată cu reactivi chimici se apropie mult de condițiile limită impuse pentru perioada următoare de dezvoltare (tabelul 30).

Tabelul 30

Indicator	Prevăzut 1975-1980	Realizat prin trat. fizico-chimice	
CCO-Mn mg O ₂ /dm ³	60	56,9 - 57,8	71,6 - 71,9
Suspensii mg/dm ³	40	61 - 63	56

Avîndu-se în vedere condițiile improvizate de experimentare, specificate mai sus, se poate admite că, în condiții corespunzătoare de aplicare a coagulării, aceste limite se pot atinge. Este de remarcat, după cum rezultă din datele cuprinse în tabelul 22, că apă uzată a prezentat o impurificare mai accentuată în timpul experimentării cu FERALTI, astfel încît eficiența reală a acestuia deține loc în măsură și mai mare pe cea obținută cu sulfatul de aluminiu.

3. Comparând efectele celor doi coagulanți experimentați rezultă că reactivul FERALTI asigură o eficiență mai bună dacă sulfatul de aluminiu (tabelul 31).

Resultatul redat în acest tabel arată că reactivul FERALTI realizează efecte de epurare mai bune, sau cel puțin

Folosind însă doze mult mai mici, chiar în condiții de sedimentare și de calitate a apei mai nefavorabile.

4. Analizele bacteriologice arată că utilizarea reactivului FERALTI permite o micșorare în jur de 90% a indicatorilor de impurificare bacteriologică.

5. Analizele efectuate asupra probelor de nămol tratat comparativ cu indicatorii fizico-chimici ai nămolului ne tratat,deși nu permit concluzii certe, conduc la ideea că eventuala îmbunătățire a caracteristicilor nămolurilor tratate, supuse ulterior fermentării metanice, nu ar influența negativ calitatea procesului, ci ar determina în ceea ce măsură majorarea volumului util al instalației, prin aportul de substanță minerală, nefermentabilă.

Tabelul 31

Tipul coagulantului	Doza mg ioni/dm ³	% din doza de $\text{Al}_2(\text{SO}_4)_3$	Timp, dozare	Flux- Tur- Ir.	CCO-Mn pen-	bidi-Cali-	sii tate germ.
	100%		ore	=			Reducere %
Sulfat de aluminiu	22,8	100	2,8	22-24	80,5- 85,5	88,4- 90,5	62,5- 44
FERALTI S	10,0	44	2,1-2,2	48,0	86,7	88,5- 90,5	90/91

Trebui să se remarcă faptul că în general caracteristicile apelor brute intrate în stația de epurare în ziua experimentării cu sulfat de aluminiu au fost mai bune la aprox. toți indicatorii cercetați, mai ales CCO-Mn, decât în ziua experimentării coagulantului FERALTI. Apare astfel evidentă superioritatea acestui reactiv și pentru cazuri de impurificare mai avansată.

În concluzie, rezultă posibilitatea îmbunătățirii considerabile a eficienței stației de epurare a municipiului Timișoara prin tratarea apelor cu reactivul FERALTI, într-un flux tehnologic adaptat acestui procedeu fizico-chimic de tratare.

7.5. Folosirea polielectroliților indigeni la tratarea apelor de suprafață

7.5.1. Polielectroliți anionici și polimeri nașteri

Eficiența coagularii trebuie apreciată în stîrșor legătură și cu celelalte faze ale proceselor de tratare și de epurare a apelor (decantare, filtrare), acordîndu-se o atenție deosebită proprietăților flăculilor: densitate, stabilitate, compresibilitate, filtrabilitate.

În privința îmbunătățirii calității flocculelor, se poate con-

tribuție a avut-o descoperirea adjuvanților de coagulare, cu o sigură formarea unor flocule mari, dense și grele.

Utilizarea adjuvanților de coagulare în tehnologia apelor datează din 1936 și î se datorează lui Baylis, care a utilizat în acest scop "silicea activă".

După descoperirea lui Baylis, numărul adjuvanților de coagulare a crescut vertiginos într-un timp foarte scurt. Adjuvanții de coagulare sintetici au fost descoperiți relativ târziu, în jurul anului 1950, dar producția lor a crescut rapid și s-a diversificat foarte mult. Au fost denumiți polielectroliți (de la polimeri electroliți) sau flocculanți. Ei se obțin prin polimerizare, au masă moleculară mare și grupe funcționale ionizabile. În funcție de aceste grupe active, se pot împărtăși în polielectroliți anionici, catiонici și polimeri neionici (care nu prezintă grupe funcționale ionizabile).

Pot fi utilizati singuri sau împreună cu alți agenți de coagulare și sunt eficienți, atât pentru coagularea și flocculara particulelor coloidale, cât și pentru condiționarea nămolurilor.

Polielectroliții anionici conțin grupări ionizabile cu sarcină negativă și au grupări moleculare de ordinul milioanelor. Sunt adjuvanți tipici de coagulare, determinând mărirea dimensiunilor particulelor în suspensie în majoritatea cazurilor independente de pH-ul, turbiditatea, duritatea apei /31,36/.

Mecanismul de acțiune al polielectroliților depinde de compozitia lor chimică și de caracterul ionic al grupelor active.

Polimerii anionici și neionici se aderă probabil de particulele coloidale și în continuare se formează punți de legături, care conduc la împânzirea și destabilizarea sistemului coloidal /32/.

Unele din fenomenele implicate în procesul de coagulare sunt influențate de configurația în soluție a polimerului, de viteza de difuziune și de transport, de mărimea și de forma moleculei de polimer.

Un polimer neutru, liniar, flexibil, poate să ia, prin rotire în jurul legăturilor simple, crice configurație compatibilă cu lungimea legăturilor fixe, cu unghiurile respective și cu crice restricție sterică posibilă.

Intr-un polimer liniar ionizat, devenit poliion, toate configurațiile compatibile cu caracteristicile sale sunt crice răsunăabile.

Respingerea dintre sarcinile de același fel din poliioni

cauzează variația entalpiei libere pentru diferite configurații. Astfel, entalpia liberă a configurațiilor compacte este relativ mare față de entalpia liberă a moleculelor desfășurate /33/.

Într-o soluție cu constantă dielectrică mare, polielectroliții tind să adopte o configurație întinsă (descolăcitată).

Domeniul de acțiune al forțelor de respingere între diferențele grupă ionice ale unui polimer depinde de cărăuția ionică a soluției, datorită existenței dublului strat difuz de contraioni din jurul polionului. Contraionii stratului difuz acționează ca un scut care reduce raza efectivă de respingere dintre segmentele de aceeași sarcină ale unui polimer. La soluții cu concentrație mică, numărul absolut de contraioni atrași de polimer fiind foarte mic, protecția lor este insuficientă pentru a preveni respingerea dintre grupele ionizate ale polionului și în consecință apără o configurație destinsă, descolăcitată.

La concentrații ionice mari, numărul contraionilor atrași de polionii este mare și prin urmare domeniul efectiv de acțiune al forțelor de respingere este micșorat. Segmentele ionizate se vor apropia în acest caz mai mult unele de altele, rezultând o configurație compactă.

O descriere calitativă, reprezentată grafic, a influenței cărăuției ionice asupra configurației polielectrolitului în soluție, este redată în figura 25.

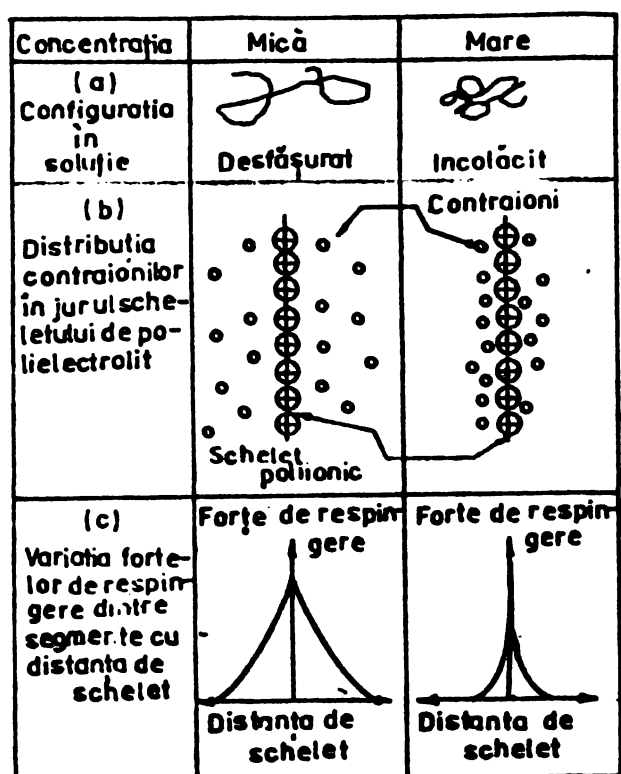


Fig.25

Determinarea eficienței polielectroliților anionici și al polimerilor neionici de tip Medasol (elaborați de ICPAO-Medias) în procesul de coagulare sunt următoarele:

Polimerii Medasol sunt produși macromoleculari pe bază de acrilamide, având grupe ionizabile în cazul polielectroliților anionici și cationici și fără grupe ionizabile în cazul polimerilor neionici.

Cele mai reprezentative produse Medasol testate au fost: Medasol TA 2400, neionic, cu masă moleculară medie; Medasol TA 7500, cationic, cu masă moleculară mare; Medasol TA 2400

cu masă moleculară medie; Medasol TA 7530, anionic, cu masă moleculară mare.

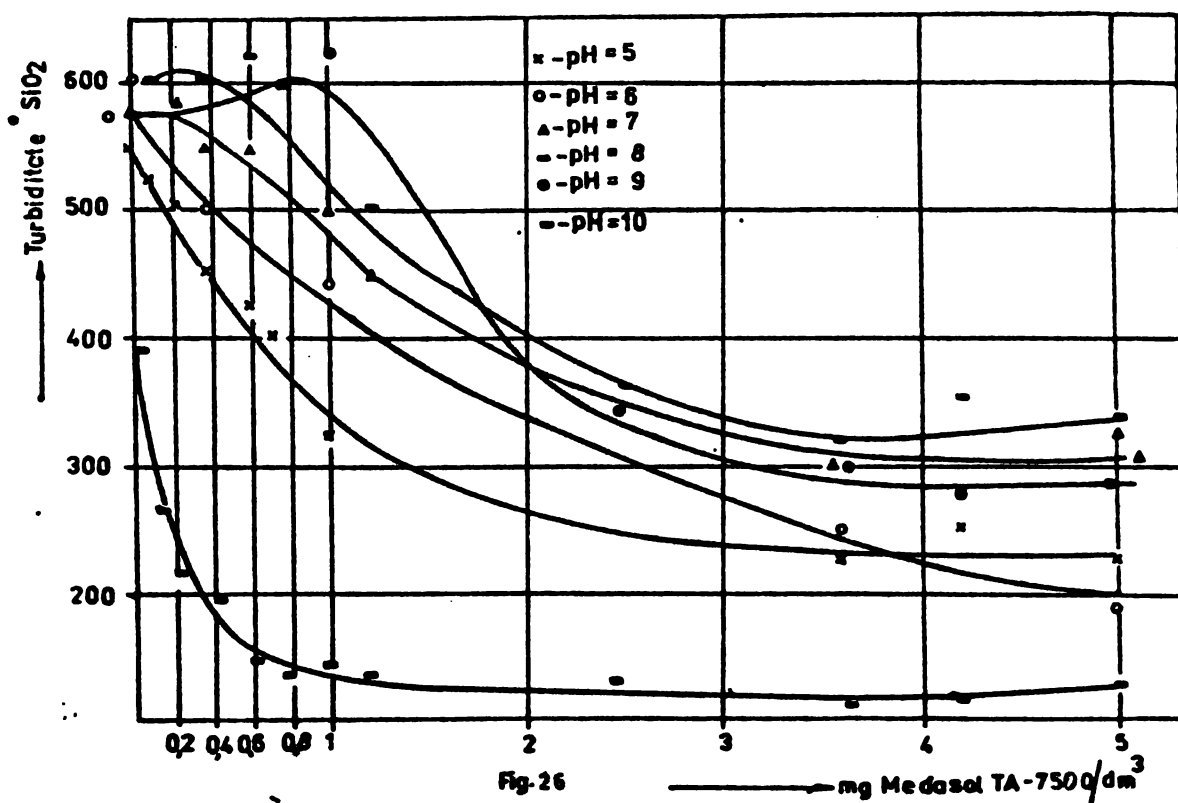
Rezultatele obținute la coagularea cu polielectroliți, utilizati atât ca și coagulanți cît și ca adjuvanți de coagulare, au fost comparate cu cele obținute la coagularea cu sulfat de aluminiu.

Studiile experimentale de coagulare au fost efectuate după metoda Jur-test. Doza optimă de coagulant s-a considerat aceea pentru care turbiditatea reziduală a fost de 10^0SiO_2 .

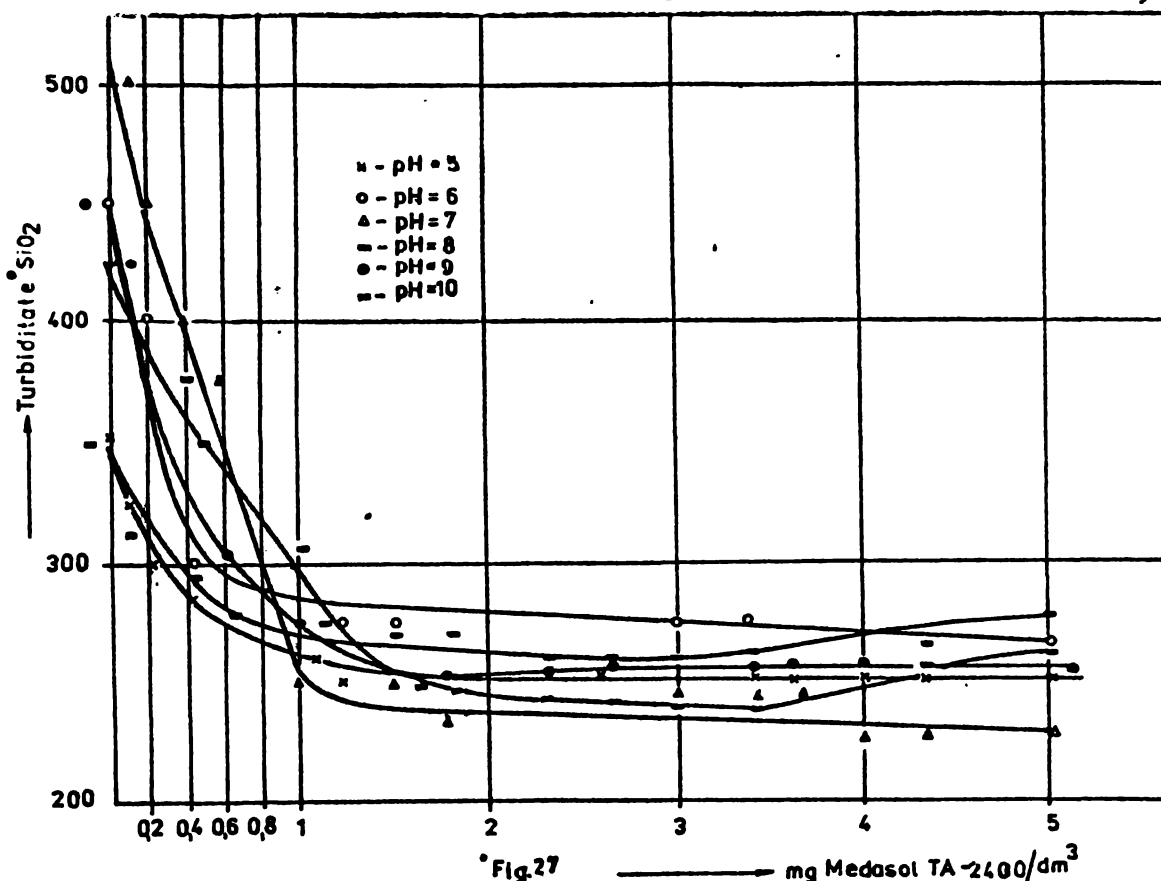
In condițiile optime, astfel stabilită, s-au efectuat determinări atât asupra calității supernatantului urmărindu-se turbiditatea, oxidabilitatea, potențialul zeta (PZ), curba de sedimentare gravimetrică, cît și asupra nămolului rezultat, pentru care s-au determinat rezistența specifică și coeficientul de compresibilitate, care exprimă cantitativ proprietățile de filtrare ale nămolurilor și care reprezintă parametri determinanți în alegerea procedeelor de condiționare și deshidratare a acestora.

Primul set de determinări a urmărit stabilirea eficienței coagulării folosind doar polielectroliți de tip Medasol. Au fost utilizati polielectroliți anionici și polimeri neionici cu masă moleculară mare (seria 75) și medie (seria 24) ca reactivi de coagulare la probe de apă cu turbidități cuprinse în domeniul $112-118 \text{SiO}_2$.

Din figurile 26 și 27 se observă că în cazul utilizării



polimerizărilor neionici Medasol 7500 cu masă moleculară mare, respectiv Medasol 2400 cu masă moleculară medie, la tratarea unei ape de suprafață cu o turbiditate inițială (T_i) de 812°SiO_2 , s-a obținut o reducere a turbidității pînă la 120°SiO_2 , respectiv 250°SiO_2 , adică cu aproximativ 70-85% față de turbiditatea inițială.

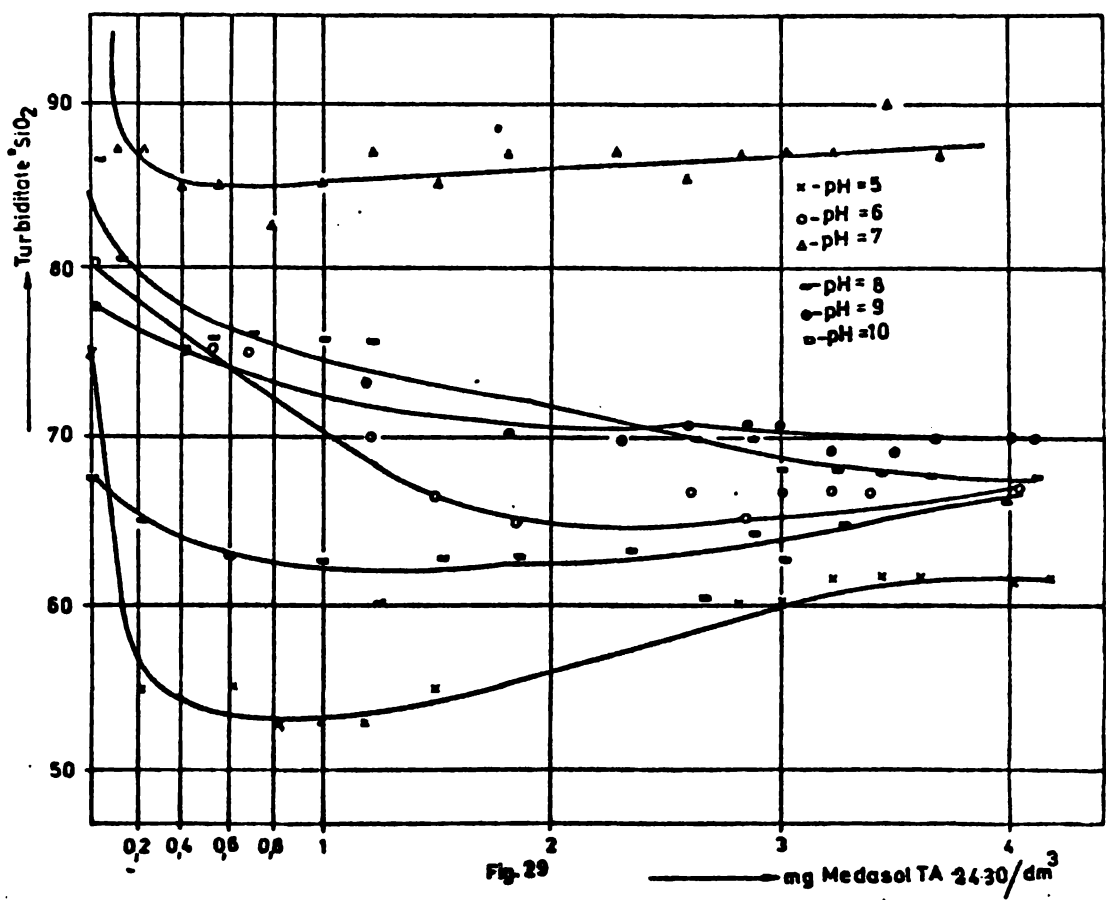
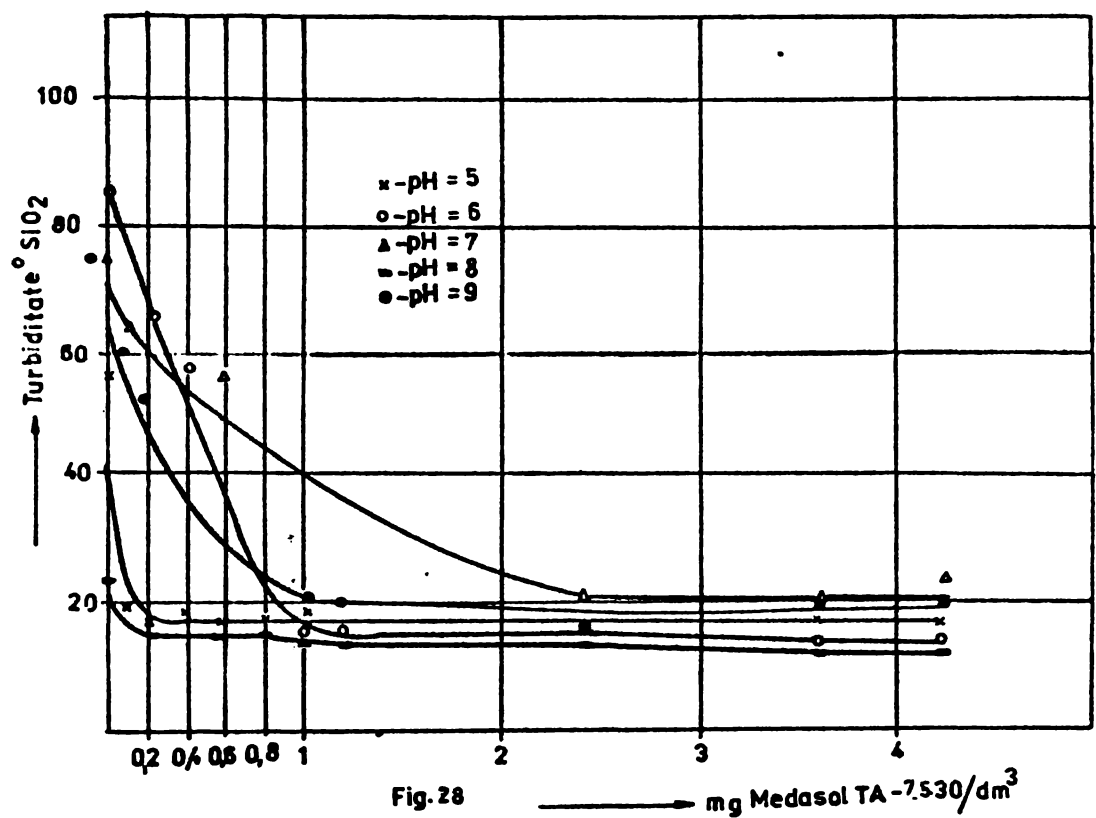


Din figurile 28, 29 și 30, care se referă la utilizarea poliolectrolițiilor anionici Medasol 7530 cu masă moleculară mare, respectiv Medasol 2430 cu masă moleculară medie, la tratarea unor ape de suprafață cu T_i cuprinsă între 112°SiO_2 și 550°SiO_2 , rezultă că s-a obținut o reducere a turbidității pînă la valori de 15-30 $^{\circ}\text{SiO}_2$, adică cu 80-93% față de turbiditatea inițială, atît la pH-uri de 5 și 6, cît și în domeniul bazic la pH=10.

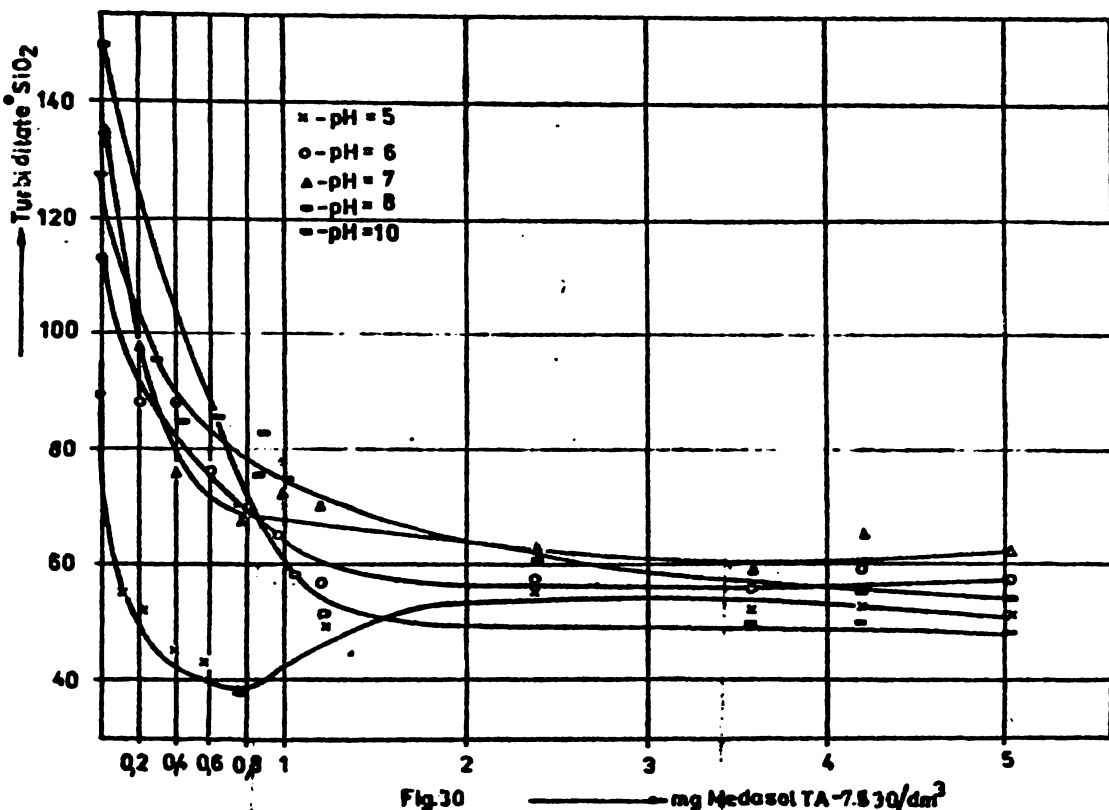
Al doilea grup de determinări a fost efectuat pe probe de apă tratate cu coagulant (sulfat de aluminiu) și poliolectroliți.

Utilizarea adjuvanților de coagulare de tip Medasol, anionici și neionici în cantități de $0,04-0,6 \text{ mg}/\text{dm}^3$, cu permis reducerea dozei de sulfat de aluminiu cu 25%. Rezultatul, obținut la coagularea cu 75% din doza optimă de sulfat de aluminiu și poliolectroliți, fiind apropiato cu valori cu colo care nu obțin la coagularea numai cu sulfat de aluminiu, tabloul 32.

Varianta oxidabilității oricărui și varianta hidroxilului



tă spre exemplificare în tabelele 33 și 34. Potențialul Zeta a fost determinat cu un aparat Zeta-metru manual tip ZM-77.



In scopul evidențierii vitezei de depunere a suspensiilor au fost trase curbele de sedimentare gravimetrică, cu ajutorul unei balanțe Sartorius tip .4000, atât pentru apă brută cât și peștru probleme de apă tratată în condițiile menționate mai înainte. Spre exemplificare se dă curbele din figura 31. Din examinarea lor rezultă că, la un timp de sedimentare de cca. 20 minute, se obține o depunere a suspensiilor de aprox. 80% în cazul coagulării cu sulfat de aluminiu, de 88% pentru coagularea cu sulfat de aluminiu și polielectrolit și de 70% pentru apă brută.

Nămoclurile, rezultate în urma coagulării apei cu sulfat de aluminiu la doza optimă, au fost studiate comparativ cu cele rezultate la coagularea cu 75% din doza optimă de sulfat de aluminiu și cu doza optimă de polielectrolit. În tabelul 35 sunt prezentate rezultatele acestor determinări. Se observă că, atât nămoclurile rezultate în urma coagulării cu sulfat de aluminiu cât și cele rezultate în urma coagulării cu 75% din doza optimă de sulfat de aluminiu și cu doza optimă de polielectrolit se situează în categoria nămocurilor cu filtrabilitate medie, având rezistență specifică (r) convențională de ordinul 10^{11} cm/g. Coeficientul de comprimitibilitate (S), în ambele cazuri, este mai mic decât unitatea, fapt ce indică că

GRIAL DE MÉDAILLES ET BURSES 191

四

DC220
 DC220-
 DC250-
 145 J_m
 DC250 CP-
 145 J_m
 mgs/J_m

८३

二二

	Furniciat cu CaCO_3	Furniciat cu $\text{CaCO}_3 + \text{Al}_2\text{O}_3$	Furniciat cu $\text{CaCO}_3 + \text{Al}_2\text{O}_3 + \text{MgO}$
1.	112,5	Legăsol II 7530	7,5
2.	525,0	"	24,9
3.	112,5	Legăsol II 2450	7,5
4.	525,0	"	24,9
5.	137,5	Legăsol II 7530	2,7
6.	137,5	Legăsol II 2450	3,1
7.	137,5	Legăsol II 2450	2,7
8.	212,5	Legăsol AE 30 ne-ionic	3,6
	250,0	Preț sol 300 ne-ionic	16,0
			15,0
			10,5

Tabelu 34

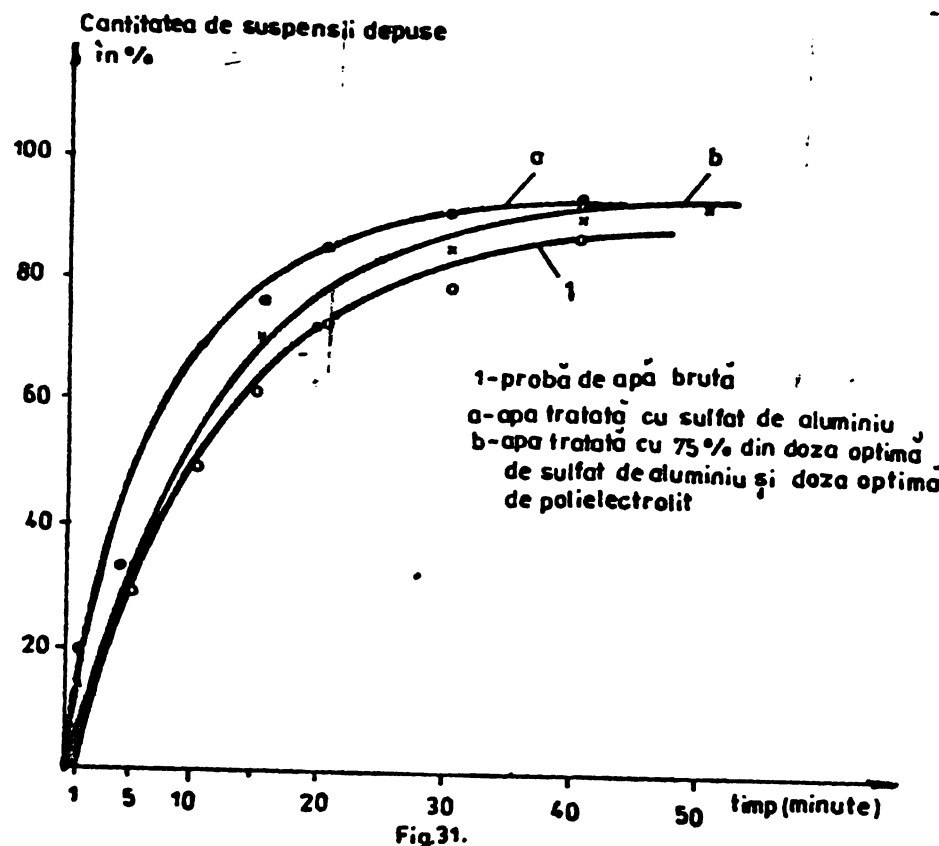
nr.	Turbideitate grile crit.	$\text{q}\cdot\text{f}\text{O}_2$	Pot. $\text{Cd} + \text{Fe} + \text{Al}_2\text{O}_3$ + PbCl_2 (mV)	Apa ințigătoare continănd sulfat de aluminiu + polielectroliu
1	120,5	120,5	-16,5	-16,6
2	225,3	"	-211,7	-16,5
3	120,5	245,0	-16,5	-13,5
4	225,3	"	-211,7	-11,2
5	130,5	120,5	-216,7	-10,2
6	120,5	240,0	-15,7	-10,2
7	210,5	"	-215,7	-10,2
8	250,0	240,0	-15,7	-10,2
9	250,0	"	-215,7	-10,2
10	250,0	240,0	-15,7	-10,2
11	250,0	"	-215,7	-10,2
12	250,0	240,0	-15,7	-10,2
13	250,0	"	-215,7	-10,2
14	250,0	240,0	-15,7	-10,2
15	250,0	"	-215,7	-10,2

Tabelcl 35

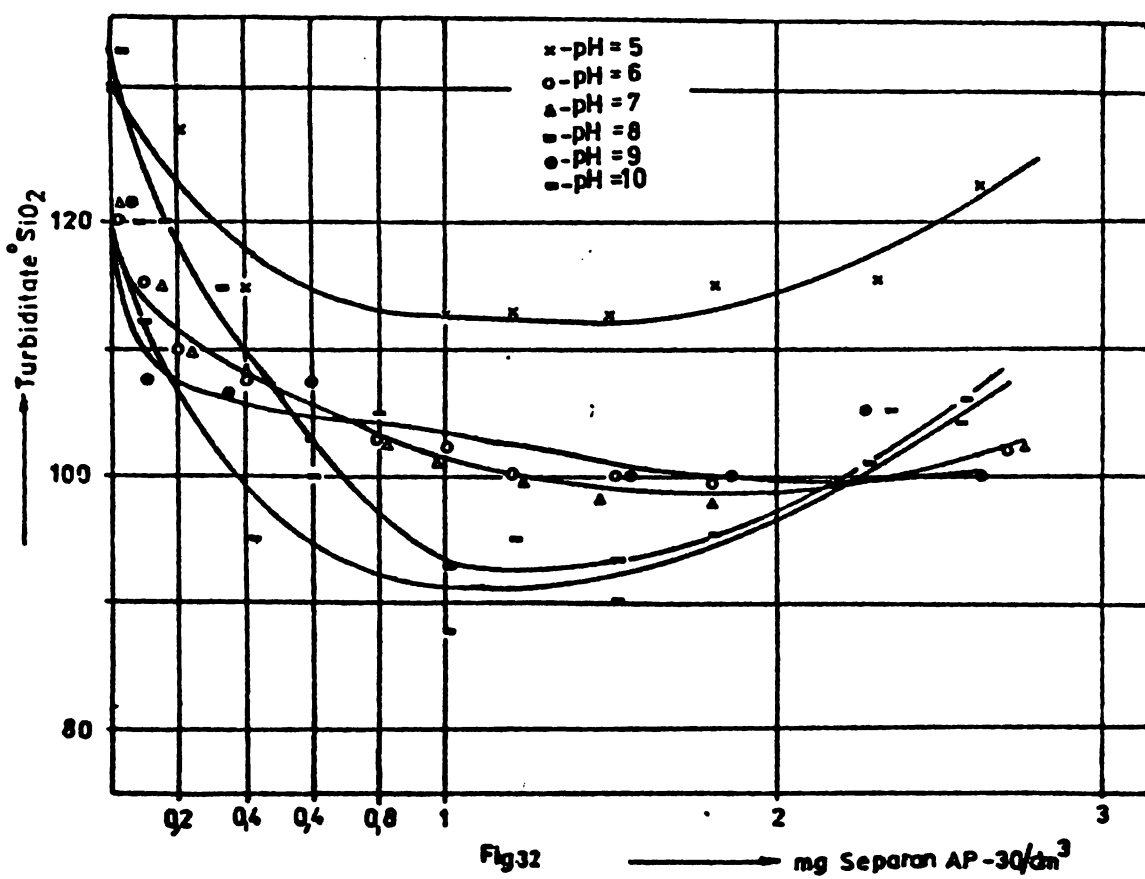
- 172 -

Activitate concreta metrii	Frecventa de colectare (n 2200)	Durabilitatea nămolului c/cm.s	Faza de dreptatea nămolului (b) c/cm.s	Rezistența specifică (r) g/cm.	Coefficientul de con- probabilitate (s)
Sulfat de aluminiu (75%) dintr-o doza de 1 litru	250	3,9579.10 ⁻²	1,25269	0,230076	1,1023.10 ¹¹
	368	"	"	0,227200	1,5962.10 ¹¹
	455	"	"	0,224130	1,94818.10 ¹¹
<u>4,5 mg Al³⁺/dm³</u>					
Sulfat de aluminiu (75%) dintr-o doza de 1 litru	250	c, 9579.10 ⁻²	1,075883	0,4939	2,3594.10 ¹¹
	368	"	"	0,4000	2,8100.10 ¹¹
	455	"	"	0,3750	3,25957.10 ¹¹
<u>1,9 doze obțină (0,95 mg/dm³)</u>					

ținut la tratarea cu coagulant și polielectroclit anionic mediacol seria 75 are un coefficient de compresibilitate de 3,5 ori mai mic decât cel obținut la tratarea cu sulfat de aluminiu.



In continuarea cercetărilor să-a urmat eficiența polimerilor indigeni, comparativ cu produselor similare străine de tip Separan AP 30 (anionic) și Prestol 30c (neionic). Rezultatele obținute pot fi urmărite în figurile 32 și 33 precum și în tabelele 32-34. Din aceste date rezultă că polielectroclizi indigeni de tip



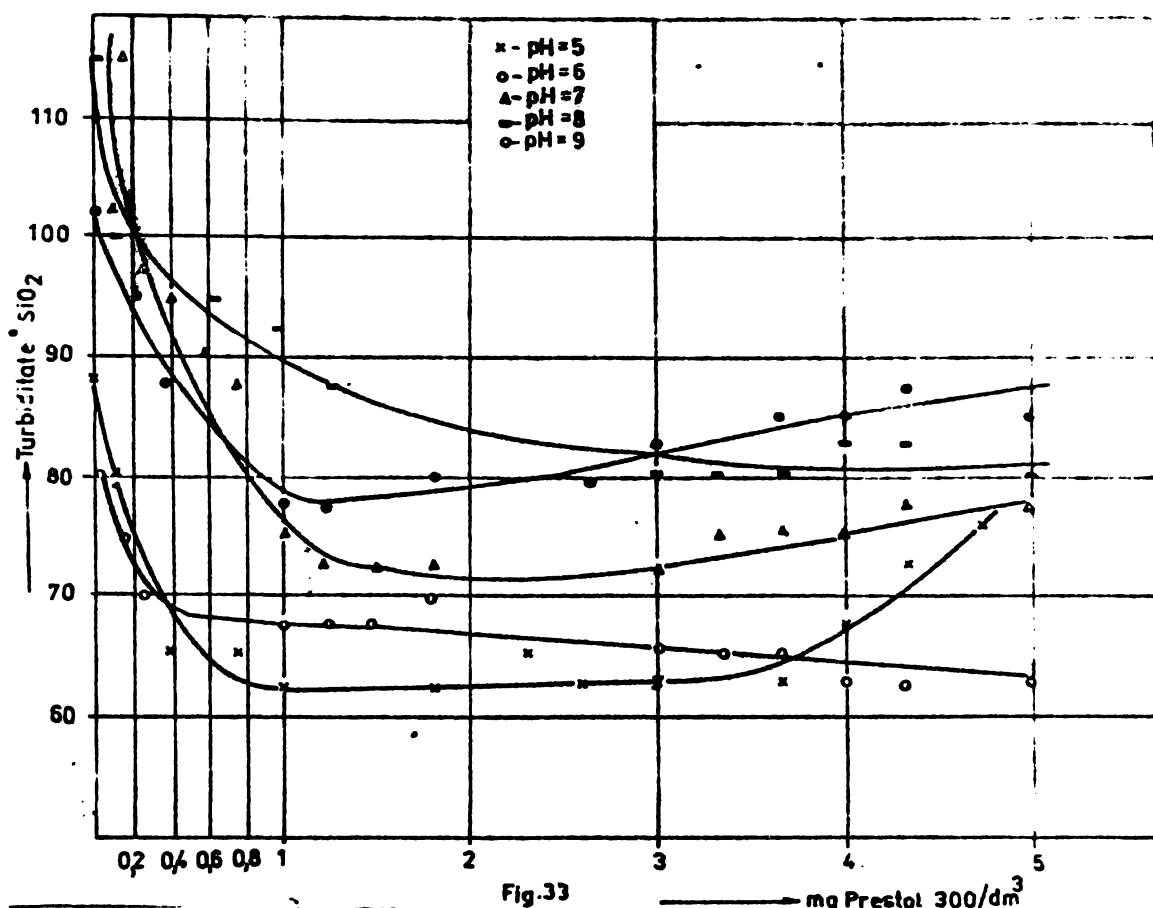


Fig.33 — mg Prestol 300/dm³

medasol au o acțiune similară cu a celor trei și.

Turberă toxicitatea produselor de tip medasol - se buată, în colaborare cu catedre de microbiologie și toxicologie din București, asupra unor culturi microscopice și bacteriene, și asupra culturilor celulare.

Poli-1-stearilicii medasol anionici și anionici - este în acțiune bactericidă și de acțiune toxică asupra unor culturi microscopice și bacteriene, și asupra culturilor celulare.

Concluzii. Utilizarea polielectroliilor anionici și anionici de tip medasol, stabilizatorii de emulsie și adjuvanti de coagulare, la dozele de 0,04-0,6 mg/dm³, realiză în 80-95% față de turbiditate inițială, reducerea turberătoarei cuprinză între 102 și 50 %.

Poli-1-stearilicii de tip medasol, stabilizatorii de emulsie și adjuvanti de coagulare, la dozele de 0,04-0,6 mg/dm³, realiză în 80-95% față de turberătoare.

În concluzie că adjuvanti de coagulare, stabilizatori de emulsie și anionici de tip medasol, la dozele de 0,04-0,6 mg/dm³, realiză o reducere a turberătoarei de 80-95% la dozele de 0,04-0,6 mg/dm³, în funcție de intensitatea polielectroliită și de concentrația de polielectroliită.

Utilizarea polielectroliyilor Medasol ca adjuvant de coagulare au ca efect formarea și depunerea rapidă a precipitației. Compararea lor are loc în fază de agitare lentă în apă cu sulfat de aluminiu cind la tratarea apei numai cu sulfat de aluminiu este necesar un timp mai mare pentru formarea flocoanelor, iar sedimentarea se face mult mai lent.

Utilizarea polielectrolitului anionic Medasol ca adjuvant de coagulare, la tratarea apelor cu o doză redusă de sulfat de aluminiu, conduce la nămoluri cu coeficient de comprimabilitate mic, ceea ce largeste gama posibilităților de tratare a acestora.

Polielectrolii indigeni anionici de tip Medasol dă rezultate și au comportare asemănătoare cu cea a polielectrolitului anionic Separan AP 30 al firmei DOW Chemical, iar polimerii neionici de tip Medasol cu produsul Prestol 300 al firmei Bayer.

Polielectrolii Medasol, anionici și neionici, sunt lipici de acțiunea bacteriostatică și de acțiune toxică asupra faunei la concentrații mai mici de 0,01%. La concentrații mai mici de 0,001% nu au acțiune toxică nici asupra culturilor celulare.

Având în vedere efectele și dozele comparabile cu ale produselor străine se poate trage concluzia că folosirea în tehnologia apei a polielectroliilor anionici și a polimerilor neionici indigeni de tip Medasol asigură îmbunătățirea procesului de coagulare și reducerea însemnată a consumurilor de coagulanți minerali, estimată la milioane lei pe an.

7.5.2. Polielectrolii cationici

In continuarea cercetărilor referitoare la utilizare, s-a studiat comportarea polielectroliilor cationici indigeni.

Polielectrolii cationici îndinăsc părțilelor pozitive de adjuvanți și pe aceea de coagulanți propriu-zisi, în cazul apelor încărcate cu coloizi negativi. Capacitatea acestor polielectrolii de a coagula organisme vii le conferă și un corrector bactericid /31/. Se admite că polielectrolii cationici acționează printr-un mecanism fizic de neutralizare a sarcinilor electrice ale coloizilor cu sarcini negative, cu ajutorul grupelor cuaternare de amoniu, având loc totodată micșorarea potențialului Zeta (PZ).

Literatura de specialitate semnalizează că polielectrolii au dat rezultate bune în numeroase cazuri, iar în altă parte s-au dovedit ineficace, datorită numeroșilor factori de care depinde acțiunea lor. Aprecierea eficienței lor trebuie făcută nu și în funcție de tehnologia de tratare și de caracteristicile lor.

In cercetările întreprinse s-a urmărit dobor înrulatul polielectroclitului cationic de tip Medasol C-24 (elaborat de ICPOAO Mediaș) în procesul de coagulare și unor parametri de suflare, cu o gamă largă de turbidități. În acest sens s-a întreprins testarea Medasclului C-24, atât ca și coagulant cît și ca adjuvant la coagularea cu sulfat de aluminiu.

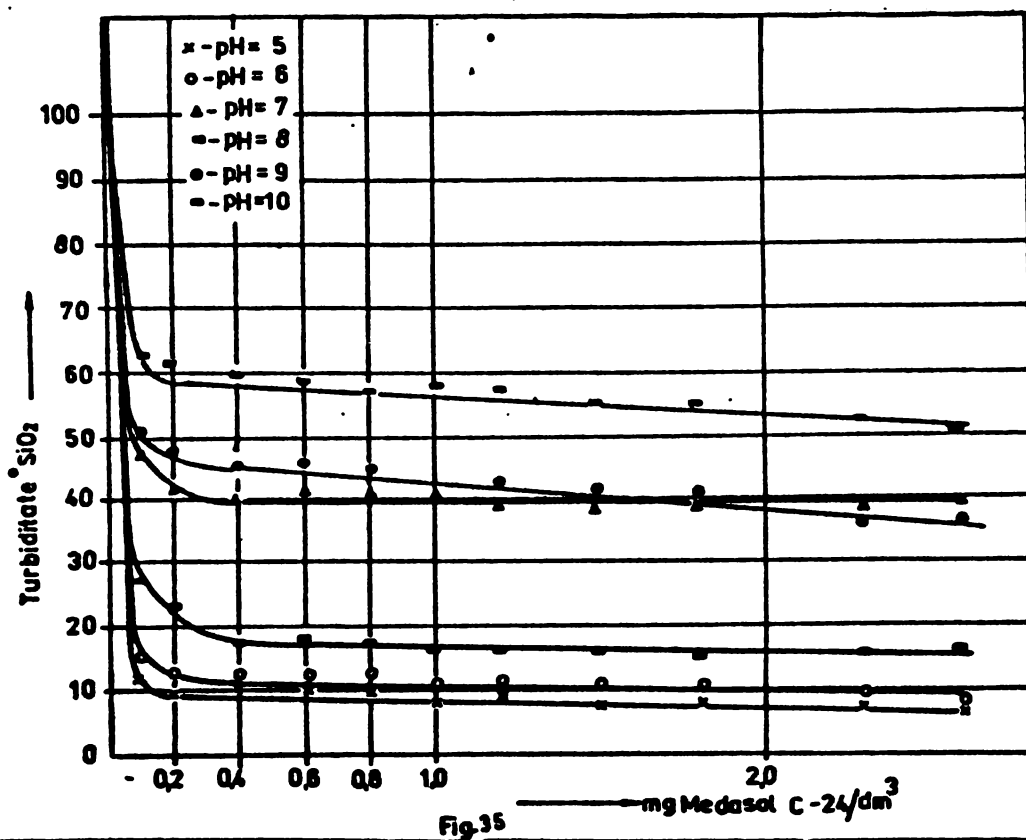
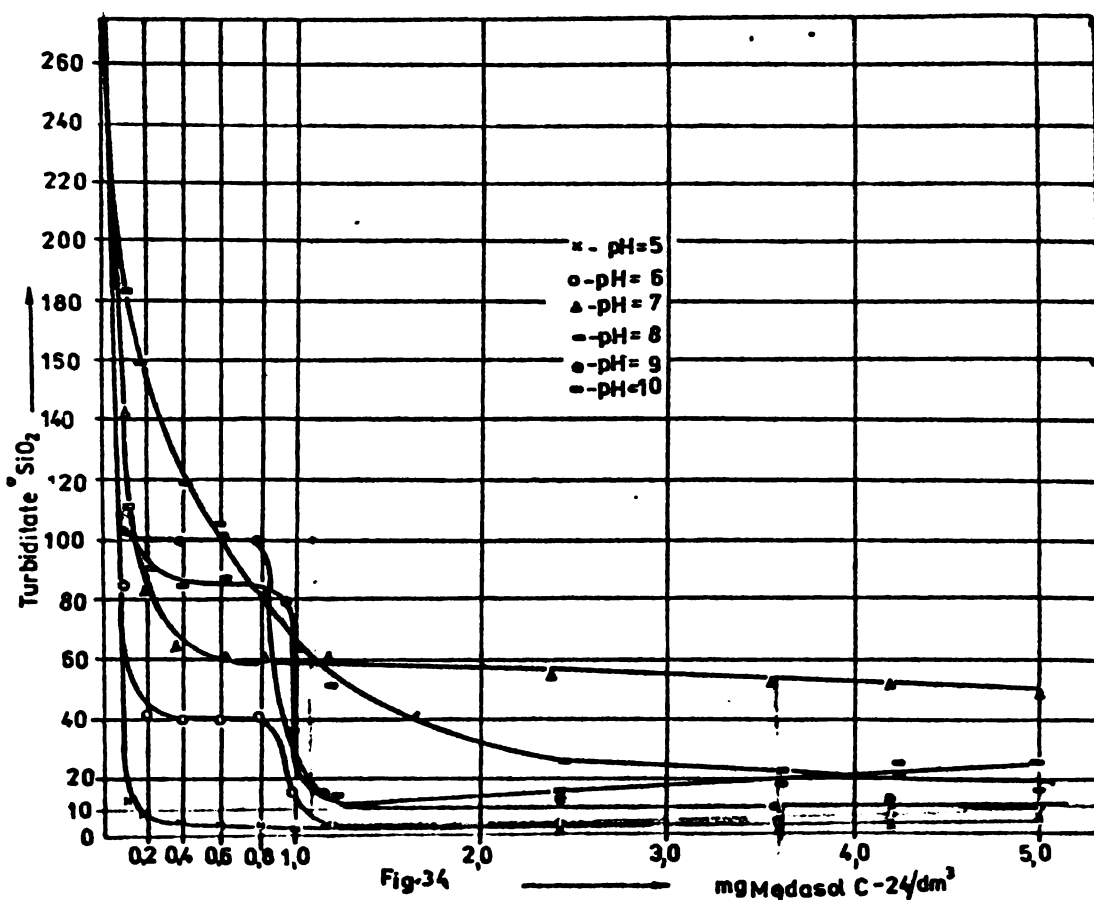
Încercările experimentale de coagulare s-au efectuat după metoda Jar-test. Doza optimă de coagulant s-a considerat aceea, pentru care turbiditatea reziduală a fost de cca. 10^6 SiO_2 . Pentru condițiile optime s-au făcut determinări atât asupra calității supernatantului urmărindu-se turbiditatea, oxidabilitatea, potențialul Zeta (PZ), curba de sedimentare gravimetrică, cît și asupra nămolului rezultat stabilindu-se rezistența specifică și coefficientul de compresibilitate, care exprimă cantitativ proprietățile de filtrare ale nămolurilor, purumetri determinanți în alegerea procedurilor de condiționare și deshidratare a nămolurilor. Rezultatele obținute la testarea polielectroclitului au fost comparate cu cele obținute la coagularea cu sulfat de aluminiu la doza optimă.

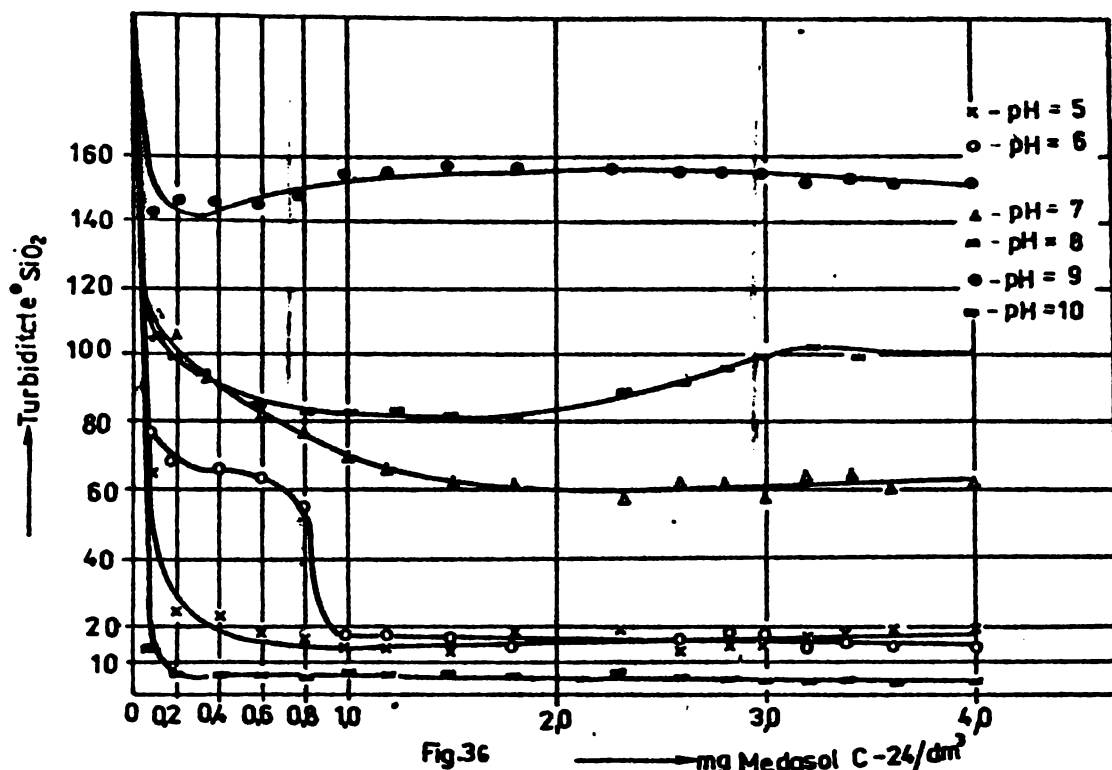
În prima fază a studiului s-a utilizat polielectroclitul cationic Medasol C-24 drept coagulant, la probe de apă cu turbidități între $230-650 \text{ SiO}_2$. S-a lucrat cu doze cuprinse între 0 și 0,5 mg Medasol/dm³ și pH = 5-10, urmărindu-se ca parametru de control turbiditatea reziduală. În figurile 34, 35, 36 este redată variația turbidității funcție de doza de polielectroclit, la diferite pH-uri.

pH-ul optim de coagulare al polielectroclitului cationic Medasol C-24 prezintă două domenii: unul la pH=5-6 și altul la pH=10. În primul domeniu se obține o turbiditate reziduală cuprinsă între 4 și $10,5 \text{ SiO}_2$, ceea ce reprezintă un grad de reducere de 99,7-99,4%, iar la pH=10 se atinge o valoare a turbidității de $10-17 \text{ SiO}_2$, adică o reducere de 98-97%.

În vederea aprecierii efectului polielectroclitului cationic Medasol C-24 ca adjuvant, în asociere cu un coagulant propriu-zis, s-au efectuat coagulări cu doze micsorate de sulfat de aluminiu, reprezentând 75% respectiv 50% din doza optimă și s-a variat adausul de polielectroclit în limitele 0,00-2,00 mg/dm³. Procesul a fost condus la pH neutru.

Determinările analitice efectuate asupra supernatantului probelor corespunzătoare dozei optime de polielectroclit s-au comparat cu cele obținute la coagularea numai cu sulfat de aluminiu





la doza optimă.

Pentru toate probele de apă tratate cu 75% din doza optimă de sulfat de aluminiu și cu un adaus de polielectroclit corespunzător dozei optime se obține o scădere a turbidității de același ordin de mărime (95-98%) așa cum este redat în tabelul 36.

Când s-a utilizat 50% din doza optimă de coagulant și cu adaus de polielectroclit în doză optimă s-au obținut reduceri mai mici de turbiditate (57-96%).

In aceste condiții, toți parametrii caracteristici prezintă valori comparabile cu cele realizate prin coagulare fără adaus de polielectroclit. Variația oxidabilității, a carbonului dizolvat, a potențialului zeta este redată, spre exemplificare, în tabelul 37-39. Potențialul zeta a fost determinat cu un aparat Zeta-metru manual tip ZM-77, iar carbonul dizolvat cu analizorul pentru carbonul total Beckmann tip 915 A.

In scopul evidențierii vitezelor de depunere a suspensiilor nu sunt trase curbele de sedimentare gravimetrică cu ajutorul unei balanțe Sartorius Tip 4000, atât pentru apă brută cât și pentru probele de apă tratate în condițiile menționate. În prezent exemplificare se dau curbele din figura 37.

Din examinarea lor rezultă că la un timp de sedimentare de 10 minute se obține o depunere a suspensiilor de aproape 81,7%

Tabelul 26

Nr. crt.	Turbidit. înțială	Coagulare cu sulfat de aluminiu	Doza optimă a apei	Grad de red. optimală a turbidit.	Sulfat de Medasol C-24 aluminiu	Grad de red. a turbidit.	Sulfat de Medasol C-24 aluminiu	Doza optimă a joga	Grad de red. a turbidit.
1	205	4,77	95,1	3,57	0,25	95,29	2,38	0,80	57,07
2	275	10,00	96,3	6,03	0,35	96,54	4,02	0,35	95,27
3	400	10,50	97,5	7,87	0,08	97,37	5,32	0,80	72,50
4	425	3,71	97,6	2,65	0,10	95,11	1,85	0,35	96,47
5	500	5,03	98,0	3,77	0,10	95,85	2,52	0,20	84,60
6	650	2,68	98,5	2,01	0,10	96,35	1,34	0,32	96,66
7	675	4,50	98,5	3,37	0,05	96,15	2,25	0,45	97,59
8	812	16,08	98,7	12,06	0,15	96,52	8,04	1,70	92,62

Tabelul 27

Nr. crt.	Turbidit. înțială	Oxidabilitatea apei	Apa tratată cu doza optimală de sulfat de aluminiu	Apa tratată cu 75% din doza optimă de sulfat de aluminiu + Medasol C-24	Apa tratată cu 50% din doza optimă de sulfat de aluminiu + Medasol C-24
1	295	5,7	2,2	2,2	3,1
2	275	7,7	2,7	4,1	-
3	400	25,6	2,6	2,9	2,1
4	125	26,6	1,1	2,3	-
5	599	22,1	1,9	1,9	2,1
6	675	25,1	1,5	1,4	-

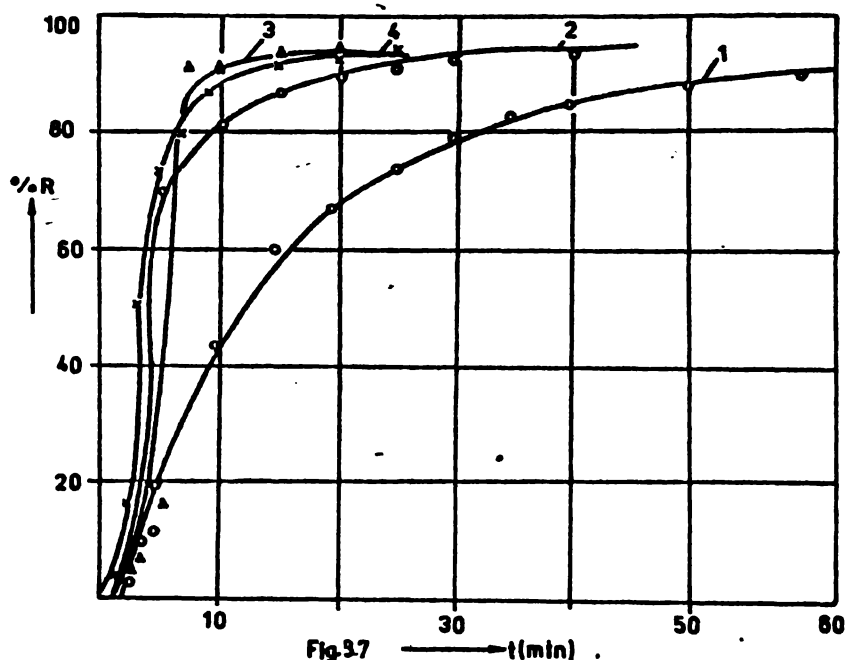
Tabloul 38

Nr. Turbidit.		Conținutul de carbon din vată (mg C/dm ³)	
crb. inițială	a apel	Apă inițială	Apă coagulată cu sulfat de aluminiu
102	102	la doza optimă	75% din doza optimă
1	265	22,0	15,0
2	275	13,5	8,9
3	400	17,5	11,0
4	425	19,0	19,0
5	500	18,0	18,5

Tabloul 39

Nr. Turbidit.		Potențialul zetafin în V	
crb. inițială	a apel	Apă tratată cu doza optimă - sulfat de aluminiu + Medasol C-24	Apă tratată cu 75% din doza optimă - sulfat de aluminiu + Medasol C-24
102	102	-15,88	-9,38
1	265	-11,69	-11,20
2	275	-13,17	-11,45
3	400	-12,07	-10,19
4	425	-12,63	-9,24
5	500	-10,65	-10,23
6	675	-	-10,28

pentru coagularea cu sulfat de aluminiu; de 91,9% pentru coagularea cu 75% din doza de coagulant și cu adăus de polielectrolit la doza optimă; de 90,2% pentru coagularea cu 50% din doza optimă de coagulant și cu doza optimă de polielectrolit, respectiv de 45,5% pentru apă nestratată.



În vederea stabilirii proprietăților de filtrare ale nămolului rezultat la coagulare cu 75% din doza optimă de sulfat de aluminiu și cu doza optimă de polielectrolit, în comparație cu cel rezultat la tratare numai cu doza optimă de sulfat de aluminiu, s-a determinat rezistența specifică a nămolului la diferite presiuni, calculindu-se apoi coeficientul de compresibilitate a acestuia.

In tabelul 4-o sunt prezentate datele experimentale din care rezultă că, atât nămolul obținut la coagularea cu coagulant clasic cît și cel obținut la coagularea cu coagulant și polielectrolit au rezistență specifică convențională la coagulare de ordinul 10^{10} cm/g, ceea ce le include în categoria nămolurilor ușor filtrabile. Coeficientul de compresibilitate "s" apropiat de unitate indică posibilitatea filtrării nămolului sub vid sau sub presiune.

Testarea toxicității polielectrolitului Medasol C-24 s-a efectuat în colaborare cu catedra de microbiologie a Institutului de Medicină din Timișoara asupra unei culturi microbiene reprezentative, a șoarecilor și asupra culturilor celulare. Medasol C-24 este lipsit de acțiune bactericică și acțiune asupra faunei la concentrații mai mici de 0,05%. În concentrație mai mică de 0,0005%, polielectrolitul amintit nu are acțiune toxică nici asupra culturilor celulare.

Concluzii. Polielectrolitul cationic Medasol C-24, utilizat drept adjuvant de coagulare pentru probleme de apă studiate, a necesitat o doză cuprinsă în domeniul 0,05-0,35 mg/dm³, pentru a

Tabloul 40

Reacții de coagulare	Pressiunea nr. HG	Viscositatea ($\eta_{22^{\circ}C}$) g/cm•s	Densitatea nămolului (ρ_3) g/cm ³	Panta dreptei (b)	Rezistența specifică (r) cm ² /s	Coefficient de compressibilitate (S)
Sulfat de aluminiu	180	0,94685•10 ⁻²	1,0772	0,1562	2,689,1310	
la doza optimă 5,63 mg/cm ³	250	"	"	0,3080	7,366,1310	
	363	"	"	0,2083	7,327,1310	1,55
	455	"	"	0,2500	10,879,1310	
Sulfat de aluminiu (75,5) și doza optimă și la doza C=24 la do-	150	0,94685,10 ⁻²	1,06456	0,2220	3,246,1310	
ză optimă 0,10 mg/dm ³	250	"	1,06456	0,2380	,833,1310	
	363	"	"	0,2500	7,469,1310	1,10
	455	"	"	0,2500	9,239,1310	

reduce doza de sulfat de aluminiu cu 25%. În aceste condiții țeși parametri caracteristici ai apei tratate prezintă valori comparabile cu cele realizate la coagularea cu doza optimă de coagulant, fără adaus de polielectrolit /34/.

Utilizarea polielectrolitului cationic Medasol C-24 ca adjuvant de coagulare are ca efect formarea rapidoi a floccelor, urmată de o depunere cu viteze mari a acestora. Separarea lor are loc în fază de agitare lentă în maxim 3 minute, pe cînd la coagulare numai cu sulfat de aluminiu este necesar un timp mai mare pentru formarea floccanelor, iar sedimentarea lor se face mai lent.

Prin aplicarea polielectrolitului la coagularea cu sulfat de aluminiu se îmbunătășesc caracteristicile de filtrare a nămolului. Se obține un coeficient de compresibilitate apropiat de 1,0, care indică posibilitatea atît a filtrării sub vid cît și sub presiune.

La folosirea unei cantități reduse de coagulant clasic și anume de 50% din doza optimă, cantitatea de polielectrolit necesară este mai mare ($0,35\text{-}0,45 \text{ mg/dm}^3$), iar eficiența procesului este mai redusă decît la folosirea unei cantități de coagulant de 75% din doza optimă și cu adaus de polielectrolit.

Polielectrolitul Medasol C-24 poate fi utilizat drept agent de coagulare propriu-zis, atît în domeniul acid, $\text{pH}=5\text{-}6$, cît și în domeniu bazic $\text{pH}=10$. În aceste condiții, cantități relativ mici de polimer ($0,1\text{-}0,8 \text{ mg/dm}^3$) permit o reducere avansată a turbidității inițiale.

Polielectrolitul Medasol C-24 este lipsit de acțiune bactericică și de acțiune toxică asupra faunei la concentrații mai mici de 0,05% și asupra culturilor celulare la concentrații mai mici de 0,0005%.

În cazul utilizării polielectrolitului Medasol C-24 ca adjuvant de coagulare se realizează o reducere cu 20% a costului de reactivi pentru coagulare, făță de folosirea exclusivă a sulfatului de aluminiu, indiferent de turbiditatea inițială a apei.

7.6. Contribuții la opurarea prin metoda fizico-chimice a apelor reziduale cu conținut de detergenți

Producția actuală și consumul ridicat de detergenți din zilele noastre contribuie la creșterea concentrației acestora în rețeaua de canalizare a orașelor și implicit în emisari. Detergențele dăunătoare ale detergenților se datorează proprietăților lor super-

ficial-active, unei anumite nocivități proprii moleculelor de detergenți și unor insușiri ale substanțelor însăritoare din produsul comercial.

In țara noastră s-a menținut un ritm ridicat al producției de detergenți, trecindu-se treptat de la fabricarea exclusivă a detergentilor anionici și la fabricarea altor tipuri de detergenti (neionici și în viitor cationici).

Literatura de specialitate arată că eliminarea detergentilor din ape se poate realiza cu eficiență mai mare sau mai mică, folosind diferite procedee ca: spumarea, aerarea, flotația, coagularea, oxidarea, adsorbția, epurarea biologică, schimbul ionic /17,37,38,39, 40/.

Substanțele tensioactive anionice pot fi neutralizate cu alte substanțe tensioactive, iar precipitatul format se poate elmina prin decantare. Astfel, pentru agenții cation-activi, care reprezintă doar c,5-1% din consumul de detergenti, neutralizarea cu substanțele anionice existente în exces în apele reziduale reprezintă una din căile cele mai probabile a tehnologiilor de epurare a viitorului.

In cercetările experimentale întreprinse de noi s-a urmat eliminarea noilor tipuri de detergenti, alături de cei clasici, ce vor impurifica în viitor probabil apele reziduale ale fabriilor de detergenti, prin aplicarea unor metode fizico-chimice.

Cercetările de laborator s-au întreprins pe ape sintetice, conținând principalele substanțe care vor fi prezente în apele reziduale (materii prime, produse finite, etc.) în raporturi, corespunzând situațiilor celor mai defavorabile, adică la limitele superioare la care vor putea apărea acești impurificatori în apele reziduale.

Caracteristicile amestecurilor de ape reziduale brute sunt redată în tabelul 41. Din interpretarea rezultatelor analizelor de laborator rezultă următoarele caracteristici ale acestor ape:

- aspect tulbură, culcare alb-lăptoașă, pH=9,5 și o turbideză mare (peste loco^oSiO₂);

- încărcare organică ridicată, oglindită de valori mari ale indicatorilor COO-Mn (peste 1,3 g/dm³) și COO-Cr (peste 7,5 g/dm³);

- detergentii anionici și neionici au fost identificați și dozati în apa brută la valori apropiate de cele calculate. De-

tergenții cationici nu au mai fost decelatați datorită neutralizării lor de către detergenții anionici;

- conținut ridicat al fosfaților și al sulfatilor și cantitate relativ scăzută de cloruri și de substanțe extractibile.

Tabelul 41

Nr. crt.	Indicatori determinați	UM	AR inițială
1.	Aspect/culoare	-	alb-lăptos
2.	pH	-	9,6-9,8
3.	Turbiditate	$\text{mg SiO}_2 \cdot \text{dm}^{-3}$	1050-1112
4.	Conductibilitate	mS cm^{-1}	5,5-7,0
5.	CCO-Mn	$\text{mg O}_2/\text{dm}^3$	1023-1037
6.	CCO-Cr	$\text{mg O}_2/\text{dm}^3$	7500-8602
7.	Detergenți anionici	mg/dm^3	900-960
8.	Detergenți cationici	mg/dm^3	0,0
9.	Detergenți neionici	mg/dm^3	610-730
10.	Substanțe extractibile	mg/dm^3	128-186
11.	Cloruri (Cl^-)	mg/dm^3	53-110
12.	Sulfati (SO_4^{2-})	mg/dm^3	1731-1930
13.	Fosfați (PO_4^{3-})	mg/dm^3	880-1370
14.	Subst. organice absorbabile în UV	Σ	0,07-0,10

Având în vedere că apele studiate au turbiditate mare și că încărcarea organică și detergenții pot fi reduși prin coagulare, datorită efectelor secundare de adsorbție și antrenare, ca primă treaptă de epurare s-a aplicat coagularea cu coagulanți clasici și cu coagulantul anorganic complex FERALTI.

Toate încercările de coagulare au condus însă la rezultate nesatisfăcătoare în ceea ce privește reducerea turbidității și a oxidabilității chimice (turbiditatea s-a redus doar cu 8-70%, iar oxidabilitatea cu 6-13%).

Au fost efectuate încercări de epurare aplicind spumarea, flotația și oxidarea, dar și în aceste cazuri s-au obținut scăderi neînsemnante ale turbidității, iar CCO-Mn s-a redus cu max. 43%.

În vederea creșterii eficienței procesului de epurare, s-au urmărit rezultatele aplicării procedeului combinat, de oxidare și de coagulare. În acest scop s-au determinat dozele optime de oxidant și de coagulant (sulfat foros). Procesul de coagulare, aplicat după cel de oxidare, a fost condus la pH=10. S-a obținut, la o doză de 10,4 g Cl_2/dm^3 , corespunzătoare unui raport molar de 4,6

$\text{Cl}_2/1 \text{ CCO-Mn}$ și pentru doza de 100 mg $\text{FeSO}_4/\text{dm}^3$, o scădere importantă pentru majoritatea indicatorilor de impurificare și anume: o reducere a turbidității de 95%, a detorgențiilor anionici de 93% și a oxidabilității chimice de 40%.

Cercetările au urmărit în continuare stabilirea modului cel mai adecvat de adăugare a oxidantului, a coagulantului și de asemenea a pH-ului optim de coagulare. Astfel oxidantul, la doza optimă de 10,4 g Cl_2/dm^3 , a fost adăugat întotdeauna la început, apoi s-a corectat pH-ul de oxidare la o valoare apropiată de 7,0. Timpul de oxidare a fost de 30 minute, asigurîndu-se o agitare intensă. Sulfatul feros, la doza optimă de 100 mg $\text{FeSO}_4/\text{dm}^3$, s-a adăugat la intervale de timp diferite: după 15 minute (proba 1), după 30 minute (proba 2), sau concomitent cu oxidantul (proba 3). Rezultatele sunt consignate în tabelul 42.

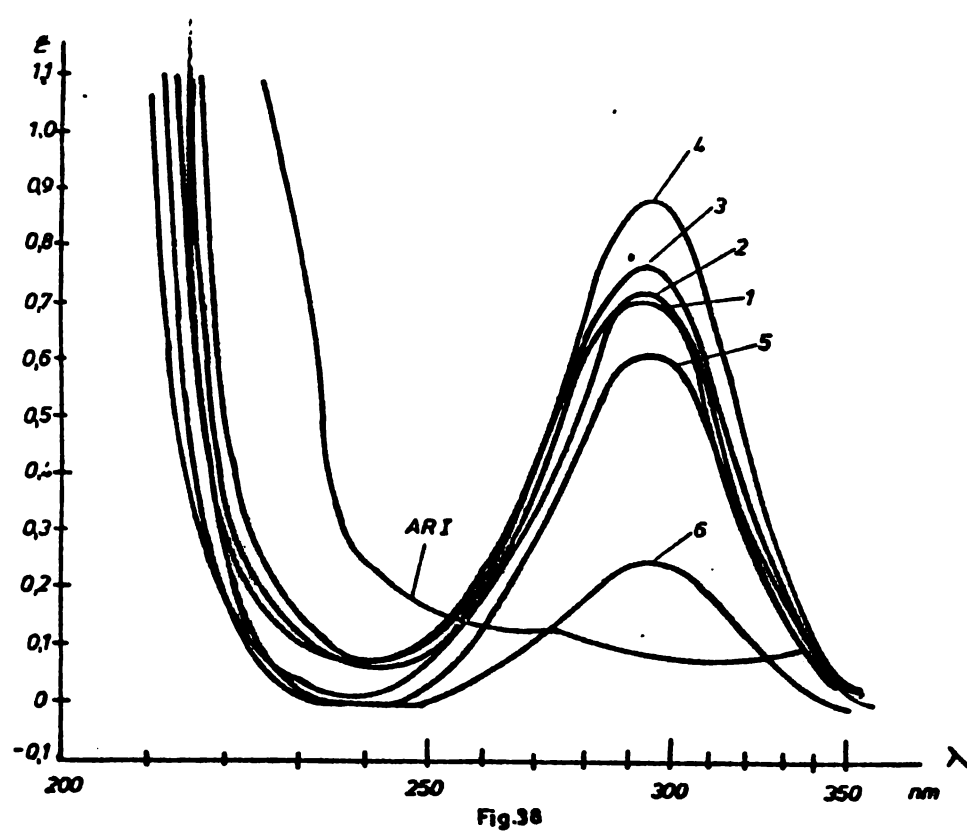
După cele 30 minute de oxidare pH-ul s-a adus la valoarea 10 cu lapte de var, a urmat o agitare lentă de 10-15 minute și apoi o decantare de 30 minute.

După cele 30 minute de sedimentare s-a măsurat volumul de nămol al fiecărei probe, iar pe probele de supernatant s-au efectuat determinări ale unor indicatori fizico-chimici. În tabelul 42 sunt prezentate rezultatele obținute prin tratarea apelor reziduale concomitent cu oxidant și coagulant.

Analizind rezultatele obținute la cele 3 probe, se observă că volumul de nămol prezintă valori apropiate ($240-305 \text{ cm}^3/\text{dm}^3$). Pentru proba 3, concentrația detorgențiilor anionici ($31,5 \text{ mg/dm}^3$) înregistrează o valoare sub limita admisă în general, la evacuarea apelor reziduale (80 mg/dm^3), iar eliminarea detorgențiilor neionici este foarte bună (98,8%). Clorurile prezintă valori apropiate pentru toate cele 3 probe. În privința oxidabilității chimice reducerea cea mai accentuată s-a înregistrat tot în cazul probei 3 (cca. 63%).

Un indicator legat de conținutul în substanțe organice al apei oxitate și constituie substanțele organice absorbabile. Din spectrele în UV rezultă că în urma oxidării uneor compuși clorurati cu structuri diferențiate, ceea ce inițial, cărora le-am dat denumirea convențională de "S.O.Cl.A." (substanțe organice clorurate absorbabile). Spectrul acestora prezintă o bandă caracteristică, cu un maxim pregnant la 292 nm ($\lambda_{\text{max}}=292 \text{ nm}$) și prezintă totodată un efect bipercromatic de creștere a intensității de absorbtie /41/.

prin alcalinizare la pH=12. Apariția în cantități variabile a unor substanțe organice clorurate, diferite ca structură și greutate moleculară de compușii existenți inițial în amestec, este un ișdiciu că are loc degradarea acestora în produse greu decelabile ca substanțe singulare. Dintre acestea, eventualele combinații, care ar putea fi decolate de o analitică specifică, unor substanțe singulare, ar reprezenta numai "vîrful unui aisberg". Ar fi necesare alte cercetări speciale și minuțioase, care să elucidze structura acestor compuși și mecanismul de formare al acestora. Literatura de specialitate mai recentă, se mulțumește cu determinarea lor în "blcă" sub denușirea de TOCl , adică totalitatea compușilor organici clorurați /42/. În cercetările noastre, intensitatea absorbției acestor compuși organici clorurați (SOCLA) în UV a fost considerată un indicator ajutător al caracterizării eficienței procesului de oxidare. Acest indicator pentru seria de probe în discuție (probele 1, 2, 3) din figura 38 prezintă valoarea cea mai mare tot în cazul probei 3.



Intrucât majoritatea indicatoarelor urmărite, în cazul probelor de apă oxidate și coagulate, prezintă valori apropiate, dacă CCO-Ln are o valoare mult mai mică în cazul probei 3, după cum s-a arătat anterior, se poate aprecia că modul de lucru cel mai puțivit constă în introducerea sulfatului ferro împreună cu oxidantul, la

început, aşa cum s-a lucrat în cazul probei 3. O explicație ar putea să constituie faptul că FeSO_4 introdus la începutul procesului, ca și coagulant, ar putea servi totodată și drept catalizator pentru procesul de oxidare /43, 44/.

În această variantă s-a lucrat în continuare la diferențe pH-uri de coagulare (la 9,4; 8,6; 7,6 la probele 3, 4, 5 și 6 din

Tabelul 42

N.R.	Purificatate	25	CCO-Mn	SOCLA	Detergenti		Cloruri PO ₄ ³⁻	Cl ⁻	Volum rămol
					$\lambda = 292 \text{ nm}$	$\lambda = 1:50$	anionicici		
SCI	$\text{O}_2 \text{mg/dm}^3$	red.%	0_2mg/dm^3	red.%	$\lambda = 292 \text{ nm}$	$\lambda = 1:50$	mg/dm^3	mg/dm^3	mg/dm^3
10 ₂									
1	3,5	99,7	10	478	53,3	0,72	23,0	97,4	9,2
2	3,7	99,7	10	520	49,2	0,73	14,9	93,3	4,5
3	25,3	97,7	10	385	62,6	0,77	31,5	96,5	9,0

Tabelul 43

N.R.	Purificatate	25	CCO-Mn	SOCLA	Detergenti		Cloruri PO ₄ ³⁻	Cl ⁻	Volum rămol
					$\lambda = 292 \text{ nm}$	$\lambda = 1:50$	anionicici		
SCI	$\text{O}_2 \text{mg/dm}^3$	red.%	0_2mg/dm^3	red.%	$\lambda = 292 \text{ nm}$	$\lambda = 1:50$	mg/dm^3	mg/dm^3	mg/dm^3
10 ₂									
3	25,3	97,7	15	383	62,6	0,77	21,5	96,5	9,0
4	93,7	91,8	5,4	436	60,3	0,88	24,0	96,2	14,2
5	64,7	94,2	6,6	407	60,2	0,62	20,9	95,6	10,7
6	64,3	94,2	7,6	635	37,8	0,24	25,6	95,0	8,3

tabelul 43). Urmărind rezultatele obținute pentru probele 3,4,5,6 se constată că reducere satisfăcătoare a oxidabilității chimice pentru probele 3,4,5. Volumul de nămol rezultat crește cu pH-ul de coagulare. Detergentii anionici se situează în toate cazurile sub valoarea limită, iar detergentii neionici începând cu pH-ul de 8,5 sunt coagulați. Detergentii anionici se situează în toate cazurile sub valoarea limită, iar detergentii neionici începând cu pH-ul de 8,5 sunt coagulați. Detergentii anionici se situează în toate cazurile sub valoarea limită, iar detergentii neionici începând cu pH-ul de 8,5 sunt coagulați.

In concluzie rezultă că oxidarea cu clor în prezența sulfatului ferros drept coagulant, urmată de precipitare prin alcalinizare cu lăptă de var, reduce impurificarea apelor reziduale inițiale. Astfel, are loc o degradare a substanțelor organice, puse în evidență de indicatorul CCO-Mn (eficiențele realizate variază între 60-65%), detergentii tramezându-se în mare parte majoritate (95-97% cei anionici și 98-99% cei neionici) în compuși organici clorurăti. Turbiditatea apelor tratate se reduce la valori mici, 25-90 mg/dm³, adică se realizează o eliminare a turbidității de 92-98%, concomitant cu o eliminare avansată a fosfaților la 25-33 mg/dm³, adică o reducere de 97-98%. Această oxidare necesită însă o cantitate mare de clor, rămînind în apă o cantitate mare de clor rezidual. Valoarea clorurilor prezente în apă oxidată prezintă o creștere accentuată, datorită îndepărtării hipocloritului drept agent de oxidare. Totodată rezultă și o cantitate apreciabilă de nămol, format din hidroxizi de fier, de magneziu, fosfați de calciu, etc.

Dacă reacția determinării anionici răspunsă este cu mult sub limita admisă, chiar pentru evacuarea ei în aer fiind cauză de canalizare, următoarea etapă a cercetărilor a avut drept scop reducerea consumului de oxidant, în varianta procedeului combinat de oxidare și coagulare. S-au efectuat o serie de determinări, în condițiile optime stabilite anterior, oxidarea făcându-se la pH=7 cu doze de oxidant variind în raportul molar Cl₂/CCO-Mn de la 1,1/l la 4,6/l.

Drept coagulant s-a utilizat sulfat ferros, în doze de

1cc mg/dm³, la un pH=3,5-8,9. Rezultatelor obținute sunt prezentate în figurile 39 și 40. Din cele două grafice se observă că odată cu

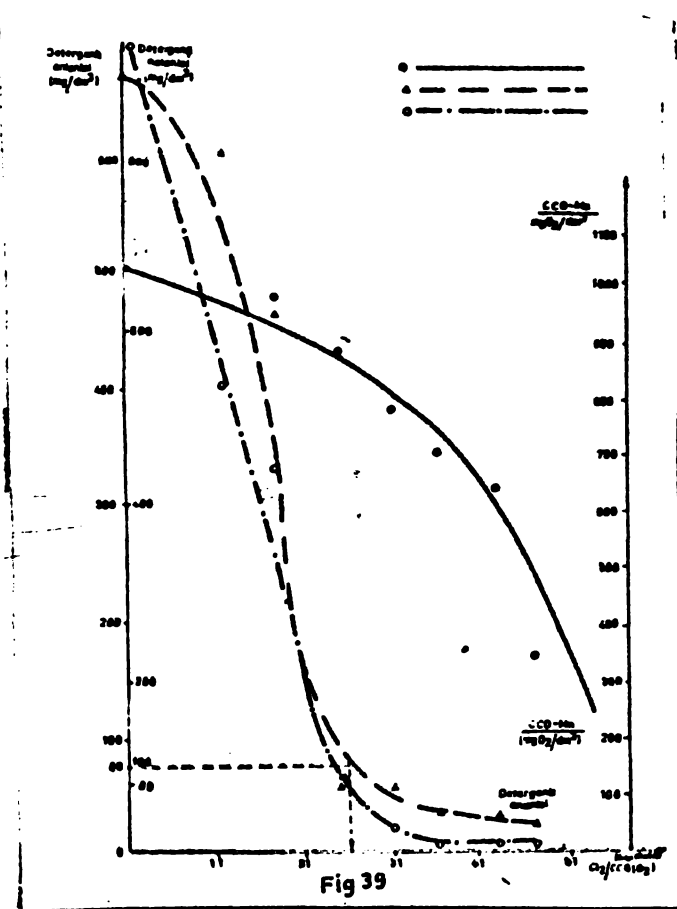


Fig 39

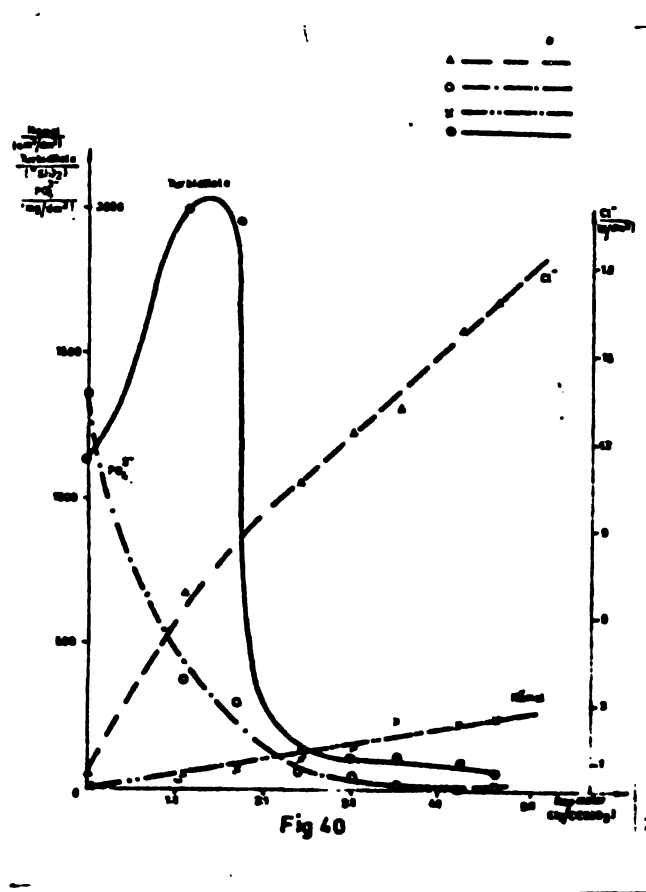


Fig 40

creșterea dozelor de oxidant, peste raportul molar $\text{Cl}_2/\text{CCO-Mn} = 1/1$ se înregistrează o scădere accentuată a degradării lor și a turbidității apelor. Indicatorul global CCO-Mn crește mai lent, o scădere mai pregnantă având loc deabia la raporturi mari, de peste cca. 4/1- $\text{Cl}_2/\text{CCO-Mn}$. Oxidarea mai lentă a substanțelor organice este confirmată și de valoriile intensităților de absorbție ale indicatorului convențional, substanțe organice clorurate absorbabile (figura 41). Aceste arată că dacă la raporturi mici de oxidant/CCO-Mn se realizează o distrugere a grupelor active de detergent (absorbția maximă în cazul problelor 7,8 care sfârșit și deplesă spre stînga), pentru degradarea substanțelor organice sunt necesare raporturi mult mai mari. Deoarece raporturile mari nu se justifică nici economic și nici tehnic, se pot considera drept raporturi optimale, raportele molare $\text{Cl}_2/\text{CCO-Mn}$ da 2,5:1 și 3:1, (probile 9 și 10), cînd se obțin reduceri mari ale detergentilor anionicici (cca. 92%) și neionicici (cca. 95%). Totodată se realizează o reducere a volumului de răsbol și a clorurilor, spații ocupate avind valori satisfă-

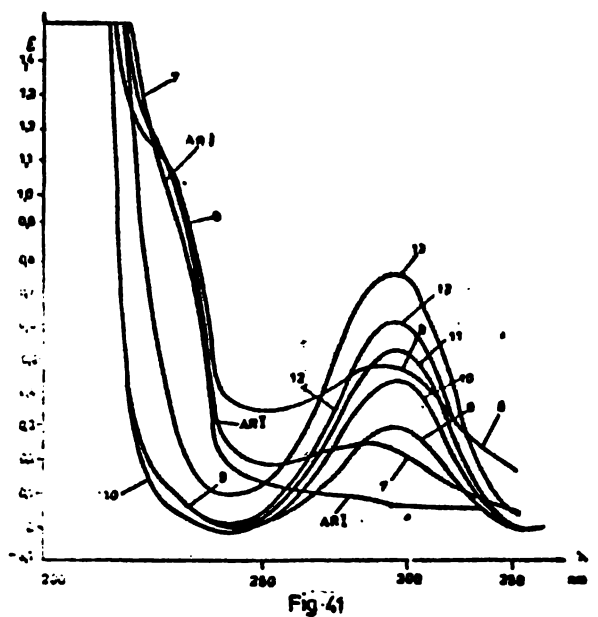


Fig. 41

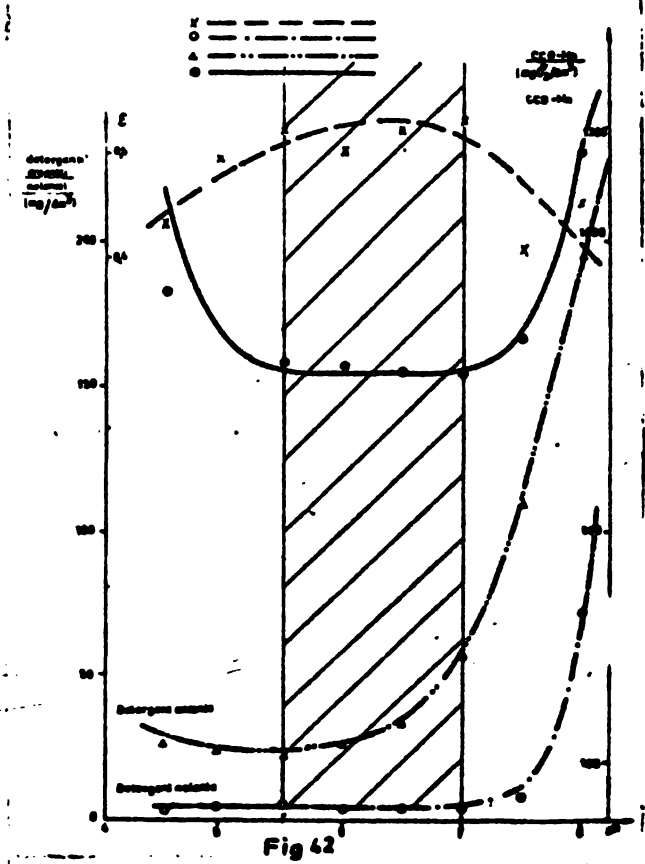
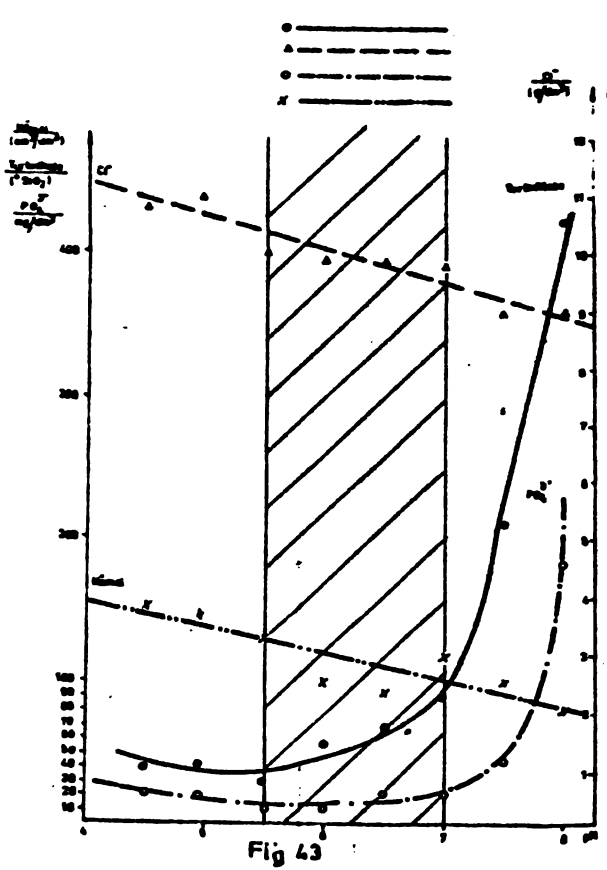


Fig. 42

cătoare pentru principali indicatori de impurificare.

Pentru a elmina dificultatea menținerii stricte a valorii pH-ului de oxidare la pH 7, s-au stabilit limitele în care acesta poate varia fără a perturba bunul mers al procesului. Astfel s-au făcut oxidări la pH-uri cuprinse între 4,5 și 8, iar rezultatele obținute pentru indicatorii de impurificare urmăriți sunt redăte în figurile 42 și 43. Din analiza acestor rezultate se observă că domeniul optim al pH-ului procesului de oxidare este cuprins între pH=5,5 și 7. S-a ales valoarea 7 drept limită supericară a acestui interval, deoarece la pH-uri mai mari se înregistrează creșteri destul de însemnate ale unor indicatori de impurificare cum ar fi: consumul chimic de oxigen, detergenți anionici și neionici, turbiditate, fosfați, ceea ce confirmă scăderea capacității de oxidare a clorului la pH-uri alcaline. Limita inferioară pentru pH-ul de oxidare este impusă de faptul că la valori mici consumul chimic de oxigen prezintă o creștere accentuată.

Afînd în vedere considerațiile arătate mai înainte,



mg/dm³, pH = 8,7.

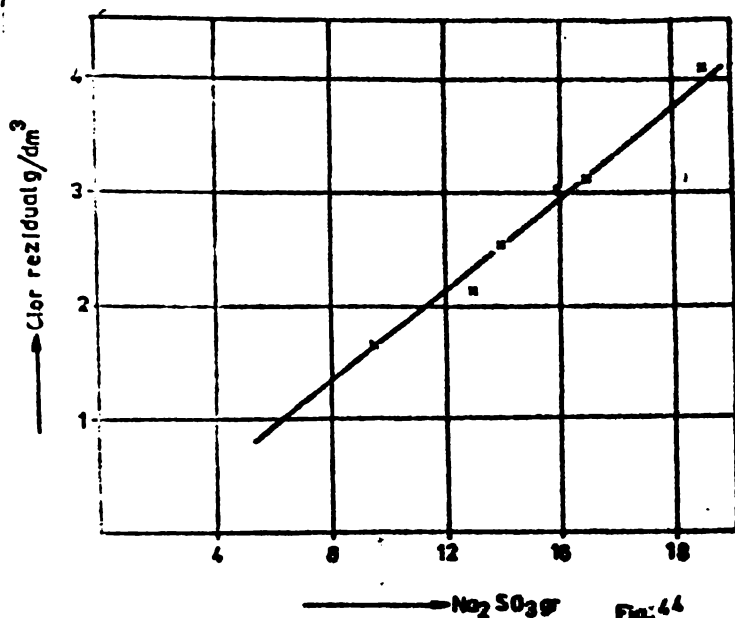
Intrucit clorul rezidual din apa ar duce la consumuri excesive de adsorbant, a fost necesar ca in prealabil acesta sa se indeparteze din apa tratata. In acest scop s-a aplicat metoda aerarii si adausul de substante anticlor.

Prin aerarea apei adusa in prealabil la pH=5 clorul se indeparteaza in cca. 15 minute. S-au efectuat si incercari de eliminare a excesului de clor utilizand substante anitclor si anume sulfitul de sodiu. S-a lucrat cu un continut diferit de clor rezidual, cuprins intre 1747-4090 mg/dm³. Rezultatele determinarilor au permis stabilirea dependentei dintre cantitatea de clor rezidual si doza necesara de sulfit de sodiu, prezentata in figura 44. Doza de sulfit de sodiu este de cca. 3 ori mai mare decat cea stoechiometrica calculata. De remarcat ca in probele cu doza optima de sulfit de sodiu valoarea pH-ului final al apei a fost totdeauna de cca. 6,6.

Dupa eliminarea clorului rezidual s-a trecut la aplicarea metodei adsorbiei. Determinarile au fost efectuate atat in regim static cat si dinamic. Incercarile de adsorbie in regim static au avut ca scop stabilirea timpului optim de contact si tracarea izotermei de adsorbie, indicatorii urmariți fiind CCO-Mn si spectrul

se poate conchide ca pH-ul optim de oxidare poate varia in domeniul de valori cuprins. Intre pH=5,5 si pH=7, dar se recomanda sa se lucreze la pH-uri spre limita inferioara a domeniului.

Pentru reducerea impurificarii organice totale (CCO-Mn) si a substantelor organice clorurate s-au facut incercari de epurare avansata a acestor ape prin metoda adsorbiei pe carbune activ. S-a lucrat cu apa oxidata si coagulata in conditii optime, care a avut CCO-Mn = 353 mg/dm³ substante organice clorurate decolabibile in UV cu $\Sigma = 0,5$, clor rezidual = 2170



În UV.S-a utilizat cărbuna activă îndigenă, sub formă de pulbere. Din datele analitice obținute și din spectrele UV ale probelor nediluate s-a stabilit că timpul optim este de 15 minute, cind reducerea CCO-Mn a fost de 62%.

Izoterma de adsorbție după Freundlich, trasată în coordinate logaritmice, a permis calcularea pantei dreptei ($1/n$) și a distanței la origine ($\log a$) (taboul 44).

Tabelul 44

Nr. probei	C	$\frac{x}{m}$	$\log c$	$\log \frac{x}{m}$	a	$\frac{1}{n}$
1	181,70	342,6	2,25935	2,53479		
2	134,70	218,7	2,12775	2,33985		
3	102,70	83,4	2,01157	1,92117		
4	102,70	62,6	2,01157	1,79657		
5	106,65	49,3	2,02776	1,69285	1,39	1,05
6	94,95	43,0	1,97749	1,63347		
7	90,97	37,4	1,95890	1,57287		
8	87,05	33,3	1,93977	1,52114		
9	83,07	30,0	1,91944	1,47712		

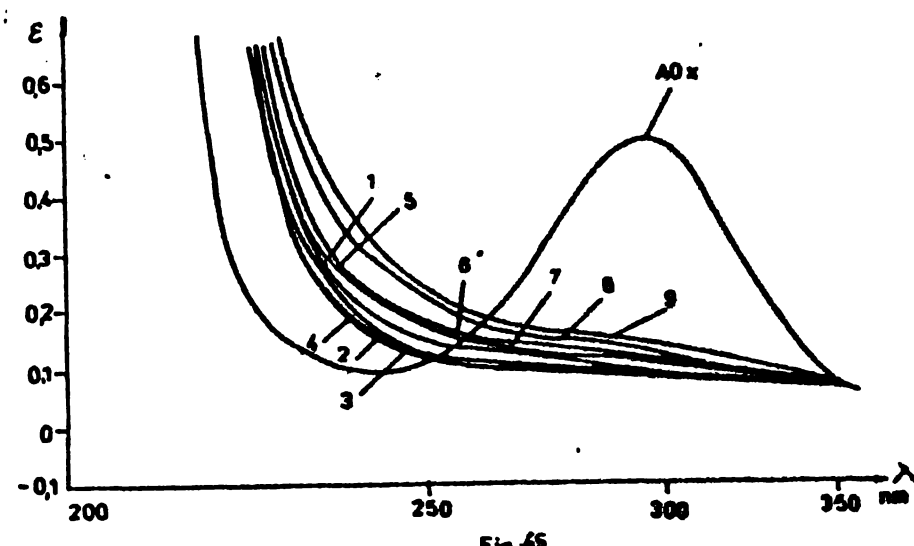
Urmărind spectrele în UV ale apei după adsorbție (figura 45), se observă că față de apă oxidată, conținutul în substanțe organice clorurate absorbabile a scăzut, practic nemaiapărind picul de la lungimea de undă caracteristică acestora. Încercările de adsorbție în regim dinamic s-au făcut în colțane cu cărbune activă îndigenă granulată la un debit de c. 25 dm³/h. După fiecare treaptă de adsorbție s-a determinat CCO-Mn și s-au trasat spectrele în UV (figura 46). Rezultatele obținute după cele trei trepte de adsorbție sunt prezentate în tabelul 45. Se observă că după adsorbție nu se mai evidențiază prezența substanțelor organice clorurate absorbabile, iar CCO-Mn s-a redus pînă la 55,3 mg/dm³, ceea ce reprezintă o reducere de 84%.

În concluzie, în urma experimentărilor efectuate pe apele reziduale cu conținut de detergenti, s-a stabilit că, dintre procedeele studiate cea mai mare eficiență în epurarea acestor ape re-

ziduale și prezintă aplicarea procedoului combinat de oxitare și coagulare, urmat de adsorbție /45/.

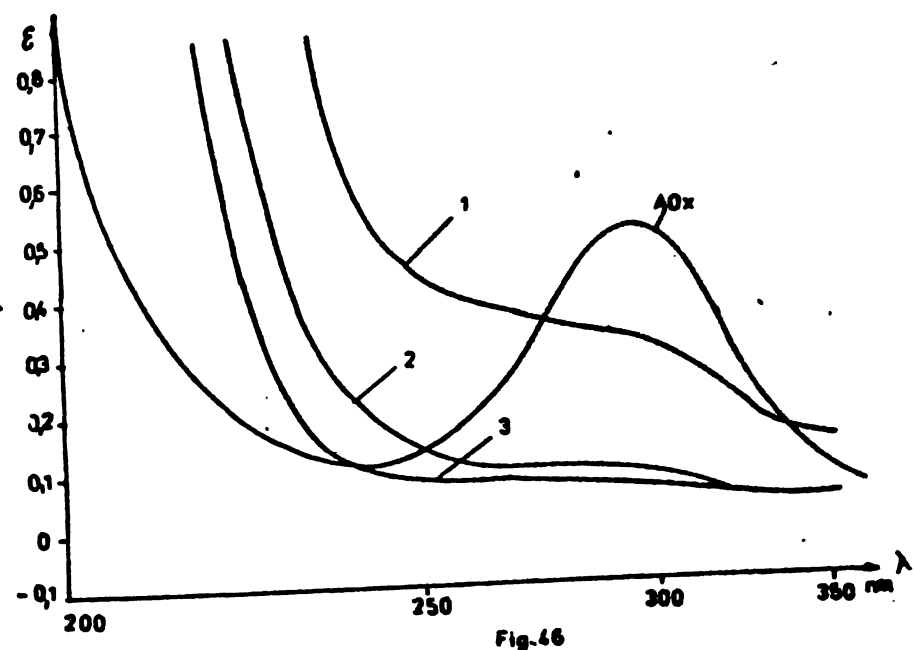
Tablul 45

Nr. treptelor	I	II	III
CCO-Mn inițial, mg O ₂ /dm ³	353	353	353
CCO-Mn rezidual, mg O ₂ /dm ³	189,5	110,5	53,3
% reducere	46,0	68,7	84,3



Prin aplicarea acestor metode fizico-chimice caracteristicile apelor epurate sunt următoarele: pH = 6,5; turbiditate 2,5 mg/l O₂; CCO-Mn = 55,3 mg/dm³; detergenții anionici = 0%; detergenții neionici = 0%; substanțe organice clorurate absorbabilo = absente.

Aceste valori arată că prin tehnologie de epurare fizico-chimică stabilită se poate realiza o epurare avansată a apelor reziduale cu coagulat de detergenții.



BIBLIOGRAFIE

- /1/.Kleinck F., Stoof H., Kohlischütter H., Industrie Abwasser, Gustav Fischer Verlag, Stuttgart, 1960, p.310
- /2/.Cochesci V., Taubert R., Martin A., Vlad L., Sămărești P., Dalea V., Lörinczi M., Husz M., Buletin științific și tehnic al IPT "Traian Vuia" Timișoara, tom 16(30), fasc.1, 1971, p.27-46
- /3/.Nakamoto K., Infrared spectra of Inorganic and Coordination Compounds, 166, New York, (1963)
- /4/.Horington E.F., Kynaston W., Chem. Soc. 1955, p.3555
- /5/.Enshwiller G., Compt. rend., 238, 1954, p.1414
- /6/.Simon M., L'eau 229, 1966, p.17
- /7/.Wirz W.W., Galvanotechnik, 1, 1960, p.1
- /8/.Wirz W.W., Galvanotechnik 5, 1964, p.47
- /9/.Oehme F., L'eau, 237, 1966, p.39-41
- /10/.Cochesci V., Taubert R., Martin A., Bul. St. și Tehnic, IPT, tom 14 (28) fasc.2, 1969, p.497
- /11/.Oehme F., Galvanotechnik 5, 1961, p.111
- /12/.Sierp F., Die gewerblichen und industriellen Abwässe, 463, Spring Verlag, Berlin, 1967.
- /13/.Cochesci V., Taubert R., Winter F., Retezan D., Bul. St. și Tehnic al IPT "Traian Vuia" Timișoara, tom.12(26) fasc.1, 1967
- /14/.Jung H., Schrödér W., Textil-Praxis 5, 534, 1950
- /15/.Torcsay F., Mag. Text. Techn. 7, 322, 1965
- /16/.Hamburger B., Textil-Praxis 1, 39, 1966
- /17/.Negulescu M., Epurarea apelor uzate industriale, 228, 1963, Ed. Tehnică, București, 228, 120
- /18/.Huber L., Die 3. Reinigungsstufe und die Wasser- und Abwasserbelüftung, vol. 12 R. Oldenbourg, München, 1965, p.149
- /19/.Ohla W., Vom Wasser 2c, 11, 1953
- /20/.Warnet J., Die 3. Reinigungsstufe und die Wasser- und Abwasserbelüftung, vol. 12, R. Oldenbourg, München, 1965, p.9
- /21/.Owen R., Sew. and Ind. Inst. 25, 548, 1953.
- /22/.Stumm W., First I., Int. Conf. Inst. Poli. Constr. London 1962(1964)

- /23/. Coche ci V., Martin A., Sămărghita P., Husz W., Bul. St. și Tehn. IPT, fasc. 2, 1971.
- /24/. Coche ci V., Taubert R., Martin A., Husz W., Vlad L., Sămărghita P., Dalea V., Lörinczi E., Bul. St. și Tehn. IPT, Fasc. 1/1971, p. 27-46
- /25/. Bhagavantam S., Venkatavajudu T., Proc. Indian Acad. Sci., 94, 224, 1955
- /26/. Maarsen J. W., Smits M. C. Matze, J. Rec. Fran. Chim. 76, 731, 1957
- /27/. Hibble J. H., J. Chem. Phys., 5, 166, 1937
- /28/. Benedict W. S., Garlar. N., Plyer E. K., J. Chem. Phys., 24, 1, 139, 1950
- /29/. Coche ci V., Taubert R., Martin A., Husz W., Bul. St. și Tehn. IPT, tom. 17(31), fasc. 1, 1972, p. 21-30
- /30/. Coche ci V., Martin A., Vlad L., Dalea V., Husz W., Lörinczi E., Bul. IP "Traian Vuia" Timișoara, tom. 19 (33), fasc. 2, 1974
- /31/. Coche ci V. și colaboratorii, Bazilec. Tehnologiai Chimice, vol. II, Litografie IPT "Traian Vuia" Timișoara 1979, p. 68.
- /32/. Black A. P., Ball A. L., Bondet E. A., Journ. AWMA, februarie 1959, p. 247-263
- /33/. Kaspar D. R., Theoretical and experimental investigation of the flocculation of charged particles in aqueous solution by polyelectrolytes of opposite charge, California Institute of Technology, Pasadena, California, 1971
- /34/. Coche ci V., Martin A., Burtică G., Măsu C., Bul. științ. și teh. IPT "Traian Vuia" Timișoara nr. I, fasc. 1 1981, p. 1
- /35/. Coche ci V., Martin A., Burtică G., Măsu C., Bul. științ. și teh. IPT "Traian Vuia" Timișoara nr. I, fasc. 1, 1981, p. 15
- /36/. Cohen J. M., Rourke G. A., Woodward R. L., Natural and Synthetic Polyelectrolytes as Coagulant Aids, JAWWA, aprilie 1959, p. 50, 463
- /37/. Cenvai R., Biodegradation Testing of Typical Organic Substances in "Industrial Usage", A. D. R. 55-1966
- /38/. Beckmanns I., Enlèvement des détergents dans les eaux, in: La Tribune du Sabaudia, 22, Martie, nr. 364, 1969, p. 125
- /39/. Arusta V., Removal of synthetic detergents from industrial effluent waters in Chem. Krum, 1963, 13, p. 128

- /40/. Vaicum L., Biodegradabilitatea detergentilor, Ed. Acad. M.R., 1971.
- /41/. Pogány I., Banciu M., Metode fizice în chimia organică, M.științifică, 1972.
- /42/. Kühn W., Lander R., Bildung und Verhalten von polaren organischen Chlorverbindungen, Angewandte Institut der Universität Karlsruhe, 1970, p. 171.
- /43/. Weber W.I., Physico-chemical Processes for Water Quality Control, Wiley Interscience, New York, 1971, p. 363.
- /44/. Laubusch E.I., Chlorine. Teste-water chlorination, Reinhold Publ. Corp., New York, 1969, n. 405.
- /45/. Coccoi V., Martin A., Lörinczi E., Vlad L., Buntici G., et al., Bul. șt. și tehnic, seria Chimie, fasc. 1, 1982 (sub tipar).

8. CONCLUZII

Cercetările întreprinse asupra procesului de coagulare, etapă esențială în tratarea și epurarea apelor, au dus la o serie de concluzii dintre care vom menționa pe cele mai importante.

1. Multitudinea efectelor procesului de coagulare, aplicat în tehnologia apei, a fost în evidență că domeniul acțiunii acestui tratament depășește cu mult eliminarea turbidității (limpezirea), acțiune la care adeseori este limitată. În privința mecanismelor care guvernează coagularea, considerăm posibilă, în funcție de diferențele condițiilor, preponderența uneia sau altora din factorii: forțe de atracție sau respingere coulombiană; forțe de formare a unor legături chimice cum ar fi forțele van der Waals-London, legături de hidrogen, forțe de împinsire a particulelor prin punți de molecule polimere; forțe de adsorbție sau pur și simplu înglobarea articulaților în suspensie și precipitate gelatinace și voluminoase.

2. Înînd seama de cantitățile mari crescînd de coagulanți cercetările efectuate în vederea largirii gamei lor, au condus la obținerea avantajosă din punct de vedere economic, pornind de la unele descuri industriale, și coagulanților anorganici compuși denumiți convențional FERALTI, FERIL, FERALIMIN, FERALIUM, IONALUM.

3. Pentru a caracteriza mai aprofundată și mai completă a coagulanților anorganici compuși s-a stabilit domeniul optim al pH-urilor de hidroliză și de coagulare, au fost studiate spectrele în infraroșu și spectrele X ale produșilor de hidroliză la diferite pH-uri.

4. Înînd seama că în coagularea cu săruri ale metalilor polivalenți, procesul de hidroliză joacă un rol important. Înertant, s-a efectuat caracterizarea pentru determinarea influenței ionică a măslușului și reacției pricinuite de ionizarea legăturilor hidrolizate unei anioncuri de săruri ale catiocilor polivalenți, în raporturi în care acceptia se găsește în coagulanții anorganici compuși. În baza datelor obținute s-a dat inițiat contentul ionic al procesului, cu ajutorul reacțiilor integrale de vită și prin metoda din înțărnicirea lui Van't Hoff. Rezultat în obținerea unei variații în timp a produsului de hidroliză, în condiții de presiune supus unui ordin unitar de reacție, hidroliza având loc după un mecanism monomolecular.

5.Cercetările întreprinse în scopul stabilizării dozii optimă de coagulant în funcție de parametri determinanți ai procesului, au permis stabilirea unei relații de interdependentă a principiilor factori ai coagulării.Astfel pentru coagulații sulfat de aluminiu și FERALTI S, pe baza a numeroase determinări și cu ajutorul analizei de regresie s-au stabilit relații, care exprimă doza optimă de coagulant în funcție de temperatură, oxidabilitate, turbiditate.

6.Studiile întreprinse în vederea coagulării direct pe filtre rapide cu nisip, în scopul concentrării într-o singură instalație a coagulării, decantării și filtrării au permis stabilirea unei relații de interdependentă între depunerea specifică și principali parametri care o determină: diametrul particulelor în suspensie, viteza de filtrare, grosimea stratului filtrant, durată filtrării.Ecuația stabilită își găsește o bună aplicabilitate pentru durate ale procesului de filtrare sub 5-6 ore și pentru particule cu $d < 10-12 \mu$.

S-a pus în evidență de asemenea că, gradul elementar al rotinerii particulelor și în consecință parametrul filtrării, crește proporțional cu mărimea particulelor și cu adausul de coagulant și invers proporțional cu creșterea vitezei de filtrare. Rezultatele obținute pot servi de bază, la stabilirea criteriilor de optimizare a instalațiilor industriale de filtrare.

7.In vederea stabilirii eficienței procesului de coagulare în urmări și a coagulațiilor anorganice compuse, în cadrul unei întreprins studii privind aplicarea acestora în filtrare, s-au obținut rezultate care să servesc la stabilirea criteriilor de optimizare.

8.Aplicarea coagulării la suspensii litorâne și râul Danube, permite dintr-o uzină de eșantieră să se obțină o reducere susținută a concentrației de fosfată și a turbidității, în cadrul filtrelor compuse din particule anorganice compuse FERIL, FERALTI și FERAL C. Iată că în plus și o micșorare a volumului de nămol, rezultată ca urmare a dezvoltării compactării a acestuia. Procesul desfășurău-se cu o viteză de 10-12 m/h.

Spectrele în IR, realizate asupra minălorilor de feru și de obținute, au indicat un conținut de fosfat și antri și de sulfat în raport cu conținutul relativ scăzut, respectiv de 10-15%.

Lăptele cu var provochează și o scădere accentuată a

înținutului de fosfați chiar și pH-uri acide, dar pentru o eliminare mai avansată a turbidității este necesar un pH neutru sau chiar basic. Spectrele în IR, efectuate asupra nămolurilor obținute în acest caz, au arătat că acestea sunt formate din fosfați neutri. Într-adevărarea benzii de la 1400 cm^{-1} indică un număr mare de legături Ca-OH, ceea ce presupune prezența hidroxilăturitei în cantitate mare. Lipsesc fosfații acizi.

Foliolectroliții utilizati au avut doar un efect de adjuvanți de coagulare, conducind la o viteză mai mare de sedimentare, efectul de epurare fiind redus.

b. Aplicarea coagulării la opurarea apelor reziduale din industria galvanotehnică a condus la rezultate, care demonstrează că folosirea acestui proces, ca primă etapă a epurării chimice duce atât la îndepărțarea suspensiilor existente, cât și la micșorarea conținutului de ioni CN^- din aceste ape.

În scopul unei eliminări foarte avansate a ionului cyan s-a elaborat o nouă metodă oxidativă, folosind soluții de clor-biclorid de clor, care dă rezultate foarte bune.

c. Coagularea ca primă etapă a procesului de epurare a apelor reziduale din industria textilă, care au o compoziție foarte complexă, datorită multitudinii substanțelor folosite în special în sectoarele de finisaj, s-a dovedit a fi deosebit de eficientă, prin folosirea coagulanților anorganici complecși FERAL și FERALTI-C, realizându-se o scădere apreciabilă a gradului de impurificare. Adausurile de polielectrolit permit micșorarea dozei de coagulant cu 30%, măriind concomitent viteza de sedimentare.

d. Aplicarea coagulării la epurarea unor ape reziduale cu conținut complex de detergenți și cu turbiditate ridicată a condus la rezultate nesatisfăcătoare în privința reducerii turbidității și a oxidabilității chimice.

Studiindu-se eficiența unor procedee combinate de epurare a acestor ape reziduale, s-a ajuns la elaborarea unui proces tehnologic cuprinzînd o etapă de oxidare și coagulare, urmată de adsorbție.

Prin aplicarea acestui procedeu fizico-chimic, caracteristicile apelor epurate au fost următoarele: $\text{pH}=6,5$; turbidit $t=2,5 \text{ mg SiO}_2$; CCO-Mn=55,3 mg/dm^3 ; detergenți anici-nici = \emptyset ; detergenți organici = \emptyset ; substanțe organice clorurate absorbibile = absent.

Aceste valori atestă că prin tehnologia de epurare propusă se poate realiza o epurare avansată a apelor reziduale cu conținut de detergenți.

e. În scopul determinării eficienței polimerilor indigeni de tip MEDASOL (elaborați de ICPAO-Mediaș) s-au efectuat studii cu privire la aplicarea acestora în tratarea unor ape de suprafață.

Cercetările au reliefat că, utilizarea polielectroliților cationici și anionici și a polimerilor neionici la tratarea apelor de suprafață conduce la îmbunătățirea procesului de tratare și apoi, în cazul utilizării lor ca adjuvanți de coagulare. Doza de sulfat de aluminiu, necesară tratării apei, se reduce cu 25%.

Utilizând polielectroliții cationici și anionici la coagularea cu sulfat de aluminiu, se îmbunătățesc caracteristicile de filtrare a nămâlurilor, obținute, ceea ce permite lărgirea unei posibilităților de tratare a acestora.

Utilizarea polielectroliților cationici de tip MEDASOL ca agenți de coagulare, în doze de 0,1-1,8 mg/dm³ și la pH=5-6 sau pH=10 realizează o reducere a turbidității cu 97-99,7%, în funcție de valoarea inițială a turbidității.

Folosirea polielectroliților anionici de tip Medasol ca agenți de coagulare, a condus în condiții optime de pH (5,6-10) la reduceri de maxim 93% din turbiditatea inițială; iar polimerii neionici au condus la reduceri de maxim 85% din turbiditatea inițială.

Polielectroliții indigeni, de tip Medasol, au fost testați comparativ cu produsele similare străine cu prestigiu pe piața internațională. Cercetările au demonstrat că polielectroliții anionici de tip Medasol dau rezultate și au comportare asemănătoare cu cea a polielectrolitului anionic Separan AP, 30, iar polimorii neionici de tip Medasol cu produsul Praestol 300.

Testările produșilor Medasol pe culturi celulare a indicat lipsa toxicității sub 0,0005% pentru polielectrolitul cationic și sub 0,0001% pentru producții anionici sau neionici, iar testările bactericostatice și testările asupra faunei său indică lipsă toxicității sub limita de 0,5% pentru cei cationici, respectiv de 0,1% pentru anionici și neionici.

Prețul de cost al tratării apelor, utilizând doza optimă de sulfat de aluminiu și de polielectrolit Medasol se reduce cu 3-40% față de prețul de cost al tratării clasice doar cu sulfat de aluminiu, în funcție de gradul de încărcare al apei.

8. Pentru urmărirea comportării la scară industrială a coagulanților anorganici complecși, au fost efectuate încercări cu coagulantul FERALTI S și comparativ cu sulfat de aluminiu, într-o etapă de epurare grășenească, în care ajung apele reziduale menajere

și industriale de pe raza orașului respectiv, debitul apelor reziduale industriale fiind de 1,5 ori mai mare, decât al apelor reziduale menajere.

Dăsi încercările de coagulare au fost efectuate într-o instalație improvizată pentru administrarea reactivilor, care nu pot să sigură evident condiții optime, stația de epurare nefiind prevăzută cu fază de coagulare, rezultatele obținute au fost înfructuosul corespunzător, evidențiind următoarele:

- introducerea fazei de coagulare a dus la creșterea substanțială a eficienței epurării. S-a obținut rezultate deosebit de bune la principali indicatori, folosind FERALTI S, în doze care au reprezentat doar 44% din doza de sulfat de aluminiu folosită, concomitent cu un timp de sedimentare cu 23% mai mic;

- analizele bacteriologice au arătat că folosirea reactivului FERALTI S permite o reducere în jur de 90% a indicatorilor de impurificare bacteriologică.

9. Prezenta teză reprezintă sinteza și sistematizarea unui material experimental din 3 brevete de invenție și din 18 note științifice în colaborare, publicate în diverse reviste de specialitate.